

T.C.
AHİ EVRAN ÜNİVERSİTESİ
FEN BİLİMLERİ ENSTİTÜSÜ

**ARPADA AĞ BENEK LEKE HASTALIĞINA NEDEN
OLAN *Drechslera teres f. maculata* FUNGUSUNUN MİSEL
PROTEOM PROFİLLEMESİ**

Mahmut EMİR

**YÜKSEK LİSANS TEZİ
KİMYA ANABİLİM DALI**

KIRŞEHİR 2016

T.C.
AHİ EVRAN ÜNİVERSİTESİ
FEN BİLİMLERİ ENSTİTÜSÜ

**ARPADA AĞ BENEK LEKE HASTALIĞINA NEDEN
OLAN *Drechslera teres f. maculata* FUNGUSUNUN MİSEL
PROTEOM PROFİLLEMESİ**

Mahmut EMİR

**YÜKSEK LİSANS TEZİ
KİMYA ANABİLİM DALI**

**DANIŞMAN
Doç. Dr. Ashhan GÜNEL**

KIRŞEHİR 2016

Fen Bilimleri Enstitüsü Müdürlüğü’ne

Bu çalışma jürimiz tarafındanAnabilim Dalında YÜKSEK LİSANS TEZİ / DOKTORA TEZİ olarak kabul edilmiştir.

Başkan(İmza)

Akademik Ünvani, Adı-Soyadı

Üye.....(İmza)

Akademik Ünvani, Adı-Soyadı

Üye.....(İmza)

Akademik Ünvani, Adı-Soyadı

Üye.....(İmza)

Akademik Ünvani, Adı-Soyadı

Üye.....(İmza)

Akademik Ünvani, Adı-Soyadı

Onay

Yukarıdaki imzaların, adı geçen öğretim üyelerine ait olduğunu onaylarım.

.../.../2016

Prof. Dr. Levent KULA

Enstitü Müdürü

TEZ BİLDİRİMİ

Tez içindeki bütün bilgilerin etik davranış ve akademik kurallar çerçevesinde elde edilerek sunulduğunu, ayrıca tez yazım kurallarına uygun olarak hazırlanan bu çalışmada bana ait olmayan her türlü ifade ve bilginin kaynağına eksiksiz atıf yapıldığını bildiririm.

Mahmut EMİR



**ARPADA AĞ BENEK LEKE HASTALIĞINA NEDEN OLAN DRECHSLERA
TERES F. MACULATA FUNGUSUNUN MİSEL PROTEOM PROFİLLEMESİ**

Yüksek Lisans Tezi

Mahmut EMİR

Ahi Evran Üniversitesi, Fen Bilimleri Enstitüsü

EYLÜL 2016

ÖZET

Buğdaydan sonra en önemli tahıl olan arpa üretim miktarında Türkiye dünya ülkeleri arasında FAO verilerine göre 8. sırada yer almaktadır. Üretim miktarını ve verimi etkileyen faktörler arasında tarıma ayrılan alanların erozyon, kuraklık gibi çeşitli nedenlerle azalması, kullanılan tohumlar hakkında çiftçilerin yeterli bilgiye sahip olmaması, hastalıklara dayanıklı ve sertifikalı tohum kullanımının azlığı ve çeşitli biyotik ve abiyotik faktörler sayılabilir. Verimi etkileyen biyotik faktörlerin başında fungal hastalıklar gelmektedir. *Drechslera teres* etmeninin iki biyotipi bulunmaktadır. *Drechslera teres f. teres* ağ tipi ve *Drechslera teres f. maculata* nokta tipi belirtiler oluşturmaktadır. Ülkemizde iki biyotip de görülmekte olup nokta formu daha yaygın olarak görülmektedir.

Bu çalışmada *in vitro* olarak geliştirilen *Drechslera teres f. maculata* patojeninin yüksek virülens izolatı (GPS 79) nin miselyum proteom profilini elde etmeyi amaçladık. Bu amaçla jel bazlı proteomik yaklaşım kullanıldı. İzolat miselyumundan total protein ekstraksiyonu yapıldıktan sonra 2-DE yöntemi ile pH 4-7 gradyentinde proteinlerin ayrimı gerçekleştirildi. 932 protein spotu belirlendi ve protein spotları jelden kesilip tripsin ile muamele edildikten sonra oluşturulan triptik peptidlerin nano-LC-MS/MS ile 108 spota ait protein profili çıkarıldı.

Sonuç olarak 108 spota karşılık 158 protein tanımlandı, dört spot veritabanındaki proteinlere hit vermedi. Tanımlanan proteinlerin % 94'ü hipotetik protein %61'i sitozolik proteindir. **Tanımlanan 108 spottan 12 spota karşılık 10 tek protein sinyal peptid içermekte ve ekstraselüler proteinlerdir.** Bu proteinlerden 1 tanesi transit peptid içermektedir. Bu proteinler patojenin virülsenliğinden sorumlu aday efektör proteinler olma özelliğindedirler.

Bilim Kodu:

Anahtar Kelimeler: Proteomiks, ağ benek leke hastalığı, 2-DE, *Drechslera teres* f. *maculata*, arpa

Sayfa Adedi: 164

Tez Yöneticisi: Doç. Dr. Aslıhan GÜNEL



**PROTEOME PROFILING OF DRECHSLERA TERES F. MACULATA, THE
CAUSAL AGENT OF NET BLOTCH DISEASE OF BARLEY**

(Master's Thesis)

Mahmut EMİR

Ahi Evran University, Institute of Science

SEPTEMBER 2016

ABSTRACT

Barley is the second most important crop after wheat, in Turkey. According to FAO statistics Turkey is among the top 8 countries. Various biotic and abiotic stresses, limited use of certified seeds and disease resistant cultivars, limited knowledge about the seeds by farmers, decrease of land suitable for barley cropping due to erosion and drought affect the barley production and quality. Fungal diseases are the most important diseases affecting barley yield.

Net blotch disease caused by *Drechslera teres* is an important disease of barley. The fungus has two biotypes. *Drechslera teres f. teres* forms net type symptoms and *Drechslera teres f. maculata* forms spot type symptoms. Both forms are present in Turkey, however, spot form is more common.

In this study, we aimed to obtain proteome profile of *Drechslera teres f. maculata* isolate high virulence GPS 79. Gel based proteomics approach was applied. Total protein extraction was performed by phenol-SDS method. Extracted protein was separated using 2-DE. 932 protein spots common within the biological replicates treated with trypsin. Tryptic peptides belonging to 108 spots were analyzed with nano-LC-MS/MS.

As a result of 158 proteins were identified against 108 spots four spots did not give any hit the protein in database, 94% of identified proteins are hypothetical. 61% of these are predicted as cytosolic proteins. **For we predicted 10 unique proteins belonging to 12 spots are predicted as extracellular protein and they have signal peptides so these proteins are effector can the date proteins that are responsible from virulence of pathogen.**

Science Code: Proteomics, net blotch disease, 2-DE, *Drechslera teres* f. *maculata*, barley

Number of Pages: 164

Thesis Advisor: Assoc. Prof. Dr. Aslıhan GÜNEL



TEŞEKKÜR

Yüksek lisans çalışmam sırasında bilimsel katkıları ile bana birçok konuda yardımcı olan, bu çalışmayı bana vererek kendimi geliştirmeme imkân sağlayan, fikirlerinden ve tecrübelерinden yararlanırken göstermiş olduğu sabrımdan ve hoş Görüşünden dolayı değerli danışman hocam Doç. Dr. Aslıhan GÜNEL'e teşekkür ederim. Bunun yanı sıra yüksek lisans eğitimim süresince bilgisinden faydalandığım kimya bölümündeki diğer değerli öğretim üyelerine teşekkür ederim.

Laboratuvardaki çalışmalarım sırasında benden yardımcılarını esirgemeyen arkadaşlarım Şükrü MERAL, Mehmet Rifat TÜRK, Merve ÇETİNTÜRK ve Ali Cem KARAKUŞ'a teşekkür ederim.

Tez çalışmam süresince GPS 79 izolatının devamlılığını sağlayan Ankara Üniversitesi Ziraat Fakültesi Bitki Koruma bölümünden değerli hocalarım Prof. Dr. Aziz KARAKAYA ve Araş. Gör. Dr. Arzu ÇELİK OĞUZ'a teşekkür ederim.

İzmir Yüksek Teknoloji Enstitüsü (İYTE) Kimya Bölümünden Prof. Dr. Talat YALÇIN ve ekibine teşekkür ederim.

LC-MS/MS çalışmalarındaki önemli desteginden dolayı Dr. Christoph RAMPISTCH'e teşekkür ederim.

Bugünlere gelmemde en büyük pay sahibi olan maddi ve manevi fedakârlıkları ile her zaman yanındı olan ve bana inanan değerli aileme, özellikle meslektaşım kardeşim Sedat EMİR'e ve dostluğu ile hep yanındı olan sevgili arkadaşımı teşekkürlerimi sunarım.

Bu tezin gerçekleşmesinde finansal destek sağlayan TÜBİTAK'a (proje no:114Z084 no'lu 3001 PROJESİ) teşekkür ederim.

Bu çalışma Ahi Evran Üniversitesi PYO birimi tarafından PYO-FEN.4003.14.002- proje numarası ile desteklenmiştir. Desteklerinden dolayı teşekkür ederim.

Mahmut EMİR

İÇİNDEKİLER

| | |
|---|-------------|
| TEZ BİLDİRİMİ..... | ii |
| ÖZET | iii |
| ABSTRACT | v |
| TEŞEKKÜR..... | viii |
| İÇİNDEKİLER..... | viii |
| TABLALARIN LİSTESİ | x |
| ŞEKİLLERİN LİSTESİ | xii |
| EKLERİN LİSTESİ..... | xiii |
| SİMGELER VE KISALTMALAR..... | xivv |
| 1. GİRİŞ | 1 |
| 2. KAYNAK ARAŞTIRMASI | 3 |
| 2.1. Ağ Benek Leke Hastalıkları | 5 |
| 2.1.1. Proteom ve Proteomik | 8 |
| 2.1.1.1. Proteomiks ve Fungus Proteomu..... | 8 |
| 3. MATERİYAL VE YÖNTEM..... | 17 |
| 3.1. Tek İzolat Eldesi | 17 |
| 3.1.1. Fungusun İzolasyonu ve Tek Spor Elde Edilmesi..... | 17 |
| 3.1.2. Patojenisite Testlerinin Yapılması ve Yüksek Virülsilik Gösteren İzolatın Seçilmesi..... | 17 |
| 3.1.3. <i>Drechslera teres</i> f. <i>maculata</i> Fungusunun Çoğaltılması | 18 |
| 3.1.4. Misellerden Total Protein Ekstraksiyonu | 19 |
| 3.2. Total Proteinin Ayrılması | 22 |
| 3.2.1. İki Boyutlu Jel Elektroforezi..... | 22 |
| 3.2.1.1. İzoelektrik Odaklama (1. Boyut) | 22 |
| 3.2.1.2. SDS-PAGE (2. Boyut) | 24 |
| 3.2.2. Jel Görüntülerinin Elde Edilmesi..... | 26 |
| 3.3. Kütle Spektrometrisi Analizi | 27 |
| 3.3.1. Jelde Tripsin İle Kesim | 27 |
| 3.3.2. LC-MS/MS Analizi | 29 |
| 3.4. Biyoinformatik Analizler..... | 30 |
| 4. BULGULAR VE TARTIŞMA..... | 31 |

| | |
|----------------------------------|------------|
| 5. SONUÇ VE ÖNERİLER..... | 73 |
| KAYNAKLAR..... | 74 |
| EKLER:..... | 81 |
| ÖZGEÇMİŞ..... | 164 |



TABLO LİSTESİ

| | |
|---|-----------|
| Tablo 1. Genomu Dizilenen Bitki Fungusları | 10 |
| Tablo 2. IEF Koşulları..... | 23 |
| Tablo 3. Gradient Jel Çözeltileri Hazırlanışı | 24 |
| Tablo 4. GPS 79 İzolatından Misel Protein Ekstraksiyonunda Kullanılan Petri Sayıları ve Misel Miktarları | 32 |
| Tablo 5. GPS 79 İzolatinin Her Bir Biyolojik Tekerrürden Elde Edilen Protein Konsantrasyonu..... | 32 |
| Tablo 6. <i>Dechslera teres f.maculata</i> GPS 79 İzolatı Proteom Profili | 36 |
| Tablo 7. Tanımlanan Proteinlere Ait Domain Bilgisi | 59 |

ŞEKİL LİSTESİ

| | |
|---|-----|
| Şekil 1.1. Dünyada arpa üretimi | 1 |
| Şekil 2.1. Nekrotrof, biyotrof ve hemibiyotrof fungus stratejileri | 4 |
| Şekil 2.1.1. Ağ Benek Leke Hastalığı Yaprak Üzerinde Görünümü | 6 |
| Şekil 2.1.2. <i>Drechslera teres</i> f. <i>teres</i> ve <i>Drechslera teres</i> f. <i>maculata</i> 'nın yaşam döngüsü | 6 |
| Şekil 3.1.2.1. Hastalık etmeninin nokta formu için geliştirilen Tekauz skalası..... | 18 |
| Şekil 3.1.3.1 PDA üzerinde petrilere büyümeye bırakılan GPS 79 <i>Drechslera teres</i> f. <i>maculata</i> fungusu..... | 19 |
| Şekil 3.1.4.1. Misel örneklerinden protein ekstraksiyonu | 19 |
| Şekil 3.1.4.2. Bradford Protein tayin standart grafiği | 21 |
| Şekil 3.2.1.1.1. Proteinlerin rehydrate edilmesi (örnekli pasif rehidrasyon) | 22 |
| Şekil 3.2.1.1.2. IPGfor 3'te IEF işlemi | 23 |
| Şekil 3.2.1.2.1. Gradient Jel Dökme Sistemi | 25 |
| Şekil 3.2.1.2.2. Elektroforez Düzeneği | 25 |
| Şekil 3.2.2.1. Jellerden spotların kesilmesi ve saklanması | 26 |
| Şekil 3.3.1.1. Speed vakum konsantratör (vakumlu santrifüj) cihazı | 27 |
| Şekil 4.1. <i>Drechslera teres</i> f. <i>maculata</i> tek spor profili | 31 |
| Şekil 4.2. <i>Drechslera teres</i> f. <i>maculata</i> GPS 79 izolatına ait proteom profili..... | 33 |
| Şekil 4.3. pH 4-7 GPS 79 biyolojik ve teknik tekrarların imaj analizi | 34 |
| Şekil 4.4. Teknik tekrarların imaj analizi sonucu numaralandırılan master jel görüntüsü..... | 35 |
| Şekil 4.5. <i>Drechslera teres</i> f. <i>maculata</i> GPS 79 izolatı proteom hücre yerleşimleri. | 58 |
| Şekil Ek 2.1. (a) 1. Biyolojik Tekrar 1. Teknik Tekrar, (b) 1. Biyolojik Tekrar 2. Teknik Tekrar, (c) 1. Biyolojik Tekrar 3. Teknik Tekrar..... | 159 |
| Şekil Ek 2.2. (a) 2. Biyolojik Tekrar 1. Teknik Tekrar, (b) 2. Biyolojik Tekrar 2. Teknik Tekrar, (c) 2. Biyolojik Tekrar 3. Teknik Tekrar..... | 160 |
| Şekil Ek 2.3. (a) 3. Biyolojik Tekrar 1. Teknik Tekrar, (b) 3. Biyolojik Tekrar 2. Teknik Tekrar, (c) 3. Biyolojik Tekrar 3. Teknik Tekrar..... | 161 |
| Şekil Ek 2.4. (a) 4. Biyolojik Tekrar 1. Teknik Tekrar, (b) 4. Biyolojik Tekrar 2. Teknik Tekrar, (c) 4. Biyolojik Tekrar 3. Teknik Tekrar..... | 162 |

Şekil Ek 2.5. (a) 5. Biyolojik Tekrar 1. Teknik Tekrar, (b) 5. Biyolojik Tekrar 2. Teknik Tekrar, (c) 5. Biyolojik Tekrar 3. Teknik Tekrar..... 163



EKLER LİSTESİ

| | |
|---|-----|
| Ek 1. Dechslera teres f.maculata Fungusu GPS 79 İzolatına Ait Proteom Dizi Bilgisi | 81 |
| Ek 2. GPS 79 Biyolojik Tekrar ve Teknik Tekrar Jel Görüntüleri..... | 159 |

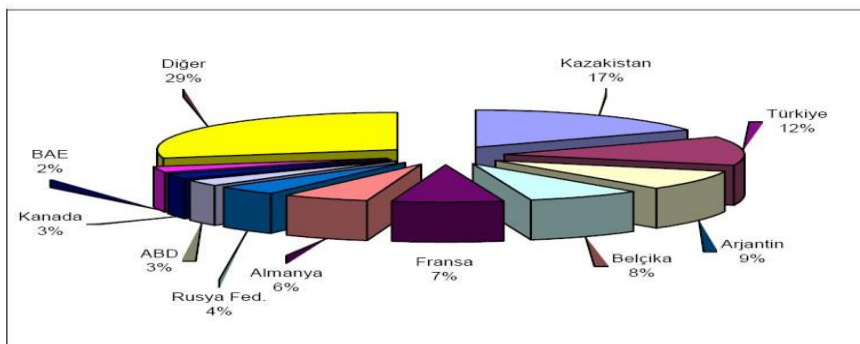


SİMGELER VE KISALTMALAR

| <u>Simgeler</u> | <u>Açıklama</u> |
|-----------------|--|
| ACN | :Asetonitril |
| APS | :Amonyum persülfat |
| CBB | :Commassia Brilliant Blue |
| CHAPS | :(3-[(3-Kolamidopropil)dimetilamino]-1-propansülfonat) |
| DTT | :1,4-Ditiyotreitol |
| HCl | :Hidroklorikasit |
| IAA | :2-iyodoasetamid |
| IEF | :İzoelektrik odaklama (Isoelectric focusing) |
| PDA | :Patato Dekstroz Agar |
| pI | :İzoelektrik nokta |
| PMSF | :Fenil metilsülfonil florür |
| PVPP | :Poli(vinilpoli) pirrolidon |
| SDS | :Sodyum Dodesil Sülfat |
| TCA | :Trikloro asetikasit |
| TEMED | :Tetrametiletilendiamin |
| TFA | :Trifloro asetikasit |
| UV | :Ultraviyole |
| v/v | :Hacim/Hacim |
| w/v | :Ağırlık/Hacim |
| μ L | :Mikrolitre |
| μ M | :Mikromolar |
| 2-DE | :İki boyutlu elektroforez |

1. GİRİŞ

Arpa dünyada üretimi buğdaydan sonra en fazla olan tahillardandır. Ekonomik önemi açısından ise mısır, buğday ve pirinçten sonra dördüncü sırada yer almaktadır. Türkiye arpa üretiminde dünya sıralamasında 7.600.000 tonluk üretimi ile 8. sırada yer almaktadır (FAOSTAT 2011, <http://faostat.fao.org>).



Şekil 1.1.Dünyada arpa üretimi. FAOSTAT 2011, <http://faostat.fao.org>

Arpada verim kaybına neden olan en önemli hastalıklar arasında üst sıralarda fungal hastalıklar yer almaktır ve bu hastalıklar arpada kök, yaprak, başak veya sap kısımlarını etkilemektedirler. Funguslar fungusun yaşamını idame ettirebilmesi için konağa ihtiyaç duyup duymamasına göre biyotrof, nekrotrof ve hemibiyotrof şeklinde sınıflandırılabilir. Dolayısı ile tahillarda en çok görülen pas ve külleme hastalıklarına neden olan funguslar zorunlu biyotrofken ağ benek leke hastalığı, kurşuni küf hastalığı, başak yanıklığı hastalığı gibi hastalıkların etmenleri nekrotrofturlar. Türkiye'de en sık rastlanan ve önemli ürün kayıplarına neden olan arpa fungal hastalıkları külleme, yaprak lekesi, ağ benek leke hastalığı, kök çürüklükleri hastalıkları ve pas hastalıklarıdır.

Arpa üreticisi ülkelerde ekonomik olarak en önemli arpa hastalıklarından olan ağ benek leke hastalığı *Drechslera teres* fungusu tarafından meydana getirilmektedir. Etmenin iki formu bulunmaktadır. *Drechslera teres* f. *teres* ağ tipi belirtiler *Drechslera teres* f. *maculata* ise nokta tipi belirtiler meydana getirmektedir (Shipton vd. 1973; Mathre 1997; McLean vd. 2009). Bu hastalıklardan kaynaklanan ürün kayıpları %40'ları bulmakta hatta uygun iklim koşulları gerçekleştiğinde bu kayıplar %100'lere ulaşmaktadır (Douiyssi vd. 1998; Mathre 1997). Bununla beraber çoğu bölgelerde yeterli survey çalışmaları olmadığından net kayıplar tam olarak bilinmemektedir. Ağ benek leke hastalıkları Avrupa, Kanada, Güney Afrika, ABD ve

Akdeniz Bölgesinde oldukça ciddi bir problem oluşturmaktadır (Tekauz ve Buchannon, 1977; Khan ve Tekauz, 1982; Karki ve Sharp, 1986; Louw vd. 1995).

Drechslera patojeninin iki formu olan *Drechslera teres* f. *teres* ve *Drechslera teres* f. *maculata* formları yaprak üzerindeki belirtileri açısından farklıdır. *Drechslera teres* f. *teres* ağ şeklinde, uzun koyu kahverengi lekeler ve bunlara eşlik eden sararma (kloroz) belirtileri oluşturur. *Drechslera teres* f. *maculata* ise sarı bir hale ile çevrilmiş oval şekilli küçük lezyonlar oluşturmaktadır (Smedegard-Petersen, 1977). Yapılan genetik çalışmalar ve eşleştirmenin ardından yapılan gen dizilemeleri bu iki formun birbirleri ile yakın ilişkili olduğunu belirtse de bu iki formun birbirinden genetik olarak uzak ve filogenetik olarak da birbirinden bağımsız oldukları çoklu çalışmalarla gösterilmiştir (Liu vd., 2011).

Hastalık belirtileri olan kahverengi lekelerin ana nedeni fungusun ürettiği protein yapılı toksinlerdir. Sararmaların (kloroz) nedeni ise yine fungus kaynaklı düşük molekül ağırlıklı maddelerdir -ki bu maddelerin bir kısmı Toksin A ve Toksin C örneklerinde olduğu gibi N-(2-amino-2-karboksi etil) aspartik asid ve N-[2-(2-amino-2-karboksietil-amino)-2-karboksietil] aspartik asit gibi amino asit türevi maddeler (Bach vd. 1979; Friis ve Moller, 1991) yada prenolinler gibi maddedir. Bu maddelerin bir diğeri Sarpeleh vd. (2009) tarafından *Drechslera teres* kültür filtratlarından izole edilen Aspergillomarasmin B ve Toksin A ile fenilalaninin keto asit formunun konjugasyon ürünü olan düşük moleküler ağırlıklı maddeler olarak tanımlanan UV ışığı absorblayan toksindir.

Literatür incelendiğinde hastalığın nokta formuna neden olan *Drechslera teres* f. *maculata* fungusularındaki moleküler çalışmalar arasında her iki form etmeninin SSH yöntemi ile savunma cevabında etkin olan 45 genin farklılığını Bogacki ve arkadaşları (2008) tarafından bulunmuştur. Hastalığın ağ tipine neden olan *Drechslera teres* f. *teres* 'in ürettiği protein bazlı toksinlerin bazıları (İsmail vd. 2014) tarafından tanımlanmıştır fakat nokta formu etmeni olan *Drechslera teres* f. *maculata* için böyle bir proteomiks çalışması ne misel proteomu ne de sekretom profili olarak mevcut değildir. Bu çalışma kapsamında tanımlanan 158 proteine karşılık 127 tek proteinin 10 tanesi sinyal peptid içermekte ve bu proteinler ekstrasellüler özellikle olup aday efektördürler. Yani patojenin virülsesi ve patojenisite mekanizmaları hakkında önemli bilgi sağlayıcı moleküllerdir.

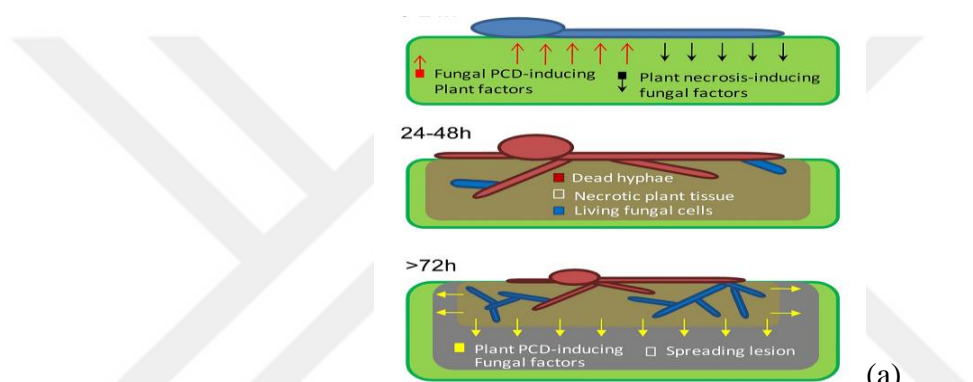
2. KAYNAK ARAŞTIRMASI

Bitkide hastalık yapan funguslar parazitlik özelliklerine ve enfeksiyon stratejilerine göre; sınıflandırılırlar.

Nekrotrofik patojenler obligat olmayan parazitler olarak adlandırılırlar. Birçok bitki patojeni nekrotrofik mantar olarak sınıflandırılır. Bunlar konukçusunun hücrelerini öldürür ve onlarla beslenirler bu amaçla liziz enzimlerinin çok farklı çeşitlerini salgılarlar (Schafer, 1994). Nekrotrofik mantarlar, hücredeki enzimleri hedef alan toksik maddeleri sentezleyerek hücrenin ölümüne yol açar ve ölü hücrenin içeriğini metabolize ederler. Bu mantarlar genellikle saprofittirler ve yaşayan bir konukçu bulunmaması durumunda, sclerotia, spor ya da miseller oluşturarak ölü bitki dokusu içerisinde yaşarlar, fırsat bulduklarında ise, bu mantarlar parazite dönüsür ve bitkiyi öldürür ve ardından bu ölü bitki dokuları ile beslenirler. Nekrotrofiklerin ürettiği ikincil metabolitler, duyarlı konukçu hücreler için zehirlidir. Nekrotrofik patojenler genellikle konak spesifik değildirler geniş bitki çeşitlerinde hastalık oluştururlar (Lucas 1998)

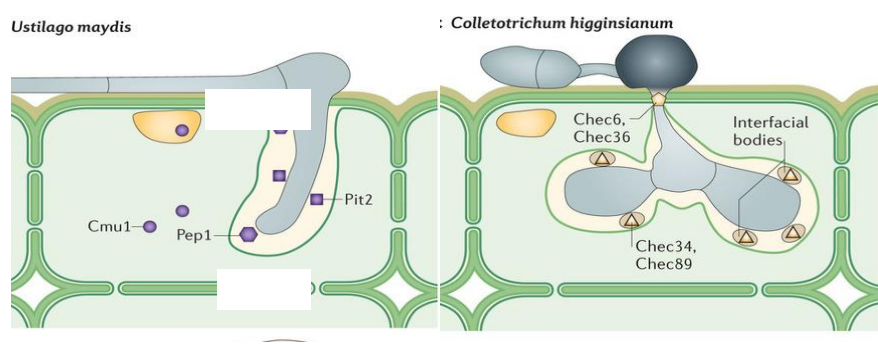
Biyotrofik patojenler, bazen obligat parazitler olarak adlandırılırlar (Scott, 1972). Bunlar canlı hücreye gereksinim duyarlar. Biyotrofik patojenlerin çoğu oldukça yüksek oranda özgün konukçuya gereksinim duyar yani belirli bitki türlerinde etkindirler (Lewis, 1973; Lucas, 1998). Özellikle bitkilerin organlarına saldırır ve bütün besinlerini konaklarından sağlarlar, bitkiden besini sağlamak amacıyla çeşitli infektör yapılar oluştururlar(Gay 1984; Mendgen vd. 2000). Patojenin yaşam koşullarına ve stratejilerine bağlı olarak haustoria oluşması için gerekli süre değişkendir. Örneğin; arpada külleme hastalığına neden olan *Blumeria graminis* f. sp. *hordei* için haustoria oluşumu enfeksiyonu müteakip 15-18 saat içinde başlar (Eichmann ve Huckelhoven 2008). Bitki dokularını istila ederler, ancak onları öldürmezler veya aşamalı olarak yavaş yavaş öldürürler. Böylelikle sürekli besin sağlamayı garantiye almış olurlar. Bu patojenler, konukçu hücrelerine gelişme dönemlerinin sonunda zarar verirler Nekrotrofiklerden farklı olarak, biyotrofik mantarlar enfekte ettiğleri hücrenin metabolizmasını, kendi gelişme ve üremelerini kolaylaşdıracak şekilde değiştirirler ve salgıladıkları liziz edici enzimler sınırlı çeşit ve miktarlardadır (Cooper, 1984; Lewis, 1973; Mendgen and Hahn, 2002).

Hemibiyotrofik patojenler, mikoparazitizmin erken döneminde konağa fazla zarar vermemektedirler. Ancak parazitizmin ileri aşamalarında bitkiyi öldürürler. Bu yaşam stratejisine sahip olduğu anlaşılan ilk patojenik bitki mantarları *Colletotrichum* türlerinden soya fasulyesinde antraknoz hastalığına neden olan *Colletotrichum lindemuthianum* ve Patatesten geç yanıklık (late blight) hastalığının etkeni olan *Phytophthora infestans* gibi mantarlardır. Hemibiyotrofik mantarlar, bir süre biyotrofik olarak yaşamını sürdürdükten sonra aniden nekrotrofik safhaya geçer ve bitkinin ölümüne neden olurlar. Yine çalışmamızda proteom haritasını çıkardığımız *Drechslera teres* f. *maculata* patojeni de hemibiyotrof bir patojendir. (Lightfoot, D.J., Able, A.J. 2010)



(a)

(Shlezinger vd.2011)PL OS Pathogens



(b)

(c)

(Giraldo ve Valent 2013) Nature Reviews

Şekil 2.1. Nekrotrof, biyotrof ve hemibiyotrof fungus stratejileri (a) gri küf hastalığına neden olan nekrotrofik patojen *Botrytis cinerea* (b) Mısırda sarı pas etkeni biyotrof *Ustilago maydis* (c) Turpgiller ailesinden bitkilerde antraknoza neden olan hemibiyotrof patojen *Colletotrichum higginsianum*

2.1. Ağ Benek Leke Hastalıkları

Arpa üretiminde kalite ve kantitenin azalmasında arpa ekim alanlarının erozyon gibi çevresel faktörlerden dolayı azalmasının yanı sıra çiftçilerin sertifikalı ve hastalıklara dayanıklı tohum kullanma oranının düşük olması da etkilidir. Çeşitli bakterilerin, fungusların, virüslerin ve nematodların neden olduğu hastalıklar verimi önemli ölçüde etkileyen faktörlerin başında yer almaktadır. Arpada verim kaybına neden olan en önemli hastalıklar arasında üst sıralarda fungal hastalıklar yer almaktır ve bu hastalıklar arpada kök, yaprak, başak veya sap kısımlarını etkilemektedirler.

Türkiye'de en sık rastlanan ve önemli ürün kayiplarına neden olan arpa fungal hastalıkları yaprak lekesi, ağ benek leke hastalığı, kök çürüklükleri, külleme hastalıkları ve pas hastalıklarıdır.

Arpa üreticisi ülkelerde ve ülkemizde ekonomik olarak önemli arpa hastalıklarından olan ağ benek leke hastalığı *Drechslera teres* fungusu tarafından meydana getirilmektedir. Etmenin iki formu bulunmaktadır. *Drechslera teres* f. *teres* **ağ** tipi belirtiler *Drechslera teres* f. *maculata* ise **nokta** tipi belirtiler meydana getirmektedir (Shipton vd. 1973; Mathre, 1997; McLean vd. 2009). Bu hastalıklardan kaynaklanan ürün kayipları %40'lari bulmakta hatta uygun iklim koşulları gerçekleştiğinde bu kayiplar %100'lere ulaşmaktadır (Douiyssi vd. 1998; Mathre, 1997). Bununla beraber çoğu bölgelerde yeterli survey çalışmaları olmadığından net kayiplar tam olarak bilinmemektedir.

Drechslera patojeninin iki formu olan *Drechslera teres* f. *teres* ve *Drechslera teres* f. *maculata* formları yaprak üzerindeki belirtileri açısından farklıdır. *Drechslera teres* f. *teres* ağ şeklinde, uzun koyu kahverengi lekeler ve bunlara eşlik eden sararma (kloroz) belirtileri oluşturur. *Drechslera teres* f. *maculata* ise sarı bir hale ile çevrilmiş oval şekilli küçük lezyonlar oluşturmaktadır (Şekil 2.1.1 (b)) (Smedegard-Petersen, 1977). Yapılan genetik çalışmalar ve eşleştirmenin ardından yapılan gen dizilemeleri bu iki formun birbirleri ile yakın ilişkili olduğunu belirtse de bu iki formun birbirinden genetik olarak uzak ve filogenetik olarak da birbirinden bağımsız oldukları çoklu çalışmalarla gösterilmiştir (Liu vd. 2011).

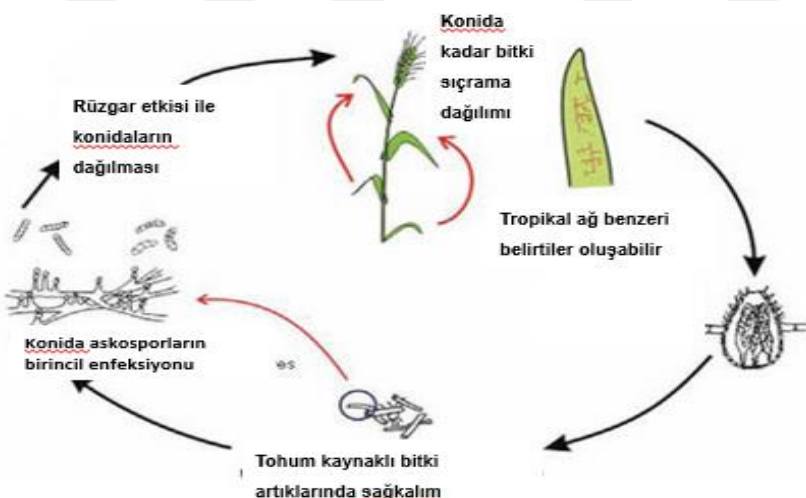


(a)

(b)

Şekil 2.1.1. (a)Net form ağ benek leke hastalığı. (*Drechslera teres f. teres*)
 (b)Nokta form ağ benek leke hastalığı. (*Drechslera teres f. maculata*)

Ayrıca nokta formu ağ benek leke hastalığına neden olan *Drechslera teres f. maculata* fungusunun yaşam döngüsü ağ tipi ağ benek leke hastalığına neden olan *Drechslera teres f. teres* fungusunun yaşam döngüsü incelendiğinde önemli farklılıklar gözlenmemektedir.



Şekil 2.1.2. *Drechslera teres f. teres* ve *Drechslera teres f. maculata*'nın yaşam döngüsü

Yukarıda verilen döngü daha çok *Drechslera teres f. teres*'e ait yaşam döngüsü hakkında net bilgi vermektedir. *Drechslera teres f. maculata*'nın enfeksiyon süreci ile ilgili araştırma oldukça azdır. *Drechslera teres f. maculata*'nın enfeksiyonu

gerçekleştirmesi için gerekli zaman *Drechslera teres* f. *teres*'ten daha kısalıdır (Van den Berg ve Rossnagel 1990).

Yaprak yüzeyinde bulunan konidi veya askosporların çimlenmesi ile enfeksiyon başlar ve sporlar kısa sürede çimlenir.

Askosporların çimlenmesi ile apresoryum oluşur, bu apresoryum penetrasyon kancaları oluşturarak hücre içi enfeksiyon vezikülleri (haustorya benzeri yapılar) ile epidermal hücre duvarına nüfuz eder.

Askosporların ilk girişinden sonra patojen epidermal hücrelerde büyür ve koloniler oluşturur (Hargreaves ve Keon 1983). Bundan sonraki adım konida oluşum ve yayılmasıdır ve ilk enfeksiyonu takiben 2-3 haftayı alır.

Oluşan konidiler rüzgâr ve yağmurla uygun sıcaklık ve nem koşullarında yeni bitkilere onları enfekte etmek üzere taşınırlar.

Drechslera teres f. *teres* ve *Drechslera teres* f. *maculata* yaşam evreleri açısından karşılaştırıldığında her ikisinin de germ tüpleri ve apresorya oluşturduğu görülmektedir.

Drechslera teres f. *teres* doğrudan epidermal hücrelere girerken *Drechslera teres* f. *maculata* önce hostorya benzeri veziküller oluşturur ve biyotroflar gibi davranışırken çok hızlıca nekrotrof büyümeye geçer.

Drechslera teres f. *teres* nekrotrof iken *Drechslera teres* f. *maculata* hemibiotroftur (Lightfoot ve Able 2010).

Drechslera teres f. *maculata* 'nın yaşam döngüsünün daha iyi anlaşılması için çeşitli seviyelerde moleküller çalışmalara ihtiyaç vardır. *Drechslera teres* tarafından oluşturulan ağ benek leke hastalığı etmeninin Ankara koşullarında biyolojisini bir kısmını aydınlatacak çalışmalar yürütülmüştür. Toprak altında ve üstünde bırakılan hastalık yapraklarda etmenin konidi ve konidioforları ve pseudotheciumlar bulunmuştur. Askosporlara rastlanamamıştır. Piknitlere soğutmalı inkübator çalışmalarında rastlanmıştır. Soğutmalı inkübörde petri kutularındaki fungus 0 ve -10 °C lerde hastalık yapraklarda ise -10 °C de canlılığını muhafaza etmiştir. Hastalık etmeni kişi Ankara koşullarında canlı olarak geçirebilmekte ve konidilerin enfeksiyonda önemli rol oynadığı sanılmaktadır. (Karakaya vd. 2004)

2.1.1. Proteom ve Proteomiks

Proteom; tanımlanmış bir zamanda ve biyolojik, fiziksel veya kimyasal bir koşulda bir organizma, genomu tarafından ifade edilen tüm proteinlerdir.

Proteomiks; bu proteomların kütle spektrometrisinde içine alan ileri analitik teknikler ile aydınlatılmasıdır.

Proteomiks çalışmalar amaca yönelik olarak bir kaç madde altında toplanabilir;

1) Tanımlayıcı (descriptive) Proteomiks: Bir organizma, doku veya hücrenin tanımlanmış bir zaman ve koşulda ifade edilen bütün proteomunun tanımlandığı yöntemdir.

2) Farklılaşım (diffential) Proteomiks: Farklı izolatlar arasında, aynı organizmanın abiyotik veya biyotik stres koşullar altında proteinlerin ekspresyon düzeyindeki farklılıklarını aydınlatmaya yönelik farklılaşım (diffential) proteomiks yöntemidir.

3) Post Translasyon Modifikasyon Proteomiks: Translasyon sonrası değişikliklerin tanımlanmasını esas alan post translasyon modifikasyon proteomiks çalışmaları yöntemidir.

4) Etkileşim Proteomiks: Tanımlanan proteinler arasındaki iletişimini ve bu etkileşim sırasındaki moleküllerin tanımlanmasını kapsamaktadır.

5) Sekretomiks: Hücrenin fizyolojik proseslerinde rol alan salgı proteinlerinin tanımlanmasını kapsar.

2.1.1.1. Proteomiks ve Fungus Proteomu

Canlılığın en temel iki ilkesi kataliz ve nesilden nesile bilginin aktarılmasıdır. Kataliz enzimler tarafından gerçekleştirilirken bilginin aktarılması DNA'nın kendini kopyalama özelliği ile sağlanmaktadır, yani DNA canlılığın kodudur. Bu molekülün kalıp olarak kullanılması ile diğer bir nükleik asit yapısı olan mRNA sentezlenmektedir yani DNA kodunun okunması -transkripsiyon- olayı gerçekleşmektedir. Organizma, organ, organel, doku, hücrede gerçekleştirilen ister katalitik isterse yapısal özelliklerini belirleyen biyomoleküller yapılar transkripte edilen mRNA'nın traslasyonu ile oluşan proteinlerdir.

Mikro organizmalar, fare gibi hayvansal organizmalar, model bitkilerden *Arabidopsis thaliana*, pırıncı gibi çeşitli organizmaların genom bilgileri değişik zamanlarda dizilenmiştir ve hala dizilenmeye devam edilmektedir. İnsan genomu ise 2000 yılında dizilenmiştir ve 24-26000 genden oluşmaktadır. Dr. Matt Ridley'in *Genom: The Autobiography of a species in 23 chapters* adlı kitabında genomu 23 bölümden (**kromozom**) oluşan bir kitap olarak tanımlarken her bölümdeki sayısız hikayenin **genlerden** olduğunu ve bu hikayelerin her bir paragrafinin **ekzonları** oluşturduğunu bu hikayelerden olduğunu ve bu hikayelerin **ekzon** adı verilen paragraflardan olduğunu paragrafların **intronlarla** kesildiğini tanımlamaktadır. Bridley'e göre paragrafların cümleleri **kodon** denilen harflerini 4 çeşit bazın oluşturduğu kelimelerden oluşmaktadır. Kodonların dizilişine uygun olarak ribozomun yardımı ile amino asitlere ve bunların belli şekilde dizilenmesi ile proteinleri oluşturmak üzere **PROTEİN** diline çevrilir.

Yukarıda bahsettiğimiz gibi insan genomu yaklaşık 26000 gen içermektedir. Peki buna karşılık 26000 proteine mi sahibiz?

Proteomik hastalık, sağlık, çeşitli biyotik ve/veya abiyotik stresler altındaki biyolojik sistemlerin kontrolü, fonksiyonu ve detaylı yapısal özelliklerinin anlaşılması maksadı ile proteinlerin çeşitli özelliklerinin sistematik olarak çalışılmasını kapsamaktadır. Proteinlerin hemen hemen bütün biyolojik aktivitelerde rol alması nedeni ile biyolojik bilginin zengin bir kaynağıdır.

Proteomik proteinlerle ilgili olarak proteinlerin hücredeki lokasyonu, bolluğu, dönüşüm hızı diğer proteinlerle, nükleik asitlerle ve iyonlarla olan etkileşimleri, post translasyonal değişiklikleri (PTM) gibi çeşitli sorulara cevap verir.

Gerek *Drechslera teres* f. *teres* ve *Drechslera teres* f. *maculata* patojenlerini birbirinden ayırmak için gerekse dayanıklı hatların belirlenmesi amacı ile yapılan moleküler çalışmalar her iki patojen için sınırlı olmakla beraber *Drechslera teres* f. *maculata* patojeni için yapılan çalışmalar çok azdır. Bu çalışmalar genellikle survey çalışmalarıdır.

Yüzbinlerce bitki fungusundan 15000 tanesi hastalık yapmaktadır. Bugüne kadar 1000'e yakın fungusun genomu dizilenmiştir ve bunlardan 66 tanesi bitki funguslarıdır. Bunun yanında patojenik bitki fungusları ile ilgili *Proteomics* dergisinde yayınlanan proteom çalışmalarının sayısı 40'ı geçmemektedir

(<http://fungi.ensembl.org>), (<http://www.genomesonline.org>). Genomu bilinen bitki Funguslarının tablosu Tablo 1’de verilmiştir.

Tablo 1. Genomu Dizilenen Bitki Fungusları

| Funguslar | Tahıllara Enfekte Edenler | Tahıl Çeşidi | *Neden Olduğu Hastalık |
|---|---------------------------------|-------------------------------|----------------------------------|
| <i>Ashbya gossypii</i> | | | |
| <i>Aspergillus ochraceoroseus</i> | | | |
| <i>Aspergillus parasiticus SU-1</i> | | | |
| <i>Bipolaris maydis</i> | ✓ | Mısır | Güney Yaprak Küfü |
| <i>Bipolaris Oryzae</i> | ✓ | Çeltik | Kahverengi Nokta Hastalığı |
| <i>Bipolaris victoriae FI3</i> | ✓ | Çeşitli Bitkiler | Viktoria Küfü |
| <i>Bipolaris zeicola</i> | ✓ | Mısır | |
| <i>Blumeria graminis</i> | ✓ | Arpa | Külleme |
| <i>Blumeria graminis f. sp. tritici</i> | ✓ | Buğday | Külleme |
| <i>Botryobasidium botryosum</i> | ✓ | Çeşitli Bitkiler | |
| <i>Botrytis cinerea</i> | ✓ | Tahıllar ve diğer bitkiler | Gri Küf |
| <i>Ceratocystis platani</i> | | | |

| | | | |
|---------------------------------------|---|-----------------|--|
| <i>Ceriporiopsis subvermispora</i> | | | |
| B | | | |
| <i>Chaetomium globosum</i> | | | |
| <i>Claviceps purpurea 20.1</i> | | | |
| <i>Colletotrichum fioriniae PJ7</i> | | | |
| <i>Colletotrichum gloeosporioides</i> | | | |
| <i>Colletotrichum graminicola</i> | ✓ | Mısır ve Buğday | |
| <i>Colletotrichum higginsianum</i> | | | |
| <i>Colletotrichum orbiculare</i> | | | |
| <i>Colletotrichum sublineola</i> | | | |
| <i>Coniophora puteana</i> | | | |
| <i>Dactylellina haptotyla</i> | | | |
| <i>Diaporthe ampelina</i> | | | |
| <i>Diplodia seriata</i> | | | |
| <i>Dothistroma septosporum</i> | | | |
| <i>Erysiphe necator</i> | | | |

| | | | |
|--|---|------------------------------------|-------------------------|
| <i>Eutypa lata UCREL1</i> | | | |
| <i>Fibroporia radiculosa</i> | | | |
| <i>Fomitiporia mediterranea</i> <i>MF3/22</i> | | | |
| <i>Fomitopsis pinicola FP-</i> <i>58527 SS1</i> | | | |
| <i>Fusarium fujikuroi</i> | √ | Çeltik | Bakanae Hastalığı |
| <i>Fusarium graminearum</i> | √ | Buğday, mısır ve diğer tahillar | Başak Yanıklığı |
| <i>Fusarium oxysporum</i> | | | |
| <i>Fusarium oxysporum f. sp.</i> <i>Cubense</i> | | Muz | Panama Hastalığı |
| <i>Fusarium oxysporum f. sp.</i> <i>Lycopersici</i> | | Domates | Fusarium Solgunluğu |
| <i>Fusarium oxysporum f. sp.</i> <i>Pisi</i> | | Bezelye | Fusarium Solgunluğu |
| <i>Fusarium oxysporum f. sp.</i> <i>radicis-lycopersici 26381</i> | | Domates | Taç ve Kök Çürüklüğü |
| <i>Fusarium oxysporum f. sp.</i> <i>raphani</i> | | | |
| <i>Fusarium oxysporum f. sp.</i> | | | |

| | | | |
|--|---|------------------|------------------------|
| <i>vasinfectum</i> 25433 | | | |
| <i>Fusarium pseudograminearum</i> | ✓ | Buğday | Başak Yanıklığı |
| <i>Fusarium solani</i> | | | |
| <i>Fusarium verticillioides</i> | | | |
| <i>Gaeumannomyces graminis</i> var. <i>tritici</i> R3-111a-1 | ✓ | Buğday | Karakök Çökerten |
| <i>Gibberella fujikuroi</i> | ✓ | Çeltik | Bakanae Hastalığı |
| <i>Gloeophyllum trabeum</i> | | | |
| <i>Grosmannia clavigera</i> kw1407 | | | |
| <i>Leptosphaeria maculans</i> | | Lahanagiller | Karabacak Hastalığı |
| <i>Macrophomina phaseolina</i> MS6 | | Çeşitli Bitkiler | Kök Çürüklüğü |
| <i>Magnaporthe comparative</i> | ✓ | Çeltik | Çeltik Yanıklığı |
| <i>Magnaporthe oryzae</i> | ✓ | Çeltik | Çeltik Yanıklığı |
| <i>Magnaporthe poae</i> | | | |
| <i>Marssonina brunnea</i> f. sp. | | | |

| | | | |
|---|---|-----------------|----------------------------------|
| <i>'multigermtubi' MB_m1</i> | | | |
| <i>Melampsora larici-populina</i> | | | |
| <i>Microbotryum lychnidis-dioicae</i> | | | |
| <i>Microbotryum violaceum</i> | | | |
| <i>Moniliophthora perniciosa</i> | | | |
| <i>Moniliophthora roreri</i> | | | |
| <i>Phaeosphaeria nodorum</i> | ✓ | Buğday | |
| <i>Puccinia striii Formis f. sp. tiritici</i> | ✓ | Buğday | Sarı Pas |
| <i>Puccinia graminis f. sp. tritici</i> | ✓ | Buğday | Kara Pas |
| <i>Puccinia triticina</i> | ✓ | Buğday | Kahverengi Pas |
| <i>Pyrenopeziza sp. DS3sAY3a v1.0</i> | | | |
| <i>Pyrenophora tritici-repentis</i> | ✓ | Buğday | Bronz Leke Hastalığı |
| <i>Pyrenophora teres f. teres</i> | ✓ | Arpa | Ağ Formu Ağ Benek Leke Hastalığı |
| <i>Rhizopus oryzae</i> | ✓ | Çeltik | |
| <i>Stagonospora nodorum</i> | ✓ | Buğday ve diğer | Mürekkep |

| | | tahıllar | Lekesi |
|---------------------------------|---|---------------------------------------|-----------------|
| <i>Sclerotinia sclerotiorum</i> | ✓ | Tahıllarıda içine alan 400 bitki türü | Beyaz Küf |
| <i>Ustilago maydis</i> | ✓ | Mısır | Sürme Hastalığı |

*Tahılları etkileyen patojenlerin neden olduğu hastalık isimleri verilmiştir.

Ağ benek leke hastalığına neden olan fungustaki moleküller çalışmalar *Drechslera teres* f. *teres* izolatlarına konakta gelişen ve kalıtımsal olan Pt1, Pt2, Pt3 olarak belirtilen direnç genleri 1955 ve 1958 yıllarında tanımlanmışlardır (Schaller 1955; Mode ve Schaller 1958). Bu tür direnç genleri *Drechslera teres* f. *maculata* için henüz tespit edilememiştir.

Drechslera teres f. *maculata* popülasyonları seksüel rekombinasyona uğrar ve farklı direnç genlerine sahip birden fazla virülensi olan patotiplere sahiptir dolayısı ile de oluşan direncin üstesinden gelebilecek güce sahiptir.

Fungus tarafından üretilen ve fungusun virülensliğinden sorumlu olan genlerin hangilerinin baskın olduğunu anlama açısından efektörler olarak isimlendirilen proteinlerin tanımlanması virülens ve/veya avirülens faktörlerinin anlaşılması arasında önemlidir. Bu efektör proteinlerin biyotrof patojenler için enfeksiyonun ilerlemesini sınırlama özelliği olabilirken nekrotroflar için enfeksiyonun olmasını sağlarlar, hemibiotroflar için ise hastalığın bulunduğu faza göre farklı etkileri olabilir (Kamoun 2007). Bu moleküllerin tanımlanması patojenin ve hastalığın moleküller mekanizmalarının anlaşılması sırasında önemli kilometre taşlarının oluşmasını sağlayacak ve dayanıklı genotiplerin üretimine ve etkin mücadele stratejilerinin geliştirilmesine imkân sağlayacaktır.

Genom dizi bilgisine sahip olmak önemlidir ama tek başına yeterli değildir, genomu oluşturan genlerin fonksiyonunu, patogenez sırasında aktive olan yolakları anlamamızı sağlayamaz. Genlerin fonksiyonlarını açıklayabilmek için knock-out, knock-down ve microarray tekniklerini temel alan transkriptomiks çalışmaları ile mRNA seviyesinde gen ekspresyonu ve bitki-patojen etkileşiminde rol alan moleküler mekanizmaların aydınlatılmasında da bu yöntemler önemlidir. Ama bir genin bir proteine karşılık gelmemesinden dolayı, post translasyonel modifikasyonlar

ve fonksiyonel moleküller olan proteinlerin tanımlanması mekanizmaların anlaşılması sırasında önemlidir. Bu nedenle son yıllarda proteomiks yaklaşımların yaygın biçimde kullanıldığı ve etkinliğinin her geçen gün attırıldığı çalışmalar büyük ilgi görmektedir.

Proteom haritalaması için gerek jel bazlı ve gerekse jelsiz teknikler kullanımının ardından her iki teknikte LC-MS/MS tekniği ile kombine edilerek (2DE-LC-MS/MS) proteom tanımlanmaktadır. Bu çalışmada jel bazlı (2-DE) proteomik yöntemi ile *Dechslera teres* f. *maculata* izolatlarının proteom haritalarının çıkarılması hedeflenmektedir. Böylece virülsilikte ve/veya avirülsilikte rol alan moleküller, efektör proteinler tanımlanacaktır. Bununla birlikte *Pyrenophora teres*'in her iki formu içinde virülsilik mekanizmaları ve konak direnç mekanizmaları ile ilgili bilgi deklare edilmemiştir (İsmail vd. 2014). Ismail ve meslektaşlarında gerçekleştirilen (2016) **Secretom** çalışması yine *Drechslera teres* f. *teres* patojeninin en virulent 7 izolatı için gerçekleştirılmıştır. Patojenin hastalığı indükleme mekanizması ve patojenin konak tarafından nasıl tanınarak savunma oluşturduğu ancak efektör ve salgılanan proteinlerin tanımlanması ile mümkün olacaktır. Yapılacak çalışmaların sonuçlarının bu bağlamda da katkı sağlama hedeflenmektedir.

3. MATERİYAL VE YÖNTEM

Bu çalışma kapsamında izolattan elde edilen misel protein profilinmesi jel bazlı proteomiks yöntemi ile gerçekleştirildi. Proteom haritalaması için gerek jel bazlı ve gerekse jelsiz teknikler kullanımının ardından her iki teknikte LC-MS/MS tekniği ile kombine edilerek (2DE-LC-MS/MS) proteom profili tanımlanmaktadır. Bu çalışmada jel bazlı (2-DE) proteomiks yöntemi ile *Drechslera teres f.maculata* GPS 79 izolatının proteom haritalarının çıkarılması gerçekleştirildi.

Ankara Üniversitesi Ziraat Fakültesi Bitki Koruma Bölümü Öğretim Üyesi Prof. Dr. Aziz KARAKAYA'dan çeşitli coğrafi bölgelerden topladığı *Drechslera teres f. maculata* patojenine ait GPS 79 izolatının miselyumları yetiştirildi ve 7 günlük örneklerden total protein ekstraksiyonu Fenol-SDS (Chatterjee vd. 2012) yöntemi kullanılarak gerçekleştirildi.

3.1. Tek İzolat Eldesi

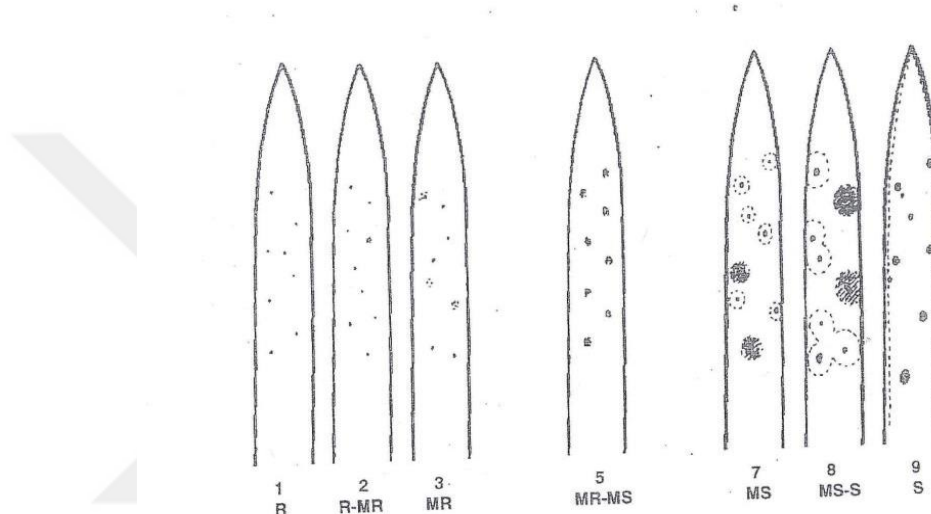
3.1.1. Fungusun izolasyonu ve tek spor elde edilmesi

Türkiye'nin çeşitli coğrafik bölgelerinden toplanan arpa ağ benek hastalığı ile bulaşık arpa yaprak örnekleri laboratuvara getirilerek %1' lik sodyum hipoklorit çözeltisi içinde 1-2 dakika bekletilerek yüzey sterilizasyonu yapılmıştır. Yaprak örnekleri daha sonra steril saf su ile durulanmış ve steril kurutma kağıdı arasına alınarak kurutulmuştur. Ardından steril nemli hücrelere aktarılmış ve 3-4 gün 23-25°C de spor üretimi sağlanmıştır. Sporulasyon sağlanan örneklerden ince uçlu steril iğne ile stereo mikroskop altında tek bir spor alınarak su agarına aktarılmıştır. Daha sonra gelişen spor Patates Dekstroz Agar (PDA) (Bismark, Almanya) ortamına aktarıldı.

3.1.2. Patojenisite Testlerinin Yapılması ve Yüksek Virülsilik Gösteren İzolatın Seçilmesi

PDA ortamında geliştirilen izolatlardan fırça ile miseller kazınarak spor süspansiyonu hazırlandı. Her 100 ml suya 1 damla yayıcı yapıştırıcı eklenerek arpa ağ benek hastalığına hassas çeşit olan Bülbül 89 çeşidine inokulasyon yapıldı. İnokulasyon yapılan bitkiler naylon torba ve/veya nemli kapaklı kutular içinde kontrollü koşullar altında 72 saat bekletildi. Kapaklı kutuların kullanıldığı

durumlarda kapaklı kutuların havalandırmaları açılarak 24 saat daha bekletilmiştir. İnokulasyondan 7-10 gün sonra Tekauz (1985) skalası kullanılarak değerlendirme yapıldı. Hastalık belirtilerinin skala değerlerine bakılarak patojen olup olmadığı ve virülenslik seviyesi değerlendirildi. Düşük ve yüksek virülenslik gösteren izolatların seçimi patojen olan izolatların hassas çeşit olan Bülbül 89'a tepkilerinin Tekauz (1985) skalası ile değerlendirmesi sonucunda gerçekleştirildi (Karakaya ve Akyol 2006, Taşkoparan ve Karakaya, 2009, Aktaşdoğan vd 2013, Usta vd2014).

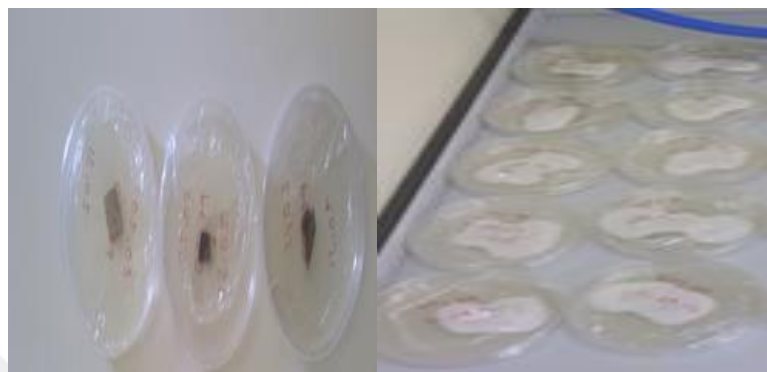


Şekil 3.1.2.1. Hastalık etmeninin nokta formu (*Drechslera teres* f. *maculata*) için geliştirilen skala Tekauz (1985). R: Dayanıklı (D), R – MR: Dayanıklı – Orta Derecede Dayanıklı (D - OD), MR: Orta Derecede Dayanıklı (OD), MR – MS: Orta Derecede Dayanıklı – Orta Derecede Hassas (OD - OH), MS: Orta Derecede Hassas (OH), MS – S: Orta Derecede Hassas – Hassas (OH - H), S:Hassas (H)

3.1.3. *Drechslera teres* f. *maculata* Fungusunun Çoğaltılması

Drechslera teres f. *maculata* fungusunun yüksek virülens gösteren izolatı (GPS 79) PDA (Patates Dekstroz Agar) besiyerinde büyütüldü. PDA besiyeri üreticinin talimatları doğrultusunda hazırlandı (39 g/1L olacak şekilde PDA tartıldı ve bi destile su ile karıştırılarak 1 L ye su ile tamamlandı. Besi yerinin hazırlandığı şişelere otoklav bandı yapıştırılarak 30 dakika otoklavda steril edildi. Hazırlanan PDA sıcak halde 9 cm çaplı petri kaplarına eşit miktarda aktarıldı ve soğuma işlemi sonrasında izolatların ekim işlemi gerçekleştirildi. Her bir petriye 5mm'lik mantar

delici kullanılarak 3 adet misel parçası aktarıldı. 25°C de 12 saat aydınlık 12 saat karanlık döngüsüne sahip inkübatörde büyümeye bırakıldı) ve daha önceden aktarılması gerçekleştirilen GPS79 örnekleri ilk aktarımından 7 (yedi) gün sonra bisturi veya lamel yardımı ile izotat miselyumları buz üzerinde bulunan steril petriler içine toplandı ve 3.1.4.1'deki gibi protein ekstrakte edildi.



Şekil 3.1.3.1. PDA üzerinde petrilere büyümeye bırakılan GPS 79 *Drechslera teres* f. *maculata* fungusu

3.1.4. Misellerden Total Protein Ekstraksiyonu

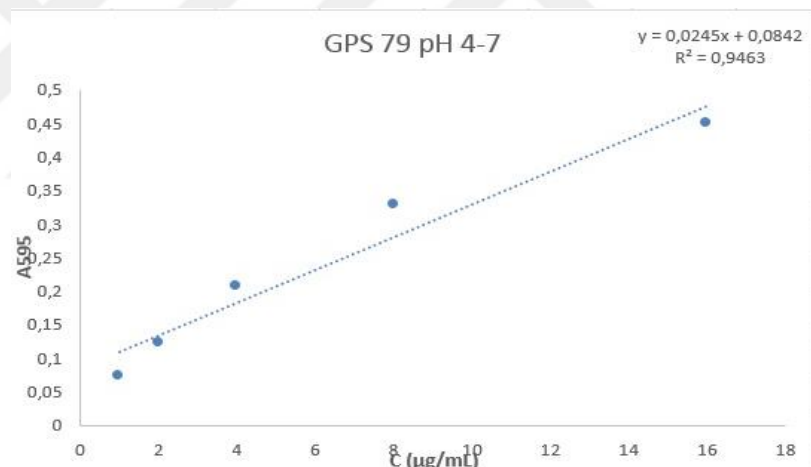
1. PDA besiyerine daha önceden aktarılması gerçekleştirilen GPS79 örneklerinden ilk aktarımından 7 (yedi) gün sonra miselyum bisturi veya lamel yardımı ile buz üzerinde protein ekstraksiyonu yapmak üzere toplandı.
2. Yukarıda belirtildiği şekilde toplanan miseller tartılarak sıvı azot yardımı ile havanda yaklaşık 1 saat çok ince toz haline getirildi.



Şekil 3.1.4.1. Misel örneklerinden protein ekstraksiyonu

3. Ezme işlemini takiben çok ince toz haline getirilen misel, ağırlığının 3 katı SDS-Tamponu (soğuk Sodyum Dodesil Sülfat ekstraksiyon tamponu)(% 30 sükroz(Merck, USA)(w/v), %2 SDS (Sodyum Dodesil Sülfat) (Merck, USA) (w/v), 0.1M Tris.HCl pH8.0 (Merck, USA)ve 1Mm PMSF (Fenil Metil Sulfonil Florür) (Sigma, USA)) içeren tüp içerisine alındı.
4. Daha sonra bu karışım ultrasonik banyoda 6 defa 15 saniye buz içerisinde sonikasyon işlemine tabi tutuldu.
5. Sonikasyon sonrasında elde edilen örnek süspansiyonu üzerine başlangıç SDS-tamponuna eşit hacimde Tris ile doyurulmuş Fenol Solüsyonu (Sigma, USA) eklenecek +4°C'de 10 dakika vortekslendi.
6. Vorteks işleminden sonra çözelti santrifüj tüplerine alınarak 8,000 xgde 10 dakika +4°C'de Thermo Sciantific (MR23i) soğutmalı santrifüj cihazı ile santrifüj yapıldı.
7. Santrifüj sonrasında proteini içeren en üstteki fenolik faz ayrı bir temiz tüpe alınarak alttaki pellet (katı) faza tekrar aynı miktar fenol katılarak ekstraksiyon işlemi tekrarlandı, elde edilen fenolik fazlar birleştirildi.
8. Bu toplanan fenolik fazın üzerine toplam hacmi kadar SDS-tampon eklenecek 3-10 dakika soğukta karıştırıldı.
9. 8,000 xg'de 10 dakika +4°C'de santrifüj yapıldı, süpernatant temiz bir santrifüj tüpüne alınarak hacminin 3 katı kadar 0.1M amonyum asetat/metanol çözeltisi eklendive bir gece boyunca(16-18 saat) -20°C'de çökmeye bırakıldı.
10. Bir sonraki gün -20°C'den çıkartılan örnekler 10,000xg'de 30 dakika +4°C'de santrifüj yapıldı ve bu işlem 6 defa tekrarlandı. 6.santrifüjden sonra süpernatant kısmı atıldı ve pellet kısmı alınarak % 0,07 (w/v) DTT (1,4-Ditiyotreitol)(Merck, USA) içeren aseton ile muamele edilerek 10,000xg de 30 dakika +4°C'de santrifüj yapıldı.
11. Süpernatant kısmı atıldı ve elde edilen saf proteinlerin bulunduğu pellet kısmı Azot gazı altında kurumaya bırakıldı.
12. Elde edilen protein, çözünürlendirme tamponunda (7 M üre (Sigma, USA), 2M tiyoüre (Sigma, USA), %4 (w/v) CHAPS (3-[(3-Kolamidopropil)dimetilamino]-1-propansulfonat) (Alfa Aesar, USA), 30mM DTT(Merck, USA)) ile süspanse edildi ve pipet ile al-ver yaparak soğukta 1 saat boyunca maksimum çözünürlüğü elde etmek için yavaşça karıştırıldı.

13. Proteinlerin çözünmesini artırmak için 6x15 saniye soğukta sonike edildi ve 30,000 xg'de 30 dakika +4°C'de santrifülendi.
14. Protein içeren süpernatant temiz bir mikrotüpe alınarak aseton çöktürme işlemi için hacminin 4 katı kadar %100 aseton ile muamele edilerek -20°C'de 16-18 saat çökmeye bırakıldı.
15. Çökmeye bırakılan örnekler takip eden gün 30,000 xg'de +4°C'de 30 dakika santrifü yapıldı.
16. Santrifü sonrasında süpernatant atıldı ve pellet temiz bir tüpe alınarak kurutuldu.
17. Kurutulan protein örnekleri tartılarak yine aynı şekilde hazırlanmış çözünürleştirme tamponu ile süspanse edildi ve pipet ile al-ver yaparak soğukta 1 saat boyunca maksimum çözünürlüğü elde etmek için yavaşça karıştırıldı ve çözünür hale getirildi.
18. Örneklerden elde edilen protein konsantrasyonu Bradford Reaktifi (Sigma) ile BSA proteini standart olarak kullanıldı ve protein tayini yapıldı.



Şekil 3.1.4.2. Bradford Protein tayin standart grafiği (0,1 mg/mL BSA Stok çözeltisinden standart proteinler hazırlandı)

19. Miktarı hesaplanan protein örnekleri 2DE'de kullanılmak üzere -20°C'de saklandı.

3.2. Total Proteinin Ayrılması

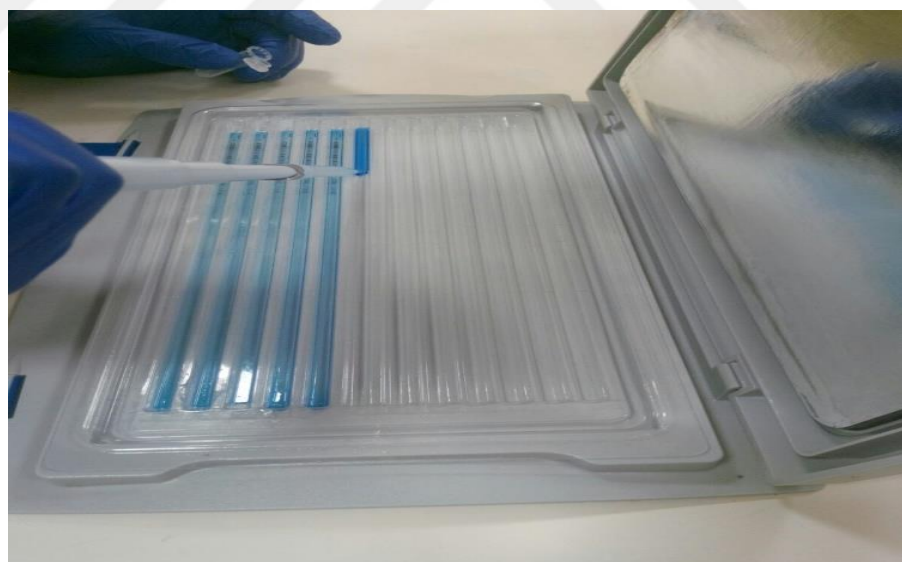
3.2.1. İki boyutlu jel elektroforezi

3.2.1.1. İzoelektrik odaklama (1. Boyut)

Yukarıda anlatıldığı şekilde elde edilen protein örnekleri EttanIPGfor (GE Healthcare) ile önce pH 3-10 gradyentine sahip olan 24 cm uzunluğunda IPG stripler kullanılarak izoelektrik noktalarına göre ayrıldı. Burada proteinlerin en fazla bulunduğu pH aralığı tespit edilerek ayrimın kalitesini artırmak amacıyla daha dar pH skalasındaki (pH 4-7) IPG stripleri ile proteinler ayrıldı. Bu işlemler 6 biyolojik tekrardan her bir biyolojik tekrar için en az üç teknik tekrar olacak şekilde gerçekleştirildi.

-20°C de depolanan protein örnekleri pH 4-7 için 1140 µg /450 µL, konsantrasyonunda ve %1 (v/v) amfolit (Pharmalyte GE Healthcare, USA) (pH 3-10) içerecek şekilde hazırlandı.

Hazırlanan örnekler ile 24 cm pH 4-7 IPG stripler 12 saat süresince oda sıcaklığında rehidrate edildi (Şekil 3.2.2.1).



Şekil 3.2.1.1.1. Proteinlerin rehydrate edilmesi (örnekli pasif rehydrasyon)

Rehidrasyon kutusundaki kuyulara 450 µL örnek eklenmesini takiben -20°C'den buz üzerinde çıkarılan IPG striplerin plastik koruyucu bandı açılarak jel tarafı protein çözeltisine degecek şekilde kuyulara yerleştirildi, en az 15 dakika protein örneğinin jel tarafından absorblanması için kapağı kapatılarak inkübasyonu

müteakip striplerin havayla teması mineral yağ eklenerek kesildi ve 25 °C de 12 saat inkübe edildi.

Rehidrasyon işlemini takiben IPGphor3GE Healthcare IEF (izoelektrik odaklılama) cihazında bulunan odaklılama tepsisinin kuyularına rehydrate edilen stripler yerleştirildi ve striplerin + ve – uçlarına 150 µL saf su ile ıslatılmış elektrod kağıtları yerleştirildi. Mineral yağ (Merck, USA) jelli ve jelsiz bütün kuyulara eklendi (toplam 108 mL) (Şekil 3.2.1.1.2) ve IEF işlemi başlatıldı. IEF koşulları Tablo 2.’de vermiştir.



Şekil 3.2.1.1.2. IPGfor 3’te IEF işlemi

Tablo 2. IEF Koşulları

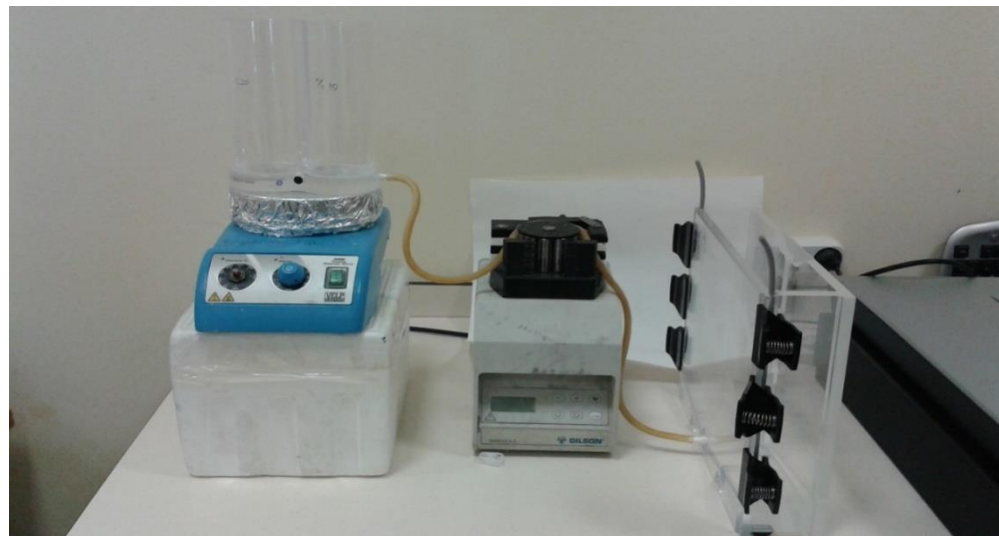
| Step | U [V] | süre | Vh |
|----------|-------|-------|-------|
| 1 | Step | 100 | 00:30 |
| 2 | Step | 250 | 250 |
| 3 | Grad | 500 | Vh |
| 4 | Grad | 1000 | Vh |
| 5 | Grad | 10000 | 22000 |
| 6 | Step | 10000 | Vh |
| 7 | Step | 100 | 10:00 |
| | | | HH:mm |

3.2.1.2. SDS-PAGE (2. Boyut)

İzoelektrik odaklama işlemi sonunda IPG stripler ikinci boyut jeli olan SDS-PAGE'e yüklenmeye uygun hale getirilmek üzere sırası ile indirgenme ve alkilasyon ajanları içeren dengeleme tamponları (50 mM Tris.HCl pH 8.8, 6 M üre, %30 gliserol, %2 (w/v) SDS) içinde 20 şer dakika 150 RPM de çalkalamalı inkübatörde muamele edildi. Kullanılan İndirgeme ve alkilasyon reaktif ve miktarları %1 (w/v) DTT ve % 2.5 (w/v) iyodo asetamid (IAA) dir. Dengeleme işleminden sonra stripler 30 saniye SDS-PAGE yürütme tamponu (192 mM glisin, 25 mM tris, % 0,1 (w/v) SDS) ile muamele edilerek (%10-%20) SDS-PAGE'e yüklendi. Gradient jel çözeltisi hazırlama koşulları Tablo 3'de verildiği gibidir. Ayrıca gradyent jelin hazırlama işlemi de Şekil 3.2.1.1.1'de verilmiştir.

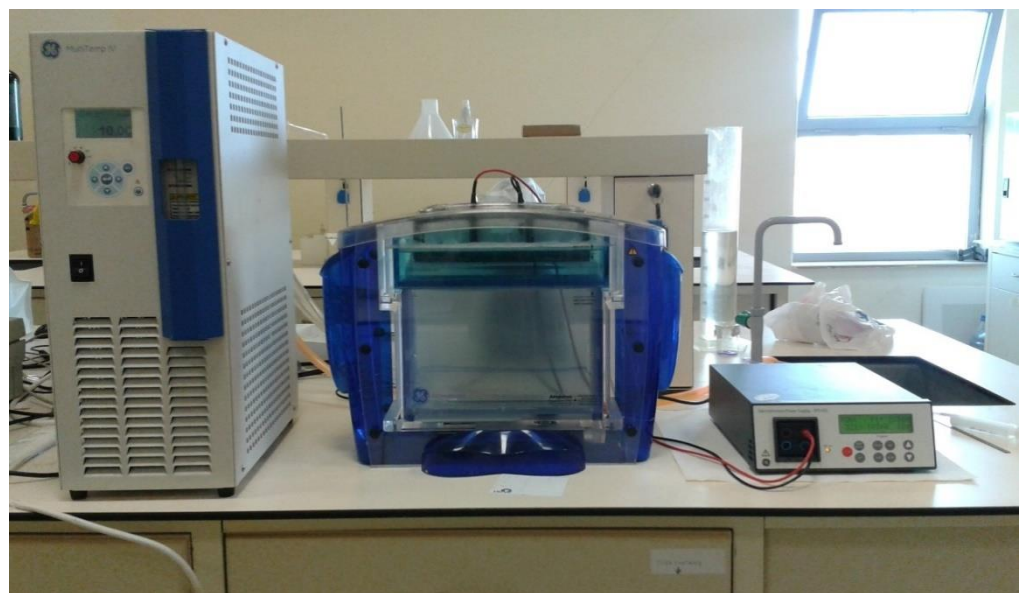
Tablo 3. Gradient Jel Çözeltisi Hazırlanışı

| Kullanılan Maddeler | %10 Konsantrasyon (az yoğun jel karışımı) 275 mL | %20 Konsantrasyon (çok yoğun jel karışımı) 275 mL |
|-------------------------------------|--|---|
| Akrilamid-Bisakrilamid (%30) | 92 mL | 183mL |
| 1,5 mM Tris.HCl pH 8,8 | 69 mL | 69 mL |
| Milliq Su | 110 mL | 1,2mL |
| %20 SDS | 1,38 mL | 1,38 mL |
| Gliserol | Yok | 19 mL |
| %10 APS (10/100 w/v) | 2,75 mL | 1,4mL |
| %100 TEMED | 47 µL | 8 µL |



Şekil 3.2.1.2.1. Gradient Jel Dökme Sistemi

Daha sonra birinci boyut jeli ikinci boyut jeline % 1 (w/v) düşük erime noktalı agaroz çözeltisi (birkaç partikül bromophenol blue içeren SDS-PAGE yürütme tamponu içinde) ile sabitlendi ve SDS-PAGE yürütme tamponu ile ilk bir saat 2W/jel daha sonra yaklaşık 5 saat 20W/jel olacak şekilde elektroforez uygulandı Kullanılan 2. Boyut sistemi Şekil 3.2.1.2.2. de verilmiştir



Şekil 3.2.1.2.2. Elektroforez Düzeneği (Soğutucu, Dikey Elektroforez Tankı, Güç Kaynağı)

3.2.2. Jel görüntülerinin elde edilmesi

Elektroforez işlemi tamamlandıktan sonra jeller jel kasetlerinden çıkarılarak distile su ile 30 saniye yılanarak fazla SDS uzaklaştırıldı.

Jeller 400 mL %12,5 (w/v) Trikloro asetik asit (TCA) ile 1 saat boyunca 250 RPM de çalkalanarak fiksasyon işlemine tabii tutuldu. Süre bitiminde %1 Kolloidal Coomassie Brilliant Blue R250 (%1 (w/v) Comassie Brilliant Blue mutlak etil akol içinde) çözeltisinden 27 mL alınarak Fiksasyon çözeltisi içinde çalkalanmakta olan jel üzerine damla damla eklendi ve ekleme işlemi bitiminde gece boyunca çalkalayıcıda boyamaya bırakıldı.

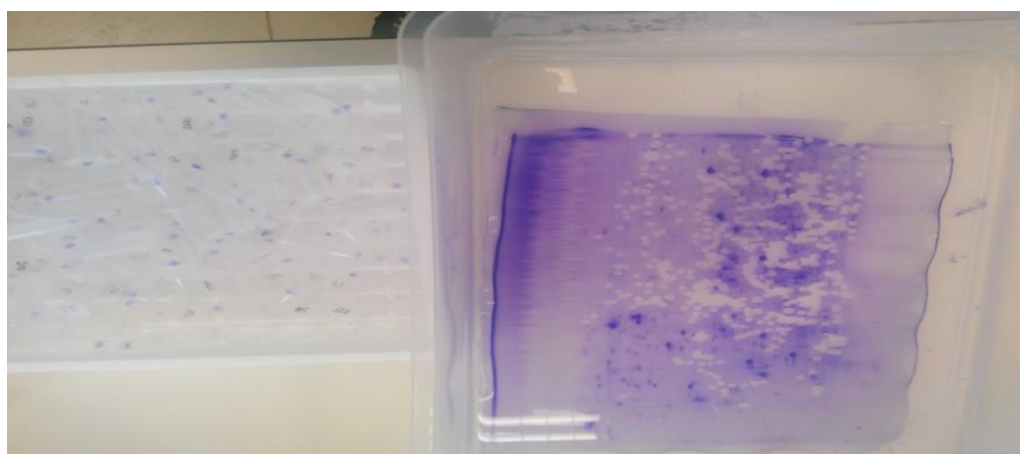
Boya Çıkara işlemi: Takip eden gün 400 mL %12,5 Etil alkol çözeltisinde 1 saat aralıklar ile jeller yılanarak boyaya çalışma işlemi gerçekleştirildi.

Boyası çıkartılan jeller *Epson Perfection V750 Pro* marka jel tarayıcıda taranarak bilgisayar ortamına aktarıldı.

Herbir biyolojik tekrar ve bu tekrarlardan elde edilen herbir teknik tekerrürlerin Dymension Jel Görüntüleme Programı yardımcı ile ayrı ayrı ortak spotları bulundu.

Ortak spotları içeren jeller içerisindeki seçilen referans jeller isimlendirilerek daha sonra bu referans jeller arasında ortak spotlar belirlendi.

Referans jellerden ortak spotlar bisturi ve pipet ucu ile kesilerek Parafilm üzerine alınarak yaklaşık 1mm^3 lük parçalar haline getirildikten sonra mikrotüplere aktarıldı (Şekil 3.2.2.1) ve $-20\text{ }^{\circ}\text{C}$ 'de muhafaza edildi.



Şekil 3.2.2.1. Jellerden spotların kesilmesi ve saklanması

3.3. Kütle Spektrometresi Analizi

3.3.1. Jelde Tripsin ile Kesim

1. Jelden kesilmiş ve -20 °C'de muhafaza edilmiş olan spotlar çıkartılarak herbir spot 200 μL milliq su ile yıkandı ve 10 dakika vorteks yapıldı ve sonra 3000xg'de 2 dakika santrifüj yapıldı ve süpernatant atıldı.
2. Jel parçaları 200 μL 100 mM NH₄HCO₃(Sigma, USA) ile yıkandı ve 10 dakika vorteks yapıldı.
3. Üzerine 200 μL Asetonitril (ACN) (Merck, USA) eklendi ve 10 dakika vortekslendikten sonra 3000xg'de 2 dakika santrifüj yapıldı.
4. Bütün sıvıyı uzaklaştırmak amacıyla en fazla 5 dakika olacak şekilde Speed vakum konsantratör (vakumlu santrifüj) ile kurutuldu.



Şekil 3.3.1.1. Speed vakum konsantratör (vakumlu santrifüj) cihazı

5. Jel parçalarının tamamını kapatacak kadar içerisinde 10mM DTT olan 100 μL 100 mM NH₄HCO₃ çözeltisi eklenecek 45 dakika 56°C'de inkübe edildi ve 5-10 dakika oda sıcaklığına soğutulduktan sonra 3000xg'de 2 dakika santrifüj yapıldı.
6. Sıvı kısım atıldı. 55mM IAA (100 mM NH₄HCO₃)(Merck, USA) (10mg/mL) olan çözeltisi eklendi. Oda sıcaklığında 30 dakika karanlıkta vortekslendi.
7. 3000xg'de 2 dakika santrifüj yapıldı ve tüm sıvı atıldı. Jel parçaları 200 μL 100 mM NH₄HCO₃ ile 10 dakika vortekslenerek yıkandı.

8. Üzerine 200 μL ACN eklenecek 10 dakika vorteks yapıldı ve 3000xg'de 2 dakika santrifüj yapılarak tüm sıvı atıldı.
9. Toplam hacmi 200 μL olacak şekilde 100 μL 50 mM NH_4HCO_3 ve 100 μL ACN hazırlandı ve 2 defa 5 dakika pellet kısım üzerine konularak yıkandı. Yıkama esnasında her defasında 3000xg'de 2 dakika santrifüj yapıldı ve her defasında sıvı atıldı.
10. 3000xg'de 2 dakika santrifüj yapıldı. Tüm sıvı atıldı. Vakumlu santrifüj ile 15 dakika kurutuldu.
11. 10 mL taze hidroliz tamponu hazırlandı(Saf ACN ile ilk olarak % 10 ACN hazırlanır ve 0,0316 gram NH_4HCO_3 tartılarak son hacmi % 10'luk ACN ile 10 mL'ye tamamlanır).
12. 1 şişe tripsin (20 μg) içine 200 μL 1mM HCl (Merck, USA) konuldu ve bu sayede 0,1 $\mu\text{g} / \mu\text{L}$ stok solüsyonu hazırlandı. Bunu kullanana kadar soğukta bekletildi.
13. İlk olarak ne kadar toplam tripsin kesme tamponuna ihtiyacımız olduğunu hesapladık. (Spot büyülüğüne bağlı olarak gerekli tampon miktarı her bir spot için 10-80 μL arası değişir). Son tripsin konsantrasyonu 12ng/ μL olacak şekilde tripsin stok solüsyonu eklendi ve bunlar hep soğukta tutuldu.
14. Her bir jel parçası üzerine tripsin kesim tamponu eklendi ve 30-40 dakika soğukta buz üzerinde rehidrate edildi.
15. 15 dakika sonra jel parçalarının sıvıyı absorbe edip etmediği kontrol edildi ve eğer absorbe etmişse jel üzerini kapatacak kadar bir miktar daha tampon eklendi.
16. Jel parçalarının bütün kesim süresince ıslak kalması sağlandı.
17. Tamponun buharlaşmasını engellemek için jel parçaları bulunan mikrotüp kapakları parafilm ile de sarıldı ve 37°C 'de bir gece bekletildi.
18. Sonraki gün örnekler 37°C 'den alındı ve oda sıcaklığına getirildi. Santrifüj ile sıvı aşağıya kadar kondanse edildi.
19. Sıvı üzerine 50 μL % 5 Formik Asit (Merck, USA) eklendi ve 5 dakika kuvvetli bir şekilde vorteks yapıldıktan sonra 3000xg'de 2 dakika santrifüj yapılarak sıvı olduğu gibi silikonize edilmiş tüp içerisine alındı. Sıvının toplanması esnasında hiçbir jel parçası gelmemesine dikkat edildi.

20. Katı jel parçaları bulunan tüplerin üzerine % 5 ACN içerisinde hazırlanan 100 µL % 1 Formik Asit eklendi. 15 dakika kuvvetli bir şekilde vorteks yapıldıktan sonra 3000xg'de 2 dakika santrifüj yapılarak sıvı kısmı bir önceki sıvı kısımla birleştirildi.
21. Katı jel parçaları bulunan tüplerin üzerine % 60 ACN içerisinde hazırlanan 100 µL % 1 Formik Asit eklendi. 15 dakika kuvvetli bir şekilde vorteks yapıldıktan sonra 3000xg'de 2 dakika santrifüj yapılarak yine sıvı kısmı ekstrakt tüpündeki örnekle birleştirildi.
22. Jel parçaları bulunan tüplerin üzerine % 99 ACN içerisinde hazırlanan 50 µL % 1 Formik Asit eklendi. 15 dakika kuvvetli bir şekilde vorteks yapıldıktan sonra 3000xg'de 2 dakika santrifüj yapılarak sıvı kısmı ekstrakt tüpüne alındı.
23. Her gün 50 spotun hidroliz işlemi gerçekleştirildi. Her bir spottan elde edilen tripsin hizrolizat tüpleri speedvac santrifüj ile kuruluğa kadar konsantre edildi.
24. MS analizlerine kadar bu örnekler -20°C'de muhafaza edildi.

3.3.2. LC-MS/MS analizi

Tripsinle muamele edilen protein spotlarının nano-LC-MS/MS analizi Dr. Christof Rampitsch tarafından AAFC, Cereal Research Center'da (Kanada) Aşağıda verildiği şekilde gerçekleştirildi. Her bir spot için elde edilen peptid karışımı için kütle spektrumları quadrupole-orbitrap mass spectrometer (Q-Exactive: ThermoFisher, Bremen, Germany) ile alındı. Triptik peptidler C₁₈ kolonu (12 cm fused silica column, 75µm ID, packed with Vydac C₁₈, 3 µm beads, 300 Å pores) ile nanoelektronsprey iyonizasyon kaybnağı kullanılarak ayrıldı Asetonitril gradyenti (v/v) % 2- % 40(v/v) asetonitril % 0.1 (v/v) FA içinde) akış hızı 300nl/dk olacak şekilde 24 dakkika (Easy nLC1000: ThermoFisher, San Jose, CA) boyunca uygulandı. .m/z değeri 300-2000 arasında olan peptid spektrumları seçilerek en yoğun iyonlar ile MS/MS 6 saniye içerisinde gerçekleştirildi ve protein tanımlama Mascot Server V2.4 (MatrixScience, London UK) tarama motoru kullanıldı. Mascot programında kullanılan parametreler: monoizotopik kütle hassasiyeti; ±5 ppm, yanlış kesilmiş peptid sayısı; 1, peptidlerin sahip olabildiği maksimum yük +5; sabit modifikasyonlar carbamidomethyl (C), değişken modifikasyonlar; oksidayon (M) ve deamidasyon (NQ). Ham MS dosyaları Mascot Distiller (v2.5.1:

MatrixScience) yazılımı kullanılarak MGF dosyalarına çevrildi ve Pyrenophora teres f. teres GENOM veri tabanı kullanılarak tanımlandı. İyon skoru Perkins ve grubuna göre (1999) %95 güvenle yüksek olan ve en az 2 veya daha fazla peptid içeren ve proteinler doğru olarak tanımlandı.

3.4. Biyoinformatik Analizler

Tanımlanan proteinlerin hücre altı lokalizasyon tahmini, sinyal peptidi içerip içermedikleri, domain analizleri ve transmembran domainleri içerip içermedikleri sırası ile;

- a. WoLF PSORT (<http://www.genscript.com/wolf-psort.html>) (Horton vd. 2007) programını kullanarak ve organizma türü olarak fungi seçilerek FASTA formatında protein dizisi kullanılarak gerçekleştirildi.
- b. Sinyal peptid içerikleri SignalP 4.1 programı (<http://www.cbs.dtu.dk/services/SignalP/>) (Peterson vd. 2011) kullanılarak, ve N terminalde sinyal peptid bölgesi olup olmadığı ise TargetP 1.1 (<http://www.cbs.dtu.dk/services/TargetP/>) (Emanuelsson vd. 2000) ile tahmin edildi. Bu programların her ikisi de Hidden Markow temelli programlardır. SignalP de “ökaryot” seçeneği seçildi TargetP de ise “nonplant” canlı seçeneği seçilerek protein dizileri FASTA formatında programa aktarılıarak tahminler gerçekleştirildi.
- c. Domain Analizleri; hipotetik olarak tanımlanan proteinler için SMART (<http://smart.embl-heidelberg.de/>) (Letunic vd. 2014) ve PFAM (<http://pfam.xfam.org/>) (Finn vd. 2016) analizleri ile gerçekleştirildi. PFAM programının ana sayfasında “sequence search” opsiyonunda FASTA formatında protein dizisi girildi.
- d. Transmembran domain varlığı; Sinyal peptid içeren proteinler için gerçekleştirildi ve proteinin sinyal peptid dizisi çıkarılarak protein dizisi TMHMM 2.0 (<http://www.cbs.dtu.dk/services/TMHMM/>) programına aktarılıarak gerçekleştirildi.

4. BULGULAR VE TARTIŞMA

Arpada ağ benek leke hastalığı nokta formuna neden olan *Drechslera teres f. maculata* patojeninin misel proteom profilinin çıkarılmasını amaçlayan bu çalışmada elde edilen bulgular ve bu bulguların literatürdeki durumu aşağıdaki gibi tartışılmaktadır.

Drechslera teres f. maculata ya ait tek spor profilleri Şekil 4.1'de verilmiştir, Şekil 3.1.2.1'de ise izolatların virülsesiğinin tespitinde kullanılan Tekauz skaliası verilmiştir



Şekil 4.1. *Drechslera teres f. maculata* tek spor profili

Çalışmada 5 biyolojik tekrar çalışılmıştır. Tablo 3 te GPS 79 izolatı için ekstraksiyonda kullanılan petri sayıları ve 7 günlük büyümeye sonucunda elde edilen miselyum miktarları verilmiştir. GPS 79 izolatı için kullanılan petri sayısı 20 ± 3 ve elde edilen ortalama misel miktarı ise $7,20 \pm 2,07$ g dir. Tablo 4. de ise izolatın biyolojik tekrarlarından elde edilen protein konsantrasyonları verilmektedir.

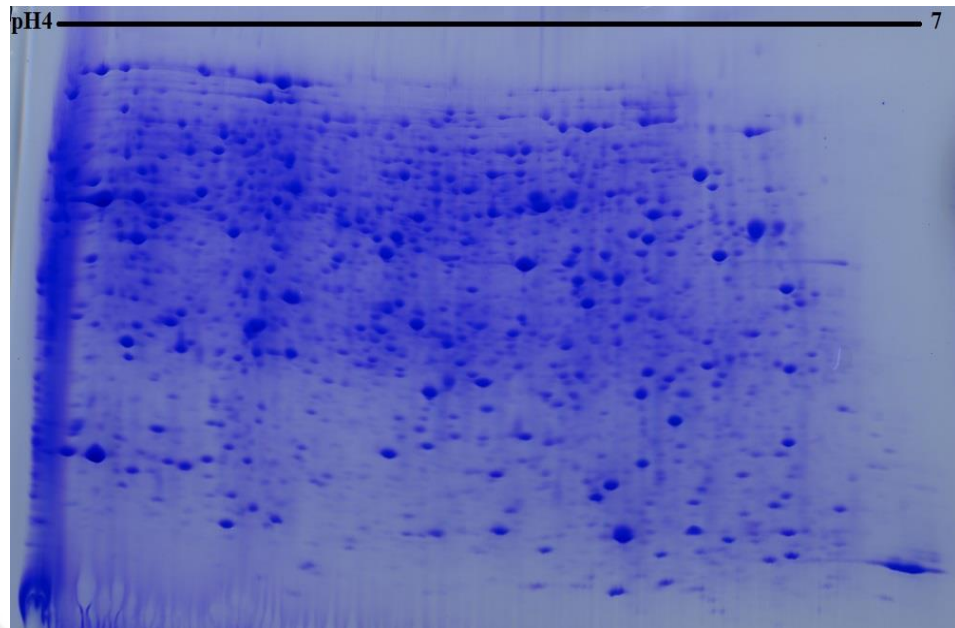
Tablo 4. GPS 79 izolatından misel protein ekstraksiyonunda kullanılan petri sayıları ve misel miktarları

| Tekrar No | Ekstraksiyona Dahil Edilen Petri Sayısı | Toplanan Miselyum Miktarı (g) |
|-----------------|---|-------------------------------|
| Tekrar 1 | 20 | 9,2 |
| Tekrar 2 | 26 | 9,98 |
| Tekrar 3 | 17 | 5 |
| Tekrar 4 | 19 | 7 |
| Tekrar 5 | 19 | 7,2 |

Tablo 5. GPS 79 izolatının her bir biyolojik tekerrürden elde edilen protein konsantrasyonları

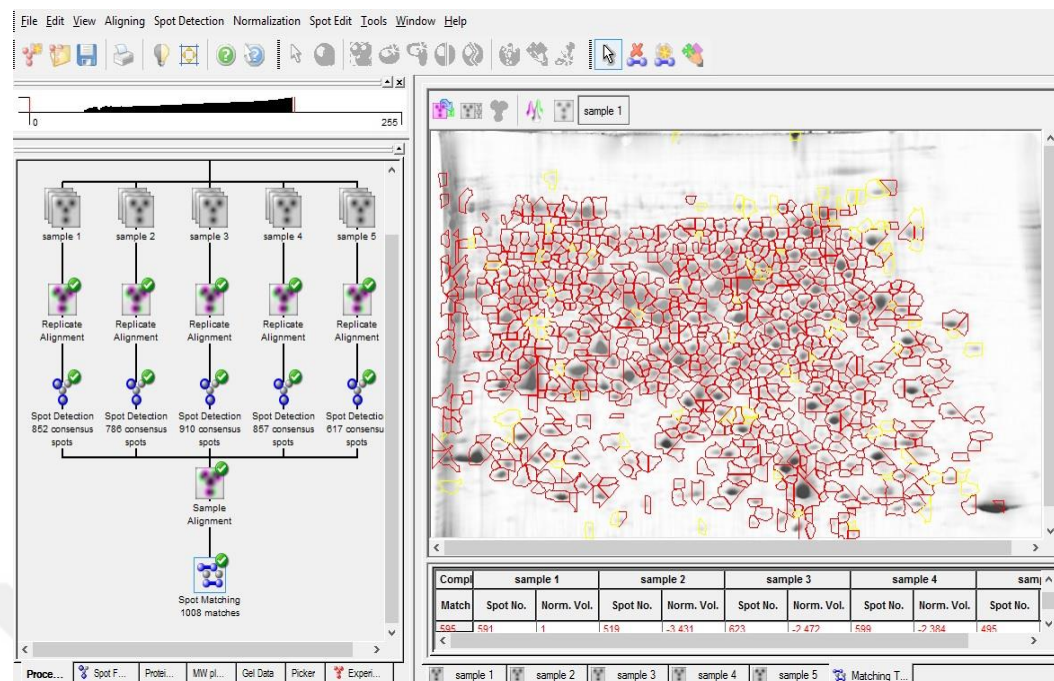
| Tekrar No | GPS79 Protein Konsantrasyonu (mg/mL) |
|-----------------|--------------------------------------|
| Tekrar 1 | 6,466 |
| Tekrar 2 | 7,277 |
| Tekrar 3 | 6,623 |
| Tekrar 4 | 5,916 |
| Tekrar 5 | 6,688 |

Çalışmada *Drechslera teres* f. *maculata* GPS 79 izolatına ait 7 günlük miselyum örneklerinden en iyi miktarda protein fenol-SDS metodu kullanılarak elde edildi. Elde edilen proteinin ayrılması işlemi pH 4-7 gradyentinde ve %10-20 akrilikamid/bisakrilamid gradyent jelinde en yüksek miktarda gerçekleştirildi. Protein ayrılması sonucu elde edilen 2-DE görüntüsü Şekil 4.2'de sunuldu.



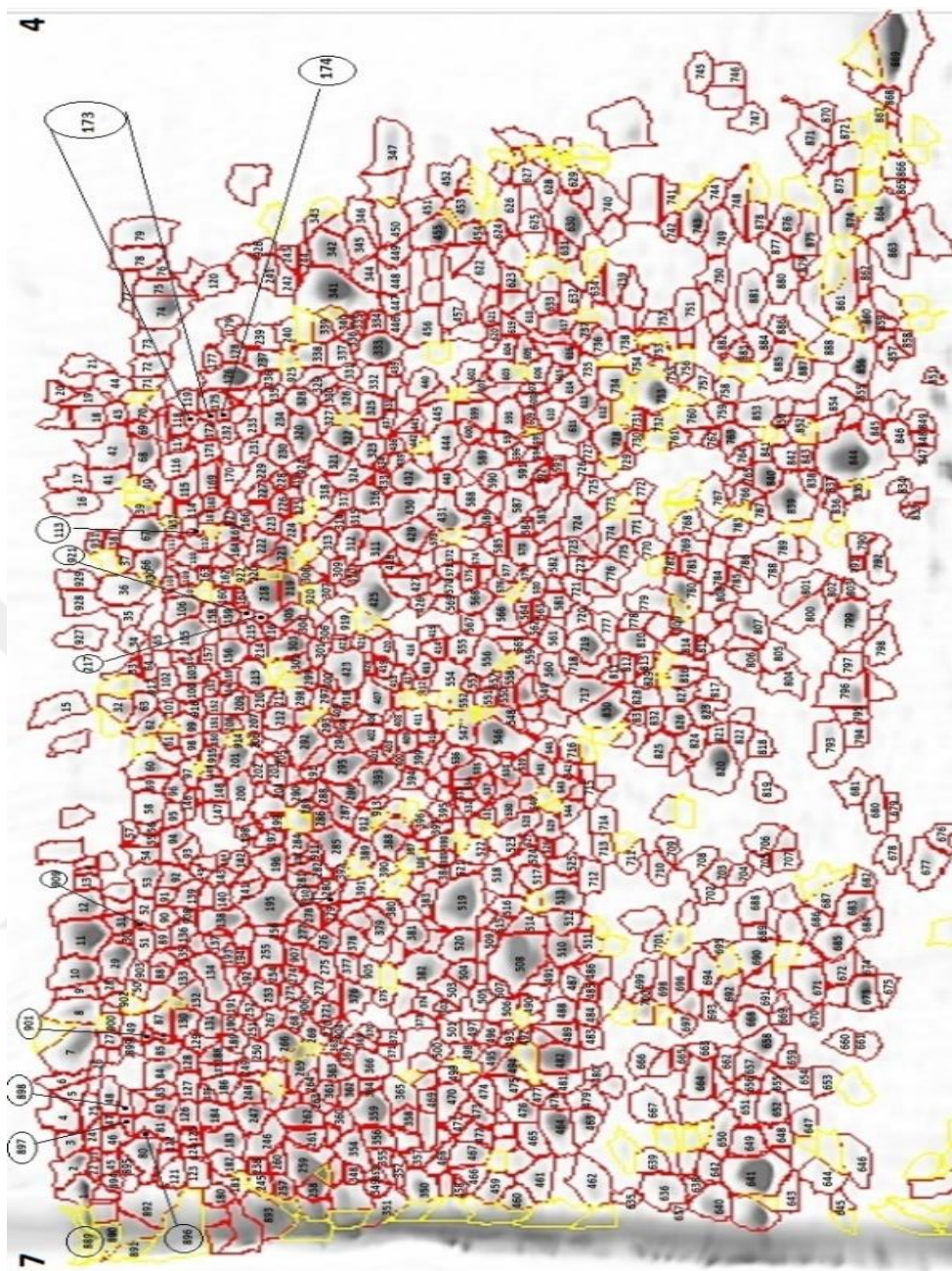
Şekil 4.2. *Drechslera teres* f. *maculata* GPS 79 izolatına ait proteom profili
(1. Boyut pH 4-7 gradyenti, 24 cm, 2. Boyut %10-20 Akrilamid-bisakrilamid jelı)

Beş biyolojik tekrardan ve her bir biyolojik tekrar için gerçekleştirilen teknik tekrar 2DE işlemleri sonucu 15 jel elde edilmiştir. Böylece biyolojik tekrarlar arasındaki varyasyonlardan ve deneysel küçük değişikliklerden kaynaklı olabilecek farklılıkların berterafı gerçekleştirılmıştır. Syngene jel dökümantasyon ve spot analiz sistemi kullanılarak gerçekleştirilen imaj analizleri sonucunda elde edilen bu 15 jel kullanılarak Şekil 4.3. te gösterildiği gibi imaj analizi gerçekleştirılmıştır ve bu analiz sonucunda 1008 protein spotunun biyolojik tekrarlar arasında ortak olduğu tespit edildi fakat yapılan manuel değerlendirme ile sonuçlar birleştirildiğinde oluşturulan “**master jel**” de 932 protein spotu tespit edildi ve bu spotlar jelden kesilerek çıkarıldı.



Şekil 4.3. pH 4-7 GPS 79 biyolojik ve teknik tekrarların imaj analizi

Şekil 4.4.'te elde edilen ortak jel (master jel) de LC-MS/MS analizi için çıkarılan spotlar görülmektedir.



Şekil 4.4. pH 4-7 GPS 79 biyolojik ve teknik tekrarlarının imaj analizi sonucu numaralandırılan master jel görüntüsü.

Belirlenen 932 proteinlik proteom profilinden 108 spot seçilerek LC-MS/MS analizi ile kimlikleri tespit edildi ve sonuçlar Tablo 6'da sunulduğu gibidir.

Tablo 6. *Dechslera teres* f. *maculata* GPS 79 İzolatı Proteom Profili

| Spot no | Unique peptid sayısı | Teorik pI/mw (kDa) | Deneysel pI/mw (kDa) | Protein tanımı | Accession No | Hücre altı Lokalizasyon* | Sinyal Peptit |
|---------|----------------------|--------------------|----------------------|-------------------|--------------------------|--------------------------|---------------|
| 4 | 68 | 5,69/72,88 | 6,67/170,636 | Hipotetik protein | gi 311317371 (PTT_18412) | Mito | |
| 10 | 3 | 5,25/248,34 | 6,32/155,357 | Hipotetik protein | gi 311318543 (PTT_17390) | Nucl | |
| 12 | 8 | 6,01/84,69 | 6,17/150,969 | Hipotetik protein | gi 311321231 (PTT_15087) | Sito | |
| 13 | 14 | 6,01/84,69 | 6,11/150,560 | Hipotetik protein | gi 311321231 (PTT_15087) | Sito | |
| 17 | 43 | 6,34/84,56 | 5,05/148,863 | Hipotetik protein | gi 311323945 (PTT_12864) | Mito | |
| | 58 | 6,01/84,69 | | Hipotetik protein | gi 311321231 (PTT_15087) | Sito | |
| 18 | 13 | 6,01/84,69 | 4,89/143,474 | Hipotetik | gi 311321231 | Sito | |

| | | | | | | | |
|-----------|---|------------|--------------|----------------------|-----------------------------|------|-----|
| | | | | protein | (PTT_15087) | | |
| | 4 | 5,77/83,43 | | Hipotetik protein | gi 311321252 (PTT_15053) | Extr | YES |
| 22 | 9 | 6,34/84,56 | 6,82/153,819 | Hipotetik protein | gi 311323945 (PTT_12864) | Mito | |
| 23 | 7 | 6,43/86,40 | 6,79/154,321 | Hipotetik protein | gi 311331996 (PTT_04937) | Sito | |
| 25 | 5 | 5.46/68 | 6,68/156,781 | Hipotetik protein | gi 311333512 (PTT_00362) | Extr | YES |
| | 3 | 4.92/80.09 | | Hipotetik Protein | gi 311325385 (PTT_11683) | Sto | |
| 48 | 2 | 5.16/95.20 | 6,67/144,589 | Hipotetik protein | gi 311325613 (PTT_11535) | Sito | |
| | 7 | 4.71/56.34 | | Hipotetik protein | gi 311317646 (PTT_18162) | Extr | YES |
| 49 | 2 | 5.94/63.66 | 6,48/130,741 | Hipotetik protein | gi 311315653 (PTT_19949) | Sito | |
| | 7 | 6.43/71 | | Hipotetik | gi 311332457 | Mito | |

| | | | | | | | |
|-----------|----|-------------|--------------|-------------------|--------------------------|------|-----|
| | | | | protein | (PTT_03506) | | |
| 50 | 10 | 5.46/67.94 | 6,38/152,643 | Hipotetik protein | gi 311333512 (PTT_00362) | Extr | YES |
| | 9 | 5.10/74.21 | | Hipotetik protein | gi 311323556 (PTT_13087) | Extr | YES |
| | 8 | 5.04/70 | | Hipotetik protein | gi 311325372 (PTT_11737) | Sito | |
| | 8 | 5.50/81.97 | | Hipotetik protein | gi 311322599 (PTT_13902) | Mito | |
| | 7 | 4.90/80.03 | | Hipotetik protein | gi 311325425 (PTT_11723) | Nucl | |
| 51 | 25 | 6.01/84.69 | 6,27/147,808 | Hipotetik protein | gi 311321231 (PTT_15087) | Sito | |
| | 3 | 6.08/117.35 | | Hipotetik protein | gi 311321923 (PTT_14468) | Sito | |
| 52 | 5 | 6.04/53.97 | 6,19/147,269 | Hipotetik protein | gi 311328401 (PTT_09149) | Sito | YES |
| | 4 | 5.80/64.64 | | Hipotetik protein | gi 311320766 (PTT_15486) | Sito | |

| | | | | | | | |
|-----------|----|------------|--------------|------------------------------|----------------------------|------|--|
| | 4 | 5.94/63.66 | | Hipotetik protein | gi 311315653 (PTT_19949) | Sito | |
| | 4 | 5.87/58.09 | | Hipotetik protein | gi 311325385 (PTT_11683) | Sito | |
| 53 | 16 | 5.23/98.46 | 6,10/144,052 | Hipotetik protein | gi 311327612 (PTT_09804) | Sito | |
| 56 | 16 | 5.87/58.09 | 5,96/132,479 | Hipotetik protein | gi 311325385 (PTT_11683) | Sito | |
| | 10 | 5.35/83.96 | | Hipotetik protein | gi 311323177 (PTT_13420) | Sito | |
| | 12 | 5.62/67.30 | | Hipotetik protein | gi 311320690 (PTT_15531) | Sito | |
| 57 | 12 | 5.50/81.97 | 5,96/133,541 | Hypothetical protein | gi 311322599 (PTT_13902) | Mito | |
| | 11 | 5.45/84.69 | | NADH-ubiquinone oxidoreducta | gi 187979835 (PTRG_0362 3) | Sito | |

| | | | | | | | |
|-----------|----|-------------|--------------|--|-----------------------------|------|-----|
| | | | | se 75 kDa subunit, mitochondria l precursor [<i>P. tritici- repentis</i>]] | | | |
| 59 | 20 | 5.87/58.09 | 5,86/131,615 | Hipotetik protein | gi 311325385 (PTT_11683) | Sito | |
| | 15 | 5.84/56.96 | | Hipotetik protein | gi 311329308 (PTT_08331) | Extr | YES |
| 60 | 22 | 5.52/79.014 | 5,82/139,615 | Hipotetik protein | gi 311318794 (PTT_17182) | Sito | |
| 62 | 25 | 5.62/67.30 | 5,71/139,120 | Hipotetik protein | gi 311320690 (PTT_15531) | Sito | |
| | 18 | 5.35/83.96 | | Hipotetik protein | gi 311323177 (PTT_13420) | Sito | |
| 63 | 17 | 5.10/74.21 | 5,66/141,347 | Hipotetik protein | gi 311323556 (PTT_13087) | Extr | YES |
| | 11 | 5.46/67.94 | | Hipotetik | gi 311333512 | Extr | YES |

| | | | | | | | |
|-----------|----|------------|--------------|-----------------------|-----------------------------|------|--|
| | | | | protein | (PTT_00362) | | |
| 70 | 10 | 7.25/66.32 | 4.89.142.348 | Hipotetik protein | gi 311321040 (PTT_15242) | Mito | |
| | 6 | 5.93/62.33 | | Hipotetik protein | gi 311320708 (PTT_15515) | Sito | |
| 72 | 9 | 4.75/58.51 | 4,75/134,882 | Hipotetik protein) | gi 311316310 (PTT_19353) | Sito | |
| | 5 | 5.06/67.54 | | Hipotetik protein | gi 311323030 (PTT_13533) | Extr | |
| 73 | 29 | 5.62/67.30 | 4,69/133,422 | Hipotetik protein | gi 311320690 (PTT_15531) | Sito | |
| | 10 | 5.69/56.17 | | Hipotetik protein | gi 311320672 (PTT_15553) | Sito | |
| 75 | 13 | 5.82/99.75 | 4,57/133,222 | Hipotetik protein | gi 311328404 (PTT_09152) | Sito | |
| 76 | 49 | 6.72/74.23 | 4,53/134,244 | Hipotetik protein | gi 311332744 (PTT_02545) | Sito | |

| | | | | | | | |
|-----------|----|------------|--------------|---------------------------------------|---------------------------|------------|--|
| 77 | 10 | 5.85/64.98 | 4,57/149,002 | Hipotetik protein | gi 311324557 (PTT_12393) | Sito | |
| 79 | 13 | 6.24/71.24 | 4,45/142,192 | Hipotetik protein | gi 311316977 (PTT_18785) | Sito | |
| | 16 | 5.88/57.74 | | Hipotetik protein | gi 311332959 (PTT_01922) | Sito-Perox | |
| | 16 | 5.82/56.68 | | Hipotetik protein | gi 311321818 (PTT_14585) | | |
| 83 | - | - | 6,66/141,220 | NO HIT | - | - | |
| 84 | 32 | 5.36/64.37 | 6,6/139,121 | Hipotetik protein | gi 311329933 (PTT_07786) | Sito | |
| 85 | 34 | 5.78/63.09 | 6,54/138,997 | Hipotetik protein | gi 311319944 (PTT_16162) | Sito | |
| | 23 | 5.59/62.96 | | Pyruvate decarboxylase [P. tritici-5] | gi 187979272 (PTRG_03375) | Sito | |

| | | | | | | | |
|-----------|----|------------|--------------|--|----------------------------------|------|-----|
| | | | | <i>repentis]</i> | | | |
| 87 | 11 | 6.00/46.74 | 6,46/137,604 | Hipotetik protein | gi 311320725 (PTT_15505) | Extr | YES |
| 91 | 9 | 4.90/80.03 | 6,15/136,655 | Hipotetik protein | gi 311325425 (PTT_11723) | Nucl | |
| 92 | 30 | 6.33/64.36 | 6,11/133,198 | Hipotetik protein | gi 311318079 (PTT_17811) | Sito | |
| | 14 | 6.22/64.35 | | WD repeat containing protein 2 [P. <i>tritici-</i> <i>repentis</i>] | gi 187977966 (PTRG_1154 2) | Sito | |
| 93 | 48 | 6.69/60.88 | 6,03/126,309 | Hipotetik protein | gi 311324041 (PTT_12822) | Mito | |
| 94 | - | - | 6,01/131,357 | NO HIT | | | |
| 95 | 37 | 6.57/67.46 | 5,94/131,947 | Hipotetik | gi 311319652 | Mito | |

| | | | | | | | |
|-----------|----|-------------|--------------|---|----------------------------------|-----------|--|
| | | | | protein | (PTT_16417) | | |
| | 10 | 5.59/89.46 | | Hipotetik protein | gi 311321565 (PTT_14782) | Mito-Sito | |
| 96 | 13 | 6.00/54.36 | 5,87/129,587 | Hipotetik protein | gi 311320328 (PTT_15834) | Sito | |
| | 12 | 6.44/54.44 | | Aldehyde dehydrogenas e [P. tritici- repentis] | gi 187984551 (PTRG_0712 0) | Sito | |
| | 10 | 6.12/58.87 | | Hipotetik protein | gi 311325199 (PTT_118799) | Sito | |
| 97 | 7 | 6.15/59.75 | 5,84/122,241 | Hipotetik protein | gi 311331295 (PTT_06660) | Perox | |
| | 4 | 6.08/117.35 | | Hipotetik protein | gi 311321923 (PTT_14468) | Sito-Nucl | |

| | | | | | | | |
|------------|----|------------|--------------|----------------------|-----------------------------|-------|--|
| 99 | 31 | 6.00/54.36 | 5,72/120,254 | Hipotetik protein | gi 311320328 (PTT_15834) | Sito | |
| 100 | 10 | 5.23/98.46 | 5,62/119,240 | Hipotetik protein | gi 311327612 (PTT_09804) | Sito | |
| 104 | 13 | 4.92/80.03 | 5,52/117,822 | Hipotetik protein | gi 311325425 (PTT_11723) | Nucl | |
| 105 | 16 | 7.01/61.74 | 5,46/118,661 | Hipotetik protein | gi 311319605 (PTT_16469) | Perox | |
| | 11 | 6.65/262 | | Hipotetik protein | gi 311331188 (PTT_06770) | Nucl | |
| 107 | 23 | 5.36/57.55 | 5,35/120,444 | Hipotetik protein | gi 311328445 (PTT_09083) | Sito | |
| 108 | 7 | 5.99/61.70 | 5,31/126,821 | Hipotetik protein | gi 311330479 (PTT_07333) | Mito | |

| | | | | | | | |
|------------|----|------------|--------------|----------------------|-----------------------------|------|--|
| 109 | 6 | 5.16/95.20 | 5,3/120,719 | Hipotetik protein | gi 311325613 (PTT_11535) | Sito | |
| 111 | 13 | 6.12/60.81 | 5,22/126,351 | Hipotetik protein | gi 311315271 (PTT_20250) | Sito | |
| 114 | 17 | 5.99/61.70 | 5,13/122,182 | Hipotetik protein | gi 311330479 (PTT_07333) | Mito | |
| 115 | 23 | 5.57/60.57 | 5,07/121,477 | Hipotetik protein | gi 311325907 (PTT_11268) | Sito | |
| 116 | 5 | 6.00/54.36 | 5,01/123,860 | Hipotetik protein | gi 311324041 (PTT_12822) | Mito | |
| 117 | 19 | 5.97/61.41 | 4,97/124,813 | Hipotetik protein | gi 311320699 (PTT_15540) | Sito | |
| 119 | 28 | 5.57/60.57 | 4,86/113,046 | Hipotetik protein | gi 311325907 (PTT_11268) | Sito | |

| | | | | | | | |
|------------|----|------------|--------------|--|---------------------------|---------|-----|
| 122 | 10 | 5.59/51.67 | 4,56/115,122 | Dihydrolipoamide acetyltransferase component of pyruvate dehydrogenase [P. tritici-repentis] | gi 187981217 (PTRG_04936) | Mito | |
| 123 | 14 | 6.00/54.36 | 6,85/132,652 | Hipotetik protein | gi 311324041 (PTT_12822) | Mito | |
| 124 | 9 | 5.31/56.49 | 6,81/131,308 | Hipotetik protein | gi 311324131 (PTT_12738) | Sitoskl | |
| | 10 | 5.29/55.45 | | Hipotetik protein | gi 311329057 (PTT_08562) | Extr | YES |
| 128 | 15 | 5.36/66.89 | 6,58/129,124 | Hipotetik protein | gi 311324579 (PTT_12415) | Sito | |

| | | | | | | | |
|------------|----|------------|--------------|--|---------------------------|---------|--|
| 130 | 25 | 5.69/56.17 | 6,45/130,030 | Hipotetik protein | gi 311320672 (PTT_15553) | Sito | |
| 131 | 31 | 5.65/57.34 | 6,47/119,361 | Hipotetik protein | gi 311331024 (PTT_06848) | Sito | |
| | 29 | 5.71/57 | | T-complex protein 1 subunit beta [P. triticicrepentis] | gi 187978674 (PTRG_02777) | Sito | |
| 133 | 12 | 5.46/52.82 | 6,35/130,900 | Hipotetik protein | gi 311330637 (PTT_07197) | Sito | |
| 135 | 28 | 5.31/56.49 | 6,29/130,900 | Hipotetik protein | gi 311324131 (PTT_12738) | SitoSkl | |
| 138 | 19 | YOK | 6,22/113,685 | Hipotetik protein | gi 311333477 (PTT_00408) | Mito | |

| | | | | | | | |
|------------|----|------------|--------------|----------------------|-----------------------------|------|--|
| 139 | 9 | 5.82/99.75 | 6,15/128,465 | Hipotetik protein | gi 311328404 (PTT_09152) | Sito | |
| 143 | - | - | 6,1/112,204 | NO HIT | - | - | |
| 147 | 12 | 5.85/49.10 | 5,93/113,818 | Hipotetik protein | gi 311323498 (PTT_13160) | Nucl | |
| | 11 | 5.89/48.83 | | Hipotetik protein | gi 311326138 (PTT_11088) | Sito | |
| 150 | - | - | 5,76/110,070 | - | - | - | |
| 152 | 6 | 5.71/51.79 | 5,66/109,816 | Hipotetik protein | gi 311330702 (PTT_07156) | Mito | |
| 155 | 23 | 6.14/54.07 | 5,57/103,558 | Hipotetik protein | gi 311322842 (PTT_13680) | Sito | |

| | | | | | | | |
|------------|----|------------|--------------|----------------------|-----------------------------|------|--|
| 156 | 12 | 5.84/82.99 | 5.51/103,951 | Hipotetik protein | gi 311316573 (PTT_19133) | Sito | |
| 158 | 16 | 5.57/60.57 | 5,41/111,929 | Hipotetik protein | gi 311325907 (PTT_11268) | Sito | |
| 159 | 6 | 5.69/56.17 | 5,41/104,679 | Hipotetik protein | gi 311320672 (PTT_15553) | Sito | |
| 162 | 22 | 5.77/67.68 | 5,31/106,412 | Hipotetik protein | gi 311333111 (PTT_01506) | Mito | |
| | 42 | 5.81/50.66 | | Hipotetik protein | gi 311322873 (PTT_13677) | Sito | |
| 163 | 33 | 5.46/52.82 | 5,3/104,562 | Hipotetik protein | gi 311330637 (PTT_07197) | Sito | |
| 165 | 33 | 5.46/52.82 | 5,2/104,381 | Hipotetik protein | gi 311330637 (PTT_07197) | Sito | |

| | | | | | | | |
|------------|----|------------|--------------|----------------------|-----------------------------|------|--|
| 166 | 11 | 5.23/51.57 | 5,17/98,345 | Hipotetik protein | gi 311327902 (PTT_09571) | Sito | |
| 167 | 12 | 6.14/54.07 | 5,15/110,237 | Hipotetik protein | gi 311322842 (PTT_13680) | Sito | |
| 169 | 13 | 6.14/54.07 | 5,05/111,456 | Hipotetik protein | gi 311322842 (PTT_13680) | Sito | |
| 170 | 17 | 5.81/50.66 | 5,06/97,499 | Hipotetik protein | gi 311322873 (PTT_13677) | Sito | |
| 171 | 61 | 5.66/54.39 | 4,99/112,900 | Hipotetik protein | gi 311315314 (PTT_20217) | Sito | |
| 172 | 31 | 6.18/42.67 | 4,94/113,046 | Hipotetik protein | gi 311329848 (PTT_07872) | Sito | |
| 178 | 16 | 5.57/71.94 | 4,72/106,248 | Hipotetik protein | gi 311316083 (PTT_19552) | Sito | |

| | | | | | | | |
|------------|----|-------------|--------------|----------------------|---------------------------------|---------|-----|
| 180 | 10 | 6.14/54.07 | 6,91/121,964 | Hipotetik protein | gi 311322842 (PTT_13680) | Sito | |
| 183 | 4 | 7.17/134.93 | 6,78/118,899 | Hipotetik protein | gi 311328327 (PTT_09195) | Extr | YES |
| | 4 | 6.06/49.15 | | Hipotetik protein | gi 311330604 (PTT_07229) | Nucl | |
| 185 | 11 | 5.19/47.26 | 6,69/121,647 | Hipotetik protein | gi 311331037 (PTT_06862) | Sito | |
| 191 | 3 | 5.23/98.46 | 6,47/112,372 | Hipotetik protein | gi 311327612 (PTT_09804) | Sito | |
| 194 | 50 | 5.53/50.96 | 6,31/111,084 | Hipotetik protein | gi 311318624 (PTT_17303) | Nucl | |
| 197 | 10 | 6.09/43.64 | 6,08/95,553 | Hipotetik protein | gi 311332617 (PTT_02982) | Sito | |
| 199 | 55 | 5.45/41.64 | 5,98/93,507 | Hipotetik protein | gi 311328903 (PTT_08677) | SitoSkl | |

| | | | | | | | |
|------------|----|-------------|--------------|---|--------------------------|------|--|
| 201 | 9 | 5.04/70.20 | 5,89/102,547 | Hipotetik protein | gi 311325372 (PTT_11737) | Sito | |
| | 7 | 5.82/99.75 | | Hipotetik protein | gi 311328404 (PTT_09152) | Sito | |
| | 22 | 5.19/47.26 | | Hipotetik protein | gi 311331037 (PTT_06862) | Sito | |
| 202 | 14 | 5.37/53.89 | 5,82/103,799 | ATP synthase subunit beta [<i>P. tritici-repentis</i>] 2) | gi 187979914 (PTRG_0370 | Mito | |
| 203 | 19 | 5.19/52.95 | 5,86/91,462 | Hipotetik protein | gi 311331866 (PTT_05307) | Sito | |
| | 38 | 5.84/48.94 | | Hipotetik protein | gi 311316552 (PTT_19146) | Sito | |
| 210 | 22 | 5.19/47.26 | 5,66/101,997 | Hipotetik protein | gi 311331037 (PTT_06862) | Sito | |
| | 21 | 5.69/110.41 | | Hipotetik protein | gi 311329324 (PTT_08317) | Sito | |
| | 23 | 5.22/60.89 | | Karboksipeptidaz | gi 187976885 (PTRG_1046) | Extr | |

| | | | | Yprecursor [<i>P. tritici-repentis</i>] | 1) | | |
|------------|----|----------------|--------------|--|-----------------------------|-------|-----|
| 211 | 11 | 6.23/53.11 | 5,64/ 95,471 | Hipotetik protein | gi 311323385 (PTT_13228) | Sito | |
| 212 | 14 | 6.94/ 47.47 | 5,66/ 84,916 | Hipotetik protein Partial | gi 311332885 (PTT_02105) | ----- | |
| 218 | 37 | 6.94/ 47.47 | 5,42/ 97,921 | Hipotetik protein Partial | gi 311332885 (PTT_02105) | ----- | |
| 221 | 10 | 5.82/ 99.75 | 5,3/ 95,456 | Hipotetik protein | gi 311328404 (PTT_09152) | Sito | |
| 222 | 6 | 5.19/ 47.26 | 5,25/ 89,967 | Hipotetik protein | gi 311331037 (PTT_06862) | Sito | |
| | 5 | 4.98/ 48.71 | | Hipotetik protein | gi 311323483 (PTT_13145) | Extr | YES |
| 224 | 15 | 5.47/ 42.78 | 5,17/ 91,068 | Hipotetik | gi 311329409 | Mito | |

| | | | | | | | |
|------------|----|-------------|--------------|--|---------------------------|---------|--|
| | | | | protein | (PTT_08242) | | |
| | 12 | 5.63/ 48.10 | | Hipotetik protein | gi 311325431 (PTT_11669) | Sito | |
| 227 | 11 | 5.98/31.56 | 5,13/ 88,424 | Hipotetik protein | gi 311325728 (PTT_11420) | Mito | |
| | 11 | 6.18/ 40.20 | | Hipotetik protein Partial | gi 311325538 (PTT_11597) | ----- | |
| | 44 | 5.19/ 47.26 | | Hipotetik protein | gi 311331037 (PTT_06862) | Sito | |
| 229 | 37 | 5.31/ 47.48 | 5,07/ 88,727 | Enolase [<i>P. tritici-repentis</i>] | gi 187978686 (PTRG_02789) | Sito | |
| | 62 | 6.14/ 54.07 | | Hipotetik protein | gi 311322842 (PTT_13680) | Sito | |
| 231 | 72 | 5.45/ 41.64 | 4,99/ 97,499 | Hipotetik protein | gi 311328903 (PTT_08677) | SitoSkl | |
| | 34 | 6.23/ 53.11 | | Hipotetik protein | gi 311323385 (PTT_13228) | Sito | |

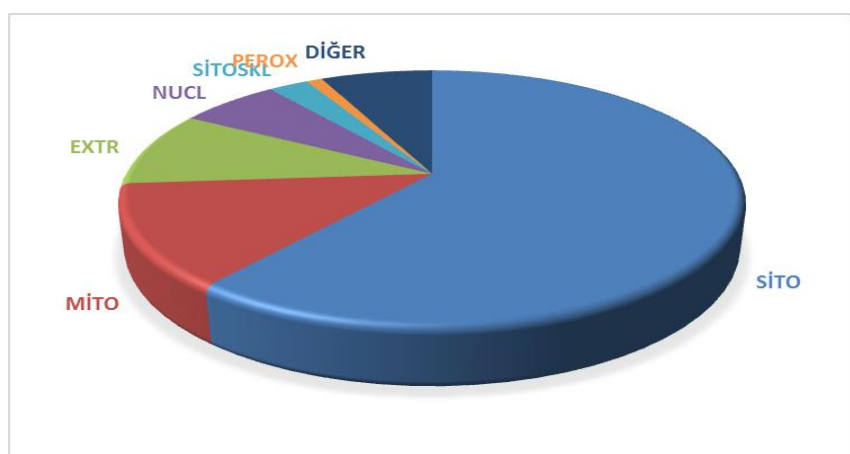
| | | | | | | | |
|------------|-----|-------------|---------------|--|----------------------------------|------|--|
| 233 | 26 | 5.49/ 41.41 | 4,94/ 106,680 | Survival factor 1 [P. <i>tritici-</i> <i>repentis</i>] | gi 187975430 | Sito | |
| | 31 | 5.25/ 41.34 | | Hipotetik protein | gi 311319520 (PTT_16544) | Sito | |
| | 25 | 4.92/ 80.03 | | Hipotetik protein | gi 311325425 (PTT_11723) | Nucl | |
| 235 | 172 | 5.19/ 47.26 | 4,91/ 91,229 | Hipotetik protein | gi 311331037 (PTT_06862) | Sito | |
| | 134 | 5.31/ 47.48 | | Enolase [P. <i>tritici-</i> <i>repentis</i>] | gi 187978686 (PTRG_0278 9) | Sito | |
| 236 | 36 | 5.28/ 53.81 | 4,85/97,633 | Hipotetik protein | gi 311316969 (PTT_18777) | Sito | |
| | 32 | 5.53/ 52.28 | | Hipotetik protein | gi 311317832 (PTT_18008) | Sito | |
| 237 | 13 | 6.64/ 44.64 | 4,8/96,711 | Hipotetik | | Sito | |

| | | | | | | | |
|------------|-----|-------------|---------------|----------------------|-----------------------------|------|-----|
| | | | | protein | gi 311328129 (PTT_09362) | | |
| | 13 | 5.63/ 36.05 | | Hipotetik protein | gi 311329210 (PTT_08465) | Sito | |
| 239 | 17 | 6.64/ 44.64 | 6,83/ 106,496 | Hipotetik protein | gi 311328129 (PTT_09362) | Sito | |
| 240 | 58 | 5.51/ 47.80 | 4,69/ 98,359 | Hipotetik protein | gi 311316234 (PTT_19429) | Mito | |
| | 40 | 5.06/ 44.63 | | Hipotetik protein | gi 311330840 (PTT_07032) | Nucl | |
| | 40 | 4.98/ 48.71 | | Hipotetik protein | gi 311323483 (PTT_13145) | Extr | YES |
| 242 | 105 | 5.04/ 70 | 4,55/ 96,277 | Hipotetik protein | gi 311325372 (PTT_11737) | Sito | |
| 255 | 9 | 7.58/ 48.60 | 6,35/ 97,395 | Hipotetik protein | gi 311333343 (PTT_00758) | Mito | |
| | 6 | 5.48/42.56 | | Hipotetik protein | gi 311329985 (PTT_07756) | Sito | |

İmaj analizi sonucu tespit edilen 932 spottan jelde ekspresyon seviyesi en yüksek olan protein spotlarının tanımlanmasına öncelik verilmiştir ve 108 protein spotu için yapılan LC-MS/MS analizleri sonucunda Mascotscience (www.mascotscience.com) algoritması kullanılarak elde edilen peptid kütle ve sekansları 2010 yılında ilk olarak yayınlanan *P.teres* f. *teres* genom dizisi ve *P. tritici-repentis* veri tabanları kullanılarak yapılan karşılaştırmalar sonucu belirlendi. Bu analiz sırasında 3 ve daha fazla sayıda peptide hit veren proteinler doğru ve anlamlı olarak kabul edildi. Çalışma kapsamında 108 spot için yapılan protein tanımlanması sonucunda 4 spotun herhangi bir proteine karşılık gelmediği tespit edildi.

Kimlikleri tespit edilen 104 spota karşılık ise 158 protein tanımlandı. Bazı spotlar aynı proteinlere hit vermişlerdir bunlar çıkarıldığında tanımlanan tek protein sayısı 127 dir. Tanımlanan proteinler incelendiğinde %94'ünün hipotetik protein olduğu görülmektedir. %2'si piruvat metabolizması, %1.3'ü glikoliz, %1.3'ü oksido redüksiyon aktivitesine, %1.3'ü ATP bağlama aktivitesine sahip diğerlerinin ise proteaz ve mRNA regülasyonunda görev aldığı tespit edilmiştir.

Tanımlanan proteinlerin hücredeki lokasyonları WoLF PSORT programı ile tahmin edilmiştir ve sonuçlar Şekil 4.5 te verilmiştir. Buna göre tanımlanan proteinlerin en büyük kısmını sitozolik proteinlerin oluşturduğu, ikinci sırada mitokondriyal proteinlerin yer aldığı ve onları ekstraselüler proteinlerin takip ettiği görülmektedir.



Şekil 4.5. *Dresschlera teres* f. *maculata* GPS 79 izolatı protein yerleşimleri

Ekstraselüler özellikle olan proteinler ise özellikle patojenin virülsesi açısından son derece önemlidir. Toplam 15 proteinin ekstraselüler olduğu ve farklı spotlarda aynı proteine karşı gelenler çıkarıldığında 11 proteinin ekstraselüler olduğu saptanmıştır.

Tanımlanan proteinlerin sinyal peptid içerip içermedikleri incelendiğinde ise 14 proteinin sinyal peptid içeriği tespit edildi bu peptidlerin 1 tanesi hariç tamamı ekstraselüler proteinlerdir. Ekstraselüler olmadığı halde sinyal peptid içeren protein spot 52 için tanımlanmış olan gi|311328401 numaralı proteindir. TargetP ile yapılan analizde ise bu proteinlerin salgılama yolunda (secretory pathway) yer aldıkları tespit edildi.

Sinyal peptid içeren bu proteinlerin sinyal peptid dizileri çıkarılarak trans membran domainleri içerip içermedikleri TMHMM 2.0 ile test edildiğinde ise spot 50 ve 63 için tanımlanan gi|311323556 kimlikli proteinin trans membran heliksine sahip olduğu görülmüştür.

Hipotetik olan proteinlerin fonksiyonu hakkında bilgi sahibi olmak için biyo informatik analizler yardımı ile yapılan domain analizleri sonucu (PFAM ve SMART analizleri) Tablo 7. de sunuldu.

Tablo 7. Tanımlanan Proteinlere Ait Domain Bilgisi

| Spot no | Accession No | DOMAIN | |
|---------|-----------------------------|----------------------------|----------------------------|
| | | Smart | Pfam |
| 4 | gi:311317371 (PTT_18412) | HSP70 | HSP70 |
| 10 | gi:311318543 (PTT_17390) | TPR/MLP1/MLP2-like protein | TPR/MLP1/MLP2-like protein |
| 12 | gi 311321231 (PTT_15087) | Peroksidaz | Peroksidaz |
| 13 | gi 311321231 (PTT_15087) | Peroksidaz | Peroksidaz |
| 17 | gi 311323945 | Akonitaz | Akonitaz |

| | | | |
|-----------|-----------------------------|--|--|
| | (PTT_12864) | | |
| | gi 311321231 (PTT_15087) | Peroksidaz | Peroksidaz |
| 18 | gi 311321231 (PTT_15087) | Peroksidaz | Peroksidaz |
| | gi 311321252 (PTT_15053) | Beta Heliks Pektat Liyaz 3 | Pektat Liyaz 3 |
| 22 | gi 311323945 (PTT_12864) | Akotinaz | Akonitaz |
| 23 | gi 311331996 (PTT_04937) | Metiyonin Sentaz 1-2 | Metiyonin Sentaz 1-2 |
| 25 | gi 311333512 (PTT_00362) | Gliko Hidrolaz 20 | Gliko Hidrolaz 20 |
| | gi 311325385 (PTT_11683) | Piruvat Kinaz | Piruvat Kinaz |
| 48 | gi 311325613 (PTT_11535) | PH_6 | PH_6 |
| | gi 311317646 (PTT_18162) | Gliko Hidrolaz 47 | Gliko Hidrolaz 47 |
| 49 | gi 311315653 (PTT_19949) | Pirimidin Nükleotid Disülfit Oksido Redüktaz | Pirimidin Nükleotid Disülfit Oksido Redüktaz |
| | gi 311332457 (PTT_03506) | | |
| 50 | gi 311333512 (PTT_00362) | Gliko Hidrolaz 20 | Gliko Hidrolaz 20 |
| | gi 311323556 (PTT_13087) | Mrb-Mbl | HSP70 |
| | gi 311325372 (PTT_11737) | Mrb-Mbl | HSP70 |

| | | | |
|-----------|-----------------------------|---|---|
| | gi 311322599 (PTT_13902) | Molibdopterin Fer2 | Molibdopterin Fer2 |
| | gi 311325425 (PTT_11723) | HSP90 HATPase_c | HSP90 HATPase_c |
| 51 | gi 311321231 (PTT_15087) | Peroksidaz | Peroksidaz |
| | gi 311321923 (PTT_14468) | AAA ATPaz | ABC Transporter |
| 52 | gi 311328401 (PTT_09149) | Tiyoredoksin 6 | Tiyoredoksin |
| | gi 311320766 (PTT_15486) | Tiamin Pirofosfat Binding Enzim | Tiamin Pirofosfat Binding Enzim |
| | gi 311315653 (PTT_19949) | Piridin Dinükleotid Disülfit Oksidoredüktaz | Piridin Nükleotid Disülfit Oksidoredüktaz |
| | gi 311325385 (PTT_11683) | Piruvat Kinaz | Piruvat Kinaz |
| 53 | gi 311327612 (PTT_09804) | Peptidaz m1 ERAP 1c | Peptidaz ERAP 1c |
| 56 | gi 311325385 (PTT_11683) | Peptidaz m1 ERAP 1c | Piruvat Kinaz |
| | gi 311323177 (PTT_13420) | Peptidaz M13 | Peptidaz M13 |
| | gi 311320690 (PTT_15531) | Peptidaz M13 | GMC Oksidoredüktaz |
| 57 | gi 311322599 (PTT_13902) | Glukoz Metanol Kolin Oksidoredüktaz | Molibdopterin Oksidoredüktaz Fer2 |
| | gi 187979835 (PTRG_0362) | Molibdopterin Fer2 | Molibdopterin Oksidoredüktaz |

| | | | |
|-----------|-----------------------------|------------------------------------|-------------------------|
| | 3) | | Fer2 |
| 59 | gi 311325385 (PTT_11683) | Piruvat Kinaz | Piruvat Kinaz |
| | gi 311329308 (PTT_08331) | DUF1237 | DUF1237 |
| 60 | gi 311318794 (PTT_17182) | Peptidaz M49 | Peptidaz M49 |
| 62 | gi 311320690 (PTT_15531) | Peptidaz M13 | GMC Oksidoredüktaz |
| | gi 311323177 (PTT_13420) | Peptidaz M13 | Peptidaz M13 |
| 63 | gi 311323556 (PTT_13087) | Mrb-Mbl | HSP70 |
| | gi 311333512 (PTT_00362) | Gliko Hidrolaz 20 | Gliko Hidrolaz 20 |
| 70 | gi 311321040 (PTT_15242) | PEP Mutaz | ICL |
| | gi 311320708 (PTT_15515) | Fosfoenol Piruvat Karboksikinaz | PEPCK_ATP |
| 72 | gi 311316310 (PTT_19353) | Tiyoredoksin_6 | Tiyoredoksin_6 |
| | gi 311323030 (PTT_13533) | Peptidaz M36 | Peptidaz M36 |
| 73 | gi 311320690 (PTT_15531) | Peptidaz M13 | GMC Oksidoredüktaz |
| | gi 311320672 (PTT_15553) | UDPGP | UDPGP |
| 75 | gi 311328404 (PTT_09152) | HSP70 | HSP70 |
| 76 | gi 311332744 (PTT_02545) | Glukoz Metanol Kolin | Glukoz Metanol Kolin |

| | | Oksidoredüktaz | Oksidoredüktaz |
|----|----------------------------------|---|------------------------------------|
| 77 | gi 311324557 (PTT_12393) | Tiamin Pirofosfat Binding Enzim | Tiamin Pirofosfat Binding Enzim |
| 79 | gi 311316977 (PTT_18785) | Amino Oksidaz | Amino Oksidaz |
| | gi 311332959 (PTT_01922) | GTP Siklohidrolaz 2 | GTP Siklohidrolaz 2 |
| | gi 311321818 (PTT_14585) | Sitokrom b5 like dom Glutamat sentaz | FMN Dehidrogenaz |
| 84 | gi 311329933 (PTT_07786) | Tetra trikopeptit tekrarları ve STI 1 | |
| 85 | gi 311319944 (PTT_16162) | TPP Enzim | TPP Enzim |
| | gi 187979272 (PTRG_0337 5) | TPP Enzim | TPP Enzim |
| 87 | gi 311320725 (PTT_15505) | Selülaz | Selülaz |
| 91 | gi 311325425 (PTT_11723) | HSP90 HATPase_c | HSP90 HATPase_c |
| 92 | gi 311318079 (PTT_17811) | WD 40 tekrarları | WD 40 tekrarları |
| | gi 187977966 (PTRG_1154 2) | WD 40 tekrarları | WD 40 tekrarları |
| 93 | gi 311324041 (PTT_12822) | 2-Metilsitrat Dehidrataz | 2-Metilsitrat Dehidrataz |
| 94 | | | |
| 95 | gi 311319652 | Ras | Ras |

| | | | |
|------------|----------------------------------|-----------------------------|-------------------------|
| | (PTT_16417) | tRNA Sentaz 2-b | tRNA Sentaz 2-b |
| | gi 311321565 (PTT_14782) | Rafinoz Sentaz | Ras tRNA Sentaz |
| 96 | gi 311320328 (PTT_15834) | Aldehit Dehidrogenaz | Aldehit Dehidrogenaz |
| | gi 187984551 (PTRG_0712 0) | Aldehit Dehidrogenaz | Aldehit Dehidrogenaz |
| 97 | gi 311325199 (PTT_11879 9) | PGM Scop 3 | PGM_PMM 1 PGM_PMM 4 |
| | gi 311331295 (PTT_06660) | Fosfo Enol Pruvat Mutaz | İzositrat Liyaz |
| 98 | gi 311321923 (PTT_14468) | AAA ATPaz | ABC Transporter |
| 99 | gi 311320328 (PTT_15834) | Aldehit Dehidrogenaz | Aldehit Dehidrogenaz |
| 100 | gi 311327612 (PTT_09804) | Peptidaz m1 ERAP 1c | Peptidaz M1 ERAP1 |
| 104 | gi 311325425 (PTT_11723) | HSP90 HATPase_c | HSP90 HATPase_c |
| 105 | gi 311319605 (PTT_16469) | Malat Sentaz | Malat Sentaz |
| | gi 311331188 (PTT_06770) | 2,3 bifosfoglisrat mutaz | NACHT |
| 107 | gi 311328445 (PTT_09083) | NACHT | Metaloenzym |
| 108 | gi 311330479 | Cpn60_TCP1 | Cpn60_TCP1 |

| | | | |
|------------|----------------------------------|-----------------------------|-----------------------------|
| | (PTT_07333) | | |
| 109 | gi 311325613 (PTT_11535) | PH_6 | PH_6 |
| 111 | gi 311315271 (PTT_20250) | Amidaz | Amidaz |
| 114 | gi 311330479 (PTT_07333) | Cpn60_TCP1 | Cpn60_TCP1 |
| 115 | gi 311325907 (PTT_11268) | PGM_PMM | PGM_PMM |
| 116 | gi 311324041 (PTT_12822) | 2-Metilsitrat Dehidrataz | 2-Metilsitrat Dehidrataz |
| 117 | gi 311320699 (PTT_15540) | Fosfo Glukoz İzomeraz | Fosfo Glukoz İzomeraz |
| 119 | gi 311325907 (PTT_11268) | PGM_PMM | PGM_PMM |
| 123 | gi 311324041 (PTT_12822) | 2-Metilsitrat Dehidrataz | 2-Metilsitrat Dehidrataz |
| 124 | gi 311324131 (PTT_12738) | Fosfogluko Izomeraz | ATP Sintaz_ab |
| | gi 311329057 (PTT_08562) | FAD binding 4 | FAD binding 4 |
| 128 | gi 311324579 (PTT_12415) | B3_4 B5 scop | B3_4 B5 scop |
| 130 | gi 311320672 (PTT_15553) | UDPGP | UDPGP |
| 131 | gi 311331024 (PTT_06848) | Cpn60_TCP1 | Cpn60_TCP1 |
| | gi 187978674 (PTRG_0277 7) | Cpn60_TCP1 | Cpn60_TCP1 |

| | | | |
|------------|-----------------------------|--|--|
| 133 | gi 311330637 (PTT_07197) | M20 Dimer | Peptidaz_M20 |
| 135 | gi 311324131 (PTT_12738) | Fosfogluko İzomeraz | ATP Sintaz_ab |
| 138 | gi 311333477 (PTT_00408) | Hekzokinaz | Hekzokinaz_1 Hekzokinaz_2 |
| 139 | gi 311328404 (PTT_09152) | HSP70 | HSP70 |
| 147 | gi 311323498 (PTT_13160) | Metil Transferaz | Metil Transferaz |
| | gi 311326138 (PTT_11088) | Glutamat/Lösin/Feni lalanin/Valin Dehidrogenaz | Glutamat/Lösin/Feni lalanin/Valin Dehidrogenaz |
| 152 | gi 311330702 (PTT_07156) | Biotin-lipoil attachment dom 2-okzo asid dehidrogenaz | 2-okzo asid dehidrogenaz Biotin-lipoil attachment dom |
| 155 | gi 311322842 (PTT_13680) | 6-Fosfo Glukonat Dehidrogenaz, NAD binding 2 | 6-Fosfo Glukonat Dehidrogenaz, NAD binding 2 |
| 156 | gi 311316573 (PTT_19133) | Pdb(metal binding hidrolaz), Aldehit Dehidrogenaz | Aldehit Dehidrogenaz |
| 158 | gi 311325907 (PTT_11268) | PGM_PMM, | PGM_PMM |
| 159 | gi 311320672 (PTT_15553) | UDPGP | UDPGP |
| 162 | gi 311333111 (PTT_01506) | DUF | DUF1899 WD40 |
| | gi 311322873 | HMG_CoA_Sentaz | HMG_CoA_Sentaz |

| | | | |
|------------|-----------------------------|--|--|
| | (PTT_13677) | | |
| 163 | gi 311330637 (PTT_07197) | M20 Dimer | Peptidaz_M20 |
| 165 | gi 311330637 (PTT_07197) | M20 Dimer | Peptidaz_M20 |
| 166 | gi 311327902 (PTT_09571) | GDI | GDI |
| 167 | gi 311322842 (PTT_13680) | 6-Fosfo Glukonat Dehidrogenaz, NAD binding 2 | 6-Fosfo Glukonat Dehidrogenaz, NAD binding 2 |
| 169 | gi 311322842 (PTT_13680) | 6-Fosfo Glukonat Dehidrogenaz, NAD binding 2 | 6-Fosfo Glukonat Dehidrogenaz, NAD binding 2 |
| 170 | gi 311322873 (PTT_13677) | HMG_CoA_Sentaz | HMG_CoA_Sentaz |
| 171 | gi 311315314 (PTT_20217) | Aldehit Dehidrogenaz | Aldehit Dehidrogenaz |
| 172 | gi 311329848 (PTT_07872) | Galakto homoserin Kinaz | GHMP_Kinaz |
| 178 | gi 311316083 (PTT_19552) | Peptidaz | Peptidaz M1, Lökotrien A4 Hidrolaz |
| 180 | gi 311322842 (PTT_13680) | 6-Fosfo Glukonat Dehidrogenaz, NAD binding 2 | 6-Fosfo Glukonat Dehidrogenaz NAD binding 2 |
| 183 | gi 311328327 (PTT_09195) | Gliko Hidrolaz3 | Glikosil Hidrolaz, GlutaminAmido Transferaz, KarbamolFosfat Sentaz, Fibronektin type3 |

| | | | |
|------------|----------------------------------|------------------------------------|---|
| | gi 311330604 (PTT_07229) | AAA ATPaz | AAA ATPaz |
| 185 | gi 311331037 (PTT_06862) | Enolaz | Enolaz |
| 191 | gi 311327612 (PTT_09804) | Peptidaz m1 ERAP 1c | Peptidaz m1 ERAP 1c |
| 194 | gi 311318624 (PTT_17303) | Metil Transferaz | Metil Transferaz |
| 197 | gi 311332617 (PTT_02982) | Mannitol Dehidrogenaz | Mannitol Dehidrogenaz |
| 199 | gi 311328903 (PTT_08677) | Aktin | Aktin |
| 201 | gi 311325372 (PTT_11737) | Mreb-Mbl | HSP70 |
| | gi 311328404 (PTT_09152) | HSP70 | HSP70 |
| | gi 311331037 (PTT_06862) | Enolaz | Enolaz |
| 202 | gi 187979914 (PTRG_0370 2) | ATP Sintaz_ab | ATP Sintaz_ab |
| 203 | gi 311331866 (PTT_05307) | Prenil Transferaz | Prenil Transferaz ve sequalin oksidaz tekrar |
| | gi 311316552 (PTT_19146) | S-adenozil homosistein hidrolaz | S-adenozil-L- homosisteinHidrolaz NAD binding domain |
| 210 | gi 311331037 (PTT_06862) | Enolaz | Enolaz |
| | gi 311329324 | Fosfodiesteraz, | Fosfodiesteraz, |

| | | | | | |
|------------|----------------------------------|------------------------------------|----|---------------------------------------|----|
| | (PTT_08317) | Glutatyon Transferaz, EF1G | S- | Glutatyon Transferaz EF1G | S- |
| | gi 187976885 (PTRG_1046 1) | Karboksi Peptidaz, Peptidaz_S10 | | Karboksi Peptidaz Peptidaz_S10 | |
| 211 | gi 311323385 (PTT_13228) | Aldehit Dehidrogenaz | | Aldehit Dehidrogenaz | |
| 212 | gi 311332885 (PTT_02105) | Peptidaz M16 | | Peptidaz M16 | |
| 218 | gi 311332885 (PTT_02105) | Peptidaz M16 | | Peptidaz M16 | |
| 221 | gi 311328404 (PTT_09152) | HSP70 | | HSP70 | |
| 222 | gi 311331037 (PTT_06862) | Enolaz | | Enolaz | |
| | gi 311323483 (PTT_13145) | Peroksidaz_2 | | Peroksidaz_2 | |
| 224 | gi 311329409 (PTT_08242) | Glutamin Sentetaz C | | Glutamin Sentetaz Katalitik domain | |
| | gi 311325431 (PTT_11669) | DUF1688 | | DUF1688 | |
| 227 | gi 311325728 (PTT_11420) | PeptidaZ S 9 | | Esteraz | |
| | gi 311325538 (PTT_11597) | DAHP Sentetaz_1 | | DAHP Sentetaz_1 | |
| 229 | gi 311331037 (PTT_06862) | Enolaz | | Enolaz | |
| | gi 187978686 (PTRG_0278) | Enolaz | | Enolaz | |

| | | | |
|------------|----------------------------------|---|---|
| | 9) | | |
| 231 | gi 311322842 (PTT_13680) | 6-Fosfo Glukonat Dehidrogenaz NAD binding 2 | 6-Fosfo Glukonat Dehidrogenaz NAD binding 2 |
| 232 | gi 311328903 (PTT_08677) | Aktin | Aktin |
| | gi 311323385 (PTT_13228) | Aldehit Dehidrogenaz | Aldehit dehidrogenaz |
| 233 | gi 311319520 (PTT_16544) | Svf 1 | Svf1-like domain |
| | gi 311325425 (PTT_11723) | HSP90 HATPase_c | HSP90 HATPase_c |
| 235 | gi 311331037 (PTT_06862) | Enolaz | Enolaz |
| | gi 187978686 (PTRG_0278 9) | Enolaz | Enolaz |
| 236 | gi 311316969 (PTT_18777) | Hekzokinaz | Hekzokinaz |
| | gi 311317832 (PTT_18008) | Aldehit dehidrogenaz | Aldehit dehidrogenaz |
| 237 | gi 311328129 (PTT_09362) | E3rlu5_pyrtt Fosfo gliserat kinaz (uniprot) | PGK |
| | gi 311329210 (PTT_08465) | Transaldolaz | TAL_FSA |
| 239 | gi 311328129 (PTT_09362) | E3rlu5_pyrtt Fosfo gliserat kinaz (uniprot) | PGK |
| 240 | gi 311316234 (PTT_19429) | ATP_grasp_2 CoA Ligaz | ATP_grasp_2 CoA Ligaz |

| | | | |
|-----|-----------------------------|---------------------------------|-----------------------------|
| | gi 311330840 (PTT_07032) | Dead like Helicases superfamily | DEAD Helikaz |
| | gi 311323483 (PTT_13145) | Peroksidaz_2 | Peroksidaz_2 |
| 242 | gi 311325372 (PTT_11737) | Mrb-Mbl | HSP70 |
| 255 | gi 311333343 (PTT_00758) | Acyl_CoA dehidrogenaz | Acyl_CoA dehidrogenaz |
| | gi 311329985 (PTT_07756) | S-adenozil metiyonin sentaz | S-adenozil metiyonin Sentaz |

Tablo 7. incelendiğinde 5 spotta (#25, #48, 50, #63, #183) tanımlanan proteinlerin savunma sistemi proteinlerinden olan glikohidrolaz ailesine ait domainler içерdiği görülmektedir. 19 spota ait hipotetik proteinlerin ise çeşitli dehidrogenaz domainine sahiptirler. 14 spota (#4, #50, #63, #75, #91, #104, #139, #201, #221, #233, #242, #108, #114, #131) ait hipotetik protein ise ısı şok protein domainlerine ve şaporonin domainlerine sahiptirler. 6 spota (#185, # 201, # 210, #222, #229, # 235) ait 2 protein ise sırası ile gi|311331037 ve gi|187978686 kimlikli proteinler enolaz domaini ne sahiptirler. 15 spot (#53, #56, #60, #62, 73, #100, #133, #163, #165, #178, #191, #210, #212, #218, #227) peptidaz domainine sahiptirler, belirtilen bu spotlar için tanımlanan hipotetik proteinler; gi|311327612, gi|311325385, gi|311323177, gi|311320690, gi|311318794, gi|311323030, gi|311330637, gi|311316083, gi|187976885 ve gi|311325728 dir. Spot 23, 79, 183 ve 255 ise amino asit metabolizması ile ilgili domainlere sahiptirler. Diğer hipotetik proteinler ise çeşitli protein domainlerine sahiptirler.

İsmail ve Able tarafından 2016 yılında yayınlanan arpada ağ benek leke hastalığı ağ tipine neden olan *P.teres* f. *teres* patojeninin yüksek virüvenslikteki izolatları ile gerçekleştirilmiş olan sekretom çalışmásında (İsmail ve Able 2016) tanımlanmış olan proteinler ile bizim çalışmamızda tanımlanan proteinler arasında veri tabanı numaraları bazında benzerlik yoktur. Bahsedilen çalışmada salgılanan proteinlerin tanımlanması hedeflenmiştir, bizim çalışmamızdaki ekstraselüler proteinler ile de bu çalışmada tanımlanan proteinler aynı veri tabanı numarasına

sahip değildir. İsmail ve Able'in (2016) çalışmasında veri tabanı numarası aynı olmayıp domain olarak pektin liyaz domaini içeren proteinin ekstraselüler olduğu tespit edilmiştir, bizim çalışmamızda da tespit edilen pektat liyaz domainliği|311321252 kimlik numaralı protein tanımlanmıştır.



5. SONUÇ VE ÖNERİLER

Yapılan bu çalışma sonunda bugüne kadar arpada ağ benek leke hastalığı nokta formuna neden olan ve hem Türkiye'de hem de Amerika'nın en yüksek dirençliliğe sahip arpa hatlarını enfekte edebilen GPS 79 izolatının misel proteom analizi ilk defa gerçekleştirilmiş olup sonucunda pH 4-7 arasında izo elektrik noktaya sahip toplam 932 spottan oluşan proteomu tespit edilmiş olup bunların 108 tanesine karşılık 158 protein, bazı spotların aynı proteinlere hit verdiğine dikkat edildiğinde ise 127 protein tanımlanmış ve bu proteinlerin %50' den fazlasının sitozolik oldukları tespit edilmiştir. Çalışmanın yayına dönüştürülmesinden önce tez kapsamında tanımlanamamış olan yaklaşık 800 spotun da tanımlanması gerçekleştirilerek patojenisitede görevli proteinlerin ve yolakların tespit edilmesi patojenle mücadelede hedef yolakların belirlenmesi yolunu açabilecektir.

KAYNAKLAR

- Able, A. *Protoplasma*, 2003, 221, 137–143.
- Aktaş, H. 1997. "Untersuchungen über die Netzfleckenkrankheiten (*Drechslera teres* Shoem. f. sp. *teres* Smedeg. *D. teres* Shoem. f. sp. *maculata* Smedeg.) an Gerste", J T Phytopathol, 28: 17-22.
- Aktaşdoğan, D., Karakaya, A., Oğuz, A.Ç., Mert, Z., Sayim, İ, Ergün, N., Aydoğan, S. 2013. "Bazı arpa genotiplerinin *Drechslera teres* f. *maculata* (Smed.-Pet., 1971)'ya karşı fide dönemi reaksiyonlarının belirlenmesi. Bitki Koruma Bülteni, 53:175-183.
- Bach, E., Christensen, S., Dalgaard, L., Larsen, P.O., Olsen, C.E. 1979. "Structures, properties and relationship to the aspergillomarasmines of toxins produced by *Pyrenophora teres*", Physiol Plant Pathol,14: 41–46.
- Bartlett, D.W., Clough, J.M., Godwin, J.R., Hall, A.A., Hamer, M., Parr-Dobrzanski, B. 2002. "The strobilurin fungicides", Pest Manag Sci, 58: 649-662.
- Beattie, A.D., Scoles, G.J., Rossnagel, B.G. 2007. "Identification of molecular markers linked to aPyrenophora teresvirulence gene", Phytopathol, 97: 842–849.
- Bogacki, P., Oldach, K.H., Williams, K.J. 2008. "Expression profiling and mapping of defence response genes associated with the barley–*Pyrenophora teres* in compatible interaction", Mol Plant Pathol, 9: 645–660.
- Crous, P.W., Janse, B.J.H., Tunbridge, J., Holz, G. 1995. "DNA homology between *Pyrenophora japonica* and *P.teres*", Mycol Res, 99: 1098–1102.
- Dilger, M., Felsenstein, F.G., Schwarz, G. 2003. "Identification and quantitative expression analysis of genes that are differentially expressed during conidial germination in *Pyrenophora teres*" Mol Genet Genomics, 270: 147–155.

Douiyssi, A., Rasmusson, D.C., Roelfs, A.P. 1998. "Responses of barley cultivars and lines to isolates of *Pyrenophora teres*", Plant Dis, 82: 316-321.

Ellwood, S.R., Liu, Z., Syme R.A., Lai, Z., Hane J.K., Keiper, F., Moffat, C.S., Oliver, R.P., Friesen T.L. 2010. "A first genome assembly of the barley fungal pathogen *Pyrenophora teres* f. *teres*", Genome Biol, 11: R109.

Eichmann, R., R. Huckelhoven 2008. "Accommodation of powdery mildew fungi in intact plant cells." Journal of Plant Physiology 165: 5-18.

Friis, P., Olsen, C.E., Moller, B.L. 1991. "Toxin production in *Pyrenophora teres*, the asco-mycete causing the net-spot blotch disease of barley (*Hordeum vulgare*.)", J Biol Chem, 266: 13329–13335.

Finn, R.D., Coggill, P., Eberhardt, R.Y., Eddy, S.R., Mistry, J., Mitchell, A.L., Potter, S.C., Punta, M., Qureshi, M., Sangrador-Vegas, A., Salazar, G.A., Tate, J., Bateman, A. 2016. "The Pfam protein families database: towards a more sustainable future" Nucleic Acids Research Database Issue 44:D279-D285.

Giraldo, M. C., Valent, B. 2013. "Filamentous plant pathogen effectors in action" Nature Reviews Microbiology v11: 800-814.

Hane, J.K., Lowe, R.G.T., Solomon, P.S., Tan, K.C., Schoch, C.L., Spatafora, J.W., Crous, P.W., Kodira, C., Birren, B.W., Torriani, S.F.F., McDonald, B.A., Oliver, R. 2007. "Dothideomycete-plant interactions illuminated by genome sequencing and EST analysis of the wheat pathogen *Stagonospora nodorum*", Plant Cell, 19: 3347–3368.

Hargreaves, J.A., Keon, J.P.R. 1983. "The binding of isolated meso-phyll cells from barley leaves to hyphae of *Pyrenophora teres*", Plant Cell Rep, 2, 240–243.

Horton, P., Park, K.-J., Obayashi, T., Fujita, N., Harada, H., Adams-Collier, C. J., & Nakai, K. 2007. WoLF PSORT: protein localization predictor. Nucleic Acids Research, 35(Web Server issue), W585–W587. <http://doi.org/10.1093/nar/gkm259>.

Ismail, A.I., Able, A.J. 2016. *Proteomics* doi: 10.1002/pmic.201500498.

Kamoun, S. 2007. "Groovy times, filamentous pathogen effectors revealed", *Curr Opin Plant Biol*, 10, 358–365.

Karakaya, A., Aktaş, H., Katırcioğlu, Y. Z. 2004. "Studies on the biology of *Drechslera teres* under Ankara conditions", *Tarım Bilimleri Dergisi*, 10,133-135.

Karakaya, A., Akyol, A. 2006. "Determination of the seedling reactions of some Turkish barley cultivars to the net blotch", *Plant Pathol J*, 5, 113-114.

Karki, C.B., Sharp, E.L. 1986. "Pathogenic variation in some isolates of *Pyrenophora teres* f.sp. *maculata* on barley", *Plant Dis*, 70, 684-687.

Keiper, F.J., Grcic, M., Capio, E., Wallwork, H. 2008. "Diagnostic microsatellite markers for the barley net blotch pathogens, *Pyrenophora teres* f. *maculata* and *Pyrenophora teres* f. *teres*", *Australasian Plant Pathol*, 37, 428–430.

Khan, T.N., Tekauz, A. 1982. "Occurrence and pathogenicity of *Drechslera teres* isolates causing spot-type symptoms on barley in Western Australia", *Plant Dis*, 66, 423-425.

Krupinska, K., Haussuhl, K., Schafer, A., Van Der Kooij, T.A., Leck-band, G., Lorz, H., Falk, J. 2002. "A novel nucleus-targeted protein is expressed in barley leaves during senescence and pathogen infection", *Plant Physiol*, 130, 1172–1180.

Lai, Z., Faris, J.D., Weiland, J.J., Steffenson, B.J., Friesen, T.L. 2007. "Genetic mapping of *Pyrenophora teres*f. *teres* genes conferring avirulence on barley", *Fungal Genet. Biol*, 44, 323–329.

Leisova, L., Kucera, L., Minarikova, V., Ovesna, J. 2005. " AFLP-based PCR markers that differentiate spot and net forms of *Pyrenophora teres*", Plant Pathol, 54, 66-73.

Letunic et al. (2014) *Nucleic Acids Res* doi: [10.1093/nar/gku949](https://doi.org/10.1093/nar/gku949).

Lightfoot, D.J., Able, A.J. 2010. "Growth of *Pyrenophora teres* in planta during barley net blotch disease", Australasian Plant Pathol, 39, 499-507.

Liu, Z., Ellwood, S.R., Oliver, R.P., Friesen, T.L. 2011. " *Pyrenophora teres*: profile of an increasingly damaging barley pathogen", Mol Plant Pathol, 12, 1-19.

Louw, J.P.J., Victor, D., Crous, P.W., Holz, G., Janse B.J.H. 1995 "Characterization of *Pyrenophora* isolates associated with spot and net type lesions on barley in South Africa", J Phytopathol, 143, 129-134.

Mathre, D.E. 1997. Compendium of Barley Diseases (2nd edn.) St. Paul, MN: American Phytopathological Society.

McLean, M.S., Howlett, B.J., Hollaway, G.J. 2009. "Epidemiology and control of spot form of net blotch (*Pyrenophora teres f. maculata*) of barley, a review", Crop Pasture Sci, 60, 303–315.

Mode, C.J., Schaller, C.W. 1958. "Two additional factors for host resistance to net blotch in barley", Agron. J. 50, 15–18.

Neta Shlezinger, Anna Minz, Yonatan Gur, Ido Hatam, Yasin F. Dagdas, Nicholas J. Talbot, Amir Sharon 7(2011) Anti-Apoptotic Machinery Protects the Necrotrophic Fungus *Botrytis cinerea* from Host-Induced Apoptotic-Like Cell Death during Plant Infection PLOS Pathogens.

Olof Emanuelsson, Henrik Nielsen, Søren Brunak and Gunnar von Heijne.

“Predicting subcellular localization of proteins based on their N-terminal amino acid sequence” J. Mol. Biol., 300: 1005-1016, 2000.

SignalP 4.0: discriminating signal peptides from transmembrane regions Thomas Nordahl Petersen, Søren Brunak, Gunnar von Heijne & Henrik Nielsen *Nature Methods*, 8:785-786, 2011.

Rampitsch, C., Subramaniam, R., Djuric-Ciganovic, S., Bykova, N.V. 2010. "The phosphoproteome of *Fusarium graminearum* at the onset of nitrogen starvation" Proteomics, 10, 124–140.

Rampitsch, C., Day, J., Subramaniam R., Walkowiak, S. 2013. “Comparative secretome analysis of *Fusarium graminearum* and two of its non-pathogenic mutants upon deoxynivalenol induction in vitro”, Proteomics, 13, 1913–1921.

Ruiz-Roldán, M.C., Maier, F.J., Schäfer, W. 2001. "PTK1, a mitogen-activated-protein kinase gene, is required for conidiation, appressorium formation, and pathogenicity of *Pyrenophora teres* on barley", Mol Plant Microbe Int, 14, 116–125.

Sarpeleh, A., Tate, M.E., Walwork, H., Catcheside, D., Able, A.J. 2009."Characterisation of low molecular weight phytotoxins isolated from *Pyrenophora teres*", Physiol Mol Plant P, 73, 154-162.

Schaller, C.W. 1955. "Inheritance of resistance to net blotch of barley" Phytopathol, 45, 174–176.

Shipton, W.A., Khan, T.N., Boyd, W.J.R. 1973. "Net blotch of barley", Rev. Plant Pathol, 52, 269–290.

Smedegard-Petersen, V. 1977. "Inheritance of genetic factors for symptoms and pathogenicity in hybrids of *Pyrenophora teres* and *Pyrenophora graminea*", Phytopathol Z, 89, 193–202.

Taşkoparan, H., Karakaya, A. 2009. Assessment of the seedling reactions of some barley cultivars to *Drechslera teres* f. *maculata*. Selçuk Tarım ve Gıda Bilimleri Dergisi 23 (50): 60-62.

Tekauz, A., Buchannon, K.W. 1977. "Distribution of and sources of resistance to biotypes of *Pyrenophora teres* in Western Canada", Can J Plant Sci, 57, 389-395.

Usta, P., Karakaya; A., Oğuz, A.C., Mert, Z., Akan, K., Çetin, L., 2014.

"Determination of the seedling reactions of twenty barley cultivars to six isolates of *Drechslera teres* f. *maculata*", Anadolu Tarım Bilimleri Dergisi, 29, (baskıda-in press).

Wallwork, H., Lichon, A., Sivanesan, A. 1992. "Pyrenophora hordei- a new ascomycete with *Drechslera* anamorph affecting barley in Australia", Mycol Res, 96, 1068–1070.

Weiland, J.J., Steffenson, B.J., Cartwright, R.D., Webster, R.K. 1999. "Identification of molecular genetic markers in *Pyrenophora teres* f. *teres* associated with low virulence on 'Harbin' barley. Phytopathol, 89, 176–181

Williams, K.J., Smyl, C., Lichon, A., Wong, K.Y., Wallwork, H. 2001. "Development and use of an assay based on the polymerase chain reaction that differentiates the pathogens causing spot form and net form of net blotch of barley", Australian Plant Pathol, 30, 37–44

Williams, K.J., Platz, G.J., Barr, A.R., Cheong, J., Willsmore, K., Cakir, M., Wallwork, H. 2003. "A comparison of the genetics of seedling and adult plant resistance to the spot form of net blotch (*Pyrenophora teres* f. *maculata*)" Aust J Agr Res, 54, 1387-1394.

Wong, D.C.J., Ismail, I.A., Godfrey, D., Able, AJ. 2012. "Death by toxin net blotch disease of barley", Microbiology Australia, 1, 34-35.

van den Berg, C.G.J., Rossnagel, B.G. 1990. "Effects of temperature and leaf wetness period on conidium germination and infection of barley by *Pyrenophora teres*" Can J Plant Pathol, 12, 263–266.



EKLER:

Ek 1. *Drechslera teres* f. *maculata* fungusunun GPS 79 izolatına ait Proteom Dizi Bilgisi

Spot 4:

>gi|311317371| hypothetical protein [*Pyrenophora teres* f. *teres* 0-1]

MLSSRLSRNVLPVASAARRTPVFRAPAMFARGYAEGGQEKVKGSVIGIDL
GTTNSAVAVMEGKVPRIENSEGGRTTPSVVGFTKEGERLVGIAAKRQAVVN
PENTLFATKRLIGRKFTDAEVQRDIQQVPYKIVQHTNGDAWLEAQGQKYSPS
QVGGFVLGKMKETAESYMGKNVKNAVVTVPAYFNDSQRQATKDAGQIAG
LNVLRVVNEPTAAALAYGLDKATDNVVAVYDLGGTFDISILEIQAGVFEV
KSTNGDTHLGGEDFDITLVRHLVDQFKKEQGIDLNSDRMAIQRIREAAEKAK
IELSSSSQTDINLPFITADASGPKHINTKLSRAQLEKMMMDPLISRTVEPVRKAL
KDANLKATDISEVILVGGMTRMPKVTESVKSIFGRDPAKSVNPDEAVAIGAA
IQAVLAGEVTDLVVDTPLSLGIETLGGVFTRLINRNTTIPTKKSQVFSTAAD
FQSAVEIKVYQGERELVRDNKLLGNFQLVGIPPAHRGVPQIEVTFDIDADSIV
HVHAKDKSTNKDQSITIASGSGLSESEIENMVKDSEQYAEQDKERKNAIEAA
NRADSVVNDTEKALKEFEDRLDKAEAEKIKEKIASMREFISQSQSGEGSATA
AEIKEKTDELQNASLSLFDQMHKARSESQNQSEQPQQPGEGEQDKKQ

Spot 10:

>gi|311318543|hypothetical protein [*Pyrenophora teres* f. *teres* 0-1]

MAATAVDVGYLAASYAVPETTLHSLLSEPTVELVQSLLTQIEAKARAYDDL
QSEKIRADVELEAAVQGGEQRARSLKATAEKAQKEAEEELKKLIQEENARQ
EAQTALQKLQATATSSTSETQALESRIKTLESHNRDAIAIHEAKTAAHDRALAK
ELSEQHQKSVELRKQVSALEEKNQSLESAATNVKFREANLQQEIEQLRNND
WYTTELKTRADDHSKYRKEKNAQIAQLQRENADAETIDTLRRSETLLRQHI
EELKSKAEEEDRLRIEELNEVSQAETKFHLELDSARRLATLHQQNHEMTKKR
LEQLQADTERVQEDAANEIGQLQAEYEMERNRAAEAEARTVELETLVESLK
SDNSDLRSSVRVPGTPRHGMNGGFSTPGRAGSPAVFSPGSQLKADASKTQL
LVENNDLKELRRVREKHEEQNAVLNEMLQELESRQPEFEEIRRQNDALIEQ

NNEISSLLDAISEREAAQRDSRKALGDLEGIQSENGLLQRQLGDLTIQLRSL
MWRTEAEKNGLGLPPEEQQRFLITAVEKNEVADEFPLPDDSPQTQNMITQYLTL
YNDIKTLQGQNSELLRTLQVGDEQEKKQESRMKSEQYQKDIIEELGHLSVL
AEKDEEIQLSHVRSQTLKTERDMYSRIVSGRNQPSSHAQSTSafaQSVPATG
APLQLENGAASREIPEYSKLKDLSHINLLKEESATDRATLKSQVDSLTKDN
TQLQSDKLRCESQLREQDRYARLEGSIKLLQSEKDSLQERYNKVQATMAQ
QDDNLVKATQNAAEAEARLQLQGEMVQLRASQQMSATIEARLKERNQEL
MTERDRLSSMVSSIQLRNEAELATAESRRELQNSVDKLRMDLQSAERRLED
ESAEHKRATQQRDYERMEAQRRIIDDLITARNSAEVKAATADSTRQQLEQRI
KDLQNQLQTAEERVAALQPRPDSTEEQDSASREEELIAQVSELKRKLERKEE
DLEAVTAQIAGFQDIAQEAENRLQTFVEAHERLQEQLNLAEQEKDATINDLQ
QRVNDISSELATSSTELRGQHEQDTLVLKQEKEETLEAEIIRLQNDMADYK
AEAENQTQYVKTQAEIAERAQKDYEHEFQKHAESMQKLREVRDQYNELQT
QITEFKTQAEAARTTLEQSQEHWKSTEGRYEEQLAEAKRRHDDLKQYNQTL
LKQFDEYKEQINSLKSDRGASAAAGDAGSAEAGSSNLQDIESYLRREKEILE
VQLNLKVQESKRLEQQLAHAQGQLDQTREKLLEEQAKASGSQNGSSLAHLN
KNLEELNVYRESNATLRNENLRLQASFAEKAKALEDLQSELEPLQVRVSELE
GELELNNGHLKAVEEDRDRWQKRHQDVQLRYDRIDPKELEDLKKQIEYKS
ERDQALEQVNGLNEQLKDATEKLEKALATKAEEIQAACEAEMKIAREKFNR
RHAEKMNKAEMAELQKKLDAVQTELNTSQAHHAGAVVSQEQQVAKLQK
ELEQTRTQLAAAQRDLKSANTARDEALAKAATSTQSVRDADRGEEGQINEG
GHGAITQRLAELEKQLEEAQRKAAEAEHQRSEAVAQLTNLQAQLSAQKNGL
QLQKETAEKDTIIELQQQLSRPQAQDPQSAANPAPAVIDSTIQAIEKLKNE
LASKAREVDDLRAQLNVAKSAERTTGPETSQNNEAVAALKASLDQRETELK
ALEASLNIREADLNTRQDAVAKREVKSDELKVAKANKRIAELKKDYESQIATL
HEEHQAEVERLQQEKQTSdasvapvpdgmittedlprptvtsnqfawlwra
NAAAGDVVKAQIGINVKKACVGRDEVITKLRQEVEQLNTQKAIDSITAVKQ
EPEQAKPAEDPEVTAAWEEKVKQKVKEKEVNLTKTFEMKSVKSQLALV
RARLAYVDKASKETPTEEVAKVYAIAMTQKPEVKTATQPATPAKQDAVQS
GGQSQTPTNSTPSQPGPQPTIAQQQQATPMATNTPQANDANNMSAGQVAQP
VPFNQMNPFGQSAGHGTPMNPFLQGNNQMGRGLPQPGFAYPGQIPGQQLPQ
GQQQQQQFGRGNGLQQPARGALQSNIPRGGSNIPMPGGRGRGQQNQPQQ

QQHPQQQAQQPQNQNQVQVASQIGRGGRGGGRGGQQNQTQNQNP
NSPRTSLSANAPGFVPGQGGGQQGGGRGQKRGAEDEGDGAATRGGKRARG
GRGGGGGNAQAGAE

Spot 12:

>gi|311321231| hypothetical protein [*Pyrenophora teres* f. *teres* 0-1]

MSQGECPVKKVPNVAGSGTRNTDWWPNELRTNILRQHDPRQNPLGPDFNY
VEEFKKLDYDALKKDLNALMTESDQDWPPADFGHYGGLFIRMAWHSAGTY
RVTDGRGGGGDGQQRFAPLNAWPDVSLDKARRLLWPIKQKYGNKISWAD
LMLLTGNVALESMGCPTFGFAGGRADTFQSDESVYWGGETEWLGSDVRYA
DGAKGVKGEGIVDGDQHKTDKSEPHSRNLEQPLAAAHMGLIYVNPEGPEG
IPDPVAAAHDIRTTFGRMAMNDEETAALIIGGHSGKTHGAAPSENTGPDPN
SEDLATQGFGWMNKHGRNGPDTITSGLEVWTGTPTKWSNKYLELYKF
EWELEKSPAGANQWVAKTDEHIIPDAYDQNKKHKPRMLTTDSMRMDPAY
EKITRRWLEHPEELHDTFVRAWFKLLHRDMGPRSRLWLGEVPKEVLLWEDP
VPQPEGELIGESDIATLKKVLDAGVEPAKLIRTAWASAASFRGSDKRGGAN
GARIRLAPQKDWEVNNPKELAEVLKALEGVQSKFNSGSKKVSMADLIVLAG
TAAVEKAAGVQVPFTPGRTDATQEQTDVKSFEHLEPVTDGFRNYGKGDRV
RTEQLDVDKAHLLRLTAPEMVVLTGGMRALNANWDGSSHGIFTKRPQQLT
NDFFVNLLDNNTIEWKATDSSKELYEGFDRKSGQKKWTATTRHDLVFGHHPE
LRAVAETYAQADNTDKFVKDFVAGWEKIMNNDRFDIKNKSVAQSRGANK
PRL

Spot 13:

>gi|311321231| hypothetical protein [*Pyrenophora teres* f. *teres* 0-1]

MSQGECPVKKVPNVAGSGTRNTDWWPNELRTNILRQHDPRQNPLGPDFNY
VEEFKKLDYDALKKDLNALMTESDQDWPPADFGHYGGLFIRMAWHSAGTY
RVTDGRGGGGDGQQRFAPLNAWPDVSLDKARRLLWPIKQKYGNKISWAD
LMLLTGNVALESMGCPTFGFAGGRADTFQSDESVYWGGETEWLGSDVRYA
DGAKGVKGEGIVDGDQHKTDKSEPHSRNLEQPLAAAHMGLIYVNPEGPEG
IPDPVAAAHDIRTTFGRMAMNDEETAALIIGGHSGKTHGAAPSENTGPDPN

SEDLATQGFGWMNKHGRGNGPDTITSGLEVWTGTPTKWSNKYLELYKF
EWELEKSPAGANQWVAKTDEHIIPDAYDQNKKHKPRMLTTDLSMRMDPAY
EKITRRWLEHPEELHDTFVRAWFKLLHRDMGPRSRWLGP
EVPEVPKEVLLWEDP
VPQPEGELIGESDIATLKKQVLDAGVEPAKLIRTAWASAASFRGSDKRGGAN
GARIRLAPQKDWEVNNPKELAEVLKALEGVQSKFN
SGSKKVSMADLIVLAG
TAAVEKAAGVQVPFTPGRTDATQEQT
DVKSFEHLEPVTDGFRNYGKGDRV
RTEQLD
VDKAHLLRLTAPEMV
VLTGGMRALNANWDGSSHGIFTKRPQQLT
NDFFVNLLDNNT
EWKATDSSKELYEGFDRKSGQKKWTATRHD
LVFGHHPE
LRAVAETYAQADNTDKFVKDFVAGWEKIMNN
DRFDIKNKS
VSAQSRGANK
PRL

Spot 17 (1):

>gi|311323945| hypothetical protein [*Pyrenophora teres* f. *teres* 0-1]

MQKFSRLGRLGQLSASRRQLATVSDAALSRKVEMTNWEKHYINYKQMND
NLNIVRSRLNRPLTFAEKILYSHLDDPHGQEIERGSSYLKLRPDRVACQDATA
QMAILQFMSAGLPSVATPTTVHCDHLIEAQVGGEKDLARANEINKEVYNFLS
TSCAKYNIGFWKPGSGIIHQIVLENYAFPGALLIGTDSHTPNAGGLGMAAIGV
GGADAVDVMAGLPWELKAPKVIGVKLTGKLSGW
TAPKDIILKVAGILT
VKG
GTGAIVEYHGPGTESLSCTGMATICNMGA
EIGATT
SVFPFND
RMYDYLAATK
RRDIGDFSREYASQLREDEGAQYDELIEINLDELEPHINGP
FTP
DLATPISKF
KE
AVKANKWPEELKVGLIGSCTN
SSYEDMSRAASIAEDAMA
HGV
KAKSLFT
V
T
PGSEQIRATIARDGQLKT
FEFGGMV
LANACG
PCIGQW
DRKD
VKKG
QANSII
SSYN
RNFTGRND
ANPATHSF
VTSP
DLVV
AMTIAG
TLNF
NP
LV
DEL
TGAD
GK
KF
KL
KEPT
GAGLP
ANGYDPG
QDTYQ
APPED
RAS
VS
AV
SPT
SDR
LQL
SPFS
AWDG
KDA
KNL
PIL
IKC
QGK
TTDH
ISMAG
PWL
KYRG
HLD
NIS
NN
MLIG
AIN
AENG
EANKV
KNALT
GEY
GA
VPD
VARDY
KKNG
VP
VV
IGDW
NY
GEG
SSRE
HA
ALE
PRHL
GGAA
ITRS
FARI
HET
NLKK
QGML
PLTF
SDP
ADY
DKIG
PN
RVD
LAST
ELAP
GKPL
MTV
HPAD
GSKE
FQIKL
SHTF
NEG
QIEW
FKNG
SALNT
MAK
NAKQ

Spot 17 (2):

>gi|311321231| hypothetical protein [*Pyrenophora teres* f. *teres* 0-1]

MSQGECPVKVVPNVAGSGTRNTDWWPNELRNILRQHDPRQNPLGPDFNY
VEEFKKLDYDALKDLNALMTESQDWPPADFGHYGGLFIRMAWHSAGTY
RVTDGRGGGGDGQQRFAPLNAWPDVSLDKARRLLWPIKQKYGNKISWAD
LMLLTGNVALESMGCPCTFGAGGRADTFQSDESVYWGGETEWLGSDVRYA
DGAKGVKGEIVDGDQHKTDXEPTSRNLEQPLAAAHMGLIYVNPEGPEG
IPDPVAAAHDIRTTFGRMAMNDEETAALIIGGHSGKTHGAAPSENTGPDPN
SEDLATQGFGWMNKHGRNGPDTITSGLEVWTGTPTKWSNKYLEYLYKF
EWELEKSPAGANQWVAKTDEHIIPDAYDQNKHKPRMLTTDSMRMDPAY
EKITRRWLEHPEELHDTFVRAWFKLLHRDMGPRSRWLGPVEPKEVLLWEDP
VPQPEGELIGESDIATLKKVLDAGVEPAKLIRTAWASAASFRGSDKRGGAN
GARIRLAPQKDWEVNNPKELAEVLKALEGVQSKFNNSKKVSMADLIVLAG
TAAVEKAAGVQVPFTPGRTDATQEQTDVKSFEHLEPVTDGFRNYGKGDRV
RTEQLDVDKAHLLRLTAPEMVVLGGMRALNANWDGSSHGIFTKRPGQLT
NDFFVNLLDNNTIEWKATDSSKELYEGFDRKSGQKKWTATRHDLVFGHHPE
LRAVAETYAQADNTDKFVKDFVAGWEKIMNNDRFDIKNKSVAQSRGANK
PRL

Spot 18 (1):

>gi|311321231| hypothetical protein [*Pyrenophora teres* f. *teres* 0-1]

MSQGECPVKVVPNVAGSGTRNTDWWPNELRNILRQHDPRQNPLGPDFNY
VEEFKKLDYDALKDLNALMTESQDWPPADFGHYGGLFIRMAWHSAGTY
RVTDGRGGGGDGQQRFAPLNAWPDVSLDKARRLLWPIKQKYGNKISWAD
LMLLTGNVALESMGCPCTFGAGGRADTFQSDESVYWGGETEWLGSDVRYA
DGAKGVKGEIVDGDQHKTDXEPTSRNLEQPLAAAHMGLIYVNPEGPEG
IPDPVAAAHDIRTTFGRMAMNDEETAALIIGGHSGKTHGAAPSENTGPDPN
SEDLATQGFGWMNKHGRNGPDTITSGLEVWTGTPTKWSNKYLEYLYKF
EWELEKSPAGANQWVAKTDEHIIPDAYDQNKHKPRMLTTDSMRMDPAY
EKITRRWLEHPEELHDTFVRAWFKLLHRDMGPRSRWLGPVEPKEVLLWEDP
VPQPEGELIGESDIATLKKVLDAGVEPAKLIRTAWASAASFRGSDKRGGAN
GARIRLAPQKDWEVNNPKELAEVLKALEGVQSKFNNSKKVSMADLIVLAG
TAAVEKAAGVQVPFTPGRTDATQEQTDVKSFEHLEPVTDGFRNYGKGDRV
RTEQLDVDKAHLLRLTAPEMVVLGGMRALNANWDGSSHGIFTKRPGQLT

NDFFVNLLDNNTIEWKATDSSKELYEGFDRKSGQKKWTATRHDLVFGHHPE
LRAVAETYAQADNTDKFVKDFVAGWEKIMNNDRFDIKNKSVAQSRGANK
PRL

Spot 18 (2):

>gi|311321252| hypothetical protein [*Pyrenophora teres* f. *teres* 0-1]

MHLSSLIACLGAVGAAQAAIAPWARLRSVNETDFADAAAATFPDGYWMND
LSKGGRAAFNSNPNEYKIFRNVKEYGAKGDGVTDSDAINLAISDGARCGPW
VCDSSTDSPA VVYIPSGTYLISKPIIFYETQLIGNPRALPVLKASPSLQALALI
DASPYNQNQNGQPGWISTNLFVRQIRNLIDGTAVPPSGFQGIHWPASQATTI
QNVKIRMTQASNSVHAGIFVENGSGGHMADLDISGGLYGMNIGNQQFTMR
NVKISKAVTGISQIWWDWGWL YAGLSISDCGTAFSMSNGSAGKLEVGSVII
DSEITNCNKFVDMAWSKTTMPTGAGQLILENIVLNNVPNA VVGNNGATVLAG
GSLTIKAWGQGNKYAPNVNGPEKFQGPITPATRPSSLDDGGKFYSKSKPTYE
TLTTGDFISARGAGATGDGRTDDTQA VQNAINSAVSQGVVYFEHGTYKVT
NTIYVPGGARMVGETFSVIMGSGSVFGNKDSPVPIVQVGKSGESGSVEWSD
MIVATQGATPGAIVIQYNLNTARGSGLWDVHTRIGGAKGTELQVAQCPIVG
QVKPECMAAHTNVHITKGANGAYFENNWFWTADHDQDDAKSTRVNVTG
RGLHVEAQNVWLWANGVEHHAIYQYQFNGASNIFAGFIQTETPYYQPSPDA
SNQPYGSSAAYS DPTYPMSGASA WGLRVLNSKNVMIYGGGLYSFRNIDVSCS
SPDAPGGNRNCQQRIFSIEGSSVQAFALSEVGVQSMITVDGVDKANWSDNL
SVYPNTIGWVSNGF

Spot 22:

>gi|311323945| hypothetical protein [*Pyrenophora teres* f. *teres* 0-1]

MQKFSRLGRLGQLASRRQLATVSDAALSRKVEMTNWEKGHYINYKQMND
NLNIVRSRLNRPLTFAEKILYSHLDDPHGQEIERGSSYLKLRPDRVACQDATA
QMAILQFMSAGLPSVATPTTVHCDHLIEAQVGGEKDLARANEINKEVYNFLS
TSCAKYNIGFWKPGSGIIHQIVLENYAFPGALLIGTDSHTPNAGGLGMAAIGV
GGADAVDVMAGLPWELKAPKVIGVKLTGKLSGWTAPKDIILKVAGILTVKG
GTGAIVEYHGPGTESLSCTGMATICNMGAEIGATTSVFPFNDRMYDYLAATK

RRDIGDFSREYASQLREDEGAQYDELIEINLDELEPHINGPFTPDLATPIKFKE
AVKANKWPEELKVGLIGSCTNSSYEDMSRAASIAEDAMAHGVKAKSLFTVT
PGSEQIRATIARDGQLKTFEFGGMVLANACGPCIGQWDRKDVKKGQANSII
SSYNRNFGRNDANPATHSFVTSPDLVVAMTIAGTLNFNPLVDELTGADGK
KFKLKEPTGAGLPANGYDPGQDTYQAPPEDRASVSAVSPTSDRLQLLSPFS
AWDGKDAKNLPILIKCGKTTDHISMAGPWLKRYRGHLDNISNNMLIGAIN
AENGGEANKVKNALTGEYGAVPDVARDYKKNGVPWVVIDWNYGEGSSRE
HAALEPRHLGGAAITRSFARIHETNLKKQGMLPLTFSDPADYDKIGPNDRV
LASTELAPGKPLTMTVHPADGSKEFQIKLSHTFNEGQIEWFKNGSALNTMAK
NAKQ

Spot 23:

>gi|311331996| hypothetical protein [*Pyrenophora teres* f. *teres* 0-1]

MVHSSVLGFPRMGADRELKKANEAYWADKLSRDDLIKEGKRLRLEHWKIQ
KDAGVDVIPSNDFAFYDHLLDHIQLFNAIPERYSKHSLHKLDEYFAMGRGHQ
KDGVDVPSLEMVKWFDSNYHYVKPTFQDGQSFTLAENPKPVVEFLEAKEA
GIVTRPVLIGPVSFLALGKADRDQTVDPISLLEKLLPVYVELLQKLKEAGAEY
VQIDEPVLVYDLPQKVKAQKPAYEKLVASGLPKLILATYFGDVVHNLDVFP
SLQGVAGIHIDLVRNPEQLDQVISKLGSSQVLSAGVVDGRNIWTKTNFKNAIEI
IETAVQKLGKDRVVVATSSLLHTPHSLDSEKKLPEEVKDWFSAVQKVSEV
VVIAKAVNDGPAAVREALEANAKSMQARASSARTNNKAVKDRQASVTPEQ
HERKSAFPERYAQQKKHLSLPTFPTTIGSFQQTKEIRISRNKFTKGEITAKEY
EKFIEKEIDDVIKIQDELDLDVYVHGEPERNDMVQYFGERLDGYVFTTKGW
VQSYGSRCVRPPIVGDISRPAPMTVKESKYAASVSKKPMKGMLTGPICLR
WSFPRDDVHQSVQAQQLALALRDEVVDLEAAGIYVIQVDEPALREGLPLRA
GTEREKYLSWAVDSFKLACAGVQDSTQIHSFCYSEFQDFFHAIAALDADVL
SIENSKSDAKLLKVFEDKAYPRHIGPGVYDIHSPRPVSEQEIKDRMAEMLKYL
KPEQLWVNPDCCGLKTRWKETKAALINMVNAAKFYREKYSS

Spot 25 (1):

>gi|311333512| hypothetical protein [*Pyrenophora teres* f. *teres* 0-1]

MRDFILASALTASALFAGHAEAVAANPLPAPTKIVWGNSGCFSAPSGSF DLP
QSKLLSDAADRTMKSITTLKWVPQAVEAPVREFEPFPGATTKASRRKNRRQ
YNAAPAGNCTGSVKNRITVANLNADLQHGVGESYTLNLKDGSDTLFITSQ
TVYGALHALTTLQQIVISDGTGKLIEQPVSIVDAPLYPVRGIMIDTGRNFISK
AKIEEQLNAMALSKLNVLHWHLVDSQSWPVEVKQYPKMTEDAYSANEMFT
QDTLKEIVSYAAARGIRVIPEIDMPGHASSGWTQIDESIVTCEDSWWSNDEW
PKHTAVQPNGQLDILNNKTYEV TGQVYKEMTSIFPDNW FHI GGDEL FANC
NNFSAA ALA AFFNSGKSMGDLYQVWVDRAIPNFRGIANKTFVMWEDVKISAD
VAATGNVPKDIILQAWNNGLDHISNLTAQGYRVIVSSDFMYLDCGYGGWV
GNDPRYNVMVNPNANDTTIFNFNWGGGGGSWCAPYKTWQRIYDYDFTFN
MTDAQKALIQGAIAPLWSEQVDDAVVSQKMW PRAA ALA ELVWSGNRDAN
GKKRTTELTQRILNFREYLVASGVSASPLMPKYCLQHPHECDLYLNQTALW
T

Spot 25 (2):

>gi|311325385| hypothetical protein [*Pyrenophora teres* f. *teres* 0-1]

MANALDHLSGRTRIEWLSQLNTEYTPAKQYRRTSIICTIGPKTNSAEKINSL
RKVGLNVVRMNFSHGSYEYHQSVIDNAREAERTQPGRPLAIALDTKGPEIRT
GNTVDDADIPIKAGAVINITTDEKYATACDDKNMYVDYKNITKVIAPGRTIY
VDDGVLSFEVLEV TDEKTLKCKCVNNKGISSRKGVNLPKTDIDLPLSEKDK
ADLRFGVKNKVDMVFASFIRGSDITAIREVLGE EGKDIQIIAKVENQQGVN
NFDEILRET DGVMVAR GDLGIEIPPSQVFIAQKMMITKCNIAGKPAICATQML
ESMTYNPRPTRAEVSDVGNAVLDGADCVMLSGETAKGDYPVEAVTMMHE
TCLLAEV AIPYVN AFDEL RKLAPVPCPTETCAMAAVSASLEQNAGAILVLT
TSGTTARLVSKYRPVCPIMVTRNEMAARYSHLYRGVYFPEQKPDFKTE
PWQEDVDRRLKWGIMNAIKLGVL SKGD PVICVQGWRGGMGHTN TLRIVPA
QEDLGLDQDA

Spot 48 (1):

>gi|311325613| hypothetical protein [*Pyrenophora teres* f. *teres* 0-1]

MSAPVDAPKPVEVPDVGTAGTVEPAPAPVVASDNTAAPVEAPTTEEAPKVV

EGEAAAPAEVAETKEEDKVVTPIESGALGYKAPGLKNAFRFSKKYFWLGD
EPVAAENLREYLRGEKPEVAHSVAWSSQTGKGLFFVKHADQKEHPAGV
LNLAYATDLAKDGAVAFAFKISGHKHTFEAQTAERDGWFAAVERAITEAK
ASKDGIETSDSYKEAKEKISKPAALAGATSSAPKKSMDAAPKLAEEASPAAG
EASAAPIRTGSSSSSSDEAKAKKAKNKSRSVSRGKRASLFGGLGKKDKEH
KEESEAVKEDAEAKKEDGTTAPQLDEVPTSAPVNANDVVKPADETTEPTAA
VAVPEDATKVDETPAPVAQEKPKPAKRASIFGNFVEKLKSPTTEKKESEAAL
APATVKETETAEASKPLEEAEVAAPVSAEGAATETTEAKPVAAVSTPGKEKE
HFSFGKLFGSKDRAKSPAPESKVDAAPKIEDASATPVVAEPTAVEAAPVAA
ETKPEETTPATEAPKADKRKSFFGNLSRSLSKATGGKTQPKDKDATSPAPV
VEEETTATAPVEEKKEETAVPAVGDVPAENISVGDASKSVNPTVATTADDT
APVIRTQHSSSRNITAPSTRRNSIPSPRASHASQAAAATAGGGGGGGILDNRP
NTPLKPIPVSQRSRLPNTLAPTATTKRVKPLTQPTPVWTRSRLDKERGDW
WDTQVTGSQEIWGAIRLAAQYLQKGELQEAQTLMDVTGCTCPTGVWRGV
YDVTGVQYKVPEWVVVEPEGVNEDAGGDGDGDDGVAGAAAATEEEEDGE
GAGGEEVMVRVRTSHDQRDVSLAIRKRDSVGTVVEKLKREAKLDSSFKVRL
VYSGRVYHDHETLDAVPRWNFDQDFVLTAIYSAI

Spot 48 (2):

>gi|311317646| hypothetical protein [*Pyrenophora teres* f. *teres* 0-1]

MAPLATFLYGTALCCSITLAFPSHAAQDVSRISPEERAQGVVDAFRVSWDG
YYKYAFPMDELQPVSNNGSNSRNGWGASAVDALSTALIMGEKTTVNQILEH
IPTINWAVTNDSVSLFETTIRYLGGMLSGYDLLKGPLAHLADDDASVDALLT
QSINLANNLSFAFETPTGLPWNILYFNNRTNDGGLGGPATLGTLILEWTRLAD
LSGNQTYADLVAKAEEYLLNPLPTWTEPFPGGLIGSAINVTGQFTNARGGWV
GGSDSFYEYLIKMYIYDKSRYDFLKDRWVLAVDSSIKHLASHPEPRPDITFLA
SYNGTKLRLSSQHLACFDGGNFILGGQILNRQDYIDFGLVELVNGCHETYISTA
TGIGPEIFSWNTSAVPANQSTFFNESGFFITNSEYVLRPEVIESFYAYRATSDP
KYQDWAWDAFLAINATTRVGSGYSSISDVNVVGGGEFTNFQESFWFAEVLK
YSYMIHAEDAkwQVGKDGvNEFVNTEAHPVRLGKGSK

Spot 49 (1):

>gi|311315653| hypothetical protein [*Pyrenophora teres* f. *teres* 0-1]

MVHFRTDIGATNEAADPNDENYAKELETDVLIVGAGFGGIYMMHKLRRQQG
LKCKIMEAGSNIGGIWHWNCYPGARVDSQVPVYEYSMPEVWQDWNWSCR
YPAKELQKYFDHVEKKLEIKKDCAFNRVSAQYDKRSSRWIVKTEDGRI
ARCKYFLLAIGFAAKRHFDPWPGLKEFGGEIHHSSFWPESGVVKGRVAVI
GAGSTGVQIAQETAKEAASVTQFVRTPNLCLPMQQKTLTKEEQDKRKQGEY
QEVFKKRLDTFAGFPYDFIEKNTFDDSAEEREAFYEKMWENGGFEFWLANY
KDLLFDNKANREAYNFWAKKTRARITDPEKREILAPLEPPHAFGTKRPSLEQ
NYYEMLDR PENKVIDVKKTPIKEFNEKGIMLSGTLHEFDVIALATGFDSVT
GGIKNMGLKDVGVELAEKWKNGTYSYLGMTLSGFNCFFMYGAQGPTAF
ANGPTCVEVQGDWIVDAIVKLRDEGITYCDPTHEAEQQWRKKIMELNDKTL
FPQTWSWYMGDNVPGKLREQLN FAGGFPLYKQLTRSALENGFEGFITA

Spot 49 (2):

>gi|311332457 | hypothetical protein [*Pyrenophora teres* f. *teres* 0-1]

MSCLRMRRTQLASQLAKSFRPTARAFSSTRPARRIFATENLRAKEVSGFISSK
YPVIDHEYDAIVVGAGGAGLRAAFLGLAEAGFNTACISKLFPTRSHTVAAQGG
INAALGNMHEDDWWRWHMYDTVKGS DWLG DQDAIH YM TREAPQS VIELEN
YGCPFSRTDDGKIYQRAFGGQS QKYGKGGQAYRC CAAADRTGHALLHTLY
GQSLRHNTKYFIEFFATDLIMEDGVCKGVVAYNQEDGTIHRFIAKNTVLATG
GYGRAYFSCTS AHTCTGDGMAMVARAGLPNQDLEFVQFHPTGIY GAGCLIT
EGSRGEGGYLLNSEGERFMERYAPTA KDLASRDVV SRSM TLEIREGRGVGPE
KDH IYLQLSHLPAEV LHERLPGISETAAIFAGVDVT KQPIPVLPTVHY NMGGI
PTK YTGEV ITQDAQGNDQV VPGLFACGEAASV SVHG ANRLGANSLLDVVF
GRAVSHTIRDNFSPGQTADPVQADAGADSIAVLDKIRNSDGAKSTA EIRLQM
QKVMQTDVAVFRTQQSLDEGVKKIHDVDAD FANVG IKDR SMIW NSDLVET
LELRNLLTCAVQTAESAANRKESRGAHAREDFPDRDDEKWMKHTLSWQKQ
PHGKTELGYRSVVGHTLDEAECKAVPPFKRTY

Spot 50 (1):

>gi|311333512| hypothetical protein [*Pyrenophora teres* f. *teres* 0-1]

MRDFILASALTASALFAGHAEAVAANPLPAPTKIVWGNSGCFSAPSGSF DLP
QSKLLSDAADRTMKSITTLKWVPQAVEAPVREFEPFPGATTKASRRKNRRQ
YNAAPAGNCTGSVKNRITVANLNADLQHGVGESYTLNLKDGSDTLFITSQ
TVYGALHALTTLQQIVISDGTGKLIEQPVSIVDAPLYPVRGIMIDTGRNFISK
AKIEEQLNAMALSKLNVLHWHLVDSQSWPVEVKQYPKMTEDAYSANEMFT
QDTLKEIVSYAAARGIRVIPEIDMPGHASSGWTQIDESIVTCEDSWWSNDEW
PKHTAVQPNGQLDILNNKTYEV TGQVYKEMTSIFPDNW FHI GGDEL FANC
NNFSAA ALA AFFNSGKSMGDLYQVWVDRAIPNFRGIANKTFVMWEDVKISAD
VAATGNVPKDIILQAWNNGLDHISNLTAQGYRVIVSSDFMYLDCGYGGWV
GNDPRYNVMVNPNANDTTIFNFNWGGGGGSWCAPYKTWQRIVYDFTFN
MTDAQKALIQGAIAPLWSEQVDDAVVSQKMW PRAA ALA ELVWSGNRDAN
GKKRTTELTQRILNFREYLVASGVSASPLMPKYCLQHPHECDLYLNQTALW
T

Spot 50 (2):

>gi|311323556| hypothetical protein [*Pyrenophora teres* f. *teres* 0-1]

MARSSRSSSRSTWSIALYLLVLVGGLMLAKTAHAKEQEPLKEDSNAVSGP
VIGIDLGTTYSCVGIMKNGKVEIITNDQGNRITPSWVAFTDDERLVGDAAKN
QFASNPERTIFDIKRLIGQKFKDKSVQNDIKHF PKVINKNGQPNVGVEVHGQ
QKTFTPEEISAMVLGKMKEVAESYLGEPVKNAVVTVPAYFNDAQRAATKD
AGTIAGLNVRVVNEPTAAALAYGLDKTDQKERQVLVYDLGGGTFDVSILTI
EEGVFEVQSTAGDTHLGGEDFDNRVINYFAKKYNKENDVDITKDAKTMGK
LKREVEKAKRTLSSQKTTKIEIESFHKGKDFSETLTRAKFEELNNDLFKKTLK
PVEQVLKDAKMKKSDIDDIVLVGGSTRIPKVQAMLEEFFGKKARKDVPNDE
AVAYGAAVQGGVLSGDAAAESLILMDVNPLTLGIETTGGVMTHLIKRGTTIP
TKKSQIFSTAADNQPVVLIQVFEGERSMTKDNNQLGFELTNIPPAPRGVPQI
EVTFELDANGILKVSAIDKGTGKGESITITNDKGRLSKEDIDRMVEEAEKYAE
EDKAHKERIESRNKLENYAYSLRNQLKDEEGLGGKIEDDDKESLLEAVKETQ
DWLQSNADEAQaedaEDFDEQFQKLSDVAYPITSKLYGSSGGPGGDDDAPEHD
EL

Spot 50 (3):

>gi|311325372| hypothetical protein [*Pyrenophora teres* f. *teres* 0-1]

MAPAIGIDLGTTYSCVGIFRDDRIIANDQGNRTTPSFVAFTDSERLIGDSAK
NQVAMNPVNTVFDAKRLIGRKFADAEVQADMKHFPFKVIDGGKPVIQVEF
KGEEKVFTPEEISSMVLTKMRETAESYLLGGTVNNAVVTVPAYFNDSQRQAT
KDAGLIAGLNVLRIINEPTAAAIAYGLDKKTEGERNVLIFDLGGGTFDVSLLT
EEGIFEVKSTAGDTHLGGEDFDNRLVNHFTNEFKRKHKKDLTSNARALRRL
RTACERAKRTLSSAQTSIEIDSLYEGIDFYTSITRARFEELCQDLFRSTMEPVE
RVLRDAKIDKSSVHEIVLVGGSTRIPKVQKMVSDFNGKEPNKSINPDEAVA
YGAAVQAAILSGDTSSKSTSEILLDVAPLSIGETAGGVMTALIKRNTTIP
TKKSEVFSTFSDNQPGVLIQVYEGERARTKDNNLLGFELTGIPPAPRGVPQI
EVTFDVEDANGIINVSALEKGTGKTNKIVITNDKGRRLSEEIERMLAEAEKYK
AEDEAEAARIAAKNALESYAYSLRNTLSDSKVDEKLDAGDKEKLKAEIDKT
VAWLDDNQTATKDEYESQQKELEGIANPIMMKFYGAGGEGGMPGGMPGG
GMPGGGAPGGAGGGDDGPTVEEV

Spot 50 (4):

>gi|311322599| hypothetical protein [*Pyrenophora teres* f. *teres* 0-1]

MLRQHMIRSLQRPAHRAALNGCRAFTASARRPADVELTIDGKKVSIEAGSAL
IQACDKAGVTIPRYCYHEKLMIAAGSCRMCLVERAPKPVASCAWPVQPGM
VVKTDSPLVHKAREGIMEFLLANHPLDCPICDQGGECDLQDQSMRYGADRG
RFHELEGKRAVEDKNVGPLVKTSMNRCIHCTRCVRFSNDIAGAPEFGSFRG
NDLEIGTYLETALDTELSGNVIDLCPVGALTSKPYAFKARPWELEYKTETIDVL
DGLGSNIRVDSRGIQVMRVIPRLNDDVNEEWINDKTRFACDALSTQRLVNPL
VRVDEQFQPATWEQALVEIGNAYKKIAPKGNEFKVIAGHLVETEALVAMKD
LANKLGSENLALDQPGGSEPIAHGIDVRSNYSFNSKIYGVEDADVMLIIGSNP
RWEAAVNLNARIRKQWLRDLEIGYVGQDFESTFEYEKLGDNANDVKSALSG
EFGKKLASAKKPMIIVGSGVTEHPDAKSIYEQVGAFVEKNKANFQTEEWNG
FNILQRTASRTGAYEVGFTVPSTEVAQTKPKFVWLLGADEINETDIPKDAFV
VYQGHGDRGAQFADVVLPGAAYTEKSVTYVNTEGRVQMTRAAVGLPGA
SREDWKIVRAASEYLGAELPYDDVEALRDRMEEISPALRSYDLVEPASLPSLS
KVQLVDQNQGAQATGQLKNPIENFFTDRAISRNSPTMARCSAAKAQGNPQ

TNFMAPGEPYPQVGYGPQVAAAANV

Spot 50 (5):

>gi|311325425| hypothetical protein [*Pyrenophora teres* f. *teres* 0-1]

MSGTFFEFQAEISQLGLIINTVYSNKEIFLRELISNASDALDKIRYEALSDPSK
LDSGKDRLIDIIPNKEAKTLTIQDSGIGMTKADLINNLGTIARSGTKQFMEALS
AGADISMIGQFGVGFYSAYLVADRVTVVSKNNDDQEYVWESSAGGTFKITE
DTEGEQIGRGTKIILHLKEEQMDYLNESKIKEVVKKHSEFISYPIYLHVLKETE
KEVEDEDAAEETTEGDEKKPKVEEVDDDEEEKKKEKTKVKESKIEEEEL
NKTKPIWTRNPQDITTEYASFYKSLNSNDWEDHLGVKHFSVEGQLEFRAILF
VPKRAPFDLFETKKTKNNIKLYVRRVFITDDATDLIPEWLSFVKGVVVDSEDLP
LNLSRETLQQNKIMKVIRKNIVKKTLELFNEIAEDREQFDKFYSAFGKNIKLGI
HEDSQNRASLAKLRFNSTKSGEELTS LTDYVTRMPEHQKQMYITGESLKA
VQKSPFLDTLKDKGFEVLFLVDPIDEYAMTQLKEFDGKKLVDIRKDFELEES
EEEKKEREAEKEFEGLAKSLKTVLGDKVEKVVVSHKLVGSPCAIRTGQFG
WSANMERIMKAQALRTSMSSYMSKKTFEISPKSAIKELKRKVEADGEDD
RTVKSITLLFETSLLVSGFTIDEPVQYAERIHKLVSLGLNVDEEVETEQKGE
ASTEQTATAGESAMEEV

Spot 51 (1):

>gi|311321231| hypothetical protein [*Pyrenophora teres* f. *teres* 0-1]

MSQGECPVKKVPNVAGSGTRNTDWWPNELRTNILRQHDPRQNPLPDFNY
VEEFKKLDYDALKKDLNALMTESQDWWDPADEGHYGGLFIRMAWHSAGTY
RVTDRGGGGDGQQRFAPLNAWPDNVSLDKARRLLWPIKQKYGNKISWAD
LMLLTGNVALESMGCPFGFAGGRADTFQSDESVYWGGETEWLGSDVRYA
DGAKGVKGEIVDGDQHKTDKSEPHSRNLEQPLAAAHMGLIYVNPEGPEG
IPDPVAAAHDIRTTFGRMAMNDEETAALIIGGHSFGKTHGAAPSENTGPDPN
SEDLATQGFGWMNKHGRNGPDTITSGLEVWTGTPTKWSNKYLEYLYKF
EWELEKSPAGANQWVAKTDEHIIPDAYDQNKKHKPRMLTDLMRMDPAY
EKITRRWLEHPEELHDTFVRAWFKLLHRDMGPRSRWLGPVEVPKEVLLWEDP
VPQPEGELIGESDIATLKKQVLDAGVEPAKLIRTAWASAASFRGSDKRGGAN

GARIRLAPQKDWEVNNPKELAEVLKALEGVQSKFNSGSKVSMADLIVLAG
TAAVEKAAGVQVPFTPGRTDATQEQTDVKSFEHLEPVTDGFRNYKGKTDdrv
RTEQLDVDKAHLLRLTAPEMVVLTGGMRALNANWDGSSHGIFTKRPQQLT
NDFFVNLLDNNTEWKATDSSKELYEGFDRKSGQKKWTATRHDLVFGHHPE
LRAVAETYAQADNTDKFVKDFVAGWEKIMNNDRFDIKNKSVSAQSRGANK
PRL

Spot 51 (2):

>gi|311321923| hypothetical protein [*Pyrenophora teres* f. *teres* 0-1]

MAPAASHDAKDVKSENSKSLKALEEMMQKLTMSKAQDEINASAQAIATFIN
GDIEEADAPTКАVQLKKQLASKKDAVARERALDAIRAIAQHSHVSASVEP
YLVSLLPDVLAAVGDKMSGVKVAAQTAAESIVQAANPNAVKAIIPHIIHSLE
NAQKWPEKMADLKCIEVLTKSAPAQMFRVPDLIPVISSAMWDTKPEVKKA
AYGTMETLCSLISNKDIERFIPELIKCIAKPENVPETVHLLGATTFTDVHEPT
LAIMVPLLERGLVERETAIKRKSAVIIDNMCKLVEDPQIVAAFLPRLMPALEK
NHDNLADPEAREKTRQGLDTLIRVGHVQNGKIPDIEKSGDISTIANNLTAVIP
SGIKIDERFTPVVNYIGAIGGQLIDEKDYEPLNWQANAGPFVAVLGDEKAK
DVTEELRRRSLPGAAAERLVEPDEEEGEDLCNCTFNLAYGAKILLNQTHLRL
KRGQRYGLLGPNGSGKTLMRAINNEQVEGFPQNEVKTVYVEHDLDSAD
TEMVLAWTMNKLKAVGIDKPEDEVKTLNEFGFSDAMYNGGIGALSGGW
KMKLALARA VFEQPDILLDEPTNHLDVKNVWLEDYLTSPECTSIVISHDS
KFLNNVIQHVIHYERFKLKRYRGNLDDFVKRVPAAKSYHELAASDMEFKFP
EPGFLEGVKTKAKAILRATNMSFQYEGTSKPQIEDITFQCSLGSRIAIGPNGA
GKSTLVNVLTGELVPTKGEIYHHENIRIAYIKQHAFAHIDHLDKTPSEYIQW
RFQTGEDRETMDRANKIVTEEDEKAMDKIYKIEGTERVIGINSRRKFKN SY
EYECSFALGENVGMKNERWTPMMSADNAWIPRSEIMASHAKMVAEV DQK
EALASGQFRPLVRKEIEAHCANFGLDAELVSHSRMRGLSGGQRVKVVL SAC
SWQRPHLIVLDEPTNYLDRDSLGA LSKAIKTFEGGVIIITHSAEFTANLTEEV
WA VMDGRMTPSGHNWVQGQQAGPRLAKDDGE EEEKIASQKKKAKL TSSE
MRKKKKDRMARRKR GEEVFSDEDE

Spot 52 (1):

>gi|311328401| hypothetical protein [*Pyrenophora teres* f. *teres* 0-1]

MVRTSTLFAATAALALNAHAESMYPKNSAVIQLTGMDYDRVIAKSNYTSIV
EFYAPWCGHCKNLKPAYEAAAKSLNGIAKVAAVNCDEEMNKPCGKMGV
QGFPTLKLVRPSKKPGKPTVEDYQGPRTAKGIVDAVKDKVPNMVKRVNDK
NLDEWLQENKDTAKAILFSEKGIVSATMRALAIDFAGLISVAQVKKSEQAAV
EKYGITEFPTLILIPAGSDTPIKHEGKADKESMVKFLSQVAPPNPDCPPPKEKK
SKPKKDTKKESSKFAKASASHKSADKSSAAASATDETVEEPIVPTESPDP
NIKDETTPEPIVLPEEELKPTIPLLSETTELQSMCLNEQSCTCILALLPKDEASE
AATTAVASLASIHKKYDASGSHLFPPFSIPSTNPLAASLLTELSLGSAQVHLI
ATNGKRAWYKKYSGAFGLEDVEQWVDSIRMGEGRKEKLPESSLVAAEKS
EAKPEKAADPEQVKINVEEVKDDASPEHSEL

Spot 52 (2):

>gi|311320766| hypothetical protein [*Pyrenophora teres* f. *teres* 0-1]

MVYTASFAFFEALWEYGVSHVFVNLDHPSIIAEIVKGQNEKKGQFPKIITC
PNEMVALSMADGYARLTGKPQCIVHVVDVGTQGLGAAVHNASCGRAPVLI
FAGLSPFTIEGEMRGSRTEYIHWIQRDVPDQKQIVAQYCRYTGEIKSGRNVKQ
MVNRALSFAMSDPKGPVLYGAREPMEEDLTPYKLDMDYWQPVEPAALPP
SGVKTIAEALAHQAQEPLIVTGYSGRNHDAVQELVRLADNIKGIRVLDGGSD
MCFPANHPAWLGLRYGNDPAIKSADVILVLDCDVPWINTQCHPKDSAIFH
VDVDPLKQQMPVFYLNATQRYRADSYTSLTQLNEYLESALKEKLSSQLFSQ
RWSALQESHKKLDGIANEAKVDDNGHFSTPYLCQLNKFCPNDTIWAIEA
VTQTGFVADQIQATLPGSWINCAGGGLGWSGGALGIKLATETEGKKQFVC
QIVGDGTYLFSVPGSVYWISQRYQIPLTIVLNNKGWNAPRRSMLLVHPDGE
GSKVSNEELNISFAPTPDYSIGIAKAASGGEIWAHAHASTAEELGKLLPEAIKSV
LEGKSAVLDAAHLEGPEGKYGGAKGRLG

Spot 52 (3):

>gi|311315653| hypothetical protein [*Pyrenophora teres* f. *teres* 0-1]

MVHFRTDIGATNEAADPNDENYAKELETDVLIVGAGFGGIYMMHKLRQQG
LKCKIMEAGSNIGGIWHWCYPGARVDSQPVYEYSMPEVWQDWNWSCR
YPGAKELQKYFDHVEKKLEIKKDCAFNRVSAQYDKRSSRWIVKTEDGRI

ARCKYFLLAIGFAAKRHFDPWPGLEKFGGEIHHSSFWPESGVVKGRVAVI
GAGSTGVQIAQETAKEAASVTQFVRTPNLCLPMQQKTLTKEEQDKRKQGEY
QEVFKKRLDTFAGFPYDFIEKNTFDDSAEEREAFYEKMWENGGFEFWLANY
KDLLFDNKANREAYNFWAKKTRARITDPEKREILAPLEPPHAFGTKRPSLEQ
NYYEMLDRPENKVIDVKKTPIKEFNEKGIMLSGTLHEFDVIALATGFDSVT
GGIKNMGLKDVGVELAEWKNGTYSYLGMTLSGFPNCFFMYGAQGPTAF
ANGPTCVEVQGDWIVDAIVKLRDEGITYCDPTHEAEQQWRKKIMELNDKT
FPQTWSWYMGDNVPGKLREQLN FAGGFPLYKQLTRSALENGFEGFITA

Spot 52 (4):

>gi|311325385| hypothetical protein [*Pyrenophora teres* f. *teres* 0-1]
MANALDHLSGRTRIEWLSQLNTEYTPAKQYRRTSIICIGPKTNSAEKINSL
RKVGLNVVRMNFSHGSYEYHQSVIDNAREAERTQPGRPLAIALDTKGPEIRT
GNTVDDADIPIKAGAVINITTDEKYATACDDKNMYVDYKNITKVIAPGRTIY
VDDGVLSFEVLEVTDKTLKCKCVNNNGKISSRGVNLPKTDIDLPLSEKDK
ADLRFGVKNKVDMVFASFIRRGSDITAIREVLGEEGKDIQIIAKVENQQGVN
NFDEILRETDGVMVARSDLGIEIPPSQVFIAQKMMITKCNIAGKPAICATQML
ESMTYNPRPTRAEVSDVGNALDGADCVMLSGETAKGDYPVEAVTMMHE
TCLLAEVAPIVNAFDELRKLAPEVPCPTTETCAMA AVSASLEQNAGAILVLT
TSGTTARLVSKYRPVCPIIMVTRNEMAARYSHLYRGVYPFYFPEQKPDFKTE
PWQEDVDRRLKWGIMNAIKLGVL SKGDPVICVQGWRGGMHTNTLRIVPA
QEDLGLDQDA

Spot 53:

>gi|311327612| hypothetical protein [*Pyrenophora teres* f. *teres* 0-1]
MCKHFGTEGQSSIDITKGREVLPTNVKPLHYDLTLEPDFANFTYQGTVTIDLD
VVDDTTSLNTNELKINSAKVTTGQQLIADSPLTSDKDAQTTKVSFDQSISS
GTTKAQLTLAFSGILNDNMAGFYRSSFKADDGSTTYMATTQMEPTDARRA
CFDEPALAKFTVTLIADEKMTCLSMDVASEKQVDSA VSGGKRKAVTFNP
TPLMSTYLLCFIVGELNYIETNNFRVPVRVYAPKDRDIEHGRFSLELA
AKT LA FYEKTFNSPFPLPKMDMIAIPDFSAGAMENWGLITYRVVDVL
IDEKVSGAAV KQRVAETVQHELAHQWFGNLVTMDFWDGLWLNEG
FATWMSWYSCNIFYP

DWKVWEGYVTDNLAGALSLSLSSHPIEVPKRADEINQIFDAISYSKGSS
VIRMISKYIGEETFMEGIRQYLKKAYGNTETGDLWAALADASGKDVGKV
MDIWTKKVGFVVTVTEGTDSIHLKQNRFRLRTADVKPEEDQTLYPVFLGLRT
KGGVNEDLTLFDREADFKLKDLDFKLNADHSGLYRTSYTPERLGKLGVA
KQGLLTVEDRAGMIADAGSLAASGYQKTSGILSLLDSFKSESEFVVWGEITG
RIGSLRGAWMFEDQEVKDALKKFQLELTADKAHELGWSFKDTDGHIEQQFK
GLMFGAACIAGDEQITKACFDMFEKFKAGDKSAIHPNIRGSVYAVLSNGGK
EEYDVVVNEFTNAATSDERNSALRSLGRAKSPELIQRTLAMSLSDQVKGQDI
YLPISALRSHPEGCYALWTWVVDNWEELERRLPPSLMLSSVVSITTSSFTHR
EHIKEIEFFKTKSTKGFDMSLSQSIDAISAKAAWLERDSEDVKSWLREHKYL
N

Spot 56 (1):

>gi|311325385| hypothetical protein [*Pyrenophora teres* f. *teres* 0-1]

MANALDHLSGRTRIEWLSQLNTEYTPAKQYRRTSIICIGPKTNSAEKINSL
RKVGLNVVRMNFSHGSYEYHQSVIDNAREAERTQPGRPLAIALDTKGPEIRT
GNTVDDADIPIKAGAVINITDEKYATACDDKNMYVDYKNITKVIAPGRTIY
VDDGVLSFEVLEVTDKTLKCKCVNNKGISSRKGVNLPKTDIDLPLSEKDK
ADLRFGVKNVDMVFASFIRGSDITAIREVLGEEGKDIQIIAKVENQQGVN
NFDEILRETDGVMVARGDLGIEIPPSQVFIAQKMMITKCNIAGKPAICATQML
ESMTYNPRPTRAEVSDVGNALDGADCVMLSGETAKGDYPVEAVTMMHE
TCLLAEVAPIVNAFDELRK LAPVPCPTETCAMA AVSASLEQNAGAILVLT
TSGTTARLVSKYRPVCPIIMVTRNEMAARYSHLYRGVYPFYFPEQKPDFKTE
PWQEDVDRRLKWGIMNAIKLGVL SKGDPVICVQGWRGGMHTNTL RIVPA
QEDLGLDQDA

Spot 56 (2):

>gi|311323177| hypothetical protein [*Pyrenophora teres* f. *teres* 0-1]

MSEKAQLIASAPARVQPDPVHRHPKRQAIGRLFAIAATASIVLYGLPVGYEP
TAVFEDESELCLTPACVHAASEILYNLSPQYKELDPCDNFEELVCGGWRDRH
DLRADQGDAFTGTIMSENSQRLLRHILEAPYPKDSQHSYFSPMQLKTVAKSA

DEENFDKMKAAAYDACLDEDKIKSIGAEPLIKLLDEIKNAYPAAATDSGHSIK
DAILLAKYGVTLVAAGTGADTDPTVVVSISAPYSFGLPAKERYEDEKL
VEQYRKVAIEVLGALYPGQNKNFSGIIDLEKKLAAASPSEEDREDVTKYNN
PMLIDEAAAIAPEIELKAFLAGQAPKDSKIERVIVMTPKYFKDLSAILAATPAD
VLQSYFMWKAVQSFSSYVDADAVKPYRPFVNVLSGKDPSAPERWRTCVN
HVDGGLGWILSRFFVEKAFAKSAEAKKFGDTIITDIKEFAKKLNAAEWMDNT
TKKAVEKVHNIVQKIGYPTKSPDIMPPTLESHYESVNVSDDAFFANALAMR
RFSVKDEWSALGKPVDRDQWGTVPTVNAYYNPPGNEIVFPAGIMQFPVFD
VNPAYMSYGAFGSVAGHELSHAFTGRHYDQNGNYTDWWSKDTIDAfk
KKTDCFVDQYSNFTVSGPDDKPLHVNGRLTLGENIADAGGLSASFQAWKRR
SGETPNKDLPGLDHFTQEQMFFVSYSNWWCGKTRKDTEINRIYTDPHAPKW
ARILGTMANSREFRESFKCKVKEPTCQLW

Spot 56 (3):

>gi|311320690| hypothetical protein [*Pyrenophora teres* f. *teres* 0-1]

MGIYNKLADDINEVDIIIAGGGTAGCIVAGRLAEDPSLSILVIEGGANNKDV
AHIVNPVFYLQNLPTTKTALFYKSNKAKQLADRESIVPSGGTLGGSSINFM
MYTRAQRSDFDWSNTPGWSANEMWPFLKKLETYHGPGBKEDHGYDGPIHI
SDGGYRAKAAEDDFIRTAGEMGIREIEDLQNLENDGLQRWLRYVSPDGKR
QDTAHRYLHPKLENEQKYSNLHVLVESKVVRLFDDKKRACGVEYTPNPEF
QATIGLSMHPVKTVKARKLVVVTCGACGTPPVLERSGVGPKDVLDAGVPV
VEDLPGVGKDYQDHHLVLYPYKTSLOTTQTIDAVLSGRADVPGMLARKDP
MLGWNAIDICSKLRPTAPEVAALGPEFQGAWRDRFADNPNRPLMLCGVVSC
FLGDPASIP EGQYVTSGMYTAYPYSRGHMHTGPKHDDPLDFVGFFTDKD
DIDLKKQMWAYKKQREILRRRTNYFRGELAAGHPKFAKSSPAAVQEEVSGPL
PKDAKNIVYSEEDDRAIEQWIRENVQTTWHSLGTCKMAEREKDGVVDSKLN
VYGVTLKIADLSIPPENVGGNTNNtalVIGEKAADIINELRGGAGTP

Spot 57 (1):

>gi|311322599| hypothetical protein [*Pyrenophora teres* f. *teres* 0-1]

MLRQHMIRSLQRPAHRAALNGCRAFTASARRPADVELTIDGKKVSIEAGSAL

IQACDKAGVTIPRYCYHEKLMIAAGSCRMCLVEVERAPKPVASCAPVQPGM
VVKTDSPLVHKAREGIMEFLLANHPLDCPICDQGGECDLQDQSMRYGADRG
RFHELEGKRAVEDKNVGPLVKTSMNRCIHCTRCVRFSNDIAGAPEFGSFRG
NDLEIGTYLETALDTELSGNVIDLCPVGALTSKPYAFKARPWELYKTETIDVL
DGLGSNIRVDSRGIQVMRVIPRLNDDVNEEWINDKTRFACDALSTQRLVNPL
VRVDEQFQPATWEQALVEIGNAYKKIAPKGNEFKVIAGHLVETEALVAMKD
LANKLGSENLALDQPGGSEPIAHGIDVRSNYSFNSKIYGVVEDADVMLIIGSNP
RWEAAVLNARIRKQWLRTDLEIGYVGQDFESTFEYEKLGDNANDVKSALSG
EFGKKLASAKKPMIIVGSGVTEHPDAKSIYEQVGAFVEKNKANFQTEEWNG
FNILQRTASRTGAYEVGFTVPSTEVAQTKPKFVWLLGADEINETDIPKDAFV
VYQGHGDRGAQFADVVLPGAAYTEKSVTYVNTEGRVQMTRAAVGLPGA
SREDWKIVRAASEYLGAEPLYDDVEALRDRMEEISPALRSYDLVEPASLPSLS
KVQLVDQNQGAQATGQLKNPIENFFTD AISRNSPTMARCSAAKAQGNPQ
TNFMAPGEPPQVGYGPQVAAAANV

Spot 57 (2):

>gi|187979835| NADH-ubiquinone oxidoreductase 75 kDa subunit, mitochondrial precursor [*P. tritici-repentis*]

MNGKKVSIEAGSALIQACDKAGVTIPRYCYHEKLMIAAGSCRMCLVEVERAP
KPVASCAPVQPGMVVKTDSPVHKAREGIMEFLLANHPLDCPICDQGGEC
DLQDQSMRYGADRGFHELEGKRAVEDKNVGPLVKTSMNRCIHCTRCVRF
SNDIAGAPEFGSFRGNDLEIGTYLETALDTELSGNVIDLCPVGALTSKPYAF
KARPWELYKTETIDVLDGLGSNIRVDSRGIQVMRVIPRLNDDVNEEWINDKT
RFACDALSTQRLVNPLVRVDEQFQPATWEQALVEIGNAYKKIAPKGNEFKV
VAGHLVETEALVAMKDLANKLGSNDNLALDQPGGSEPIAHGIDVRSNYSFNS
KIYGVVEDADVMLIIGSNPRWEAAVLNARIRKQWLRTDLEIGYVGQDFESTFE
YEKLGDNANDVKSALSGEFGKKLASAKKPMIIVGSGVTEHPDAKSIYEQVG
AFVEKNKANFQTEEWNGYNILQRTASRTGAYEVGFTVPSTEVAQTKPKFVW
LLGADEINETDIPKDAFVVYQGHGDRGAQFADVVLPGAAYTEKSVTYVNT
EGRVQMTRAAVGLPGASREDWKIVRAASEYLGAEPLYDDVEALRDRMEEIS
PALRSYDLVEPASLPSLSKVQLVDQNQGAQATGQLKNPIENFFTD AISRNS
PTMARCSAAKAQGNPQTNFMAPGEPPQVGYGPQVAAAANV

Spot 59 (1):

>gi|311325385| hypothetical protein [*Pyrenophora teres* f. *teres* 0-1]

MANALDHLSGRTRIEWLSQLNTEYTPAKQYRRTSIICIGPKTNSAEKINSLRKVGLNVVRMNFSHGSYEYHQSVIDNAREAERTQPGRPLAIALDTKGPEIRTGNTVDDADIPIKAGAVINITDEKYATACDDKNMYVDYKNITKVIAPGRTIVYDDGVLSFEVLEVTDKTLKCKCVNNKGISSRKGVNLPKTDIDLPLSEKDKADLRFGVKNVKDMVFASFIRRGSDITAIREVLGEEGKDIQIIAKVENQQGVNFDEILRETDGVMVARGLGIEIPPSQVFIAQKMMITCNIAGKPAICATQMLESMTYNPRPTRAEVSDVGNAVLDGADCVMLSGETAKGDYPVEAVTMMHETCLLAEVAIPYVNAFDELRKLAPEVPCPTTETCAMAAVSASLEQNAGAILVLTSGTTARLVSKYRPVCPIIMVTRNEMAARYSHLYRGVYPFYFPEQKPDFKTEPWQEDVDRRLKWGIMNAIKLGVL SKGDPVICVQGWRGGMHTNTL RIVPAQEDLGLDQDA

Spot 59 (2):

>gi|311329308| hypothetical protein [*Pyrenophora teres* f. *teres* 0-1]

MRSLLTLGAALGLPLLASAACPDYTDYSNTTHEPFSSGKYKLSYQRPSKECRTFKSQGVEDTITRMKKVIKDPDLFRLFENTYPNTLDTTIRWKGYAADNKAEELTIVTTGDIKAMWLRDSSNQMQS YLPLLKASNDPNSIASLFRGVINLQARYLLTSPYCNSFQPPAESGLAPEFNQYVGDDVFPKFSNTS VFECKYELDSLAAFLQVSADYYNATGDVEFFGKFKAQAVEAVLNVADDMMEPTYGPDGA VLKSPYTFERGTNRGSETFWNLGIGNPVANGTGLIRSGFRPSDDVTFYQLFIPANMFSSFLGMTAKIMSKLSNVPKSAALAKKMSALSESLHHAIETHGTVQHETFGKVYAYEIDGFGRNIMDDANLPSLLGAPFYKYAVNPETYHNTRRLVLSAGNPYYMRGPVISAVGGPHTGLKAWPMASIVRILTSDNDDEIVKELAQIVSSTNRLGLIHESINSFDQTDFSRQWFSWANGMFGQMILDLEARKPALLATSQ

Spot 60:

>gi|311318794| hypothetical protein [*Pyrenophora teres* f. *teres* 0-1]

MSTSIDSETLKQYLADSPP TVVPLTIKPHFDALSNKEQLYTHHLSVACFAGTR

IVLRQCSPSEYIYDFIIALHKHTKGDYAALAKDTGLSKEEIAEYLNYAAQFL
GNLGNYSFGDSKFVPRLEPRQLKALATSSKDILAIYQKFKDTIYAGNDVGK
LHLGYPAGHISTYYPDSPDITREQISTVSDFLESKGLLPENTRIKKTKGGYEV
LIASALDNPSAEQRDLKESEWTMGNGEKVKLVFGDYSKEMDTIAHHIEKAK
EYAANDHQIEMMEEYSKSFRT GSLQAYKKSQKA WVQDKGPLVESDIGFIET
YRDPHGIRGEWEGFVAMVNKERTRAFGKLVETAPQYIPLLPWDKSFEKDF
LSPDFTSLEVLTFA GSGIPAGINIPNYDDIRQNFGFKNVSLGNILSAKPNESVP
FIKEGDLATYQKYRDPAFEVQVGLHELLGHGCGKLLQETEPGVFNFDKEKPP
VSPLSGQPIKTWYKPGQTWGSTFGTIAASYECRAECVAMALSCEFPIQLFG
FGNGEVDMNGEAGDVLYTAYLQMARA GVAALEFWDPKSRKWGQAHMQA
RFSILRTFLNAGVEFCQLEWEKEDLSLTIRLERDRILDGRPAVDDYLQKLH
IYKATADVTAAKKMYDEITSVEPFYENKVRPAVLTKKTPRKVFVQANTVEK
DGQVKLVEYDATNEGMIQSCVDREYV

Spot 62 (1):

>gi|311320690| hypothetical protein [*Pyrenophora teres* f. *teres* 0-1]

MGIYNKLADDINEVDIIIAGGGTAGCIVAGRLAEDPSLSILVIEGGANNKDV
AHIVNPVFYLQNLPTKTALFYKSNKAKQLADRESIVPSGGTLGGSSINFM
MYTRAQRSDFDSWNTPGWSANEMWPFLKKLETYHGP GKKEDHGYDGPIHI
SDGGYRAKAAEDDFIRTAGEMGIREIEDLNLENNDGLQRWLR YVSPDGKR
QDTAHRYLHPKLENEQKYSNLHVLVESKVVRLFDDKKRACGVEYTPNPEF
QATIGLSMHPVKTVKARKLVVTCGACGTPPVLERSGVGPKDVLDRAGVPV
VEDLPGVGKDYQDHHLVLYPYKTSLDTTQTIDAVLSGRADVPGMLARKDP
MLGWNAIDICSKLRPTAPEVAALGPEFQGA WDRDFADNP NRPLMLCGVVSC
FLGDPASIPEGQYVTSGMYTAYPYSRGHM HITGPKHDDPLDFVGFFTDKD
DIDLKKQMWAYKKQREILRRNYFRGELAAGHPKFAKSSPAAVQEEVSGPL
PKDAKNIVYSEEDDRAIEQWIRENVQTTWHSLGTCKMAEREKDGVVDSKLN
VYGVTLKIADLSIPPENVGGNTNN TALVIGEKAADIINELRGGAGTP

Spot 62 (2):

>gi|311323177| hypothetical protein [*Pyrenophora teres* f. *teres* 0-1]

MSEKAQLIASAPARVQPDPVHRHPKRQAIGRLFAIAATASIVLYGLPVGYEP
TAVFEDESELCLTPACVHAASEILYNLSPQYKELDPCDNFEELVCGGWRDRH
DLRADQGDAFTGTIMSENSQRLLRHITEAPYPKDSQHSYFSPMQLKTVAKSA
DEENFDKMKAAAYDACLDDEDKIKSIGAEPLIKLLDEIKNAYPAAATDSGHSIK
DAILLAKYGVTGLVAAGTGADDTDPDTVVVSISAPYSFGLPAKERYEDEKL
VEQYRKVAIEVLGALYPGQNKNNSFGIIDLEKKLAAASPSEEDREDVTKYYN
PMLIDEAAIAAPEIELKAFLAGQAPKDSKIERVIVMTPKYFKDLSAILAATPAD
VLQSYFMWKAVQSFSSYVDADAVKPYRRFVNVLSGKDPSAPERWRTCVN
HVDGGLGWILSRFFVEKAFAKSAEAKKFGDTIITDIKTEFAKKLNAAEWMDNT
TKKAVEKVHNIVQKIGYPTKSPDIMPPTLESHYESVNVSDDAFFANALAMR
RFSVKDEWSALGKPVDRDQWGMTVPTVNAYYNPPGNEIVFPAGIMQFPVFD
VNVPAYMSYGAFGSVAGHELSHAFDSTGRHYDQNGNYTDWWSKDTIDAfk
KKTDCFVDQYSNFTVSGPDDKPLHVNGRLTLGENIADAGGLSASFQAWKRR
SGETPNKDLPGLDHFTQEQMFFVSYSNWWCGKTRKDTEINRIYTDPHAPKW
ARILGTMANSREFRESFKCKVKEPTCQLW

Spot 63 (1):

>gi|311323556| hypothetical protein [*Pyrenophora teres* f. *teres* 0-1]

MARSSRSSSRSTWSIALYLLVLVGGLMLAKTAHAKEQEPLKEDSNAVSGP
VIGIDLGTTYSCVGIMKNGKVEIITNDQGNRITPSWVAFTDDERLVGDAAKN
QFASNPERTIFDIKRLIGQKFKDKSVQNDIKHFVINKNGQPNVGVEVHGQ
QKTFTPEEISAMVLGKMKEVAESYLGEPVKNAVVTVPAYFNDAQRAATKD
AGTIAGLNVLRVVNEPTAAALAYGLDKTDQKERQVLVYDLGGGTFDVSILTI
EEGVFEVQSTAGDTHLGGEDFDNRVINYFAKKYNKENDVDITKDAKTMGK
LKREVEKAKRTLSSQKTTKIEIESFHKGKDFSETLTRAKFEELNNDLFKKTLK
PVEQVLKDAKMKKSDIDDIVLVGGSTRIPKVQAMLEEFFGKKARKDVPNDE
AVAYGAAVQGGVLSGDAAAESLILMDVNPLTLGIETTGGVMTHLIKRGTTIP
TKKSQIFSTAADNQPVVLIQVFEGERSMTKDNNQLGKFELTNIPPAPRGVPQI
EVTFELDANGILKVSAIDKGTGKGESITITNDKGRSLKEDIDRMVEEAEKYAE
EDKAHKERIESRNKLENYAYSLRNQLKDEEGLGGKIEDDDKESLLEAVKETQ
DWLQSNADEAQaedaEDFDEQFQKLSDVAYPITSKLYGSSGGPGGDDAPEDHD
EL

Spot 63 (2):

>gi|311333512| hypothetical protein [*Pyrenophora teres* f. *teres* 0-1]

MRDFILASALTASALFAGHAEAVAANPLPAPTKIVWGNGCFSAPSGSF DLP
QSKLLSDAADRTMKSITLKWVVPQA VEVAPVREFEPFPGATTKASRRKNRRQ
YNAAPAGNCTGSVKNRITVANLNADLQHGVGESYTLNLKDGSDTLFITSQ
TVYGALHALTLLQQIVISDGTGKLIEQPVSIVDAPLYPVRGIMIDTGRNFISK
AKIEEQLNAMALSKLNVLHWHLVDSQSWPVEVKQYPKMTEADYSANEMFT
QDTLKEIVSYAAARGIRVIPEIDMPGHASSGWTQIDESIVTCEDSWWSNDEW
PKHTAVQPNGQLDILNNKTYEV TGQVYKEMTSIFPDNW F HIGGDEL FANC
NNFSAA ALA AFFNSGKSMGDL YQVWVDRAIPNFRGIANKTFVMWEDVKISAD
VAATGNVPKDIILQAWNNGLDHISNLTAQGYRVIVSSSDFMYLDCGYGGWV
GNDPRYNVMVNPNANDTTIFNFNWGGGGGSWCAPYKTWQRIFYDYDFTFN
MTDAQKALIQGAIAPLWSEQVDDAVVSQKMWPRAAALAE LVWSGNRDAN
GKKRTTEL TQRILNFREYLVASGV SASPLMPKYCLQHPHECDLYLNQTALW
T

Spot 70 (1):

>gi|311321040| hypothetical protein [*Pyrenophora teres* f. *teres* 0-1]

MLRNISRSVARQSRSSRIANRAPQFLRPLSTSVCRMSSSTLKA VEPPVSAALP
GDSFQLLPEAAKAGQAEDALFEEQVQAVKDWWASPRYKGIKRPYSAEDVV
SKRGSLQQSYPSSL MARKL FNLEERA AKGE PVHTMGAIDPIQMSQQAANQ
EVLYVSGWACSSVLTNEVSADFGDYPYNTVPNQVQRLFKAQQLHDRKN
WDNRRKMSAEERAKPYLDYMRPIIADGDTGHGGLSAVIKLA KLFAENGAA
GVHFEDQLHGGKKCGHLAGKVLVPVGDHINRLVAARFQWDMMG CENLVI
ARTDSESGKL ISSAVDVRDHEFIKGVTEDTEPLAETLQNMEAAGAPGKEIDQ
YEAAWVKKHKLVTFDEAVVQHLEKESASQSTIDSYLAEVKQNPDYSLLKRR
NVAEKYTKTPVYFNWDVPRTREGFYHYKAGVAAATKRGKEYAPYADLLW
VETGDPNVQEAAKFAGEIRAVHPGKKFVNLSPSFNWMGQGFSEEALKSFV
WDLAKHGFVQLISLAGI HSTATITCELSRAFKDEGMLAYVKLVQSREKELG
CDVLTHQKWSGAGYIDGILGAIQSGSSGSKSMGEGNTETGF

Spot 70 (2):

>gi|311320708| hypothetical protein [*Pyrenophora teres* f. *teres* 0-1]

MVTQTVNKTNLHPSGVAPNVEHTEIEESLHDKAHIDYDRVAIIANPSVAALY
EDALVYETGSAITASGALSAYSGAKTGRSPSDKRIVEEDSSKNDVWWGPVN
KPMKTDVWRINRERAIDYLNTRKRIYVVDGFAGWDVRYRIRVRVVCARAY
HALFMRNMLIRPSKEELEHFKPDTIYNAGAFPANRYTSGMTSSTSVALNFA
DKEMVILGTEYAGEMKKGIFTVLYYEMPVKHNVTLHSSANEQNGDVT
FFGLSGTGKTTLSADPKRALIGDDEHCWSDTGIFNIEGGCYAKCIGLSAEKEP
DIFGAIRFGSILENVVFDPVTRQVDYDDDTLTENTRCAPIEYIENTKIPCISDN
HPKNIVLLTCDARGVLPPISKLSPEQTMYHFISGYTSKMAGTEQGVTEPQATF
SSCFAQPFLALHPMRYAKMLAEKIKEHNANAWLLNTWVGAGATTGGKRC
PLKYTRAILDAIHSGELAKVEYETYETFGLSVPKTCPNVPDELLNPAKSWNG
TADFKGEVEKLGKLFMENFKKYEDQATKDVLESGPHVCCCPKH

Spot 72 (1):

>gi|311316310| hypothetical protein [*Pyrenophora teres* f. *teres* 0-1]

MKYATVCATLFAALAGASDVKQLKTDNFKSFIEENDLVLAEFFAPWCGHCK
ALAHEYETAATLKEKDIALVKVDCTEEQDLCQEYGVDGYP TLKVFRGLENI
SPYGGQRKADSLISYMTKQALPAVSEITKDTLEEFKTADKVVLVAYFAADD
KASNETFTSVANGLRDNYLFGATNDAALAKAEGVKQPGLVLYKSFDDGKD
VFKEKFEADAIRDFAKVASTPLIGEVGPETYAGYMAAGLPLAYIFAETQEER
DEFAKVLKPLALKHKGKINFATIDAKSFGQHAGNLNLKVGTWPAFAIQATE
KNEKF PYDQEAKITEKDIGKFVDQYLAGKLEPSIKSEPVP EKNDGPVTTIVAH
NYKEVVLNDNDKDVLFVFYAPWCGHCKALAPKYEELGQLYQTPEFSKLVTIA
KVDATA NDVPDEIQGFPTIKLFAAGKKDAPVDYSGSRTIADLIEFKENGSH
KVS VVYTGSDEGMADKLAHQAPAATEKDANSATDDTEKDDAASEATESVK
SGAAAATDAAKDAASEASASASSVKDEL

Spot 72 (2):

>gi|311323030| hypothetical protein [*Pyrenophora teres* f. *teres* 0-1]

MKHAATYKNVAEVVADPSINTLAKRASAQDIATDLVKATIPNATFRLVSDS
YVSDNGVAHFYFKQTANGLDIDTADFVNIGNRDGNVFSFGNSFYKGDI PAPP

SLTKRDGSEPVAALKSAVHVLALPVSAQSATAEPKDATETYAIKKTTGTVSE
PEARLVYLVDDQGKLALTWRVETDIMSNWLLSYVDVKDGSKVHAVVDYS
ADATYNVYPWGINDPTEGERQLVTDFYPPASEFGWHSDGETTFKTTRGNN
GIAHTNWDNKMSGFLDLRPTSEDLNFDPFSLNQTDFHDYGNASITQLFYT
SNKYHDLLHTLGFNEKAGNFEINNNAGGGVGQDFVYLNAQDGERFNNANF
ATPPDGSPARMRMYIWNQTPFRDCSFEAGVVIHEYTHGLSNRLTGGPANS
CLSMLESGGMGEWSDFATAIRLKPSDTRAKDYTMGEWISGSEFGIRNYK
YSTNLEVNPQVYTDVDQYTRVHPIGNIWASMLYEVLWNLIDKYGKNDDWL
PEFNSAGVPKDGYLSMKLVLDGMALQPCNPTFVSARDAIVDADKALTGG
ANLCEIWSGFAKRGLGEKAVYSTSGRTNNFDIPAGICNNSTISSQARRVKLPL
SV

Spot 73 (1):

>gi|311320690| hypothetical protein [*Pyrenophora teres* f. *teres* 0-1]

MGIYNKLADDINEVDIIIAGGGTAGCIVAGRLAEDPSLSILVIEGGANNKDV
AHIVNPVFYLQNLLPTTKTALFYKSNAKQLADRESIVPSGGTLGGSSINFM
MYTRAQRSDFDSWNTPGWSANEMWPFLKKLETYHGPDKEDHGYDGPIHI
SDGGYRAKAAEDDFIRTAGEMGIREIEDLQNLENDGLQRWLRYVSPDGKR
QDTAHRYLHPKLENEQKYSNLHVLVESKVVRLFDDKKRACGVEYTPNPEF
QATIGLSMHPVKTVKARKLVVVTCGACGTPPVLERSGVGPKDVLDRAGVPV
VEDLPGVGKDYQDHHLVLYPYKTSLETTQTIDAVLSGRADVPGMLARKDP
MLGWNAIDICSCLRPTAPEVAALGPEFQGAWRDRFADNPNRPLMLCGVVSC
FLGDPASIPEGQYVTSGMYTAYPYSRGHMHTGPKHDDPLDFVGFFTDKD
DIDLKKQMWAYKKREILRRRTNYFRGELAAGHPKFAKSSPAAVQEEVSGPL
PKDAKNIVYSEEDDRAIEQWIRENVQTTWHSLGTCKMAEREKGVVDSKLN
VYGVTLKIADLSIPPENVGGNTNNTALVIGEKAADIINELRGGAGTP

Spot 73 (2):

>gi|311320672| hypothetical protein [*Pyrenophora teres* f. *teres* 0-1]

MEAIKGTVNSALEKLNIGGQAQGTPAKEPSEEHLNELKSKYQKAGQEJVFA
FYDKLSAAEKATLYEQLSNFNPEYINEITERALHPAQSEATETKLEPLPEDAT

SSVLDSSQGDLDQWYTSGLELIAENKVAVVLMAAGGQGTRLGSSAPKGCFDI
GLPSKKSLFQLQGERIRKAEMLAAKKHNKDSVTIPWYVMTSGPTRGPTADFF
AKHNYFGLKKENVVIFEQGVLP CISNEGKILLESKLKVAVAPDGNNGLYQAL
IQSGVVADMGKRGIQHIAYCVDNCLVKVADPVFIGFSASKNDIATKVVR
KRNAKESVGLLQKNGKPDVVEYSEISTEDAEAKDSKDSELLKFRAANIVNH
YYSYKFLESIPEWAKKLPHHVARKKIPFVNTEGETVKPEKPNGIKLEQFVFD
CFPFLTLEKFACMEVKREDEFSPKLNARGTGEDDPDTSKQDINTQGKKWVQ
AAGATVVSDDPKDGIEVSPLISYGGEGLDFLKTRTVKAPAVIESED

Spot 75:

>gi|311328404| hypothetical protein [*Pyrenophora teres* f. *teres* 0-1]

MSDEVYEGAIGIDLGYSCVANYEGTNVEIIANEQGSFTTPSFVSFTSDERLI
GEAAKNQAAMNPENTVFDVKRLIGRRFEDETVKDIKSWPFKVVDQNGSPL
VEVEYLGEKKQFSPQEISAMVLVKMKEVAETKLGMKVEKAVITVPAYFNDN
QRQATKDAGAIAGLNVLRINIPTAAAIAYGLGSGKSDKERNVLIYDLGGGT
FDVSSLHIQGGVFTVKATAGDTHLGGSDFDTALLDHFRKEFTKKYSKEHLM
DSMLHDIAWNCLAHESYHNPSFDAAFPTRDAFVSAFDLSLGFEFCPGLLDVVA
SDDPPTLWFKSVGLDIFADKDQIPHKSWSGIYMHFYVKPEREALTYVGSATA
AAFGIRARLKDYRTLHAMSQTILDAIRNGYTLVILGHCPICPPSRQPILRG
VCLSTETAFHAIFWPMRSKDKEYGHLGDQQLWDPEDLSYGLCTHSPLLES
LDGLELTAEELDIIAETRRRKNELLAKWCRDDNIKQRANPTPEFRAKRRAIN
KARYKTRKRKRDADVANKAHYYISGDARALRRLRTACERAKRTLSNATQT
TVEIDSLFDGEDFNANITRARFEDLNQKAFVGTLDPVAQVLKDANIADKVD
EIVLVGGSTRIPKIQKLLSDYFNGKKLEKSINPDEAVAYGAAVQAGILSGKAT
SAETADLLLLDVVPLSLGVAMEGNIFAPVVPRGQTVPTIKRTFTVADNQQ
TVQFPVYQGERVDCENNTSLGEFTLAPLPLRAGEAVLEVVFEDVNGILKV
TATEKSTGRSANITISNAV GK LSSSDIETMINDAQKFKTSDEAFSKKFESRQQL
ESYISRVEEMVSDPTTSIRLKRGQKEKIESALSDAMAQLEIEDAPADDLKKKE
LALKRVVTCAFSTR

Spot 76:

>gi|311332744| hypothetical protein [*Pyrenophora teres* f. *teres* 0-1]

MTIPDEVDIIVCGGGSCGCVVAGRLANLDHNLQVLLIEAGENNLPWVFRP
GIYPRNMKLDSTATFYYSRPSEWLDGRRAVVPVAHILGGGSSINFMMYTR
ASASDYDDFQAKGWTTKELIPLMKKHETYQRSCNNRDIHGFEGLIKVSFGNY
TYPIKEDFLRATESQGIPTTDDLQDLVTGHGAEHWLKWIRDTGRRSDSAHG
YIHSTRAVHQNLHLLTSNKVEKVILEGDRAVGVKVVPTKPIHPSQQSSRIRA
RKQIIVSGGTLSPLILQRSGIGDPEKLRKAGVKPLVDLPGVGLNFQDHYLTF
APYRAKPGTESFDDFVRGDPKVQEKFVNQWELNGTPLATNGIEAGVKIRPT
EEELKMMDSWPCPEFRSGWDSYFKDKPDKPVMHYSVIAGFFGDHMQLPPG
NYFTMFHFLEYPFSRGSTHITSPNPYDAPDFDAGFMNDKRDMAPMVWGYIK
SRETARRMGAYAGEVHHMHPYYSFDSPARARDMDLATTNAYALPGNITAGI
QHGSWTMPLEKGRAQPQPNFLSSNKQDIMDDIHYSSEDIKHIEDWTKRHVETT
WHSLGTCSMAPRNGNSIVKHGVLDERLNHGVKGLKADLSICPDNVGCN
TYSTALLIGEKCAVLTGEDLGYSGSALDMKVPTYHAPREVVGLSRL

Spot 77:

>gi|311324557| hypothetical protein [*Pyrenophora teres* f. *teres* 0-1]

MGEDKITLGRYMWERIHQIGVDTVFGVPGDFNLQFLDSIYLTPGLRFITNQNE
LNGAYAADGYSRIKNAPGCLVTHGVGELSALNGIAGSMSENVKVVHVVG
QTTRTMQKAKMMIHSIGAKPNHQVYNKASEGLRVAAAELWDIESAPKEID
RVLRECVIQSGPVYIFLPLDSAEMVDASLLKEKIDLEPKVDKTAQDAAVKAI
VAAVAEAKQPTIVVDALVHRFGASEEAKQLVKALNVPFFSAAMGKGIVDET
DEQFVGWNGEVSSPGVKEVAKQADLVITLGYIPADTNAGFSRPLEDGTI
HINPHDVIVKGKSYSSTPIKSLAALSKVLPSTPQHKIPKPLPGPRTPLDANAA
HLTQSALWPAIEAFIRPGDVVVSETGTSNTGICDITFPTDIRLVTQIYYGSIGFA
TAATLGVDVARRELEEGGNKAGRRTILLGDGSMALTIQEIGTMINKCKSIIF
VLNNNDGYTVERLIWGARQPYNDIVPHNYSHLLPLYSHPNPEASFHRATTKEE
LRAILEKPQLQQPENVQLVELVLDKMDTSWKLGTVLAWRSEEHKEYLTREG
FVDTYGGWGLDGKAGGNVKWS

Spot 79 (1):

>gi|311316977| hypothetical protein [*Pyrenophora teres* f. *teres* 0-1]

MSLSHLHPSNLPVRVSSECPVAPGHPQSTGTSSCGWLAPPCTLDPLKSTIA

LGLSESPAIFLNHAPNRRVAFNSTSFFCCFCLCFCFFSNSSYEYMLNFARQL
KRVPSFQELLQGTMGSAKEEISVDLVIGAGPTGLGAAKRLNQIDGPSWLIV
DSNETPGGLASTDVTPEGFLYDVGGHVIFSHYKYFDDCIDEALPNDDWFTH
QRISYVRCKRQWVVPYPFQNNLSMLGKDDQAKCMEGLIDALESRVANTKP
KDFDEWIVRQLGVGIADLFMRPYNFKVWA VPTTKMQCEWLGERVAAPNVK
GVMHNIIHNKVAGNWGPNATFRFPAKDGTGGIWIAVAKTLPESKTRYGDHA
KVTKVDADGHKVHLKDGTVVNYKKINTMAVDALVETMGDKELIDL SKGL
FYSTTHVIGVGLRGERPERIGDKCWLYFPEDDCPFYRATIFSNSYSPYNQPQKD
VKLATQQLADGSKPSSTEPQEGPYWSIMLEVSESSMKPVDEKNMLKDCIQG
LINTEMIKPDDEIVSTYHRRFDHGYPTPSLEREGVLKQLLPALQAKDILSRGR
FGSWRYEVGNQDHDFMLGVEAVDHVVNGA VELTLNHPDFVNGRKNEERRL
KDGAQIFAKPSLALRNKGVD

Spot 79 (2):

>gi|311332959| hypothetical protein [*Pyrenophora teres* f. *teres* 0-1]

MSTEASTSDAVLKEILEGLKALRAENSSLAASVDKINGRVNMLAGIKQIKDE
AASEAANGALKDKASEVQREKTVEAVSEQYEQQPESADAPPRRTSVSKFSK
IILTSYPGQAGVDPLPMEWGAKDPAVRGPVVSRHPNTIRR RNAIGAHGGSY
SIYNALAVASKNLDITHKPDFNTPEAAKIGPFPQWSDGKKIVAMD PYGH LA
PWLYKETMDKDDVEIRPTIAITRAHMKLPELEESVRKGRLVPDGKICINETGE
VAVTKVAVEPVWYLPGVAERFNIDEGLRRTLFEETGGSYPELIRHDIKLFL
PPIGLLTYIFGDPAKMSDPSSRLALRVHDECNGSDVFGSDICTCRPYLTFGIE
EAVKEAQKGGSGVVIYFRKEGRALGEVTKYLVYNARKRGEDRASEYFKRTE
NIAGVKDMRFQALMPDILHWLGITKIDRMLSMSNMKHDAIVDQGIPIHERVP
IPDDMIPADS RVEIDAKIQAGYFTTGHVMSMDELANKGRGWEDIDQWQPP
L

Spot 79 (3):

>gi|311321818| hypothetical protein [*Pyrenophora teres* f. *teres* 0-1]

MNRASNDTQKVKTGEQVADHSNADSCWVIVHGRAYDVTDFLPEHPGGSK
IILKYAGKDATEAYEPIHPPDTLDKYLDKS KHLGEVDMNTVQEEAKEVDPDE

EERQKRIERMPILEQCYNLMDFEAVARNVMKKTAWAYYSSGADDEIASPQE
TFAFHKIWFPRVLIDVEKVDMSLTMLGKCDIPFYVTATALGKLGNPEGEV
ILTRGAHKHKVIQMIPTLASCFDEIVDEAKDGQVQWLQLYVNKDRQVTKRI
VQHAEKRGCKGLFITVDAPQLGRREKDMRSKFDDVGSNVQSTGGDNVDRS
QGAARAIISSFIDPSLSWKDIPWFRSITKMPIILKGVQCVEDVIRAVEVGVDGV
VLSNHGGRQLDFARSGVEVLAEVMPVLRARGWQDRIEVYIDGGVRRATDII
KAVALGAKGVGIGRPFLYAMSAYGLPGVDRAMQLKDEMENMRLIGASS
IADLNPSMLDTRGLSMHTAPVPHDTLGLNVYDPLVGPQEKVIREKSRL

Spot 84:

>gi|311329933| hypothetical protein [*Pyrenophora teres* f. *teres* 0-1]

MADALKAEGNKLFAEKKFAESIEKFSQAIELDPSNHVLYSNRSGAYASLKDWQKALEDANKVTEIKPDWAKGWGRKGTLHGEGLV GASDAFDQALKDPNNAQAKSGLEAVKRAIEAEANDDGAGLGMFSDPNMIQKLAANPKTAALLGDAEFMAKLQQLQKNPNAAGQFMQDPRFLQVMSVLLGIDMSFGQGSGAGGAGAAASKEAEEDVEMPDARPAPEQPKKAPEPEPEPEQVEETEEDKAAKKAKAEADELKKKGTEFYKKRQFDEAIEHYTKAWELHKDIA YKTNLGAAKFEKGDYEGCIQACNEAVEYGREILADFKIIAKAFARIGTAYEKMGDLNNAITYYQKAQTEHRTPEVLAKLRAAEKAKIKKDREAYINPEEAEKARELGNNAKFSEDWPAAVEAYSEMIKRAPDDPRGYSNRAACFIKLLEFPSAVQDCDEAIKRDP SFIRAYLRKAQA YFTMREYNKCINVCSAMEHDKDGNAREIQQQEAKALQAQYSAREGETEQETMERIQRDPEIVGILQDPVMQAILQQAKDDPAALQEHLKNPSIRSKIQKLVHAGVIRMGR

Spot 85 (1):

>gi|311319944| hypothetical protein [*Pyrenophora teres* f. *teres* 0-1]

MASDLRSQEIKNPIDVAEYLFRRLQQVGVESIHGVPGDYNLVALDYIPKVGLKWVGNCNELNAGYAADGYARIKGISALVTTFGVGELSAVNIA GAYSEYVP IVHIVGYPSTVSQKNGALLHHTLNGDFTVFSRMSKEISCAVSM LNSQHEAAMLI DNAIRECYLQSRPVYISLPSDMVTKKV DGDRLKTRL DLKYPPNNQEAEDYVV DVVLKSLHAAKNPVLVDACAIRHRALEETHKLVKKSGIPTFVAPMGK

GAVDETLPNYGGVYAGDGSNAGVRERVESSDLILSIGAIKSDFNTAGFTIRMS
QLTTIDLHSFGCKVRYSEYPGVRMNGVLAKVTAKLGNLNIESGPNPNNNVPE
QESSSTEPTIKHAWFWPKLGQWLKKDDILITETGTSNFGVWETRFPEGVRAIS
QVLWGSIGYATGACQGAALAAKESNVKRTILFTGDGSFQLTAQEVSSTMIRN
KLAPIIFVICNKGYTIERLIHGWE DAYNDVQEWKYRDIPGVFGAEEGSVLTYR
VESKDEVEKLFKDEEFSSGETKKMRFVELVMPWDDAPAALKAVCEAAART
NATSAE

Spot 85 (2):

>gi|187979272| Pyruvate decarboxylase [*P. tritici-repentis*]

MASDLRSQEIKNPIDVAEYLFRRLQQVGVDIHGVPGDYNLVALDYIPKVL
KWVGNCNELNAGYAADGYARIKGIAALVTTFGVGELSAVNIAIAGAYSEYVP
IVHIVGYPSTISQKNGALLHHTLGNGDFTVFSRMSKEISCAVSMLNSQHEAA
MLIDNAIRECYLQSRPVYISLPSDMVTKKVGDRLKTPLDLKYPSSNNPEAED
YVVDVVLKSLHAAKNPVILVDACAIRHRALEETHELVKKSGIPTFVAPMGK
GAVNETLPNYGGVYAGDGSNAGVRERVERVESSDLVLSIGAIKSDFNTAGFTIRM
SQLTTIDLHSFGCKVRYSEYPGVRMNGVLAKVTAKLGDLNIESGPNPNNNVP
EHESSSTESAIIKHAWFWPKLGQWLKKDDILITETGTSNFGVWETRFPEGVRA
ISQVLWGSIGYATGACQGAALAAKESNVKRTILFTGDGSFQLTAQEVSMTIR
NKLAPIIFVICNKGYTIERLIHGWEDEPYNDVQEWKYKDIPAVFGAEEGSVLTY
RVETKDDVEKLFKDEEFSSGETKKMRFVELVMPWDDAPAALKAVCEAAAR
TNATTAE

Spot 87:

>gi|311320725| hypothetical protein [*Pyrenophora teres* f. *teres* 0-1]

MIFSRTIIALSLYTAALAAPTEKRGVAFNWGTEKVRGVNIGGWLVLEPWITPS
IFDKANANRAQKDIVDEYTLGQKLGSAAAGSILRSHWDSWVTWNDFNKIKQ
AGFNVVRIPIGSWAYDTFGAPYVSGANVYIDAAIDWSRSRSLGLKIIIDLHGAPG
SQNGFDNSGQKMPTPQWQKGDTVQKQLVNTIQQQKYAQASYQDVIVGIEL
LNEPALYNGLNLDVLKQFYRDGYGQTRSVDSTPVVLSDFNNPNTWNGFLT
PSDNNAYNVVMMDHHEYQVFDQTLLKMTPAQHTSYVCSNSGTWSGSDKWTI

VGEWTSAMTDCAKYLNGYGIGARFDGTFPGSSKIGDCSWRNDLSKWPASY
KDDSRRYIEAQISAFENKAQGWVWWNFKTEGAAEWDALRLVDAGVFPSTI
NGKVNYKFGGSC

Spot 91:

>gi|311325425| hypothetical protein [*Pyrenophora teres* f. *teres* 0-1]

MSGTFFEFQAEISQLGLIINTVYSNKEIFLRELISNASDALDKIRYEALSDPSK
LDSGKDRLIDIIPNKEAKTLTIQDSGIGMTKADLINNLGTIARSGTKQFMEALS
AGADISMIGQFGVGFYSAYLVADRVTVVSKNNDDQEYVWESSAGGTFKITE
DTEGEQIGRGTKIILHLKEEQMDYLNESKIKEVVKKHSEFISYPIYLHVLKETE
KEVEDEDAAEETTEGDEKKPKVEEVDDDEEEKKKEKKTGVKESKIEEEEEL
NKTKPIWTRNPQDITTEEYASFYKSLNSNDWEDHLGVKHFSVEGQLEFRAILF
VPKRAPFDLFETKKTKNNIKLYVRRVFITDDATDLIPEWLSFVKGVVDSEDL
LNLSRETLQQNKIMKVIRKNIVKKTLELFNEIAEDREQFDKFYSAFGKNIKLG
HEDSQNRASLAKLRFNSTKSGEELTS LTDYVTRMPEHQKQMYYITGESLKA
VQKSPFLDTLKDGFVFLVDPIDEYAMTQLKEFDGKKLVDTKDFELEES
EEEKKEREAEKEFEGLAKSLKTVLGDKVEKVVVSHKLVGSPCAIRTGQFG
WSANMERIMKAQALRTSMSSYMSKKTFEISPKSAIKELKRKVEADGEDD
RTVKSITLLFETSLLVSGFTIDEPVQYAERIHKLVSLGLNVDEEVETEQKGE
ASTEQTATAGESAMEEVD

Spot 92 (1):

>gi|311318079| hypothetical protein [*Pyrenophora teres* f. *teres* 0-1]

MSLVSEAIWAASPTTTRGQATPLSSDPKGERIAYTSGKSVFLRSIDDPAVSTQ
YTQHTTQTTVARFSPSGFYVASGDVSGSVRVWDCVGEATKGEYHIIAGRIN
DLAWDGDSQRRIAVGDGKERFGHCITADSGNSVGEISGHSSQINCVSIRQQRP
LRAATGSDDTSLVFYHGAPFKNTSLRGQHNRFVFGTAFSPDGSVFASVGAD
KRIWLYDGKTGEAKTQIGEGVHTGSIFGISWAKDSTKFVTASADQTVRIWDP
EAGKAIQTWRMGEEGVASIPDQQVGVVWPAGRSGLIVSVDLEGNLNYLV
DGNPNPTRVIRGHQKNITAAAIAGTTFATGSYEGRVLAWDTTGLADKVEG
ASHSSYVAGITTSDSKNEAELHSVAWDDTLRSISVPDKIFTGEAHDLKQPKG

IAATSSIVLVPSSDAIAVYSKGVQVSSLVKYTPSTSIAAHGSTVAIGGDDKLV
HIYTLSGTELKESETVLRRATAPISALAFSPSGKKLAVGAGNGKIYAYETTAD
WKVITDRWSAHTARITCLAWDESEKFAASGSLDTNVMVVSTEDPGKRIKAL
NAHKDGVNGVAWEKANKVISAGGDASIKVWSVKA

Spot 92 (2):

>gi|187977966| WD repeat containing protein 2 [*P. tritici-repentis*]

MSLVSEAIWAASPTTRGQATPLSSDPKGERIAYASGKSVFLRSIDDPAVSTQ
YTQHTAQTTVARFSPSGFYVASGDVSGSVRVWDCVGEGATKGEYHIIAGRI
NDLAWDGDSQRIIAVGDGKERFGHCITADSGNSVGEISGHSSQINCVSIRQQR
PLRAATGSDDTSLVFYHGAPFKFNTSLRGQHNRFVFGTAFSPDGSVFASVGA
DKRIWLWYDGKTGEAKTQIGEVHTGSIFGISWAKDSTKFVTASADQTVRIWD
PEAGKAIQRWRMGEEGVASIPDQQVGVVWPAGRSDGLIVSVLDGPNLYL
VDGNPNPTRVIRGHQKNITAAAIAGTTFATGSYEGRVLAWDTTGLADRVE
GASHSSYVAGITTSDSKNEVELHSVAWDDTLRSISVPDKIFTGEAHDLFQPK
AIAATSSIVLVPSSDAIAVYSKGAQVSSLVKYTPSTSIAAHGSTVAVGDDKL
VHIYTLSGTELNESETVLRRATAPISALAFSPSGKKLAVGAGNGKIYAYETTA
DWKVITDRWSAHTARITCLAWDESENFAASGSLDTNVMVWSIEDPGKRIKA
LNAHKDGVNGVAWEKANKVISAGGDASIKVWSVKA

Spot 93:

>gi|311324041| hypothetical protein [*Pyrenophora teres* f. *teres* 0-1]

MSAFSRNLCASTSRNLRSSVLA KATRPIALRATLSTPFVSPSVAAPAFSTM
AALKSSVPQTLSKREYDPEIKDMANYIHNTAIDSELAYDTARWVFVDTLGCG
LEGLRFEQCRKILGPVVEGTTVPNGTKVPGTNYQLDPVNGAFNIGAMIRWLD
FNDCWLAAEWGHPSDNLGAILATADWITRTNKAGGNLNGKIFKVRDILEA
MIRAHEIQGCMALENSFNKVGLDHVILVKLASTAVVSKMMGLSESQTRDAIS
QAFVDGQSMRTYRHSPNTMSRKSWAAGDACQTAVNVLVKVMGEQGLPT
VLSAPT WGFYDVNF GGKPFQF QRGYGSYVMENVLFKVSYPAEFHSQTAVEA
AQRLNKKLKAMGKSAKDIESVVNRTHEACIRIIDKQFKPMENFADRDHCVQ
YMVSTMFVNRLEATDYPDDSEAATSELVESLRQRISCVEDPQFTKDYHDPE

KRTISNALTVTLKDGTVLDEEVVEAPLGHRLRREEAKPEILAKYKRHLGPHF
PAEHVDKLVALAQDSKSLDNMDIDEYVDLYVKN

Spot 95 (1):

>gi|311319652| hypothetical protein [*Pyrenophora teres* f. *teres* 0-1]

MAPPKQRKMAIVGSRAVGKSSLTVQFVDGHFVDSYYPTIENTFSKMIKYKN
QEFA TEIIDTAGQDEYSILNSKHFIGIHGYMIVYSVASKQS FEMARIIRD KILNH
LAVEWVPLVIVGNKSDLRPEQRQVT PEDGRALAAEFKCAWTEASARYNEN
VQKA FELMVAE VERSQNP DHRR TQYDAT QYGSKINTVQKSIGQKKKNKED
ATELLE EKKKLEAEKKEKDAEAAEKLAKLHAKA KVSGNYVYKDVPVSDNE
DNNA VQKT WAPEGRKA EFKADGIPHHGV LARLNGYDPERGK IVGHR GYC
LTGYGVFLNQALINYGLEFLFSKGFTP NQPPFFMLRDQMAKTAQLSDFDEEL
YKVTE SKDKP ETD KYLIATSEQ PIS ALHSEEW LHSDQ LPIK YAGY STNFR KEA
GSHG KDAWG IFRIHQFEK VEQF LLTHPE KSWE AFDEM LANSE EFY QSL GLPY
QVVAI VSGALN NAASM KR DLEAW FPVTGG EYKEL VSISN CTDY QTRE LEIR
HGI KKL NATR KEYV HALN GTC ATERTL CCILE NYQTPEGFTVPEV LRKY IPG
QPEFLPFVKEWKAPKDDKPLPDRTK

Spot 95 (2):

>gi|311321565| hypothetical protein [*Pyrenophora teres* f. *teres* 0-1]

MVVNP NRQDV RRQYFTIDL AGRPKHASSLSYTVTFRASENEPW KWANE HFS
TSDG RLIYQSSEPLPQDLTYYLEGLPPFLDIAKEQSDTPNTLLWDLTYP IVA AS
GQTPGHSSEKLGKPTNLSRWFAEVRLWGPWLAPRQGKDRFQPDKEVILASF
ERHDGLHLVLLAVSGLNEVLT TLNHDGDGRV VMNSNN DSDK DGL VRIV AS
VGHNLEDAVAASMYYARKLIMAYEESTGQINEEKALTDDFKPEWLENWY
DGLTYCTWNGLGQKLTEEKIFDALES LH KNEIN ISNLIIDD NWQSLNTEGGD
QFDNAWVEFEATKNGFPRGLKATVGD IRSKYQHIRHIAVWHAMFGYWG GI
APEGRIAKEYKTKVVQLKDG VSGG KIVVVTEEDVNRFYKDFYQFLSSCGVD
SVKTDAQFFLDELQDADD RRNL IKAYQDAWSIAQLRSFSARAIS CMSQAP II
FHSQ LPSNKPRMILLR NSDD FFPE VPASH PWHFCNAHNSILTQH LNI LPDWD
MFQTSHDYAAFHAAGRCVSGG PIYITD VPGQHDVDLIAQM TGNT PRGDTV IL

RPHTVGKSTTAYNAYDDTLLKVSTYVGMAHSGVSILGVFNCTPKPVAELIG
LDAFPGAEKGTYVIRSHTDGQVSKPTSVATNASFVHLDLSVRGWEILSAFPL
LPFTLKREEGHDVQGPEDVQIAILGVVGKMTGAAAVSSDAYVDRSSGRLRV
WTSLKVLGTFGLYVSDLAKRNIEKdffAVLFGRPIAHCVRVSKHENVLEI
DTVRAWKETDSRAGWSNEVVVEVIR

Spot 96 (1):

>gi|311320328| hypothetical protein [*Pyrenophora teres* f. *teres* 0-1]

MSDLFVELTAPNGHKYRQPRGLFINNEFKSKSGETITTINPSDESEIASVYAA
GPEDVNDAVAAARKAFNDPSWRDMTSDRGDLLYKFAELIDQHKETLATIE
TWDNGKPYSVALGDDLADGVVAVMKYYAGFANKIHGTVIDTSPRKLAYIVR
EPLGVCGQIIPWNFPLLMAAWKLGPALCTGNTIVMKAEEQTPLSILYLGTLIK
EAGFPPGVNFNLNGDGRKAGATLAQHPDVDKIAFTGSTATGKEIMKMAAV
NMKNITLETGGKSPLVIFDDADIAQAVKWAHTGIMYNQGVCCATSRLVQ
EGVYDKFVEAFKECVKNTSVVGDPFKEGTFQGPQVTKAQYDRILSYIEAGKS
EGATLVAGGEPHKNAGGKGFYISPTIFTNVKDSMRIFREEVFGPFVAISSFKEE
EEAIRRANDTTYGLGAAVFTENITKAHRVARRIEAGMVWINSSNDTDIIPFG
GVKQSGIGRELGEAGLEAYTNKKAIHVNLGTL

Spot 96 (2):

>gi|187984551| Aldehyde dehydrogenase [*P. tritici-repentis*]

MSDLFVELTAPNGRKYRQPRGLFINNEFKSKSGETISTINPSDEKEIASVYAA
GPEDVNDAVAAARKAFNDPSWRDMTSDRGDLLYKLAQLIDQHKETLATIE
TWDNGKPYSVALNDDLTGVIAVIKYYAGFANKIHGTVIDTSPRKLAYIVREP
LGVCQIIPWNFPLLMAAWKLGPALCTGNTIVMKAEEQTPLSILYLATLIKE
AGFPPGVVNLLNGDGRKAGATLAQHPDVDKIAFTGSTATGKEIMKMASVN
MKNITLETGGKSPLVIFEDADLAQAVKWAHTGIMYNQGVCCATSRLVQE
GIYDKFVEAFKECVKNTSVVGDPFKDGTQGPQVTKAQYDRVLSYIESGKSE
GATLISGGEPHKNAGGKGFYISPTIFTNVKDSMKIFREEVFGPFVAISSFKEEE
EAIRRANDTTYGLGAAVFTENITKAHRVARRIEAGMVWINSSNDTDIIPFG
GVKQSGIGRELGEAGLEAYTNKKAHVNLGTL

Spot 97 (1):

>gi|311325199| hypothetical protein [*Pyrenophora teres* f. *teres* 0-1]

MSDPIADAARKHPAPEGLVYTYGTAGFRKADVLDSVLTRVGLIAALRSKTL
KGKWIGVMITASHNPPEDNGVKLVEPMGNMLQEEWEVISTEMANKTPED
VSKFYHEMANQNKV DLET PAR VVVARD TRAS GS RLLG CLLD GLKAAGAEV
KDYGFLTTPQLHYMTRCLNTEG TKDAYGTPTEKGYYEKF GA AFK TALRGK
KPSGSLTVDCANGVGGPKLNELIKYLPSKAEGGLEINVINDNVIKPESLNVD
GAD YVKT NQR APPSS KAGPGDRCCSLGDAD RVVYYF KDEKNVFRLLGD
RIATLVASFLGDTVRQSGLADQLKIGVVQTAYANGAATKYVEDNLKLKVDC
TPTGVKYLHHAAEKLDIGVYFEANGHGTIVFSHDTLDIEKHEPRNPGEKEA
LDVLRACINLINQS VGDALSDFLLVEVVL AHKH WGPQE WLSTYSDLPNRL
KVVVNDRKIFKTTDAERKLTSPEGLQAQIDKEVQKVRQGRSFARASGTEDA
RVVYAEAETRAEADDLARKVHD LVKAAGSA

Spot 97 (2):

>gi|311331295| hypothetical protein [*Pyrenophora teres* f. *teres* 0-1]

MSGIDAEEAQFQKEVQEVKQWWSDSRWRYTRRPFTAEDIVSKRGNLKITYP
SNSQSKKLWDIVEGRFKNKDASFTYGC LDPVMVTQMAKYLDTVYVSGWQ
ASSTASSTDEPGPD LADYPYTTVPNKVGHLFMAQLFH DRKQREERLTAKD
DRA KVANTDFLRPIIADADTG H GGLTAIMKLT KLFIEKG AAGI HIEDQAPGTK
KCGHMAGKVLVPISEHINRLVAIRAQADIMGT DLLAVARTDSEAATLITSID
PRDH HYILGCTNPALQPLSELMYAAEQAGKNGAELQAIEDSWVKEANLKY
HEAVIDTINAGVHV DKQSLISEFMAKS KGKS NSEARAIAAGLTGVDVYFNW
EAARTREGYYRYQGGCQC AINRAVAYAPYCDMIWMESKLPDYAQAKEFAD
GVHA VWPEQKLA YNLSPSFNWKAAMPRDEQETYIQRLAKLG YCWQFITLA
GLHQ S ALMADTF SKAYAKQGMRAYGEIIQEPEADNKVDVLTHQKWSGANY
VDNLLKMVSGGSSTAAMGKGVTEDQFK

Spot 98:

>gi|311321923| hypothetical protein [*Pyrenophora teres* f. *teres* 0-1]

MAPAASHDAKDVSENSKSLKALEEMMQKLTMSKAQDEINASAQAIATFIN
GDIEEADAPTKAVQVLKKQLASKDAVARERALDAIRAIQAQHSHVSASVEP
YLVSLLPDVLAAVGDKMSGVKVAAQTAAESIVQAANPNAVKAIIPHIIHSLE
NAQKWPEKMADLKCIEVLTKSAPAQMFRVPDLIPVISSAMWDTKPEVKKA
AYGTMETLCISLNKDIERFIPELIKCIAKPENVPETVHLLGATTFTVDVHEPT
LAIMVPLLERGLVERETAIRKSAVIIDNMCKLVEDPQIVAAFLPRLMPALEK
NHDNLADPEAREKTRQGLDTLIRVGHVQNGKIPDIEKSGDISTIANNLTAVIP
SGIKIDERFTPVVNYIGAIGGQLIDEKDYEPLNWQANAGPFVAVLVGDEKAK
DVTEELRRRSLPGAAAERLVEPDEEEGEDLCNCTFNLAYGAKILLNQTHLRL
KRGQRYGLLGPNGSGKTLMRAINNEQVEGFPKQNEVKTYYVEHDLDSAD
TEMVLAWTMNLKAVGIDKPEDEVKTLNEFGFS DAMYNGGIGALSGGW
KMKLALARA VFEQPDILLDEPTNHLDVKNWKWLEDYLTS PCTSIVISHDS
KFLNNVIQHVIHYERFKLKRYRGNLDDFVKRVPAAKSYHELAASDMEFKFP
EPGFLEGVKTKAKAILRATNMSFQYEGTSKPQIEDITFQCSLGSRIA VIGPNGA
GKSTLVNVLTGELVPTKGEIYHHENIRIAYIKQHAFAHIDHHLDKTPSEYIQW
RFQTGEDRETMDRANKIVTEEDEKAMD KIYKIEGTERRVIGINSRRKFKN SY
EYEC SFALGENVMKNERWTPMMSADNAWIPRSEIMASHAKMVAEV DQK
EALASGQFRPLVRKEIEAHCANFGLDAELVSHSRMRGLSGGQRVKVVL SAC
SWQRPHLIVLDEPTNYLDRDSL GALSKAIKTFEGGVII THSAEFTANL TEEV
WA VMDGRMTPSGHNWVQGQGAGPRLAKDDGEEEKIASQKKKAKL TSSE
MRKKKKDRMARRKRGE EVFSDEDE

Spot 99:

>gi|311320328| hypothetical protein [*Pyrenophora teres* f. *teres* 0-1]

MSDLFVELTAPNGHKYRQPRGLFINNEFVKSKSGETITTINPSDESEIASVYAA
GPEDVNDA VAAARKAFNDPSWRDMDTSDRG DLLYKFAELIDQHKETLATIE
TWDNGKPYSVALGDDL AGVVA VMKYYAGFANKIHGTVIDTSPRKLAYIVR
EPLGVCGQIIPWNFPLLMAAWKLGPALCTGNTIVMKAAEQTPLSILYLGTLIK
EAGFPPGVNFNLNGDGRKAGATLAQHPDVDKIAFTGSTATGKEIMKMAAV
NMKNITLETGGKSPLVIFDDADIAQAVKWAHTGIMYNQGQVCCATSRLVQ
EGVYDKFVEAFKECVKNTSVVGDPFKEGTFQGPQVTKAQYDRILSYIEAGKS
EGATLVAGGEPHKNAGGKGFYISPTIFTNVKDSMRIFREEVFGPFVAISSFKEE

EEAIRRANNDTYGLGAAVFTENITKAHRVARRIEAGMVWINSSNDTDIRIPFG
GVKQSGIGRELGEAGLEAYTNKAIHVNLGTL

Spot 100:

>gi|311327612| hypothetical protein [*Pyrenophora teres* f. *teres* 0-1]

MCKHFGTEGQSSIDITKGREVLPTNVKPLHYDLTLEPDFANFTYQGTVTIDLD
VVDDTTSLNTNELKINSAKVTTGQQLIADSPTLSDKDAQTTKVSFDQSISS
GTTKAQLTLAFSGILNDNMAGFYRSSFKADDGSTTYMATTQMEPTDARRA
CFDEPALKAKFTVTLLCIVGELNYIETNNFRVPVRVYAPKDRDIEHGRFSLELA
KTA
FYEKTFNSPFPLPKMDMIAIPDFSAGAMENWGLITYRVVDVLIDEKVSGAAV
KQRVAETVQHELAHQWFGNLVTMDFWDGLWLNEGATWMSWYSCNIFYP
DWKVWEGYVTDNLAGALSLSRSSHPIEVPKRADEINQIFDAISYSKGSS
VIRMISKYIGEETFMEGIRQYLKKHAYGNTETGDLWAALADASGKDVGKV
MDIWTKKVGFPVTVTEGTDIHLKQNRFRLRTADVKPEEDQTLYPVFLGLRT
KGGVNEDLTLFDRADFKLKDLDFFKLNADHSGLYRTSYTPERLGKLGVA
KQGLLTVEDRAGMIADAGSLAASGYQKTSGILSLLDSFKSESEFVVWGEITG
RIGSLRGAWMFEDQEVKDALKKFQLELTADKAHELGSFKDTDGHIEQQFK
GLMFGAACIAGDEQITKACFDMFEKFKAQDKSAIHPNIRGSVYAVLSNGGK
EYDVVVNEFTNAATSDERNSALRSLGRAKSPELIQRTLAMSLSDQVKGQDI
YLPISALRSHPFGCYALWTWVKDNWEELERRLPPSLSSMLSSVVSITTSSFTHR
EHIKEIEFFKTKSTKGFDMSLSQSIDAISAKAAWLERDSEDVKSWLREHKYL
N

Spot 104:

>gi|311325425| hypothetical protein [*Pyrenophora teres* f. *teres* 0-1]

MSGTFFEFQAEISQLGLIINTVYSNKEIFLRELISNASDALDKIRYEALSDPSK
LDSGKDLRIDIIPNKEAKTLTIQDSGIGMTKADLINNLGTIARSGTKQFMEALS
AGADISMIGQFGVGFYSAYLVADRTVVSKNNDDEQYVWESSAGGTFKITE
DTEGEQIGRGTIIHLKEEQMDYLNESKIKEVVKKHSEFISYPIYLHVLKETE
KEVEDEDAAEETTEGDEKKPKVEEVDDDEEEKKKEKTKVKESKIEEEEL

NTKPIWTRNPQDITTEEYASFYKSLNSNDWEDHLGVKHFSVEGQLEFRAILF
VPKRAPFDLFETKKTKNNIKLYVRRVFITDDATDLIPEWLSFVKGVVDSEDL
LNLSRETLQQNKIMKVIRKNIVKKTLELFNEIAEDREQFDKFYSAFGKNIKLGI
HEDSQNRASLAKLRFNSTKSGEELTS LTDYVTRMPEHQKQMYYITGESLKA
VQKSPFLDTLKDKGFEVLFLVDPIDEYAMTQLKEFDGKKLV DITKDFELEES
EEEKKEREAEKEFEGLAKSLKTVLGDKVEKVVVSHKLVGSPCAIRTGQFG
WSANMERIMKAQALRDTSMSSYMSSKKTFEISPKS AIIKELKRKVEADGEDD
RTVKSITLLFETSLLVSGFTIDE PVQYAERIHKL VSLGLNVDEEVETEQEKGE
ASTEQTATAGESAMEEVD

Spot 105 (1):

>gi|311319605| hypothetical protein [*Pyrenophora teres* f. *teres* 0-1]

MAANPDSILREVNILGELNDQNRHILSKDACVFLALLHRTFNERRKALLQRR
VIRQAELDKGNLLDFLPETKHI RENDTWKGAPPAPGLVDRRVEITGPTDRKM
VVNALNSNVWTYMADFEDSSAPTWDNMINGQVNLYDAIRKQVDFKQGEK
EYKLRTDRTLPTLIARARGWHLEEKHFTVDGEPMMSGSLFDFGLYFFHNAHEL
VKRG TGPFYLPKMESHLEARMWND AFNLAQDYIGMRRGTIRATVLIETIT
AAFEMDEIIYELRDHSAGLNCGRWDYIFSTIKRFRQNPNFVLPDRDSVTMTSP
FMDAYVKLLIKTCHKRGVHAMGGMAAQIPIKNDPQANEAAAMAKVRSDKLR
EARAGHDGTWVAHPALAAISEIFNEHMPTPNQM HVRREDVHITANDLLN
MN VPGKITEEGIRKNLDIGLAYMEAWVRGVGCVPINYL MEDAATAEVRSRQ
LWQWARHNVETAEGKKVTKDYALKLLHEQAKALSDKAPKGNKYHLAAKY
FEGQVTGEDYAEFLTSLLYNEITNVGPPKGASKL

Spot 105 (2):

>gi|311331188| hypothetical protein [*Pyrenophora teres* f. *teres* 0-1]

MLNLFRHKKKRSLATEDTQNQDRRTPSITSLDIDQSSSPPSTKYTSPKQSLPT
TKAQPAPPQLSYSLPETPTQHSRLVFEATNKSKTSLQPETLPTTSPASADNNS
EPTTPVAEQQDSPLPSLQQFTAEPTPLVTSLATIHTPQASRTSNMSLRLPSSH
GQANGANGVNGLNMTFSPPSSPQTLFRSKGRLPSFTSSRATSGNFSSMRSPTK
RMTGSNNYQNSIVQDSAASLKKRSLAELGVGAYQNISDV SYVS FLEWIRSER

LTTLPHKGSRWDKVLIRALYFAEQLHNFEQAIQPFAQDSSYAASIGYGHAQL
LLELSHHNSTALDKAFSVFYKFAMSFHSVLHRSELLAASSEIREQICLLYTDLI
ALVVDVAVKFYKTVKGMTPGSTSLDIFELFGETIETFRTRQNTVIELIWQSQIE
NEDFEEGEALDVQHLSRWLASQDRVIAAITRDHETYVDNQAEFTCLWFNKH
MTKFFQSENRVFLVTGQSGAGKTTLAGSIVERLQRPMPNRQYDTLFCSLSPD
IPTAATSLSVVKSLFQLLNLRGNMETYALFRAYHQCRSSLEDKTYEECL
WQALADALQHPVAGSNELVMVVDGLDEIAESQSASIQAQAFSPADLLAKL
VHVTQQNGNGVRЛИTSSSMKMPASAKGSQHQITREDVRDDLHAVALRSLIH
NHHFHGQRPLDQEQLLDRIIRMANGSFLHLTLCDMLNSQKSPDAFNKMLE
NFESTKISVQDLVLKLFNMNLNPANDAKTLLSWVLAERPLTLDEIHTLFSVD
VQRGTISDKGVANETFKTLEPLFTLHQIVRFKHAVIHLDFAITGKIPIP
LQDSETDMLLRVLYTKFVLKDSKVEPTFDTSETTPDRLFRKHQFLEYAVR
YWVLHLQQSPLAPKSTGEFKPTGDLQKVFPETTMFILESYCWGTQLPVPQA
LELQKLGTLRQTIFTRKHPSVLQTYLSIATSYMLVSNTLEATKYLYLCTIVCK
EVLSPIHPLTLECASQFLKISEQTSTTRTEIMTHREQVLTVLISAYEMQYGSN
SEIVIETQKLLAQLYTSINEHDRAKEIWNLVQDSTSNDNGHASYRSNHDMRD
EIQIKTGMGKGDRREINSYDQSWFHDGAHGGEEHVDTVLTIASINTQIDRIQEHL
HRKEFATVEKLYVELWMEVSSKCRSMLAVEWHEKNIAITSYAQFLKNQK
RTSESTSILTSVWQQYESHQLSFAETIVSQLTTVAKEMRSMKAHVQALAIFKF
ASSYYQSIHREESHASLEISQQLSQTELVQESLNSSSVTETTTSESVFQD
VFFTTIASSATVESSTIALSKKLTAQYMAKKDYAAINVVIHATLQRTWSSFLA
SSIHDVTMATSFTQESIELVEQLAQCYLQMRKLDKVEDVYNRFFRAVLVTD
NVDKVTFDKSKNLLINFYDKYGYADKAISIFQEILVVYRARLGYTNELTIKL
YELAQRCRSHPRNHGYWLDYLYLQIITALNKDSELCHKDALDAMNVVTVTY
WEDRRYAEAVTFYKVLWTTFVRQTKQHKVFTDVKFVEELYDRYYQCLEET
KASWSDLHKVTKEYRETATATFGAESSIAVNATLALAKVSESSAEHLSEAIA
LYQAVSQSGKQVTTTTVTEINQALSSLYHKQMHSSSSNMKAEIFQSALTM
TQSNFQDSYQKYGYCHESSLTSLREMATLYKRQQKTDVATKQISKAASEIVS
KEISSQKLIESAASIASTFSAIEQSSAAHSLAQEMHRQICAKDTRNASKWSFDL
TKCNRTSLAFLASLQYNNRKDSLISFSEIYAELTMEYMYWMQFHETLKKEA
SLTEVLRAAAPLRFLLRRNDQKEMMTVVEHSVQAVNSFVKREGQDLKDF
HQNSPRIFIIGILDRLGNGRNKDFVRSVILSSNENISRLTKEKKFQEAYDVANL

SFMFANRNDVYKGAPAISMGFQLASLLAGRGEKCTDAAFRKKMLDLSNRI
VKKVLDIAKELKLN FARVQLYELSHLSALLGEQQDYETLEWLLTKLWSTRD
AQRSWPAEVLLNLGRR利CARYAAGHPIKAIRLAEDIAYNMRRAHGPRAPVT
IETYELLAQLYTSTGQTYQAQAAKGEKTAGMATDYFKKAILVHEDILRVLV
NQDHSHSHADDDDDDDMDTTARLLAREGVNVKASANTPGSPTAALDSST
LDKSATALKHLHLLKAYQRYGGWPKSYDEYEHLNAQLFRVFGTESKWKG
VEGTEKWEAKGFGSGKAESQEGGFRGVQDWNSFGAREVLMGGGAFEGRQQ
QQMMIQNQGEHQHGLQQHTQNGVAVQVR

Spot 107:

>gi|311328445| hypothetical protein [*Pyrenophora teres* f. *teres* 0-1]

MAKVDQKTVLIVIDGVGVATEKSRKDGDAILAADTPTMDEFAKEGSKTAQ
GYTELEASSLAVGLPEGLMGNSEVGHLNIGAGRVVWQDSVRIGQTIKNGKL
KDVENTIKKSFQRAIDGNGR LHFCGLVSDGGVHSHMDHLIALLKVAKDQGVP
KAYIHFFGDGRDTDPKSAVGYMETLLKATKEIGLGEIATVVGRYYIMDRDK
RWDRVEIGMKGLVTGEGEESSDPVATIKERYAKDENDEFLKPIIVGGKERRI
QDDDTVFFFNYRSDRVREITQLLGDVDRSPKPDPYPKNIDLTTMTSYNPKY
TFNVAFEPQRMTDVLAETLGKQGVKQCHVAETEKYAHVTFFFNGGVEKQF
ENEEREMVPSPKVATYDLEPKMSAMA VADKL CERIRTGKF EFLMNNFAPPD
MVGHTGVYKAAIEACTETDKAIKRVYDQCKESGYVMFVTADHGNAEEMLT
EEGTPKTSHTTNKVPFVMANAPEGWSLKTDGVLDVAPTL LATMGLQQP
EDMDGHSLLIKS

Spot 108:

>gi|311330479| hypothetical protein [*Pyrenophora teres* f. *teres* 0-1]

MQRAFASRARTSVLNSSSKLRSTS YNLQQQRFAHKELKFGVEARASLLKGV
DTLAKAVSTTLGPKG RNVLI ESSY GSPK I KDG VTVAKA ITLQDKFENLGAR
LLQDVASKTNEAAGDGT TATVLARA IFSETVKNV AAGCNPM DLRRGTQA
AVEAVVEYL RANKRDITTSEEIAQVATISANGDTHIGKLLSNAMEKVGKEGV
ITVKEGKTTEDELEVTEGMKFDRGYISPYFITDTKTA KV EFEKPLILLSEKKIS
AVQDIVPALEASQQLRRPLVIIAEDIDGEALAVCILNKL RGQLQVA AVKAPGF

GDNRKSILGDLAVLTNGTVFSDDLDIKLEKATPDMGLGSTGSITITKEDTVILN
GEJSKDQVSQRCEQIRGVINDPTTSEYEKEKLQERLAKLSGGVAVIKVGGSS
EVEVGEKKDRIVDALNATRAAVEEGILPGGGTGLLKASANALGSVKAANFD
QQLGITIVKNAITHPARKIVENAGAEHSVIVGKLMDEYKGDFNKGFNSAKGE
YVDMIAAGILDPKVVRTALVDASGVASLLGTTEVAIVEAPEEKGPPGGMPG
GMGGMGGMGGMGF

Spot 109:

>gi|311325613| hypothetical protein [*Pyrenophora teres* f. *teres* 0-1]

MSAPVDAPKPVEVPDVGTAGTVEPAPAPVVASDNTAAPVEAPTTEEAPKVV
EGEAAAAPAAEVAAETKEEDKVVTPIESGALGYKAPGLKNAFRFSKKYFWLGD
EPVAAENLREYLRGEKPEVAHSVAWSSQTGKGLFFVKHADQKEHPAGV
LNLAYATDLAKDGAFAFKISGHKHTFEAQTAEARDGWFAAVERAITEAK
ASKDGIETSDSYKEAKEKISKPAALAGATSSAPKKSMDAAPKLAEEASPAAG
EASAAPIRTGSSSSSSDEAKAKKAKNKSRSVRGKRASLFGGLGKKDKEH
KEESEAVKEDAEAKKEDGTTAPQLDEVPTSAPVNANDVVKPADETTEPTAA
VAVPEDATKVDETPAPVAQEKPKPAKRASIFGNFVEKLKSPTTEKKESEAAL
APATVKETETAESKPLEEAEVAAAPVSAEGAATETTEAKPVAAVSTPGKEKE
HFSFGKLFGSKDRAKSPAPESKVDAAPKIEDASATPVVAEPTAVEAAPVAA
ETKPEETTPATEAPKADKRKSFFGNLSRSLSKATGGKTQPKDKKDATSPAPV
VEEETTATAPVEEKKEETAVPAVGDVPAENISVGDASKSVNPTVATTADDIT
APVIRTQHSSSRNITAPSTRRNSIPSPRASHASQAAAATAGGGGGGGILDNRP
NTPLKPIPVSQRSRLPNTLAPTATTKRVKPLTQPTPVWTRSRLDKERGDW
WDTQVTGSQEIWGAIRLAAQYLQKGELQEAQTLMDVTGCTCPTGVLWRGV
YDVTGVQYKVPEWVVEPEGVNEDAGGDGDGDDGVAGAAAATEEEEDGE
GAGGEEVMVRVRTSHDQRDVSLAIRKRDVGTVVEKLKREAKLDSSFKVRL
VYSGRVYHDHETLDAVPRWNFDQDFVLTALVSAI

Spot 111:

>gi|311315271| hypothetical protein [*Pyrenophora teres* f. *teres* 0-1]

MTAPSWQEIAIQKREAILAAIPAEWRLDKLPSIEEQVDVTEYVKQYFDKKE
DITESSADVIKKAVEGHWSAVEVTCAFCHRAAVGHQLHCLHEIFFDAAIE

DAKALDAYAQHKKTIGPLHGVPVSLKDQFHVKGVETSMGYVGWIGTFEG
KKGTGKEKVESEMVKMLRNAGAVLYCKTSVPHTLMSGETVNNIIGYTLNP
KNRHLTAGGSSGGEGALIGIRGPLGLTDIGGSIRIPAAFNGLYGLRPSTCRL
PYEGMANSMDGQNTILSVVGPLATNAASLRLITQALLQQNPWFHDPLVHEIP
WRPDQEAEIKATKPLCFGVLRTDGVVNPTPPVRAIEEVVKAVRAAGHSVIE
WTPPSHRTLVDGMNSWVYDGNDVRSAFNLSGEPMSPQVSFYGSLTKEFS
ATEIAATNVELRRLKKEYMEYWNSTAQQTGTGRPVDAILSPLAPFPAAARRER
YKYYGYSSFANVLDYTSIVPVTNVDKSIDGRVGEGYQAIDEQDQRHQDDY
DPEIYHGAHVSQVLGVRRRLQEEKMIAIAEVVGGLGR

Spot 114:

>gi|311330479| hypothetical protein [*Pyrenophora teres* f. *teres* 0-1]

MQRAFASRARTSVLNSSSKLRSTSYNLQQQRFAHKELKFGVEARASLLKGV
DTLAKAVSTTLGPKGPNVLISSYGSPIKITKDGVTVAKAITLEQDKFENLGAR
LLQDVASKTNEAAGDGTTATVLARAIFSETVKNVAAGCNPMDLRRGTQA
AVEAVVEYL RANKRDITTSEEIAQVATISANGDTHIGKLLSNAMEKVGKEGV
ITVKEGKTTEDELEVTEGMKFDRGYISPYFITDTKAKVEFEKPLILLSEKKIS
AVQDIVPALEASQQLRRPLVIIAEDIDGEALAVCILNKLRGQLQVAAVKAPGF
GDNRKSILGDLAVLTNGTVFSDDLDIKLEKATPDMLGSTGSITITKEDTVILN
GEGSKDQVSQRCEQIRGVINDPTTSEYEKEKLQERLAKLSGGVAVIKVGGSS
EVEVGEKKDRIVDALNATRAAVEEGILPGGGTGLLKASANALGSVKAANFD
QQLGITIVKNAITHPARKIVENAGAEHSVIVGKLMDEYKGDFNKGFNSAKGE
YVDMIAAGILDPFKVVRTALVDASGVASLLGTTEVAIVEAPEEKGPPGGMPG
GMGGMGGMGGMGF

Spot 115:

>gi|311325907| hypothetical protein [*Pyrenophora teres* f. *teres* 0-1]

MSVRTVELKPFQDKPGTSGLRKKVKVFQQEHYSEAFVTSILQSIEPGVEGSF
LVVGGDGRYWNPEVTQTIKIGAAYGVKKLLIGQNGIMSTPAASHIIRRKAT
GGILLTASHNPGGPDEDFGIKYNLANGAPAPESVTNKIYETSKTLTSYKIADIP

DIDLSTIGTQKYGNLEVEIVHSTEDYLKMLKIDFDFDLIKSFLKEHSDFKVLFD
GLSGVTGSYGVDFIFEKELGIPNSTQNCVPKPDPFGGHHPDPNLVYAKSLVDAV
DKNGIQFGAASDGDGDRNMIYGANSFVSPGDSLAIIAHHAEIIPYFKKQGIYG
LARSMPTSGAIDLVAKKKGVCYCDEVPTGWKFFCGLFDSDKMNICGEESFGT
GSNHIREKDGLWAVVAWLNLAGVGQQGTTPSIASVQKDFWKTYGRTFFT
RYDYEGCETEGANKVTSHMKELITTKDEFVGSTVAGRKVVEADDFSYTDL
DGSVSKNQGIFVKFDDGSRIVVRLSGTGSSGATIRLYIEKHTSDESTYDMDAQ
DYLKDNVKLATDLLKLQEYIGRTEPDVKT

Spot 116:

>gi|311324041| hypothetical protein [*Pyrenophora teres* f. *teres* 0-1]

MSAFSRNLCSTASRNLRSSVLA KATRPIALRATLSTPFVSPSVAAPAFSTM
AALKSSVPQTLSKREYDPEIKDMANYIHNTAIDSELAYDTARWVFVDTLGCG
LEGLRFEQCRKILGPVVEGTTVPNGTKVPGTNYQLDPVNGAFNIGAMIRWLD
FNDCWLAAEWGHPSDNLGAILATADWITRTNKAGGNLNGKIFKVRDILEA
MIRAHEIQGCMALENSFNKVGLDHVILVKLASTAVVSKMMGLSESQTRDAIS
QAFVDGQSMRTYRHSPNTMSRKSWAAGDACQTAVNVLVLKVMGEQGLPT
VLSAPTWGFYDVNF GGKPFQFQRGYGSYVMENVLFKVSYPAEFHSQTAVEA
AQRLNKKLKAMGKSAKDIESVVNRTHEACIRIIDKQFKPMENFADRDHCVQ
YMVSTMFVNRLEATDYPDDSEAATSELVESLRQRISCVEDPQFTKDYHDPE
KRTISNALTVTLDGTVLDEEVVEAPLGHRLRREEAKPEILAKYKRHLGPHF
PAEHVDKLVALAQDSKSLDNMDIDEYVDLYVKN

Spot 117:

>gi|311320699| hypothetical protein [*Pyrenophora teres* f. *teres* 0-1]

MPGFAQASDLNAWSALQDHHQKLGKDVLKEYFKKDPQRFEKFSRTFKND
AENSEILFDFSKNFITEETLKLLVELAKEAGLEKLRDDMAGEKINFTE NRAV
YHVALRNTSNQTMKVDGQSVVEDVNSVLDHMKEFSEQVRSGEWKGYTGK
KIDTIINIGGSDLGPVMSEALKAYSQRDLKIHFVSNIDGTHIAEALKDSNP
ETSLFLIASKTFTTAETVTNANTAKSWFLSAKQEDIAKHFVALSTNEAEVTK
FGIDKKNMFGFSDWVGGRYSVWSAIGLSVALYIGFDNFHQLLAGAHAMDK

HFKETPLEQNIPVIGGLLSVWYSDFGAQTHLVSPFDQYMHRFPAYLQQLSM
ESNGKAIRSGDYVKYTTGPILEPATNAQHSFYQLHQGTKLIPTDFILAA
KSHNPVENNKHQKMLASNFFAQAEALMVGKTPDEVKAEGAPEELVAHKTF
LGNRPTTSILADKITPATLGALIVYYEHLTFEGAIWNINSFDQWGVELGKSL
AKKIQAELDDDKESTAHDASTSGLINAFKKKSTL

Spot 119:

>gi|311325907| hypothetical protein [*Pyrenophora teres* f. *teres* 0-1]

MSVRTVELKPFQDQKPGTSLRKVKVFQQEHYSEAFVTSILQSPEGVEGSF
LVVGGDGRYWNPEVTQTIKIGAAYGVKKLLIGQNGIMSTPAASHIIRIRKAT
GGILLTASHNPGGPDEFGIKYNLANGAPAPESVTNKIYETSKTLTSYKIADIP
DIDLSTIGTQKYGNLEVEIVHSTEDYLKMLKDIFDFDLIKSFLKEHSDFKVLFD
GLSGVTGSYGVDFIFEKELGIPNSTQNCVPKPDPFGGHHPDPNLVYAKSLVDAV
DKNGIQFGAASDGDGDRNMIYGANSFVSPGDSLAIIAHHAEIIPYFKKQGIYG
LARSMPTSGAIDLVAKKKGVQCYEVPTGWKFFCGLFDSDKMNICGEESFGT
GSNHIREKDGLWAVVAWLNLAGVGQQTGTTPSIASVQKDFWKTYGRTFF
TRYDYEGCETEGANKVTSHMKELITTKDEFVGSTVAGRKVVEADDFSYTD
LDGSVSKNQGIFVKFDDGSRIVVRLSGTGSSGATIRLYIEKHTSDESTYDMDA
QDYLKDNVKLATDLLKLQEYIGRTEPDVKT

Spot 122:

>gi|187981217| Dihydrolipoamide acetyltransferase component of pyruvate dehydrogenase [*P. tritici-repentis*]

MPATTLLSRAGSQLASRGSIALRGAFSAAPCSQRTPALSALARYYASKSYPS
HSVISMPALSPTMTSGNIGAWQKKVGDSIAPGDVLVEIETDKAQMDFEFQEE
GTIAKILRDAGEKDVAVGSPIAVMVDEGADVSafeGYTIEDAGGDKKPETPS
KEGEASEASEPPSSNSKTAPPAKESAPAAIESESTGDRLETALQRQPAISPAA
KKLALEKGVPISAIGTGKGMVTKEDIEKYKPAGGASGSAAGVASYEDTE
ATSMRKVIASRLRESMENPHYFVASSISVSKLLKLREALNASADGQYKLSV
NDLLVKALIAARKVPAANSSWREENGKVMIRQHNVDVSVAVSTPVGLM
TPIVKNVNGLLSSISSLQIKDLGKRARDGKLKPEEYQGGTITISNMGMNPAVE

RFTAVINPPQACIVAIGT KKVA VPGE PSEDGTASIE WDDQIVITGSFDHKVV
DGAVGGEFMRELKKAIENPLEML

Spot 123:

>gi|311324041| hypothetical protein [*Pyrenophora teres f. teres* 0-1]

MSAFSRNLCSTASRNLRSSVLA KATRPIALRATLSTPFVSPSVAAPAFSTM
AALKSSVPQTLSKREYDPEIKDMANYIHNTAIDSELAYDTARWVFVDTLGCG
LEGLRFEQCRKILGPVVEGTTVPGTNYQLDPVNGAFNIGAMIRWLD
FNDCWLAAEWGHPSDNLGAILATADWITRTNKAGGNLNGKIFKVRDILEA
MIRAHEIQGCMALENSFNKVGLDHVILVKLASTAVVSKMMGLSESQTRDAIS
QAFVDGQSMRTYRHSPNTMSRKSWAADACQTAVNVLKVMGEQGLPT
VLSAPT WGFYDVNF GGKPFQFQRGYGSYVMENVLFKVS YPAEFHSQTA VEA
AQRLNKKLKAMGKSAKDIESVVNRTHEACIRIIDKQFKPMENFADRDHCVQ
YMVSTMFVFNRL EATDYPDDSEAATSELVESLRQRISCVEDPQFTKD YHDPE
KRTISNALT VTLKDGTVLDEEVVEAPLGHRLRREEAKPEILAKYKRHLGPHF
PAEHVDKLVALAQDSKSLDNMDIDEYVDLYVKN

Spot 124 (1):

>gi|311324131| hypothetical protein [*Pyrenophora teres f. teres* 0-1]

MPEVVDPRMISVT PRIR YNTIGGVNGPLVILDNVKFPRYNEIVSLTPDGTERS
GQVLEARGNRAVVQVFEGTSGIDVKKT KVEFTGHSLKLGVSE DMLGRIFDG
SGKPIDKGPKVLAEDYLDINGSPINPYSRVYPEEMISTGISAIDTMNSIARGQKI
PIFSSSGLPHNEIAAQICRQAGLVGKPTKGVHDDHDDNFSIVFGAMGVNLETS
RFFTRDFEENGSMERVTLFLNLANDPTIERIITPRLALTAEYYAYQLEKHVL
VILTDLSSYCDALREVSAAREEVPGRRGYPGYMYTDLSTIYERAGRVEGRNG
SITQIPILTMPNDDITHPIPDLTG YITEGQIFVDRQLDNKG IYPPINV LPSLSRLM
KSAIGEGRTRKD HGDVSNQLYAKYAIGRDA AAMKAVV GEEALSSED KLSLE
FLEKFERSFIAQGAYESRSIHESDLAWSLLRIYPKELLNRIPAKVL DQYYQRS
RGGDNGEAKKGSKDTKD NSGEEQQGENLIDV

Spot 124 (2):

>gi|311329057| hypothetical protein [*Pyrenophora teres f. teres* 0-1]

MAKTASFAFATLLLAAQIALAVPSDATKKACAEINNALPGKVLTSGLLAIYEY
THETQQYWATNLREVDPACIVQPNSAQDVSIAVKILNKYPVSQFATRSGGHD
PNNGHAAVQDGVLITMTDLVGATYDSDEDVAYVRPGGEWNDVIGDLEKSG
VAISGGRLGLVGVGGLLGGGLSFLNAQEGLAADNIIEWETVMANGSVYYV
NADRHPDLAQAMRGSGQFGIVTQFKAKVHHMGNIWGGSCFYDAIKEDEL
YAALHNFGVGHGAEDPKAAIIFSDLVFPAGLTKLIFYFYDNPKPPTSGPFADF
FKVNLACLPKTQKYSELLRANGEPVRLLNARSFFRTYTIPYIPSRPQMYKEI
RDNMAKLAGPFLDSLPLVRAVQFSVDFQPLPSIFGKVSATKGGNAMGLTSSD
PDRIVLIYQAAWNFATDDLAYGIARNITAWLDEVVPQWLEEAGMSKDLYL
PLFFNDAMWDQPVLQSYKDYEKFKALQKSVDPNGFFSTRSGGFKF

Spot 128:

>gi|311324579| hypothetical protein [*Pyrenophora teres* f. *teres* 0-1]

MPTIGVDKAALYKELGREYTTQEFDELCFEFGIELDEDTSESTKPEDLAQPPQ
LKIEIPANRYDMLCFEGIAMNLKVLEQQQLPKWTVTAPPSGELQVLDIKPET
KQIRELCSGVVLRGIKFTKERYESFIALQDKLHSNLARQRTLVSIGTHDLDTIK
GPFSYEALPPEQIKFVPLNQEKEEMNGKELMEFYEKDKHLGRFLHIIRDSPVYP
VIYDANRTVSLPPIINGNHSKITLDTKNVFIEITATDKTKVEIVNHMLVAMFA
GYADSIPIKIISPHNGESRESPDLSPREMQAEVDYLNQVTGLDLSPEEISKLLS
RMGHDVSPSKSDKNILDVSVPITRADILHQADIMEDYAIAYGFNKLPRVYPN
KTAAVSAPLPINKLSDIVRLESASAGWTEVPLILCSHEENFEWLNKDDGKT
AVKLANPKTAEYQLVRTSLLPGLKTINSKHHSVPMKIFEASDVGLVDLEQ
ERKSRNERHFAAFMGKTSGFEQVHGLLDRLMLMLQSAFLTREDGLKNEQL
QGYWIEEVDDPTFLAGHSAAIKLNLGGKNHTIGVFGILHPSVLQKFELPYPPVS
TLEFNLEVFL

Spot 130:

>gi|311320672| hypothetical protein [*Pyrenophora teres* f. *teres* 0-1]

MEAIKGTVNSALEKLNIGGQAQGTPAKEPSEEHLNELKSKYQKAGQEJVFA
FYDKLSAAEKATLYEQLSNFNPEYINEITERALHPAQSEATETKLEPLPEDAT
SSVLDSSQGDLDQWYTSGLELIAENKVAVVL MAGGQGTRLGSSAPKGCFDI

GLPSKKSLFQLQGERIRKAEMLAAKKHKNKDSVTIPWYVMTSGPTRGPTADFF
AKHNYFGLKKENVVIFEQGVLP CISNEGKILLESKLKVAVAPDGNNGGLYQAL
IQSGVVADMGKRGHQHIAYCVDNCLVKVADPVFIGFSASKNVDIATKVVR
KRNAKESVGLLQKNGKPDVVEYSEISTEDAEAKDSKDSELLKFRAANIVNH
YYSYKFLESIPEWAKKLPHHVARKKIPFVNTEGETVKPEKPNGIKLEQFVFD
CFPFLTLEKFACMEVKREDEFSPKLNARGTGEDDPDTSKQDINTQGKKWVQ
AAGATVVSDDPKDGIEVSPLISYGGEGLDFLKTRTVKAPAVIESED

Spot 131 (1):

>gi|311331024| hypothetical protein [*Pyrenophora teres* f. *teres* 0-1]

MVSISNPTQIFAEDVTEEKGENARLSAFVGAIAVGDLVKSTLGPKGMDKILQ
SASTGEIMVTNDGATILKAI ALDNAAAKVLVNISKVQDDEVGDGTTSVTVLA
AELLREAELV DQKIHPQTIIEGYRIASNAALKQLEKIAVDHSQDETAFRKDL
ESIARTTLSSKVLSQDREQFAKLA VDAVLKLGGSTD LTHIQIIKKAGGKLKDS
YLDEGFILD KFGVNQPKRIENAKILVANTAMDTDKIKIFGARVKVDSTGKL
AELEKAEREKMKA KVERIKAHGINC FVN RQLIYNWPEQLFADAGICSIEHAD
FDGIERLALVTGGEITSTFDHPENVKLGYCDLVEEVIIGEDVLIRFSGINAGRA
CTIVLRGATEQLLDEAERSLHDALAVLSQTIKEPRTTLGGGCAEMNMAKAV
MEAAQNVAGKKAIAVESFSKALQQLPTILADNAGFDSSDLVTRLR KAVYSG
LTSSGLDLLSPGGITDMRELGVIESYKLKRAVVSSASEAAELL RVDNIIRSA
PRRRERM

Spot 131 (2):

>gi|187978674| T-complex protein 1 subunit beta [*P. tritici-repentis*]

MSNPTQIFAEDVTEEKGENARLSAFVGAIAVGDLVKSTLGPKGMDKILQSAS
TGEIMVTNDGATILKAI ALDNAAAKVLVNISKVQDDEVGDGTTSVTVLAAE
LLREAELV DQKIHPQTIIEGYRIASNAALKQLEKIAVDHSNDETAFRKDLESI
ARTTLSSKVLSQDREQFAKLA VDAVLKLGGSTD LTHIQIIKKAGGKLKDSYL
DEGFILD KFGVNQPKRIENAKILVANTAMDTDKIKIFGARVKVDSTGKLAE
LEKAEREKMKA KVERIKAHGINC FVN RQLIYNWPEQLFADAGICSIEHADFD
GIERLALVTGGEITSTFDHPENVKLGHCDLVEEVIIGEDVLIRFSGINAGR ACTI

VLRGATEQLLDEAERSLHDALAVLSQTKEPRTTLGGGCAEMNMAKAVME
AAQNVAGKKAIAVESFSKALQQLPTILADNAGFDSSDLVTRLRKA
VYSGLTS
SGDLLSPGGITDMRELGVIESYKLKRAVVSSASEAAELLRV
DNIIRSAPR
RRERM

Spot 133:

>gi|311330637| hypothetical protein [*Pyrenophora teres* f. *teres* 0-1]

MAHLDPYFKQVDALQGNFIERLREAVAIPSISSEDQRRPDVV
KM GHWLADQI
KALGGTVELRELGKQPGREHLDLPPCLLGRYGD
DPKKVNVLVYGHYDVQP
ANKSDGWATDPFTLSIDDKDRMYGRGSTD
DKGPV
LGWLNAIEAHQKAGVE
LPVNLVMCFEGMEENGSEGLDDTIRAEAKFFKD
VDVV
CISDN
YWLGTEKP
CLTYGVRCNYQIEVSGPGQDLHSGVYGGM
THEPM
TDLVRIMNSLV
DPD
GKILIKGVDDL
VAPL
TEEEAALY
PPIAFTMDGLRESLG
GETAI
HDNKEDALKH
KMRYPSL
SLHGIEGA
FYSEGAKTV
PAKV
IGKFS
IRTVP
NMEIDPV
TKLVEKH
I
NDEF
AKLKS
KNMKFS
VVHCG
KWW
VEDPN
HPNY
TAA
AA
KA
VER
VFGVKPD
MTREGGSIPV
TLTFQEELG
KNV
LLL
PMGS
STD
AAHS
INEK
LDR
RNY
IEGT
KLL
GAYLHY
VAAELKRD

Spot 135:

>gi|311324131| hypothetical protein [*Pyrenophora teres* f. *teres* 0-1]

MPEVVDP
RMISVTP
RIRYNTIG
GVNGPLV
ILDNV
KFPR
YNEIVS
LTLPDG
TERS
GQVLEARG
NR
AVVQVF
EGTSG
IDV
KKTK
VEFT
GHSL
KLGV
SEDMLG
RIFDG
SGK
PIDKGPKV
LAEDY
LDING
SPIN
PYSR
VY
PEEM
ISTG
ISA
IDTM
NSIARG
QKI
PIFSS
GLPH
NEIA
AQIC
RQAGL
VGK
PTKG
VHDD
HDDN
FSIVFG
AMGV
NLETS
RFFTRD
FEENG
SMER
VTFL
LN
LAND
PTIER
IITP
RLALT
TAEYY
AYQLE
KHVL
VIL
TDL
SSYCD
ALREV
SAARE
EVPG
RRGY
PGY
MY
TDL
STIY
ERAGR
VEGR
NG
SIT
QI
PILT
MPN
DDITH
PIP
DLTG
YITEG
QIF
VDR
QLDN
KG
IY
PP
INV
LPS
LS
RLM
KSAIG
EGR
TRKD
HGD
VS
NQL
YAK
YAIG
RDA
AAM
KA
VV
GEE
AL
SSED
KLS
LE
FLEKF
ERSF
IAQG
AYE
RSI
HES
LAW
SLL
RIY
PKELL
N
RIPAK
VLD
QYY
QRS
RG
GD
N
GEAK
KGSK
DTK
DNS
GEE
QQGEN
LIDV

Spot 138:

>gi|311333477| hypothetical protein [*Pyrenophora teres* f. *teres* 0-1]

MSRNSSVSSPSEATRLRSSPTQSARQARQPNTRTSLVTHTILSLLVLLALGTA
FFAPHLNAVRLVAKHHAASFTLRNPIVLQEPMCPKPEQQVEFVGTFRNQ
HKRSMALADQAKRVAAEFDFSDDALNKAVKEFIREMDEGLGKEGTEMSQIP
TYVTAVPNGTEKGLYMAVDLGGTNFRVCSELHGNTTSLTQSKVAIPRELM
VAKTSKELFSFLAKQIEAFLKLHHEEHYAGTLRRREGKGGEPEDEEIFNLGFT
FSFPVHQIGINKGMLRWTKGFDIQDAVGKDVCALLQQEIDELHLPVKVAA
LVNDTVGTLMARSYTSPGKTGTLGAIFGTGTNGAYVEKLGKVSKLTQSEN
AGVYDKSTGEMIVNTEWGSFDNSLRTLPNSPYDIELDKNSVNPGIQMFKEKRV
SGMFLGELLRLALIKLIKDPSPVPLFTDDNNSNDVHSTTQIHGSPIWKQWGI
DTSFLSVCAGDHSPGLRMLRQTLKDYDISAVSAEDAEAVREIAAAIGRRAA
RLAAVAVIAGVIINTGRLDKSSDSVNTEGDEIDVGVD GSLVEFYPNFEYIREA
LRAVPEIGTKGEKRVIRIGIAKDGSVGAA ALIALVAGKVNA P Q

Spot 139:

>gi|311328404| hypothetical protein [*Pyrenophora teres* f. *teres* 0-1]

MSDEVYEGAIGIDL GTT YSCVANYEGTNVEIIANEQGSFTPSFVSFTSDERLI
GEAAKNQAAMNPENTVFDVKRLIGRRFEDET VTKDIKSWPFKVVDQNGSPL
VEVEYLGEKKQFSPQEISAMVLV KMKEVAETKLGMKVEKAVITVPA YFNDN
QRQATKDAGAIAGLNVLRIINEPTAAAIA YGLGSGKSDKERNVLIYDLGGGT
FDVSSLHIQGGVFTVKATAGDTHLGGSDFTALLDHFRKEFTKKYSKEHLM
DSMLHDIAWNCLAHESYHNPSFDAAFPTRDAFVSAFDLSLGFEFCPGLLDVVA
SDDPP TLDWFKVSGLDIFADKDQIPHKS WGIYMHFYVKPEREALTYVGSATA
AAFGIRARLKDYRTLHAMSQTILD AIRNGYTL DHTVILGHCP IPPSRQPILRG
VCLSTETAFHAI FWPMRSKDKEYGHLGDQQLWDPEDLSYGLCTHSPLLES
LDGLELTAEELDIIAETRRRK NELLAKWCRDDNIKQRANPTPEFRAKRRAIN
KARYKTRKRKRDADVANKAHYYISGDARALRRLRTACERA KRTLSNATQT
TVEIDSLFDGEDFNANITRARFEDLNQKA FVGTLDPVAQVLKDANI AKDKVD
EIVLVGGSTRIPKIQKLLSDYFNGKKLEKSINPDEAVAYGAAVQAGILSGKAT
SAETADLLL DVVPLSLGVAMEGNIFAPVVPRGQTVPTIKRTFTTVADNQQ

TVQFPVYQGERVDCEENNTSLGEFTLAPLPLRAGEAVLEVVFEDVNGILKV
TATEKSTGRSANITISNAVGLSSSDIETMINDAQKFCTSDEAFSKKFESRQQL
ESYISRVEEMVSDPTTSIRLKRGQKEKIESALSDAMAQLEIEDAPADDLKKKE
LALKRVVTCAFSTR

Spot 147 (1):

>gi|311323498| hypothetical protein [*Pyrenophora teres* f. *teres* 0-1]

MPSNINSAGHENSLISSLSSRVSQLSASIVGYLDTNGHGQPDFTRCSAVVPET
REYEVLRNQMNDTILDHLRLVNGPKNIFRTQNYLVGDQAATQVALSRKYFQ
HVPADDTGISAALAAEKAGMDEDRTTRFLKILATQRIFEEVEGKFRHTATSEF
LRTSVCAGAMAELSYDDTFKAASEMNKHIDEFPYSAGLKECAFYRKFGSTYY
EVLEQDPKRAARFFDAMKGWSLMDDGNRVLRGFDWSKLHDKKVVDIGG
GDGHVSLDLAREYPKLKVVVQDAFSHQLSAAEATEFGDRVSFQQYDYFTPQ
PIRDAGAYLFRSCFHNNDEECAKMLQAIIPALVNRTDGPRLLINDCIVPECA
EGDIRSEEHQHRQMDMIMLVYFGGKGRTERDWRRLMESVDQRLEIMKMQ
YNPRGGGLLEVRLNDGIALSRTV

Spot 147 (2):

>gi|311326138| hypothetical protein [*Pyrenophora teres* f. *teres* 0-1]

MSEPEFEQARKELVSTLEASSLFSKNPEYKKALEVVSVPERIIQFRVVWENDK
GECQVQKGYRVQFNSALGPYKGGLRFHPTVNLSILKFLGFEQIFKNALTGLN
MGGGKGGCDFDPKGKSDNEIRKFCVAFMRELNKHIGADTDVPAGDIGVGG
REIGYLFGAYRAERNRWEGLTGKGGSWGGSLIRPEATGYGLVYYVEHMIN
YASGGKESFAGKRVVALSGSGNVAQYAALKIIELGGTVISLSDSKGALIAEDD
KGFTPEINQIAALKLERKALTLENHNFKYIEGARPWKEVKVVDVALPSAT
QNEVSEDEAKALIESGAKYIAEGSNMGCTQEAIIEVFEAHRREKKGDIAIWYAP
GKAANAGGVAVGSGLEMAQNSQRLSWTAEEVDEKLKGIMRDCFENCLSTAK
EYFTPAEGEFP SLVGGANVAGFRK VAA MHDQGDWW

Spot 152:

>gi|311330702| hypothetical protein [*Pyrenophora teres* f. *teres* 0-1]

MPATTTLLSRARGQLASRGSIALRGAFSAAPCSQ RTPALSALARYYASKSYPS
HSVISMPALSPTMTSGNIGAWQKKVGDSIAPGDVLVEIETDKAQMDFEFQEE
GTIAKILRDAGEKDVAVGSPIAVMVDEGADISAFEGYTIEDAGGDKKPDTPS
KEGEASEASEPSSNSKTAPPAKESAPAAIEESTGDRLETALQRQPAISPAAK
KLALEKGVIPISSIKGTGKGGMVTKEDIEKYKPAGGAPGSAAGVASYEDTEAT
SMRKVIASRLRESMNENPHYFVASNISVSKLKLREALNASADGQYKLSVND
LLVKALAIAARKVPAANSSWREENGKVMIRQHNVVDVSVAVSTPVGLMTPI
VKNVNGLGLSSISSLQIKDLGKRARDGKLKPEEYQGGTITISNMGMNPAVERF
TAVINPPQACIVAIGTTKKVAVPGEPSEDGTASIEWDDQIVITGSFDHKVVDG
AVGGEFMRELKKAIENPLELML

Spot 155:

>gi|311322842| hypothetical protein [*Pyrenophora teres* f. *teres* 0-1]

MTEPGDFGLIGLAVMGQNLILNAADHGFTVVAFNRTVAKVDRFLNDEAK
GKSIVGAHSMEEFVSKLKKPRRMMLLVMAGKPVDDFIELILQAGAEEGDIID
GGNSHYPDTNRRTNYLKSKGIRFVGSGVSGGEEGARYGPSIMPGGNEEAWP
YIKDVLQSISAKSDGEACCQWVGDEGAGHYVKMVHNGIEYGDMQLICEAY
DIMKRGGLGMKNKEIGDVFTQWNKGVLDSFLIEITRDIMYKNDDDGVAIVEKI
LDSAGQKGTGWTAINALDLGMPVTLIGEAVFARCLSSLQERGRAAGLLD
GPTPSFSGDRQAFIDNLEQALYASKIISYAQGFMLIQNAKEYWKLNKPEIA
LMWRGGCIIRSVFLKEITSAYRKNPENELENLLFDEFFSKAIHKAQSGWRDVVS
KGALWGIPTPAFSTALSFYDGYRAKDL PANLLQAQRDYFGAHTFRKPEYAN
ATYKEGQDIHVNWTRGGGNISASTYNA

Spot 156:

>gi|311316573 | hypothetical protein [*Pyrenophora teres* f. *teres* 0-1]

MKDIVSAISHRFHGLSKSKAAVGSPPPPDKAPATPVRHANTPTTANTPTPA
TVKMSPLNKALPALPTSRCVTPTVETLKNDYLSFDMDKLGIEPEHRQWFAA

VNTSIHRCGDTMDPSHDYQYIRRIVSNAANILHNESKQNEWARRIDPVVIWV
ACMIHDVSSIIYRDAGEIWAQTDIVNAFLEPLGCPAGIRYQAARIVAKISYTSE
MVDEEGVKTFADENHAFCIVQDAVRLDKLGAVGVSRRFSHEGNNAFRDYEL
IDNGIGFVEKRFVHYTRLMKTETGREMAEERYKWMLIEGSSSEKYSVYNPT
NDEIVGEINLADAAEVDAAVAAAREAYENGWPKFNQRAKVMLKLADL
IEANGAEITKAEVTAMGQPTSIMGGWIVPMVATTWRYYAGWADKIEGQTYP
LEDGAFRITQYEPEYGVCAGIGPWNVSIMTMWAKMAPALAAGNTFVFKGSE
KSPFSILVIARLFEEAGFPPGVVNILTGAGKTGALLAGHMDIDKISFTGSGDSG
KKVVDAANKSNMKRVTLLELGKSPSLVFDDADFDAAIAANSQGFLNSGQA
CIATSRLFVQSNIADKFIATLKTHFEAGAAGMMGDPSDVNTRLGPLADTKQLE
RVLGYIEAGKTEAKLLVGERKGDKGAFVTPTIFLNPGKDSTIYKEEIFGPVL
SVLTFDTEEEAIKLANDISYGLSAAIYTEMNSRALRVSSKIKAGTIGINSGYAP
DNMMPFGGYKQSGMGRELGKEGLLAYMQSKSIRNL

Spot 158:

>gi|311325907| hypothetical protein [*Pyrenophora teres* f. *teres* 0-1]

MSVRTVELKPFQDQKPGTSGLRKKVVFQQEHYSEAFVTSILQSIPEGVEGSF
LVVGGDGRYWNPEVTQTIKIGAAYGVKKLLIGQNGIMSTPAASHIIRIKAT
GGILLTASHNPAGPDEDFGIKYNLANGAPAPESVTNKIYETSKTLTSYKIADIP
DIDLSTIGTQKYGNLEVEIVHSTEDYLKMLKIDIFDFDLIKSFLKEHSDFKVLFD
GLSGVTGSYGVDFIFEKELGIPNSTQNCVPKPDFGGHHPDPNLVYAKSLVDAV
DKNGIQFGAASDGDGDRNMIYGANSFVSPGDSLAIIAHHAEIIPYFKKQGIYG
LARSMPTSGAIDLVAKKKGVQCYEVPTGWKFFCGLFDSDKMNICGEESFGT
GSNHIREKDGLWAVVAWLNLAGVGQQTGTTPSIASVQKDFWKTGRTFFT
RYDYEGCETEGANKVTSHMKELITTKDEFVGSTVAGRKVVEADDFSYTDL
DGSVSKNQGIFVKFDDGSRIVVRLSGTGSSGATIRLYIEKHTSDESTYDMAQ
DYLKDNVKLATDLLKLQEYIGRTEPDVKT

Spot 159:

>gi|311320672| hypothetical protein [*Pyrenophora teres* f. *teres* 0-1]

MEAIKGTVNSALEKLNIGGQAQGTPAKEPSEEHLNELKSKYQKAGQEJVFA

FYDKLSAAEKATLYEQLSNFNPEYINEITERALHPAQSEATETKLEPLPEDAT
SSVLDSSQGDLDQWYTSGLELIAENKVAVVLMAGGQGTRLGSSAPKGCFDI
GLPSKKSLFQLQGERIRKAEMLAAKKHNKDSVTIPWYVMTSGPTRGPTADFF
AKHNYFGLKKENVVIFEQGVLP CISNEGKILLESKLKVAVAPDGNNGGLYQAL
IQSGVVADMGKRGHQHIAYCVDNCLVKVADPVFIGFSASKNVDIATKVVR
KRNAKESVGLLQKNGKPDVVEYSEISTEDAEAKDSKDSELLKFRAANIVNH
YYSYKFLESIPEWAKKLPHHVARKKIPFVNTEGETVKPEKPNGIKLEQFVFD
CFPFLTLEKFACMEVKREDEFSPKLNARGTGEDDPDTSKQDINTQGKKWVQ
AAGATVVSDDPKDGIEVSPLISYGGEGLDFLKTRTVKAPAVIESED

Spot 162 (1):

>gi|311333111| hypothetical protein [*Pyrenophora teres* f. *teres* 0-1]

MAGRFRASKYRHVFGKGTKEQCYDNLRISRNAWDTNLIKANPEYISVN
WESSGGAFAVIPINERGRAPDQLPLFRGHTAAVLTDWSPFNDLSSASDD
GKVFIWKVPENFTLYTDAEEPADVAPVAKLSGHMRKVGHVLFNTAAENVL
ASSSGDYTVKVWDVEAGTPQLTLKHNDIVQSLWSADGMLVTTSRDKKLR
IWDVRQEKPQEVPGHPGAKNSRCVWMGETDRIATTGFSRMSDRQLGLWD
PRNPKEPIGGFQILDISGVCMFWDDGTQCLYLAGKGDGNIYYEYENDKF
EYLSEYKSGDPQRGIAFLPKRGINLHENEVLRCFKTVADAYVEPVSFIVPRRS
EMFQSDIYPPTTGLKAGVSAKEWFGGKTAMPPKISLESVYEGEAPKEVENDY
KPSQPITSQVSPA KAEPPKPAPEPTPIASRGPPPAMKDHKDSMASAASKFADR
DEASDNE SASSFEEISKPADRRTFTAARQEEKTRGPVMTKEPEAVKPTPSHTP
TPSVRSAAPAASSPASTTASTSTPSSGGPAT ALRDALGDIKSQLEQQNKVMS
DQSEQIAILLREVSHLKS KVAAAEP SDREKDERIRQLELELEEARS

Spot 162 (2):

>gi|311322873| hypothetical protein [*Pyrenophora teres* f. *teres* 0-1]

MATRPSNIGIKAIELYFPSQCVDQSELEKFDGVSQGKYTIGLQTKMSFCDDR
EDIYSLALTTVSSLFKKYNVDPKSIGRLEVGTETLLDKSKSVKSVMQLFDES
GNYNIEGVDTVNACYGGTNALFNSVNWISSGWDGRDAVVVAGDIALYKK
GNARPTGGAGCVAMLIGPNAPIVMDAGQRGSYIRHAYDFYKPDLTSEYPIVD

GHFSIRCYTEAVDACYKAYNEREKTAKAQQNGHAVHQDVETPLDRFDYMA
FHAPTCKLVAKSYARLLYNDYLANPTNPIFADVPAELRDLHYATSVTDKTVE
KVFMGLAKKRFASRVQASIQVPTQCGNMYCGSVYGSCLSLIANISSQDLQGK
RIGMFSYGSGLASSLFSFTVKGDTENIAKQLDIQRNRLEQRRVVAPEVYDEMC
NLREQAHLQKDYPKGSAETILPGTYLTGVDSMFRRSYEIKQ

Spot 163:

>gi|311330637| hypothetical protein [*Pyrenophora teres* f. *teres* 0-1]

MAHLDPYFKQVDALQGNFIERLREAVAIPSISSEDQRRPDVVKMGHWLADQI
KALGGTVELRELGKQPGREHLDLPPCLLGRYGDPPKKVNVLYVGHYDVQP
ANKSDGWATDPFTLSIDDKDRMYGRGSTDDKGPGVLGWLNAIEAHQKAGVE
LPVNLVMCFEGMEENGSEGLDDTIRAEAKKFFKDVDVVCISDNYWLGTEKP
CLTYGVRGCNYQIEVSGPGQDLHSGVYGGMTHEPMTDLVRIMNSLVDPD
GKILIKGVDDLVALTEEEAALYPPIAFTMDGLRESLGGETAIHDNKEDALKH
KMRYPSLSLHGIEGAFYSEGAKTVIPAKVIGKFSIRTVPNMEIDPVTKLVEKHI
NDEFAKLKSKNMKFSVVHCGKWWVEDPNHPNYAAAKAVERVFGVKPD
MTREGGSIPVTLTFQEELGKNVLLPMGSSTDAAHSINEKLDRRNYIEGTKL
GAYLHYVAAELKRD

Spot 165:

>gi|311330637| hypothetical protein [*Pyrenophora teres* f. *teres* 0-1]

MAHLDPYFKQVDALQGNFIERLREAVAIPSISSEDQRRPDVVKMGHWLADQI
KALGGTVELRELGKQPGREHLDLPPCLLGRYGDPPKKVNVLYVGHYDVQP
ANKSDGWATDPFTLSIDDKDRMYGRGSTDDKGPGVLGWLNAIEAHQKAGVE
LPVNLVMCFEGMEENGSEGLDDTIRAEAKKFFKDVDVVCISDNYWLGTEKP
CLTYGVRGCNYQIEVSGPGQDLHSGVYGGMTHEPMTDLVRIMNSLVDPD
GKILIKGVDDLVALTEEEAALYPPIAFTMDGLRESLGGETAIHDNKEDALKH
KMRYPSLSLHGIEGAFYSEGAKTVIPAKVIGKFSIRTVPNMEIDPVTKLVEKHI
NDEFAKLKSKNMKFSVVHCGKWWVEDPNHPNYAAAKAVERVFGVKPD
MTREGGSIPVTLTFQEELGKNVLLPMGSSTDAAHSINEKLDRRNYIEGTKL
GAYLHYVAAELKRD

Spot 166:

>gi|311327902| hypothetical protein [*Pyrenophora teres* f. *teres* 0-1]

MDEIAPEYDVVVLGTGLTECVLSVKGKKVLHIDRNDHYGGEAASLNI
EALFKRYGQTEGEPWKKYGRVNDWNIDLVPKLLMSNGELTNILVSTDVTKY
LEFKQIAGSYVQQGDGAATVAKVPSDATEALKSPLMGLFEKRRAKNFLEW
VGGYKEDDPASHKG LDVKTCTMKD VYDKF GLEATTRDFVGHSMALYPTDD
YITQQGQANEAIQRIRLYVNNSMARYGKSPYIYPLYGLGELPQGFARLSAIYGG
TYMLNTDVDEFLYDGNKVIGIKATMKEKDDTGEGMKFETKAGKILADPSYF
PGKVRVTGHLLKAICILNHPIPNTGDADSLQLIIPQSQVGRKHDIYVAVVSSA
HNVCPKGYYIAIVSTIAEGDSNHHLELQPGLDRLGQIEEKFMGPAPIPLYEPLS
GANDNIFLSKSYDATSHFETTDI KDIYQRVEGHELVVEGLREGANFNVEE

Spot 167:

>gi|311322842| hypothetical protein [*Pyrenophora teres* f. *teres* 0-1]

MTEPVGDFGLIGLAVMGQNLILNAADHGFTVVAFNRTVAKVDRFLNDEAK
GKSIVGAHSMEEFVSKLKKPRRMMLVMAGKPVDDFIELILQAGAEEGDIID
GGNSHYPDTNRRTNYLKS KGIRFVGSGVSGEEGARYGPSIMPGGNEEAWP
YIKDVLQSISAKSDGEACCQWVGDEGAGHYVKMVHNGIEYGDMQLICEAY
DIMKRGGLGMKNKEIGDVFTQWNKGVLDSFLIEITRDIMYKNDDDGVAIVEKI
LDSAGQKGTGWTAINALDLGMPVTLIGEAVFARCLSSLQERGRAAGLLD
GPTPSFSGDRQAFIDNLEQALYASKIISYAQGFMLIQNAAKEYKWKL NKP EIA
LMWRGGCIIRSVFLKEITSAYRK NPELENLLFDEFFSKAIHKAQSGWRDVVS
KGALWGIPTPAFSTALSFYDGYRAKDL PANLLQAQRDYFGAHTFR IKPEYAN
ATYKEGQDIHVNVWTGRGGNISASTYNA

Spot 169:

>gi|311322842| hypothetical protein [*Pyrenophora teres* f. *teres* 0-1]

MTEPVGDFGLIGLAVMGQNLILNAADHGFTVVAFNRTVAKVDRFLNDEAK
GKSIVGAHSMEEFVSKLKKPRRMMLVMAGKPVDDFIELILQAGAEEGDIID
GGNSHYPDTNRRTNYLKS KGIRFVGSGVSGEEGARYGPSIMPGGNEEAWP

YIKDVLQSISAKSDGEACCQWVGDEGAGHYVKMVHNGIEYGDMQLICEAY
DIMKRGGLGMKNKEIGDVFTQWNKGVLDSFLIEITRDIMYKNDDDGVAIVEKI
LDSAGQKGTGKWTAINALDLGMPVTLIGEAVFARCLSSLKQERGRAAGLLD
GPTPSFSGDRQAFIDNLEQALYASKIISYAQGFMLIQNAAKEYWKLNKPEIA
LMWRGGCIIRSVFLKEITSAYRKNPELENLLFDEFFSKAIHKAQSGWRDVVS
KGALWGIPTPAFSTALSFYDGYRAKDL PANLLQAQRDYFGAHTFRKPEYAN
ATYKEGQDIHVNVWTGRGGNISASTYNA

Spot 170:

>gi|311322873| hypothetical protein [*Pyrenophora teres f. teres* 0-1]

MATRPSNIGIKAIELYFPSQCVDQSELEKFDGVSQGKYTIGLQTKMSFCDDR
EDIYSLALTTVSSLFKKYNVDPKSIGRLEVGTETLLDKSKSVKSVMQLFDES
GNYNIEGVDTVNACYGGTNALFNSVNWISSGDGRDAVVVAGDIALYKK
GNARPTGGAGCVAMLIGPNAPIVMDAGQRGSYIRHAYDFYKPDLTSEYPIVD
GHFSIRCYTEAVDACYKAYNEREKTAKQQNGHAVHQDVETPLDRFDYMA
FHAPTCKLVAKSYARLLYNDYLANPTNPADVPAELRDLATSVTDKTVE
KVFMGLAKKRFASRVQASIQPCTQCGNMYCGSVYGSCLSLIANISSQDLQGK
RIGMFSYGSGLASSLFSFTVKGDTENIAKQLDIQNRLEQRRVVAPEVYDEMC
NLREQAHLQKDYPKGSAETILPGTYLTGVDSMFRRSYEIKQ

Spot 171:

>gi|311315314| hypothetical protein [*Pyrenophora teres f. teres* 0-1]

MSETSVKLKTPQTGEYEQPTGLFINNEWVKSVDGKTIEVINPSTEEVICHVAE
ATEKDVDIAAAARKAFNGPWRKETPENRGRLVKLADLFKNADLIAAVE
ALDNGKAFLSMARNVDVPAAAGCLRYYGGWADKIEGKVVDTSPDTFNYIRK
EPIGVCQIIPWNFPILMWAWKIGPAIATGNTVVMKTAEQTPLSGYIAAKLIV
EAGFPPGVVNIITGLGRVAGAAMSAHMDIDKIAFTGSTVGRQIMKAAAGS
NLKKITLELGGKSPNIVFADADLDEAINWVNFGIYFNHGQTCCAGSRIYVEES
IYDKFIERFRERAQNKVGDPFAAETFQGPQVSQLQFDRIMGYIDEGKKEGA
TIETGGKRKGDKGYFIEPTIFSNTEDMKIQKEEIFGPVCTIAKFKTKEEVIRIG
NASIYGLAAA VHTTNLNTAIEVANALRAGTVWWNTYNSLHWQLPFGGYKE

SGMGRELGEAALDNYLQTKTVSIRLGDVIFG

Spot 172:

>gi|311329848| hypothetical protein *Pyrenophora teres* f. *teres* 0-1]

MSDIHRASTTAPVNIAVIKYWGKRDPKLNLPTNSSLVTLAQSDLRTHTTAS
CSSTYPKEDTLLNGQSQDVSGARTQACFRELRALRKQLEDKDSSLPKLSEL
PLRIVSENNFPTAACGLASSAAGFAALVRAIANLYELPSSPTDLSRIARQGSGSA
CRSLFGGYVGWEQGSASDGSDSVAFQVAPASHWPNMRAVILVVSAAKGV
SSTSGMQITVATSSLFQSRATEVPRRMKEMQKAIQDKDFETFGKVMMDS
NSFHATCLDTFPPIFYLNDVS RATIKVVESINAAAGKIIAYTFDAGPNAVIYY
LEENEKEVAGLFKTILNEKGWQGARGQAVQANAEALEKVKFEAGPAIAFL
EEGVSRVILTGVGEGPIKTDESLIDEKGE PANKA

Spot 178:

>gi|311316083| hypothetical protein [*Pyrenophora teres* f. *teres* 0-1]

MVTRPMVDPNIEIRTPRDPNTLSNYHNFVTRHTSVDFDVDFKGKRLFGSVVL
SLECLTDEHVREVVLDSFLDISVVEVDGKSVQFTVGDRVEPYGSPLTITLPS
KIAKGKTIHVEIKVATTDKCTALQWMTPAQTSNKKHPYMFSCQCQAIHAR SV
FPCQDTPDVKSTFSFALRSPLPVLASGLPTGASDYQPPKKDGESGT MKYT F E
QKVPMTVYLFAIASGDLACASIGPRSTVWSGPEELLSCQRELDGEIEPFM K AL
ESIVSPTYQWGQYNVLILPPSF PYGGMENPVWTYATPSIISGDKQNVDVIAHE
LSHSWSGNLVSAASWEHFWLNEGWT TYLERRIA AAIHGEAHRHFSAIIGWK
ALEQSIENYGADHPYTKLVLDLKGQDPDDAFSSIPYEKGFH AlyQFELL LGK
DKWDSFIPH YFDTFKFKSVDSYDFKSCLIEFFDKDTECKKL EEF DWDKLFY
APGYPVKPDFDQTMVKSCYELADKWQALVAASSVSSTSFKPHASDIEGW
VSNQSVVFLERLQSFATTFS PENIHTLGATYGYDKTQNIEVLSRYLNIGLMAK
AKETYAPAADLLGKIGRMKFVRPMFRLLNEADRDLAVKT FEANKEFYHPIC
RQMVEKDLFGEAGK

Spot 180:

>gi|311322842| hypothetical protein [*Pyrenophora teres* f. *teres* 0-1]

MTEPVGDFGLIGLAVMGQNLILNAADHGFTVVAFNRTVAKVDRFLNDEAK
GKSIVGAHSMEEFVSKLKKPRRMMLLVMAGKPVDDFIELILQAGAEEGDIID
GGNSHYPDTNRRTNYLKSKGIRFGSGVSGGEEGARYGPSIMPGGNEEAWP
YIKDVLQSISAKSDGEACCQWVGDEGAGHYVKMVHNGIEYGDMQLICEAY
DIMKRGGLGMKNKEIGDVFTQWNKGVLDSFLIEITRDIMYKNDDGVAIVEKI
LDSAGQKGTGWTAINALDLGMPVTLIGEAVFARCLSSLKQERGRAAGLLD
GPTPSFSGDRQAFIDNLEQALYASKIISYAQGFMLIQNAAKEYWKLNKPEIA
LMWRGGCIIRSVFLKEITSAYRKNPELENLLFDEFFSKAIHKAQSGWRDVVS
KGALWGIPTPAFSTALSFYDGYRAKDL PANLLQAQRDYFGAHTFRKPEYAN
ATYKEGQDIHVNVWTGRGGNISASTYNA

Spot 183 (1):

>gi|311328327| hypothetical protein [*Pyrenophora teres* f. *teres* 0-1]

MRSYLLPVLATVALSKASAIPFDLTSAKRVVGSWDDAYAKATAALAKLSQD
EKVGLVTGVGWQNGPCVGNKAAASIGYPSLCLQDGPLGIRYVNGVTAFSA
GIHAASTWDIDLVRQRGSFLGAESKALGINVQLGPSAGPLGKHPDGGRNWE
GFGSDPYLQGIMMAHTIEGMQESGVQATAKHWL VNEQELKRETMSSDVSD
RILREIYAWPFQDAAHSNVAAFMC SYNKINGTWACESEGIMQKMLKDEM
HRGYIMSDWNAQHTTG SANGGLDMT MPGSDFNVPQGSKFWGPQLASAIG
NGTVKQARLDDMVTRVLASWYLLGQDKSYPNVS FNSWNIVTRDVAKDH
TNVRATARDGIVLLKNTQSALPLSKPKSIAVIGSDSIVNPRGANACVDRGCT
GTLAMGWGS SVEFPYL VAPLDAIKAQAKDGT TVKSAPTDNASQGAAAA
QNASIAVVCINANGGEFYITVEGNAGDRINLDPWHNGNALVEAVAAVNKK
TVVVVHSVGPVIMERWIENPNVVAVVWAGLPGQESGNGLVDILYGAASPSG
KLPYTIAKKQSDYGT VITNGDDKDWSLNIDYRH FDAQGITPRFEFGFGLSYT
NFTYSDLSITGKPSAGPATGRIAPGGPADLFETVATV TAKISNSGKVAGAEVP
QLYIGYPKSTDSSPKQLRGFSKLKLNAGANGVATFKLRRRDLSYFDEATMK
WTVASGEYQVFVGASSRDVRLTGKIVVPPVEGISKLNAYPYQTNKTTYIISPL
IMLSQMFKPSTIRSAAGRLGRVTKNPVQARYLATVQANTQRAMPTPTMRKAT

EISNEPATFTIKNGPIFEGKSGAKTNVSGEAVFTTSLVGYPESMTDPSYRGQI
LVFTQPLIGNYGPSSARDEHGLLRYFESPWIQASGIVVQDYALKHSHWTAV
ESLAQWCAREGVPAISGVDTREIVTYLREQSSLARISVGEELYDADEDEAYID
PEAINLVRRVSTKAPFHVSSLGDMHVALIDCGVKENILRSLVSRGASVTCFP
FDYPIHKVAHHFDGVFISNGPGDPTHCTTVHNLRLFETSQIPVMGICMGH
QLIALAAGAKTIKLKYGNRAHNIPALDLTTGKCHITSQNHGYAVDPTTLTSE
WREYFTNLNDQSNEGLIHSRPIFSAQFHPEAKGGPLDSAYLFDKYMENVQQ
YKSHHQAGLSERNNKPSPLLVDLLSKQRVGVHPAAPDFEGHAAGMDGQQIDI
GGPVAPSYQPITQKPVASAA

Spot 183 (2):

>gi|311330604| hypothetical protein [*Pyrenophora teres* f. *teres* 0-1]

MPSATGQSWEKYQKNFADDEVEEKKITPLTDEDIQVLKTYGAAPYGAELKK
LEKEIKDKQQTINEKIGVKESDTGLAPPHLWDIAADRQRMQEQQPLQVARCT
KIIQDEKDSEKSKYVINVKQIAKFVVNLGERVSPTDIEEGMRVGVDRNKYQIL
LPLPPKIDPSVTMMTVEDKPDVTYGDVGGCKEQIEKLREVVEMPLSPERFV
NLGIDPPKGALLYGPPGTGKTLCARAVANRTDATFIRVIGSELVQKYVGEGA
RMVRELFEMARTKKACIIFDEIDAVGGARFDDGAGGDNEVQRTMLELITQL
DGFDARGNIKVMFATNRPSTLDPALMRPGRIDRKIEFSLPDMEGRANILRIHA
KSMSVERDIRWELISRLCPNSTGAELRSVATEAGIFAIRSRRKMA TEKDFLAA
VDKVIKANMKFNSTAVYAQYN

Spot 185:

>gi|311331037| hypothetical protein [*Pyrenophora teres* f. *teres* 0-1]

MTITKIHARSVYDSRGNPTEVDIVTETGLHRAIVPSGASTGSHEACELRDGD
MSKWAGKGVTKAVANVNDTIAPALIKEKLDVKDQSAVDAFLNKLDGKKNK
TSLGANAILGVSMAIAKAAAAEKGVPLYAHISDLAGTKKPVLPVPFQNVLN
GGSHAGGRLAFQEPMIVPCEAPTSEAMRQGAEVYQKLKSLAKKTYGQSAG
NVGDEGGVAPDIQTPEEALDLITKAIEEAGYTGKIKIAMDVASSEFYKADEK
KYDLDFKNPDSKSKWLSEQLAEYKSLAEKYPIVSIEDPFAEDDWEAWS
YFFKTSDQIVGDDLTVNPEFIKKAIELKSCNALLKVNQIGTITEAIQAAKD

AFGAGWGVMVSHRSGETEDVTIADIVVGLAGQIKTGAPARSERLAKLNQIL
RIEEELGDNAIYAGNNFRMAINL

Spot 191:

>gi|311327612| hypothetical protein [*Pyrenophora teres* f. *teres* 0-1]

MCKHFGTEGQSSIDITKGREVLPTNVKPLHYDLTLEPDFANFTYQGTVTIDLD
VVDDTTSITLNTNELKINSAKVTTGQQLIADSPTLSDKDAQTTKVSFDQSISS
GTTKAQLTLAFTSGILNDNMAGFYRSSFKADDGSTTYMATTQMEPTDARRA
CFDEPALKAKFTVTЛИADEKMTCLSMDVASEKQVDSA VSGGKRKA VTFNP
TPLMSTYLLCFIVGELNYIETNNFRVPVRVYAPKDRDIEHGRFSLELA
AKTLA FYEKT FNSPFPLPKMDMIAIPDFSAGAMENWGLITYRVVDVLIDEKVSGAAV
KQRVAETVQHELAHQWFGNLVTMDFWDGLWLNEGATWMSWYSCNIFYP
DWKVWEGYVTDNLAGALSLSRSSHPIEVPKRADEINQIFDAISYSKGSS
VIRMISKYIGEETFMEGIRQYLKKAYGNTEL GDLWAALADASGKDVGKV
MDIWTKKVGFPVTVTEGTDIHLKQNRFRLRTADVKPEEDQTLYPVFLGLRT
KGGVNEDLTLFDRADFKLKDLDFFKLNADHSGLYRTSYTPERLGKLGVA
A KQGLLTVEDRAGMIADAGSLAASGYQKTSGILSLLDSFKSESEFVVWGEITG
RIGSLRGAWMFEDQEVKDALKKFQLELTADKAHELGSFKDTDGHIEQQFK
GLMFGAACIAGDEQITKACFDMFEKFKA GDKSAIHPNIRGSVYAVLSNGGK
EEYDVVVNEFTNAATSDERNSALRSLGRAKSPELIQRTLAMSLSDQVK
GQDI YLPISALRSHP EG CYALWTWVKDNWEELERRLPPSLSMLSSV
SITTSSFTHR EHIKEIEFFKTKSTKGFDMSLSQSIDAISAKAAWLERD
SEDVKS WLREHKYL
N

Spot 194:

>gi|311318624| hypothetical protein [*Pyrenophora teres* f. *teres* 0-1]

MKAEHQSTLLELANEVQQLTNRIVSDLTEKKIPEPSFATSSDPLPETPEYIELR
DRLNDSARDLLRVNGPRNDARTFVCYLYDLAAWQVACEFNFFEA
PEHGT ASIKEISEKAGMDED RVGRFLRMLTTDRVFEEVEKDVFKHTSRSII
YLKD TQ WRDVMNYQLDEFFKAAAETSESIRQSPTVTDGQRNAFVTRHG
KSLFEFYKQ DPKRSARFASAMAGVSRLERHFENLKESFPWDQISGRK
VIDVGGGSGHMSV

SLAKAFPNLELIVQDSLMLSSASQNDFSQLNGRVTFMPHDFFTPQPVCAGAA
AYLLRYIYHNWNDEDCIRIFRALVPALEKSPPGTPVLINDVVLPALGEASRFH
DNRMQRQVDIMMMLVLGAKQRTEEQFRRLSDADPRFKIRALHDKGNMCLI
EAYLDTEGKSADAASAADGQEENAALDSTKRTGARM

Spot 197:

>gi|311332617| hypothetical protein [*Pyrenophora teres* f. *teres* 0-1]

MPYEKKAVHFGGGNIGRGFAEFLHNSGYEVVFVDVMDSIIESLQKPTTYTV
TEIGDDGERKFTIDHYRAINSKHEMPKVIDEIATADVVTCAVGPNILKFVAEP
VAKAIEARKLDYPIAVIACENAINATTWRGFIESHMSEETKKNIDSKARFAN
SAIDRIVPQQPPNAGLDVVIEKFHEWCVEQKPFENGKKPEVKGIHYVDDLE
PYIERKLFTVNTSHATAAYYGHQNKIAYIHEVLQDKKLHDTVRDAVKETAN
LIVKKHGVSTQEQNDYVEQIIKRISNPVLKDNVERVGRAPLRKLSRKERFIGP
AAQLAERGESYQTLLGAVEQAYRFQNVESDEESVELAKILKEHSPEEVTKV
NGIEKGHALFEPLVAIVKKVQGS

Spot 199:

>gi|311328903| hypothetical protein [*Pyrenophora teres* f. *teres* 0-1]

MEEEVAALVIDNGSGMCKAGFAGDDAPRAVFPSIVGRPRHHGIMIGMGQKD
SYVGDEAQSKRGILTLYPIEHGVVTNWDDMEKIWHHTFYNELRVAPEEHP
VLLTEAPINPKSNREKMTQIVFETFNAPAFYVSIQAVSLYASGRTTGIVLDG
DGVTHVVPIYEGFALPHAISRVDMAGRDLTDYLMKILAERGYTFSTTAEREI
VRDIKEKLCYVALDFEQEIQTASQSSSLEKSYELPDGQVITIGNERFRAPEALF
QPSVLGLESGGIHVTTFNSIMKCDVDVRKDLYGNIVMSGTTMYPGISDRM
QKEITALAPSSMKVKIIAPPERKYSVWIGGSILASLSTFQQMWISKQEYDESGP
SIVHRKCF

Spot 201 (1):

>gi|311325372| hypothetical protein [*Pyrenophora teres* f. *teres* 0-1]

MAPAIGIDLGTTYSCVGIFRDDRIIANDQGNRTTPSFVAFTD SERLIGDSAK
NQVAMNPVNTVFD A KRLIGRK FADA EVQADM KHFP FK VIDKGGKPVIQVEF

KGEEKVFTPEEISSMVLTKMRETAESYLGTVNNAVVTVPAYFNDSQRQAT
KDAGLIAGLNVLRRIINEPTAAAIAYGLDKKTEGERNVLIFDLGGTFDVSLTI
EEGIFEVKSTAGDTHLGGEDFDNRNLVNHFTNEFKRKHKKDLTSNARALRRL
RTACERAKRTLSSAQTSIEIDSLYEGIDFYTSITRARFEELCQDLFRSTMPEV
RVLRAKIDKSSVHEIVLVGGSTRIPKVQKMVSDFNGKEPNKSINPDEAVA
YGAAVQAAILSGDTSSKSTSEILLDVAPLSIGETAGGVMTALIKRNTTIPTK
KSEVFSTFSDNQPGVLIQVYEGERARTKDNNLLGKFELTGIPPAPRGVPQIEV
TFDVDANGIINVSALEKGTGKTNKIVITNDKGRLSKEIERMLAEAEKYKAE
DEAEAARIAAKNALESYAYSLRNTLSDSKVDEKLDAGDKEKLKAEIDKTVA
WLDDNQTATKDEYESQQKELEGIANPIMMKFYGAGGEGGMPGGMPGGGM
PGGGAPGGAGGDDGPTVEEV

Spot 201 (2):

>gi|311328404| hypothetical protein [*Pyrenophora teres* f. *teres* 0-1]

MSDEVYEGAIGIDLGYTSCVANYEGTNVEIIANEQGSFTPSFVSFTSDERLI
GEAAKNQAAMNPENTVFDVKRLIGRRFEDETVKDIKSWPFKVVDQNGSPL
VEVEYLGEKKQFSPQEISAMVLVKMKEVAETKLMKVEKA VITVPA YFNDN
QRQATKDAGAIAGLNVLRRIINEPTAAAIAYGLGSGKSDKERNVLIYDLGGT
FDVSSLHIQGGVFTVKATAGDTHLGGSDFTALLDHFRKEFTKKYSKEHLM
DSMLHDIAWNCLAHESYHNPSFDAAFPTRDAFVSAFDLGFECPGLLDVVA
SDDPPTLWFKSVGLDIFADKDQIPHKSWSGIYMHFYVKPEREALTYVGSATA
AAFGIRARLKDYRTLHAMSQTILDAIRNGYTLDHTVILGHCPPIPPSRQPILRG
VCLSTETAFHAIFWPMRSKDKEYGHLGDQQLWDPEDLSYGGLCTHSPLLES
LDGLELTAEELDIIAETRRRRKNELLAKWCRDDNIKQRANPTPEFRAKRRAIN
KARYKTRKRKRDADVANKAHYYISGDARALRRLRTACERAKRTLSNATQT
TVEIDSLFDGEDFNANITRARFEDLNQKAFVGTLDPVAQVLKDANIAKDKVD
EIVLVGGSTRIPKIQKLLSDYFNGKKLEKSINPDEAVAYGAAVQAGILSGKAT
SAETADLLLLDVVPLSLGVAMEGNIFAPVVPRGQTVPTIKRTFTTVADNQQ
TVQFPVYQGERVDCENNTSLGEFTLAPLPLRAGEAVLEVFEVDVNGILKV
TATEKSTGRSANITISNAVGLSSSDIETMINDAQKFKTSDEAFSKKFESRQQL
ESYISRVEEMVSDPTTSIRLKRGQKEKIESALSDAMAQLEIEDAPADDLKKKE
LALKRVVTKAFSTR

Spot 201 (3):

>gi|311331037| hypothetical protein [*Pyrenophora teres* f. *teres* 0-1]

MTITKIHARSVYDSRGNPTVEVDIVTETGLHRAIVPSGASTGSHEACELRDGD
MSKWAGKGVTKAVANVNDTIAPALIKEKLDVKDQSAFDAFLNKLDGTKNK
TSLGANAILGVSMAIAKAAAAEKGVPLYAHISDLAGTKKPYVLPVPFQNVLN
GGSHAGGRLAFQEPMIVPCEAPTSEAMRQGAEVYQKLKSLAKKTYGQSAG
NVGDEGGVAPDIQTPEEALDLITKAIEEAGYTGKIKIAMDVASSEFYKADEK
KYDLDFKNPDSKSKWLSYEQLAELYKSLAEKYPIVSIEDPFAEDDWEAWS
YFFKTSDFQIVGDDLTVTNPEFIKKAIELKSCNALLKVNQIGTITEAIQAAKD
AFGAGWGVMVSHRSGETEDVTIADIVVGLRAGQIKTGAPARSERLAKLNQIL
RIEEELGDNAIYAGNNFRRAINL

Spot 202:

>gi|187979914| ATP synthase subunit beta [*P. tritici-repentis*]

MLKSGIQQQALRASMRRPAIRRSAFQPLKKSFAPALSTRFASTDAANHGKIHQ
VIGAIVDVKFDTEQLPAILNAVTTQNGDQKLILEVAQHLGENIVRCIAMDGTE
GLVRGSKATDTGAPIKIPVGHGTLGRIMNVTGDPIDERGPIKATKYAPIHADP
PEFTEQSTS AEV LVTGIKVVDLLAPYARELINNIAHGGFSVFTVGERTRE
GNDLYHEMQETS VIQLDGDSKVALVFGQMNEPPGARARVALTGLTVAEYF
RDAEGQDVLLFIDNIFRFTQAGSEVSALLGRIPSAVGYQPTLAIDMGVMQERI
TTTTKGSITSVQAVYVPADDLTDPA PATTFAHLDATTVLSRGISELGIYPAVD
PLDSKSRMLDPRVIGEDHYNTATRVQQILQEYKSLQDIIAILGMDELSEADKL
TVERARKIQRFLSQPFAVAQVFTGIEGKLVDLKDTIRSFKAILTGE GDDLPEG
AFYMGDFESARAKGEKILAELEKS

Spot 203 (1):

>gi|311331866| hypothetical protein [*Pyrenophora teres* f. *teres* 0-1]

MAMPLRFSAQAPSSRLEEIVPASDRIEELSDAELGSEYEDMGTATAEEQANIA
YLDSIRIPIKDTLETATSEVDDETAKIILPYLEGNPNDFDLNAFGIPKLQRQKH
EAMLKKILGDYPAGAAAMDAARPWIVYWALQSMTALGQDISSYQKRIAHT

FSLAQHPDGGFGGGYQYPHLACSYAATLSLAIAGGKESYDVINRKTWHY
LGQMKQADGGFTMCPGGEEDIRGAYCAMVILSNTNLPMEPPDAPARQHGF
TKFTDGLGEWVSKCQSWDGGISAEPGNEAHGAYAFCGLACLSILGPPKETLH
KYLNIDMLIYWLSRQCTPEGGYNGRTNKLVDGCYSHWVGGCWSIVEAAT
TTGLWNRPALGRYILAACQEKKGLKDPGKHSDAYHTCYNLAGLSAAQY
KYTFDENVNKNLGATNLGAPYHWKSEGRYEDEKIVWDDGDVVRTVHPIFVI
PFMSVYEMRKYFEDKEGF

Spot 203 (2):

>gi|311316552| hypothetical protein [*Pyrenophora teres* f. *teres* 0-1]

MSAPAHKFVADISLAAFGRREIELAENEMPGLMETRRKYAEDQPLKGARIA
GCLHMTIQTAVLIETLKSLGAELTWTSNCNIFSTQDHAAAAIAAGVPVFAWK
GETEEEYEWCLEQQLTAFKDGTNLNLILDDGGDLTALVHKKYPEMLKDCY
GVSEETTGVHHLRYMLKGKGLLVPAINVNDSVTKSKFDNLYGCRESLDG
IKRATDVMIAKGVAVVAGFDVGKGCAQALHSMGARVIVTEIDPNALQAA
VSGYQVTTMEKAAPQQIFVTTGCRDILTGAHFEVMPNDAIVCNIGHFDIEI
DVAWLKKNAKSVTSIKPQVDRFLMNNGRHILLAEGLRVNLGATGHSSFV
MSCSFTNQVLAQIMLYKASDEAFGNKYIEFGKTGKLDVGVYVLPKILDEQV
ALLHLAHCNVELSKLSEVQAEYLGLPAEGPKSDIYRY

Spot 210 (1):

>gi|311331037| hypothetical protein [*Pyrenophora teres* f. *teres* 0-1]

MTITKIHARSVYDSRGNPTEVDIVTETGLHRAIVPSGASTGSHEACELRDGD
MSKWAGKGVTKAVANVNDTIAPALIKEKLDVKDQSAVDAFLNKLDGKKNK
TSLGANAILGVSMAIAAKAAAEEKGVPLYAHISDLAGTKKPYVLPVPFQNVLN
GGSHAGGRLAFQEFMIVPCEAPTSEAMRQGAEVYQKLKSLAKKTYGQSAG
NVGDEGGVAPDIQTPEEALDLITKAIEEAGYTGKIKIAMDVASSEFYKADEK
YDLDFKNPDSDKSKWLSYEQLAELYKSLAEKYPIVSIEDPFAEDDWEAWSYF
FKTSDFQIVGDDLTVNPEFIKKAIELKSCNALLKVNQIGTITEAIQAAKDAF
GAGWGVMVSHRSGETEDVTIADIVVGLRAGQIKTGPARSERLAKLNQILRI
EEELGDNAIYAGNNFRRAINL

Spot 210 (2):

>gi|311329324| hypothetical protein [*Pyrenophora teres* f. *teres* 0-1]

MSFGKLYSYSGNPRTSLLAVAKENGLDIEFVETEPAKGVSTEYLKLNKLGK
VPTFEGADGFVLSECIAIAVYLASQNEKTSLLGKTQDYATILRWMSFANTE
VLSPLGGWFRPILGRDPYNKKNVEESQKAALKAVHVIEHLLTHTYLVGERL
TLADIFAASILARGFQFFFQDKQWRDSNPNVTRWYETIYNQSSYSAVAPKFEFI
TEALKNVAPKKEGGEKKKETPKAAPKPKEEAEEEEAAPAPKPKHPLEALPK
ATFVLDDWKRKYSNEETREVALPWFWENANFEEYSIYKVVDYKYNDLTLTF
MTANLIGGFFTRLEASRKYLFGCCSVYGTANDSIKGAFVVRGQEALPAFDV
APDVESEFTKLDPTKEEDREFVNDQWSWDKPLVVGDKSYEWADGKGSGG
GPSEDNVVTGFLVRSTATQWAKNSVIAVDAGSHLASITRILAKDFPLVSDPDPP
LPPSRNDNANSNGAYDHSESPSPGAAPVSPSDDESEADTPNSEKELPVTTTL
KHGAFAGLPFPHQ SARANALHV VREHISTYLITHPHLDHLSGFVINTAAFHNT
SRPKRLAALPFTVNAIKTHIFNNVIWPNLTDLEDGGVGLVTFQRLAEGGNIAL
GEGSGRGFIEVCDGLGVKGFKVSHGHCMQGPGHVHRGSNANLLETSSAQHP
TSGHQLDGQDGRSMSFSYTSQSAPGTPGLSGADTGRRASTVPPPQQSSED
HCVIDSTA YFIRTESTPTPKREILIFGDVEPDSLSPRTSQIWSEAAPKIASGI
LTGIFIEVSYTNAQSDAVLFGHLAPRHLLEELCVLGDMVKERKKETEREKEE
GRIRKKRK RASNTLQLDGLGEKDRGKRLGVPKGIDSPISSTNQNININNDDG
MSDYPTSRGETGTHTPNPLPSSHQRTSDPHVSHPSAPAALNLSSVSAEHSRA
ILSAAFDSPLKG IKIVIIHV KDTFTDGPLVGDQILKELREGEATLQEGRGLGC
QFEVSVAGGSYWF

Spot 210 (3):

>gi|187976885| Carboxypeptidase Yprecursor [*P. tritici-repentis*]

MKVATSALLIGAAAAQQQQILKFPDSFSELKESSWTKPLQNLEESLKSLTGE
ARATWDEIAMMFPEKAAFFSEP KPHTRKQDSEWDHIKGADIQSVWVEN
EKGEKEREIDGKLEQYSLRAKKVDP SVLGVDKVKQYSGYLDDEEDKHLFY
WFFESRN DPKNDPVVLWLNGGPGCSSLTGLFMELGPASITKDQKIKHNPYS
WNSNASVIFLDQPVNVGYSYSSGSVSNTVAAGKDIYALLTLFFKQFPEYSHQ
SFHISGESYAGHYIPVF ASEILSHKNRNINLQSVLIGN LTDGLTQYEYYRPM

ACGEGGWPAVLDESQCKAMDNAYPRCASLIENCYNSESvwscvpasiycnn
AMIGPYQRTGQNVDVRKPCGSNSLCYDELDWIQGYLNKKEVMKAVGAEV
SNYESCNFDINRNFLLQGDWMKPFHRVVPGILEKIPVLIYAGDADYICNWLG
NKAWTEALEWPGAKAYNQAKMEDFKIDGDGKTVGQVKSSGNFTFMRLHA
GGHMVPYDQPEASLEMLNRWLGGFWKA

Spot 211:

>gi|311323385| hypothetical protein [*Pyrenophora teres* f. *teres* 0-1]

MGHSPPLNDKSLLKSQTYVNGEWIDAKGSKSFEVHDPAVGKLIGTMPEMD
RADTEAAIAAAAAALPSFRKLTGRERSRMLRKWYQLIIDNADDLAKLITWE
NGKPFADAKGEVNYAASFYEWFAEEAPRMYGATIPASVAGNRVFTIKEPVG
VVGLITPWNFPAAMITRKIGPALAAGCTVVAKSPTAAALAEAHRAG
IPKGVVNFTALKNTPEVGETITSSKTIKKVSFTGSTVGKLLMKQSSDTLKK
LSFELGGNAPFIVFDDADLETAVAGAITSKFRSSGQTCVCANRIYVQSGIYDE
FCTKFTEVKGFVGGGYDEGITHGPLIHDRAVSKVDAHVQDAVKNGAKV
LFGGQKLPDLGENFYQPTVLRDMTKDMQLAKDETFGPVAGLFPFDTEADV
KLANAADVGLAGYFFSKDIQRVYRVAEALEVGMVGVNTGLISDAAPFGG
VKESGFGREGSHMGIDEYVVTKTITLGGNGQPLQGE

Spot 212:

>gi|311332885| hypothetical protein Partial [*Pyrenophora teres* f. *teres* 0-1]

ARQQAVRPSQRRLAAPASGSFQYQSGEAKGVKYASRDFAGPTTLALVAK
AGTRYQPLPGLTEGLANFAFRGTERRSTLRIVRESELLGASLNAHHSRENLV
EAKFLRDDLPHYFVELLGEVASSTKYQPHVYAAEVLPMIHFAHKRFLASVTD
MATQSAHSLAFHRGLGVPTASAAPTPYTKYldaETIEYYSKIAYAKPNFAVV
ANGADHGDFSKWVSEFFDDVPSSALDESKTGADQSKYYGGERIAHDSGNA
MVIAPGSSSFTGKFYKPEIAVLSSLLGGESAVKWSSGFTKLGQAAAPGAKV
KTTSAIYSDAGLLYTTITGSAKAVAQTAKAAVEAIQKIAAGEISSEEVSKAKA
AAKFKELEHGQDIRAGLELTGSGLIHNTQPYQIDEVAKKIDSVSEESLKKA
ELLENRASVSSVGDLFVLPLYAEDLGLKA

Spot 218:

>gi|311332885| hypothetical protein Partial [*Pyrenophora teres* f. *teres* 0-1]

ARQQAVRPSQRGLAAPASGSFQYQSGEAKGVKYASRDFAGPTTLALVAK
AGTRYQPLPGLTEGLANFAFRGTERSTLIRIVRESELLGASLNAAHHSRENLV
EAKFLRDDLPYFVELLGEVASSTKYQPHVYAEEVLPMIHFAHKRFLASVTD
MATQSAHSLAFHRGLGVPTASAAPTPYTKYLDAAETIEYYSKIAYAKPNFAVV
ANGADHGDFSKWVSEFFDDVPSSALDESKTGADQSKYYGGEERIAHDSGNA
MVIAPGSSSFTGKFYKPEIAVLSSLLGGESAVKWSSGFTKLGQAAAPGAKV
KTTSAIYSDAGLYTTITGSAKAVAQTAKAAVEAIQKIAAGEISSEEVSKAKA
AAKFKELEHGQDIRAGLELTGSGLIHNTQPYQIDEVAKKIDSVSEESLKKAAK
ELLENRASVSSVGDLFVLPLYAEDLGLKA

Spot 221:

>gi|311328404| hypothetical protein [*Pyrenophora teres* f. *teres* 0-1]

MSDEVYEGAIGIDLGTTYSCVANYEGTNVEIIANEQGSFTPSFVSFTSDERLI
GEAAKNQAAMNPENTVFDVKRLIGRRFEDETVTKDIKSWPFKVVDQNGSPL
VEVEYLGEKKQFSPQEISAMVLVKMKEVAETKLGMKVEKAVITVPAVFNDN
QRQATKDAGAIAGLNVLRUIINEPTAAAAYGLGSGKSDKERNVLIYDLGGGT
FDVSSLHIQGGVFTVKATAGDTHLGGSDFTALLDHFRKEFTKKYSKEHLM
DSMLHDIAWNCLAHESYHNPSFDAFPTRDAFVSAFDLSGFECPGLLDVVA
SDDPPTLWFKSVGLDIFADKDQIPHKSWSGIYMHFYVKPEREALTYVGSATA
AAFGIRARLKDYRTLHAMSQTILDAIRNGYTLDHTVILGHCPIPPSRQPILRG
VCLSTETAFHAIFWPMRSKDKEYGHLGDQQLWDPEDLSYGLCTHSPLLES
LDGLELTAEELDIIAETRRRKNELLAkwCRDDNIKQRANPTPEFRAKRRAIN
KARYKTRKRKRDADVANKAHYYISGDARALRRLRTACERAKRTLSNATQT
TVEIDSLFDGEDFNANITRARFEDLNQKAFVGTLDPVAQVLKDANIADKVD
EIVLVGGSTRIPKIQKLLSDYFNGKKLEKSINPDEAVAYGAAVQAGILSGKAT
SAETADLLLLDVVPLSLGVAMEGNIFAPVVPRGQTVPTIKRTFTTVADNQQ
TVQFPVYQGERVDCENNTSLGEFTLAPLPLRAGEAVLEVFEVDVNGILKV
TATEKSTGRSANITISNAVGLSSSDIETMINDAQKFKTSDEAFSKKFESRQQL
ESYISRVEEMVSDPTTSIRLKRGQKEKIESALSDAMAQLEIEDAPADDLKKE

LALKRVVTKAFSTR

Spot 222 (1):

>gi|311331037| hypothetical protein [*Pyrenophora teres* f. *teres* 0-1]

MTITKIHARSVYDSRGNPTVEVDIVTETGLHRAIVPSGASTGSHEACELRDGD
MSKWAGKGVTKAVANVNDTIAPALIKEKLDVKDQSAVDAFLNKLDGTKNK
TSLGANAILGVSMAIAKAAAAEKGVPLYAHISDLAGTKKPYVLPVPFQNVLN
GGSHAGGRLAFQEFMIVPCEAPTSEAMRQGAEVYQKLKSLAKKTYGQSAG
NVGDEGGVAPDIQTPEEALDLITKAIEEAGYTGKIKIAMDVASSEFYKADEK
KYDLDFKNPDSKSKWLSYEQLAELYKSLAEKYPIVSIEDPFAEDDWEAWS
YFFKTSDFQIVGDDLTVTNPEFIKKAIELKSCNALLKVNQIGTITEAIQAAKD
AFGAGWGVMVSHRSGETEDVTIADIVVGLRAGQIKTGAPARSERLAKLNQIL
RIEEELGDNAYAGNNFRMAINL

Spot 222 (2):

>gi|311323483| hypothetical protein [*Pyrenophora teres* f. *teres* 0-1]

MRFTQAVTLALPAAAAYPGMMGNNSRGEMEYLRAEMAREQLENRATEP
QGGLLPGLLDPIEDLVGGLLTSVGNAIVKQDNKRPEPGYEFKAPGPNDSRGP
CPGLNLLANYGYLPRDGYVNFGQVLAATAQGFNMGTDLATVLATF AVLGS
GDLDGLSFYLGAGKNGIGGLNRHSVVEADVSPNREDYYNGCGDNHHLSRL
VKQMVGFAAQDPKKEFMNVMAEHYAQSASFKNNNPFLYYFPFPQIVSLG
AFAFYPQFFSNGTYGAGGVPNYKSIMSIIGAEYDTKTKEFKYVPERWPENWY
RRDTPYGAVQTLVDGFLNIYPRNIIVPLAAQVGTPNLSVQTLLCDIYQGISSIT
PLVLGGTEENIAKGVSWALSVLGPIMSKTALGCPDSVISPNLLFPDSQREGGPI
NPPVVPSDAWTGDNVYNKVFGGDSLVEPECRHAN

Spot 224 (1):

>gi|311329409| hypothetical protein [*Pyrenophora teres* f. *teres* 0-1]

MVRANSTIVSNAANLKKYLDLPQKG SVM AEYVWIDGSNGIRSKSKTLKKV
ESLDDLPEWNFDGSSTGQAPGDNSDVYLRPVAYYPDPFRLGDNVLVMCETY
MSDGSPNAYNFRHAAIIFEQHKEHGFWFGLEQEYTLLEFGWPYGPWKNG

FPAPQGPYYCGVGTGKVFCDIVEAHYKACMYAEIAISGTNAEVMPAQWEY
QVGPCPGIDLGDQLWMSRFLLHRVAEEFGAKVTFAPKPIPGDWNGAGLHTN
VSTNETRADNGMKAIEAAMEKLSKRQAEHMAVYGSNDNQLRMTGKHETAS
YDKFTWGVANRGSSVRIPRAVAAEGKGYFEDRRPASNGDPYQITGIIAETMY
GKVEGADVARFAKQAEAVETEMVIDIHKP

Spot 224 (2):

>gi|311325431| hypothetical protein [*Pyrenophora teres* f. *teres* 0-1]

DDDKVKYLLSLRAVRERAKLVGEAADAGKLTHFDVHEEKLGEAADYVAG
VVKRDFGPDAYHTIPPHGRWQHFEVGKIPRIGALLEEWKKLGCDDESTRRL
IDLFFVSVLLDAGAGDHWRVYEPRTETQYERSEGIAVASLYLFREGAFTSGG
EGMGMCVDGKGLQNLKTEELAKGFQISDTNPMLGVESRANLLRSLGKSLLS
QPEVFGKEGRPGNVVDYMKTSPDGTTLDILTFWDILQTLLIPIWPQDRTVV
NGQALGDAWPLNTLKTVASSSTAADETTFIQPFHKLTQWLAYSLOVFPTRIL
HLTWKNTDALTAPEYRNGGLFVDLGVLTLKPASLERGLATAAAAGIATGE
NKGLPAFAAGDDVVVEWRAMTIVLVDRLYKLVLEKMSGVELSMAQLLEA
GTWKAGREVAKEKRPVGKGSPILVVSDGTVF

Spot 227 (1):

>gi|311325728| hypothetical protein [*Pyrenophora teres* f. *teres* 0-1]

MSFETTGTIASFGGKLLKLKHKSSTNTDMELNMFLPPQALKSGAKVPVLFY
LSGLTCTGNNCSEKGFQHGAAQHGIAVVYPDTSPRGLQIEGEDDAYDFGSG
AGFYVDAKPEWPKGYNMYSYITKELPEALFSSFKELDSSKVSITGHSMGGH
GALTFLKNPGMYKSVAFAPIANPINCPWGQKAFKGYFGEDQQQKWKEH
DATELVVKQWKGPLEMLIDVGTGDNFYKQGQLLPENFVQAAKEAGNDKGQI
LRMQPDYDHSYYFMATFADDHVAWAALKHLGA

Spot 227 (2):

>gi|311325538| hypothetical protein Partial [*Pyrenophora teres* f. *teres* 0-1]

FHIANPAVGDPANSEDWRIKGYNPLPPDLLQSEIPQTAKSRTVLKGRNEA
VDIVQGKDAQKRLLVVIGPCSIHDPPAALEYCDRLMKLKEKYQDDLLIVMRS

YLEKPRTTVWKGLINDPDIDNSFKINKGLRISRQLFVDLTEKGMPPLASEML
DTISPQFLADMFSVGAIGARTTESQLHRELASGLSFPVGFKNGTDGTLDAV
DAIGSAKHPHHFLSVTKPGVVAIVGTIGNDDCFVILRGKKGTNYDAQSVKE
AREKLESKGGMNSRLMIDCSHGNSEKNHMNQPKVAHAVAEQIAGGETAVMG
VMIESNIKAGTQKVPKEGKAGLEYGMSITDACIDWETTEAVLEELAGAVAK
RRTLLGQNGA

Spot 229 (1):

>gi|311331037| hypothetical protein [*Pyrenophora teres* f. *teres* f. *teres* 0-1]

MTITKIHARSVYDSRGNPTVEVDIVTETGLHRAIVPSGASTGSHEACELRDGD
MSKWAGKGVTKAVANVNDTIAPALIKEKLDVKDQSAVDAFLNKLDGCKNK
TSLGANAILGVSMIAKAAAAEKGVPLYAHISDLAGTKKPYVLPVPFQNVLN
GGSHAGGRLAFQEFMIVPCEAPTFSEAMRQGAEVYQKLKSLAKKTYGQSAG
NVGDEGGVAPDIQTPEEALDLITKAIEEAGYTGKIKIAMDVASSEFYKADEK
KYDLDFFKNPDSKSKWLSYEQLAEKYPIVSIEDPFAEDDWEAWS
YFFKTSDFQIVGDDLTVTNPEFIKKAIELKSCNALLKVNQIGTITEAIQAAKD
AFGAGWGVMVSHRSGETEDVTIADIVVGLRAGQIKTGAPARSERLAKLNQIL
RIEEELGDNAYAGNNFRNAINL

Spot 229 (2):

>gi|187978686| Enolase [*P. tritici-repentis*]

MTITKIHARSVYDSRGNPTVEVDIVTETGLHRAIVPSGASTGSHEACELRDGD
MSKWAGKGVTKAVANVNDTIAPALIKEKLDVKDQSAVDAFLNKLDGCKNK
TNLGANAILGVSMIAKAAAAEKGVPLYAHISDLAGTKKPYVLPVPFQNVLN
NGGSHAGGRLAFQEFMIVPCEAPTFSEAMRQGAEVYHKLKSLAKKTYGQSA
GNVGDEGGVAPDIQTPEEALDLIMKAIEEGWIPLARSRIAMDVASSEFYKAD
EKKYDLDFFKNPDSKSKWLSYEQLAEKYPIVSIEDPFAEDDWEA
WSYFFKTSDFQIVGDDLTVTNPEFIKKAIELKSCNALLKVNQIGTITEAIQAA
KDAFGAGWGVMVSHRSGETEDVTIADIVVGLRAGQIKTGAPARSERLAKLN
QILRIEEELGDNAYAGNNFRNAINL

Spot 231:

>gi|311322842| hypothetical protein [*Pyrenophora teres* f. *teres* 0-1]

MTEPVGDFGLIGLAVMGQNLILNAADHGFTVVAFNRTVAKVDRFLNDEAK
GKSIVGAHSMEEFVSKLKKPRRMMLLVMAGKPVDDFIELILQAGAEEGDIID
GGNSHYPDTNRRTNYLKSKGIRFGSGVSGGEEGARYGPSIMPGGNEEAWP
YIKDVLQSISAKSDGEACCQWVGDEGAGHYVKMVHNGIEYGDMQLICEAY
DIMKRGGLGMKNKEIGDVFTQWNKGVLDSFLIEITRDIMYKNDDGVAIVEKI
LDSAGQKGTGWTAINALDLGMPVTLIGEAVFARCLSSLKQERGRAAGLLD
GPTPSFSGDRQAFIDNLEQALYASKIISYAQGFMLIQNAAKEYWKLNKPEIA
LMWRGGCIIRSVFLKEITSAYRKNPENLLFDEFFSKAIHKAQSGWRDVVS
KGALWGIPTPAFSTALSFYDGYRAKDL PANLLQAQRDYFGAHTFRIKPEYAN
ATYKEGQDIHVNVWTGRGGNISASTYNA

Spot 232 (1):

>gi|311328903| hypothetical protein [*Pyrenophora teres* f. *teres* 0-1]

MEEEVAALVIDNGSGMCKAGFAGDDAPRAVFPSIVGRPRHHGIMIGMGQKD
SYVGDEAQSKRGILT RYPIEHGVVTNWDDMEKIWHHTFYNELRVAPEEHP
VLLTEAPINPKSNREKMTQIVFETFNAPAFYVSIQAVSLYASGRTTGIVLD SG
DGVTHVVPIYEGFALPHAISR VDMAGRDLTDYLMKILAERGYTFSTTAEREI
VRDIKEKLCYVALDFEQEIQTASQSSSLEKS YELPDGQVITIGNERFRAPEAL F
QPSVLGLESGGIHVTTFNSIMKCDVDVRKDL YGNIVMSGTTMYPGISDRM
QKEITALAPSSMKVKIIAPPERKYSVWIGGSILASLSTFQQMWISKQEYDESGP
SIVHRKCF

Spot 232 (2):

>gi|311323385| hypothetical protein [*Pyrenophora teres* f. *teres* 0-1]

MGHSVPPPLNDKSLLKSQTYVNGEWIDAKSGKSFEVHD PATGKLIGTMPEMD
RADTEAAIAAAAAAALPSFRKLTGRERSRMLRKWYQLIIDNADDLAKLITWE
NGKPFADAKGEVNYAASFYEWFAEEAPRMYGATIPASVAGNRVFTIKEPVG
VVGLITPWNFPAAMITRKIGPALAAGCTVVAKSPGETPFTAAALAEAH RAG

IPKGVVNFVTALKNTPEVGETITSSKTIKKVSFTGSTGVGKLLMKQSSDTLKK
LSFELGGNAPFIVFDDADLETAVAGAITSKFRSSGQTCVCANRIYVQSGIYDE
FCTKFTEKVKGFKVGGGYDEGITHGPLIHDRAVSKVDAHVQDAVKNGAKV
LFGGQKLPLDLGENFYQPTVLRDMDTKDMQLAKDETFGPVAGLFPFDTEADV
KLANAADVGLAGYFFSKDIQRVYRVAEAELEVGMVGVNGLISDAAAPFGG
VKESGFGREGSHMGIDEYVVTKTITLGGNGQPLQGE

Spot 233 (1):

>gi|187975430| Survival factor 1 [*P. tritici-repentis*]

MFSWAKSTLAAVAGTQEPEYGPDAIQPVGKKGDEPAYTELKKDLKWVTL
DYTNVETQTFYLFTDAGHKGFLQVIYNNIAGLRVTQFNCKLFYPNNEKPFL
WASDPVHNYGFDENQHSFYADGVSIELSADGNSYDIKAAVNENSMVNVKFT
RTAPGFMGGKDGMTNYGTDPKAPWGSMHHFWPRCSVEGKIITKDGEVDV
TGRGMLSHALQGMKPHAAARWNFANFQSPSYSAIIMEFTTPSSYASTVVR
VCGIATDGELLFANTDGAEVKHTETKQDETGWAEPSTAASYHWVGKTDGK
DVTADLAGALGKNIDRVDVMAEVPGFIKTIVASAAGTKPYIYQYAPKMTIK
VKVGDEVKEEEGTLFTEATFIS

Spot 233 (2):

>gi|311319520| hypothetical protein [*Pyrenophora teres f. teres* 0-1]

MFSWAKSTLAAVAGTQEPEYGPDAIQPVGNKGDEPAYTELKKDLKWVTL
DYTNVETQTFYLFTDAGHKGFLQVIYNNIAGLRVTQFNCKLFYPNNEKPFL
WASDPVHNYGFDEDQHSFYADGVSIELSADGNSYEIKAAVNENSMVNVKFT
RTAPGFMGGKDGMTNYGTDPKAPWGSMHHFWPRCSVEGKIITKDGEVDV
TGRGMLSHALQGMKPHAAARWNFNFQSPSYSAIIMEFTTPSSYASTVVR
VCGIATDGELLFANTDGAEVKHTETKQDETGWAEPSTAASYHWVGKTDGK
EVTADLAGALGKNLDRDVMAEVPGFIKTIVASAAGTKPYIYQYAPTMTIK
VKVGDEVKEEEGTLFTEATFIS

Spot 233 (3):

>gi|311325425| hypothetical protein [*Pyrenophora teres f. teres* 0-1]

MSGTFFQAEISQLGLIINTVYSNKEIFLRELISNASDALDKIRYEALSDPSK
LDSGKDRLIDIIPNKEAKTLTIQDSIGMTKADLINNLGTIARSGTKQFMEALS
AGADISMIGQFGVGFY SAYLVADRVTVVSKNNDD EQYVWESSAGGTFKITE
DTEGEQIGRGTIIHLKEEQMDYLNESKI KEVVKKHSEFIS YPIYLHVLKETE
KEVEDEDAAEETTEGDEKKPKVEEV DEEEKKKEKTKV KESKIEEEEL
NKT KPIWTRNPQDITTEYASFYKSL SNDWEDHLGVKHFSVEGQLEFRAILF
VPKRAPFDLFETKKT KNNIKLYVRRV FITDDATDLIPEWLSFVKGVVDSEDLP
LNLSRETLQQNKIMKVIRKNIVKKTLELFNEIAEDREQFDKFYSAFGKNIKLG I
HEDSQNRASLA KLLRFNSTKSGEELTS LTDYVTRMPEHQKQMYYITGESLKA
VQKSPFLDTLKDKGF EVLFLVDPIDEYAMTQLKEFDGKKLV DITKDFELEES
EEEKKEREAE EKEFEGLAKSLKTV LGDKVEKVVVSHKL VGSPCAIRTGQFG
WSANMERIMKAQALRDTSMSSYMSSKKTFEISPKS AIIKELKRKVEADGED
DRTVKSITLLL FETSLLVSGFTIDE PVQYAERIHKL VSLGLNVDEEVETEQKG
EASTEQTATAGESAMEEV D

Spot 235 (1):

>gi|311331037| hypothetical protein [*Pyrenophora teres f. teres* 0-1]

MTITKIHARSVYDSRGNPTVEVDIVTETGLHRAIVPSGASTGSHEACELRDGD
MSKWAGKGVTKAVANVNDTIAPALIKEKLDVKDQSAVDAFLNKLDG TKNK
TSLGANAILGVSMAIAKAAA EKGVP LYAHISDLAGTKKP YVLPV PFQNVLN
GGSHAGGRLAFQEFMIVPCEAPT FSEAMRQGAEVYQKLKSLAKK TYGQSAG
NVGDEGGVAPDI QTPEE ALDLITKAIEEAGYT GKI KIAMDV ASSEFYKADEK
KYD LDFKNPDSDKSKWLSYEQLAELYKSLAEKYP IVSIEDPFAE DDW EAWS
YFFKTSDFQIVGDDLTVTNPEFIKKAI ELKSCN ALLLKVNQIGTITEAIQA AKD
AFGAGWGVMVSHRSGETEDVTIADIVVGLRAGQIKTGAPARSERLAKLNQIL
RIEEELGDNAIYAGNNFR TAINL

Spot 235 (2):

>gi|187978686| Enolase [*P. tritici-repentis*]

MTITKIHARSVYDSRGNPTVEVDIVTETGLHRAIVPSGASTGSHEACELRDGD
MSKWAGKGVTKAVANVNDTIAPALIKEKLDVKDQSAVDAFLNKLDGCKNK
TNLGANAILGVSMAIAKAAAAEKGVPLYAHISDLAGTKKPVLPVPFQNVL
NGGSHAGGRALAFQEPMIVPCEAPTSEAMRQGAEVYHKLKSLAKKTYGQSA
GNVGDEGGVAPDIQTPEEALDLIMKAIEEGWIPLARSRIAMDVASSEFYKAD
EKKYDLDFKNPDSKSKWLSYEQLAELYKSLAAKYPIVSIEDPFAEDDWEA
WSYFFKTSDFQIVGDDLTVTNPEFIKKAIELKSCNALLKVNQIGTITEAIQAA
KDAFGAGWGVMVSHRSGETEDVTIADIVVGLRAGQIKTGAPARSERLAKLN
QILRIEEELGDNAYAGNNFRTRAINL

Spot 236 (1):

>gi|311316969| hypothetical protein [*Pyrenophora teres* f. *teres* 0-1]

MADMPKDLKTQIDKLEELFVVNTDKLKHITNHFVSELEKGLSEEGGSIPMIPT
WCMAFPDGNETGSYLAALDMGGTNLRVCEVTLTEEKGEFEIIQSKYRMPEEL
KTGTADELWGYVADCLQQFIEYHHEGEKLETPLGFTFSYPVSQDAIDHGVL
QRWTKGFDVHGMEGVDVPGFKKALEDRGVPIKLAALVNDTTGTMIASAY
TNTSIKIGCIFGTGCNAAYMEECGEIPKLKHMKLDPKLPMAINCEWGAFDNE
KKVLPRTQYDVIIIDKESPRPGQQQLFEKMWAGLYLGEIFRLVLLDLHKGNECS
MFEGQNASKLTPYSL DAGFLSQIEEDRFENLQDTADLFQEKLGITCTKPELE
LIRRLAELIGTRAARLTACGVS AICKHKHWDEVHVGADGSVFTKYPHFKIRQ
AQAMKEIMDWPAKYGKGKNDPIEVLP AEDGSGVGA ALIAALT.VKRAQQGL
LAGIRDQDALLAMAPKKGN

Spot 236 (2):

>gi|311317832| hypothetical protein [*Pyrenophora teres* f. *teres* 0-1]

MSPGKISSLDFAKFYNIVDGKQRGSEQIHHGINPSTGQELWDVPIASEQDLND
AVAAA AKFPAWRD TPLEKRKEALVKIAELYQQHHQEFTLLRKENGKPSQ
LANMEV KLAGD FFLYHASLDIPSETVEDAEK TLYTEYAPLGVC GAICPWNFP

LVLSAGKMAPCLLTGNCMIVKPSPFTPYTSLKVELAQEILPPGVLQVIGGNN
ELGAGMCEHPDIQKISFTGSTVTGKKVMATCSKTLKRVTLELGNDASIVMP
DVDIKKVAPQVAMGAFQNTGQCVATKRIYIHETIYKEFLEEMTNFTKNLKT
GNAEDDETMLGPVQNQMKYERVKGFFEDSKAKGYKFAAGAPDVASKGFF
IQPTIIDNPPNDSRIIQEFPFGPIVPTQPWSDEEVARIANDTNTGLGACVWGA
DVEKASQVARRLEAGSVFVNSFEKPTPQAIFGGHKESGIGGEWGTGLLAYC
NARVIHVYKA

Spot 237 (1):

>gi|311328129| hypothetical protein [*Pyrenophora teres* f. *teres* 0-1]

MSLSNKLSIADVDLKGKRVLIRVDFNVPLSDKNITNNQRIVGALPTIKHAI
NGAKAVILMSHLGRPDGKPNAKYSLKPVVPELEKLLGKSVTFTDDCVGKSV
EDTVNGASNGQVILLENLRFHAEEEGSFKDGEKKQKVDKSKVEEFRKGLT
ALGDVYINDAFGTAHRAHSSMVGVDLPQKASGFLVKKELDYFAKALEEPKR
PFLAILGGAKVSDKIQLIDNLLGVNSLIICGMSFTFKKTLEGVKIGDSLFD
AGSKTVKDLVEKAKKNNVKIVLPVDYITADKFDAKTGYAEDKDGIPDG
WMGLDCGEKSIKLYKEAIGEAQTILWNGPAGVFEFEKFAKGTKETLDAAVE
AAQSGKIVIIGGGDTATVAAKYGVEDKLHVSTGGASLELLEGKDLPGVSA
LSSK

Spot 237 (2):

>gi|311329210| hypothetical protein [*Pyrenophora teres* f. *teres* 0-1]

MPNSLDQLKATGTTVADSGDFATIKKYQPQDATTNPSLILAASKKPEYEKL
IDAAVEYGGKHGTDLLENQVDATLDNLLVQFGKEILQIVPGKVSTEVDARFSF
STEESVAKALHIIDLKEVVGIGKERVLIKLASTWEGIKAAEILQSKHGVNCNL
TLMFSQVQAIAAAEEAGAFLISPFVGRILDWYKASTKKEYKKEEDPGVKSQQ
IFNYYKKHYKTIVMGASFRSVGEVTELAGCDYLTIAPNLLEELYNSQEEVP
KKLIAEDAVKLDIEKKSYINNEAEFRFYFNEDQMAVEKLREGISKFAADAVT
LKDLRKKIQA

Spot 239:

>gi|311328129| hypothetical protein [*Pyrenophora teres* f. *teres* 0-1]

MSLSNKLSIADVDLKGKRLIRVDFNVPLSDKNITNNQRIVGALPTIKHAIENGAKAVILMSHLGRPDGKPNAKYSLKPVVPELEKLLGKSVTFTDDCVGKSVEDTVNGASNGQVILLENLRFHAAEEEGSFKDGEKKQKVDKSKVEEFRKGLTALGDVYINDAFGTAAHRAHSSMVGVDLPQKASGFLVKKELDYFAKALEEPKRPFILGGAKVSDKIQLIDNLLGVNSLIICGMSFTFKKTLEGVKIGDSLFDAGSKTVKDLVEKAKKNNVKIVLPVDYITADKFDKDAKTGYAEDKDGIPEGWMGLDCGEKSIKLYKEAIGEAQTILWNGPAGVFEFEKFAKGTKETLDAAVEAAQSGKIVIIGGGDTATVAAKYGVEDKLSHVSTGGASLELLEGKDLPGVSA
LSSK

Spot 240 (1):

>gi|311316234| hypothetical protein [*Pyrenophora teres* f. *teres* 0-1]MYNFARARPLARA VRAAAETPLKRSVIQQRRGLAIHEYRSAALLESYIGVPKGGVAESGAEAEKIAKDIGGEDAVIKAQVLAGGRGKGTFDNGFKGGVRVYSPREASILAEQMIGHKLITKQTGAAGRLCNSFIVDRKFARREFYLAILMDRASQGPVIVASSQGGMDIETVAKEHPEAIITTPVDIHTGVTDEMARNIATDLFSEQCIEDAKDTIQKLYKVFMEKDATQIEINPLSETTDHQVLAMDAKLNFDNNADFRQKEVFSWRDLTQEDPEEVKAAKVGLNFIKLDGDIGCLVNGAGLAMATMDIIKLNGGTPANFLDVGGGATPEAIRQAFDLITSDPKVTIAIFVNIFGGIVRCDAIAKGLIQQVQEMNLKTPVIARLQGTNMEAAQKLLNDGLKIFSIDDLQAAA
EKSVQFSKVVKMARDIDVGVEFTLGI

Spot 240 (2):

>gi|311330840| hypothetical protein [*Pyrenophora teres* f. *teres* 0-1]

MADKGLEDVPEGQIESNYDEITDSFDNMNLKAELLRGVYAYGFERPSAIQQRAIMPVIKNDVIAQAQSGTGKTATFSISTLQKIDS NVKACQALILAPTRELAQQIQKVVVAIGDFMDIQCHACIGGTSVRDDMKALQDGPQVVVGTPGRVHDMIQRRVLKTDHMKMFVLDEADEMLSRGFTEQIYDIFQLLPQSTQVVLLSATMPQDVLEVTTKFMRD PVRILVKKDEL TLEGIKQFYIAVEKEDWKLDTLSLDLYET

VTITQAVIFCNTRRKVDWLTDKLTARDFTVSAMHGMDQAQRDVIMKEFRS
GSSRVLIATDLLARGIDVQQVSLVINYDLPANRENYIHRIGRGGRFGRKGVAI
NFVTADDVRMMREIEQFYSTQIEEMPMNVADLI

Spot 240 (3):

>gi|311323483| hypothetical protein [*Pyrenophora teres* f. *teres* 0-1]

MRFTQAVTLALPAIAAAYPGMMGNNSRGEMEYLRAEMAREQLENRATEP
QGGLLPGLLDPIEDLVGGLLTSVGNAIVKQDNKRPEPGYEFKAPGPNDNSRGP
CPGLNLLANYGYLPRDGYVNFGQVLAATAQGFNMGTDLATVLATFAVLGS
GDLDGLSFYLGAGKNGIGGLNRHSVVEADVSPNREDYYNGCGDNHHLSSRL
VKQMVGVFAAQDPKKEFMNVMAEHYAQSASFKNNNPFLYYFPFPQIVSLG
AFAFYPQFFSNGTYGAGGVPNYKSIMSIIGAEYDTKTKEFKYVPERWPENWY
RRDTPYGAVQTLVDGFLNIYPRNIIVPLAAQVGTPNLSVQTLLCDIYQGISSIT
PLVLGGTEENIAKGVSWALSVLGPIMSKTALGCPDSVISPNLFPDSQREGGPI
NPPVVPSDAWTGDNVYNKVFGGDSLVEPECRHAN

Spot 242:

>gi|311325372| hypothetical protein [*Pyrenophora teres* f. *teres* 0-1]

MAPAIGIDLGTTYSCVGIFRDDRIEIANDQGNRTTPSFVAFTDSERLIGDSAK
NQVAMNPVNTVFDAKRLIGRKFADAEVQADMKHFPFKVIDKGGKPVIQVEF
KGEEKVFTPEEISSMVLTKMRETAESYLGTVNNNAVVTVPAYFNDSQRQAT
KDAGLIAGLNVLRIINEPTAAAIAYGLDKKTEGERNVLIFDLGGTFDVSLLT
EEGIFEVKSTAGDTHLGGEDFDNRLVNHFTNEFKRKHKKDLTSNARALRRL
RTACERAKRTLSSAQTSIEIDSLYEgidfytsitrarfeelcqdlfrstmePVE
RVLRDAKIDKSSVHEIVLVGGSTRIPKVQKMVSDFNGKEPNKSINPDEAVA
YGAAVQAAILSGDTSSKSTSEILLDVAPLSIGIETAGGVMTALIKRNTTIPTK
KSEVFSTFSDNQPGVLIQVYEGERARTKDNNLLGKFELTGIPPAPRGVPQIEV
TFDVDANGIINVSALEKGTGKTNKIVITNDKGRSLKEIERMLAEAEKYKAE
DEAEAARIAAKNALESYAYSLRNTLSDSKVDEKLDAGDKEKLKAEIDKTVA
WLDDNQTATKDEYESQQKELEGIANPIMMKFYGAGGEGGMPGGMPGGGM
PGGGAPGGAGGDDGPTVEEV

Spot 255 (1):

>gi|311333343| hypothetical protein [*Pyrenophora teres* f. *teres* 0-1]

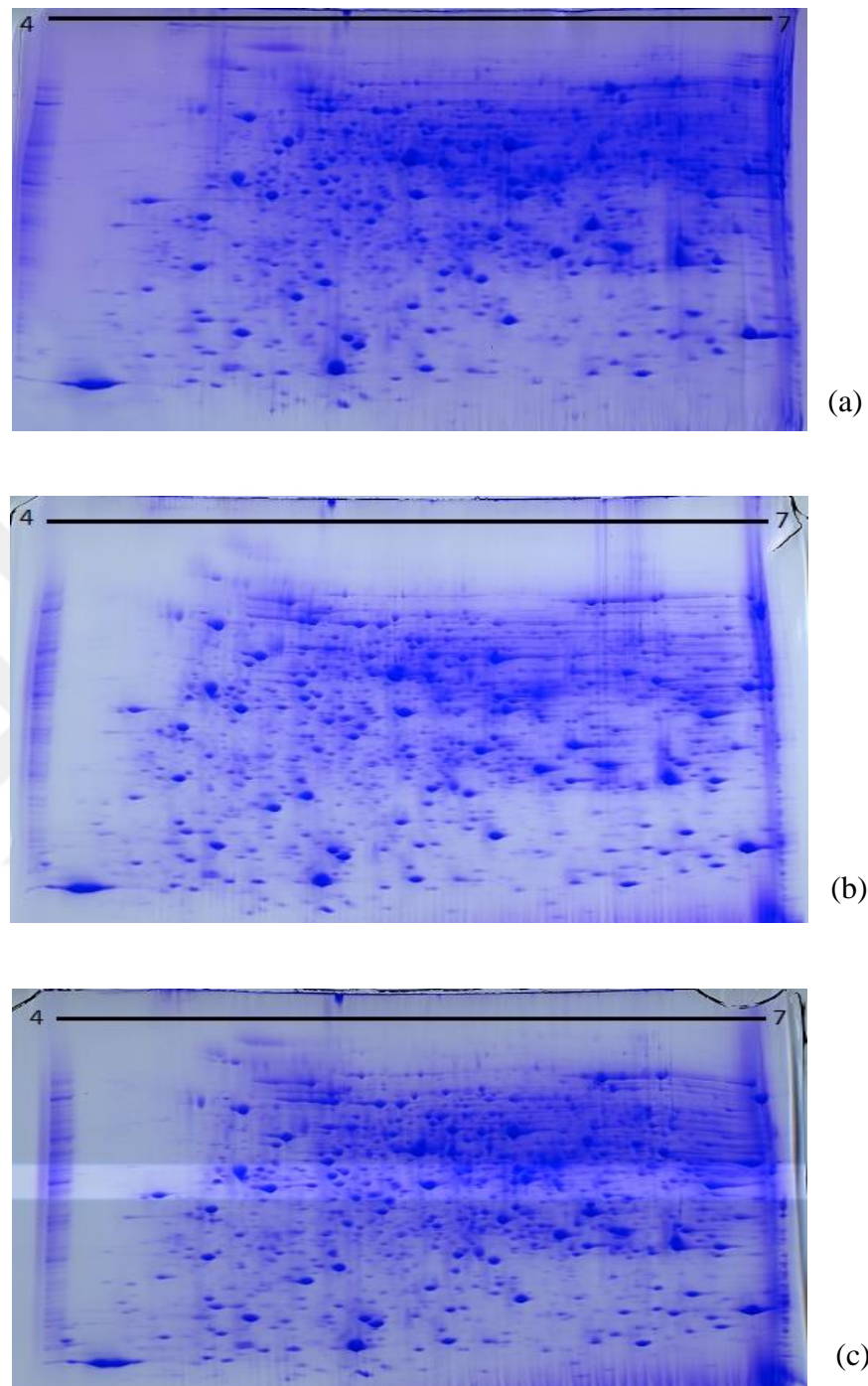
MASFSRSLRPLTRVAASSRSLRPAPVRAGPQIRCLSSTMPRREAVDISDVPP
TPITHLSETETLMGDTVSKFANEVILPKAREMDEAEAMDPAVVEQLFEQGLM
GIEIPEEYGGSGMNFTSAIIIAIEELARVDPSVSLCDVHNTLVNTAIKWGSEK
LKKEWLPKLATNTVGSFCLSEPVGSDAFALATKATRTDNGYKISGSKMWIT
NSVEANFFIVFANLDPSKKYKGITAFIVEKGTPGFSIAKKEKLGKASSTCVI
TFDDVEIPRDNLLGKEFEGYKYAIGLLNEGRIGIAAQMTGLALGAWENAASY
AWNDRKQFGTLIGEFQAMQHQLAQAWTEIQAARALVYNAARKKEAGEDFI
MDAAMAKLMASQVAGKVSGQAIEMGGMGFVREGLAEKYFRDSKIGAIY
EGTSNIQLTTIGKLLQKKYTK

Spot 255 (2):

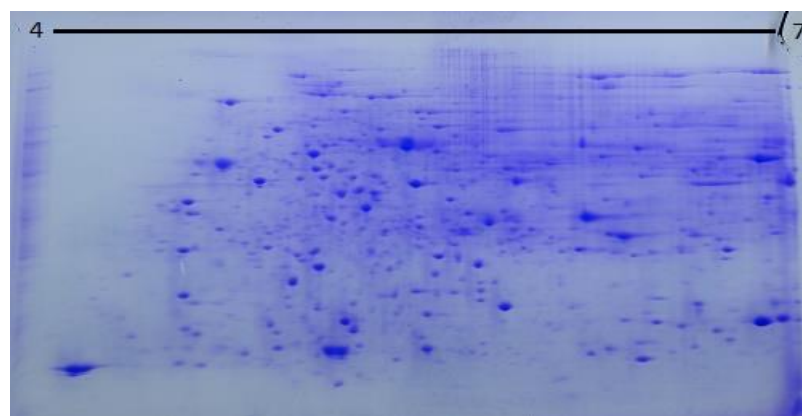
>gi|311329985| hypothetical protein [*Pyrenophora teres* f. *teres* 0-1]

MTVPNGNGKSTFLFTSEVGEGHPDKICDQVSDAILDACLKEDPLSKVACET
AAKTGMIMVFGEITTKAHLDYQKIIRGAIKDIGYDSSEKGFDYKTCNVLVAIE
QQSPDIAQGLHYEEALEKLGAGDQGIMFGYATDETPELLPLTVLLSHKLNSA
MTTARKDGSLPWLRPDTKTQVTVEYAHDGGAVIPLRVDTVVSAQHSEDITION
TEELRKEIKEKIIKKVIPANMLDDKTVYHIQPSGLFIIGGPQGDAGLTGRKIID
TYGGWGAHGGGAFSGKDYSKVDRSAAYLARWIAKSLVNAKLARRALVQL
SYAIGVAEPLSLFVETYGTSSERDELVEIVKNNFDLPGVIVKELNLINPIYF
QTAKNGHFTNQDFTWEKPKELT

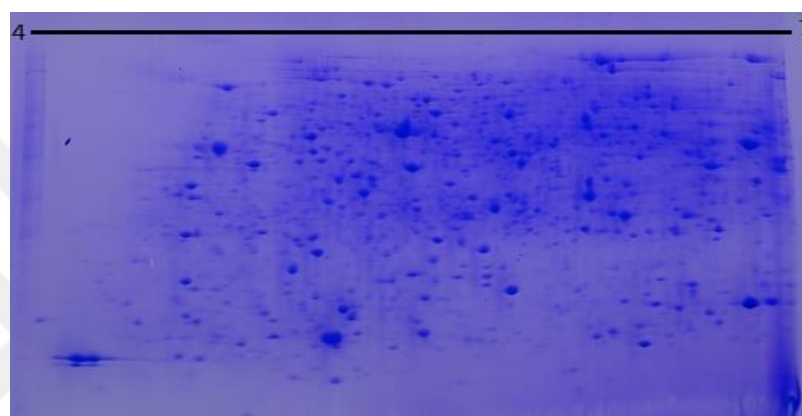
Ek 2. GPS 79 Biyolojik Tekrar ve Teknik Tekrar Jel Görüntüleri



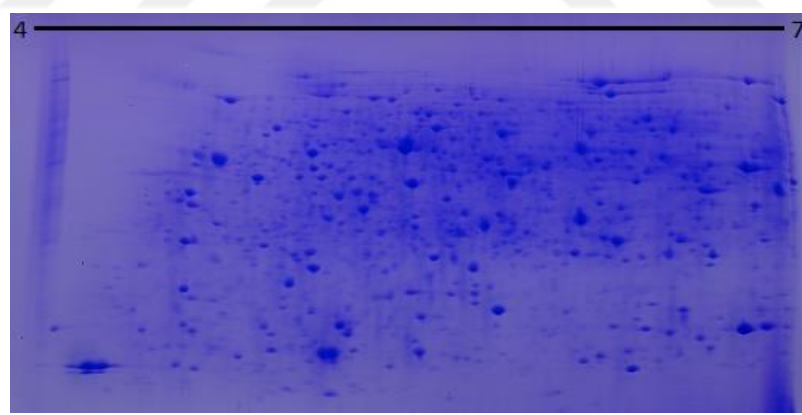
Şekil Ek 2.1. (a) 1. Biyolojik Tekrar 1. Teknik Tekrar, (b) 1. Biyolojik Tekrar 2. Teknik Tekrar, (c) 1. Biyolojik Tekrar 3. Teknik Tekrar



(a)

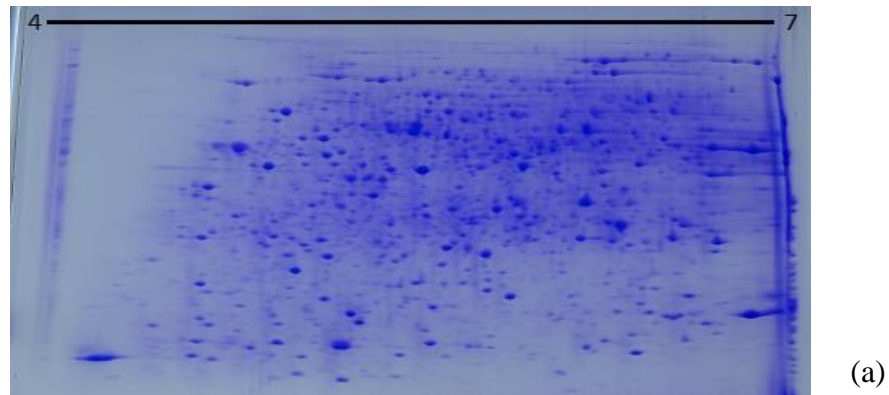


(b)

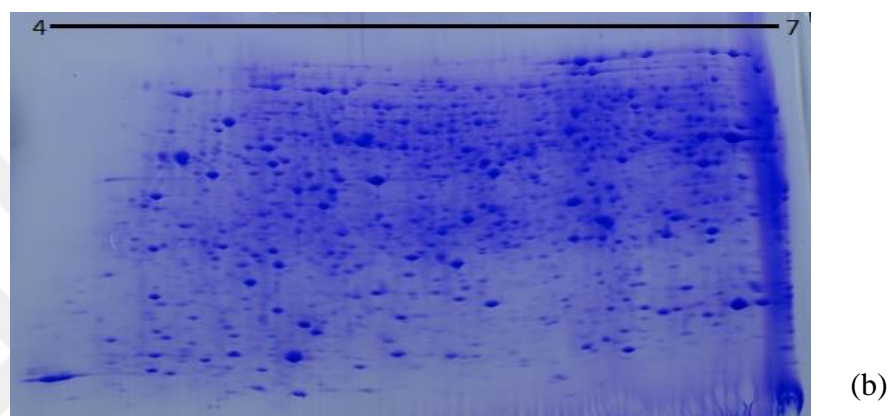


(c)

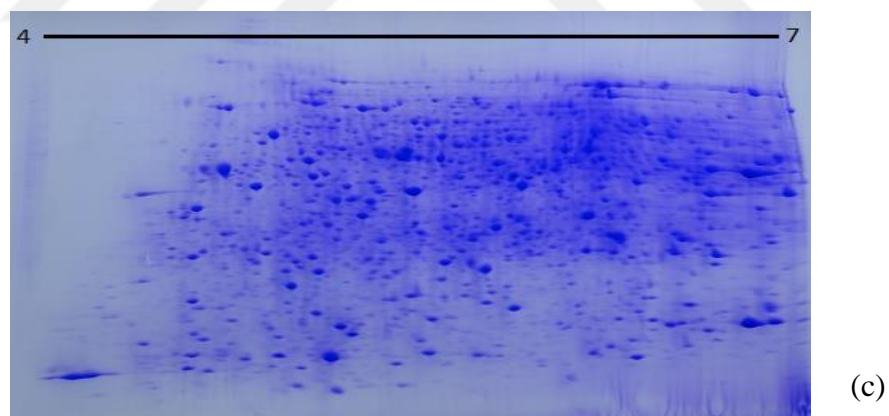
Şekil Ek 2.2. (a) 2. Biyolojik Tekrar 1. Teknik Tekrar, (b) 2. Biyolojik Tekrar 2. Teknik Tekrar, (c) 2. Biyolojik Tekrar 3. Teknik Tekrar



(a)

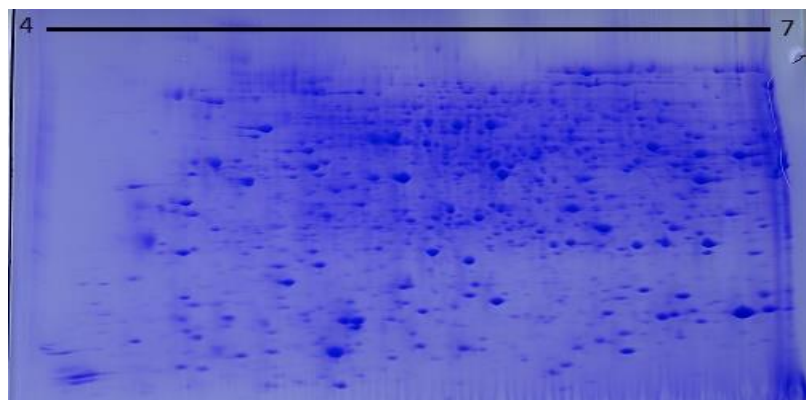


(b)

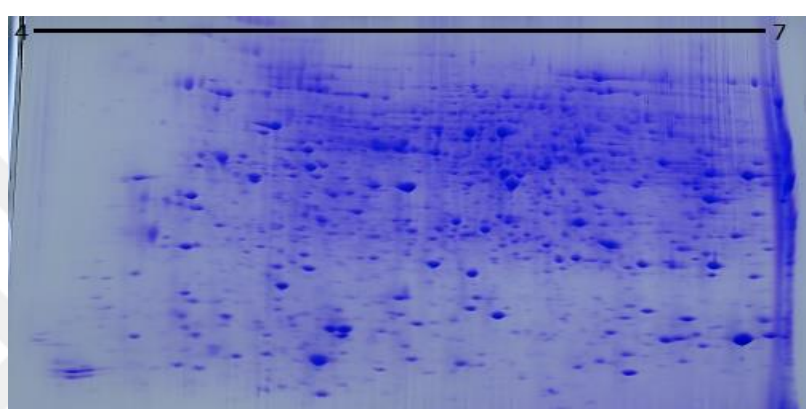


(c)

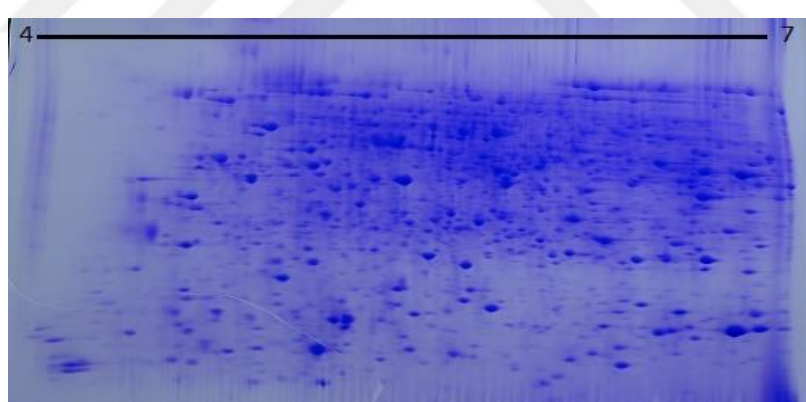
Şekil Ek 2.3. (a) 3. Biyolojik Tekrar 1. Teknik Tekrar, (b) 3. Biyolojik Tekrar 2. Teknik Tekrar, (c) 3. Biyolojik Tekrar 3. Teknik Tekrar



(a)

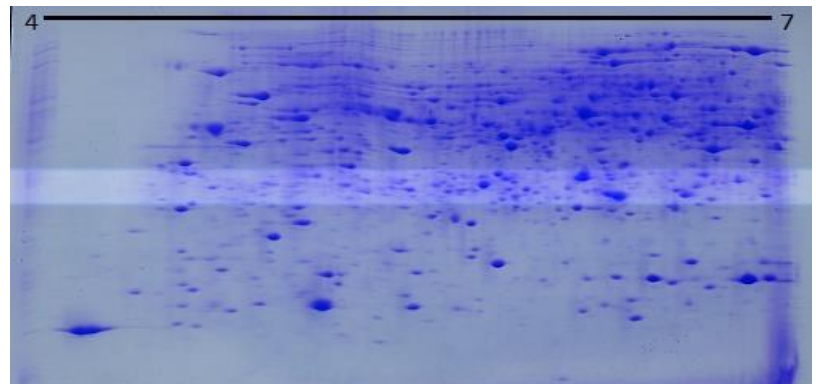


(b)

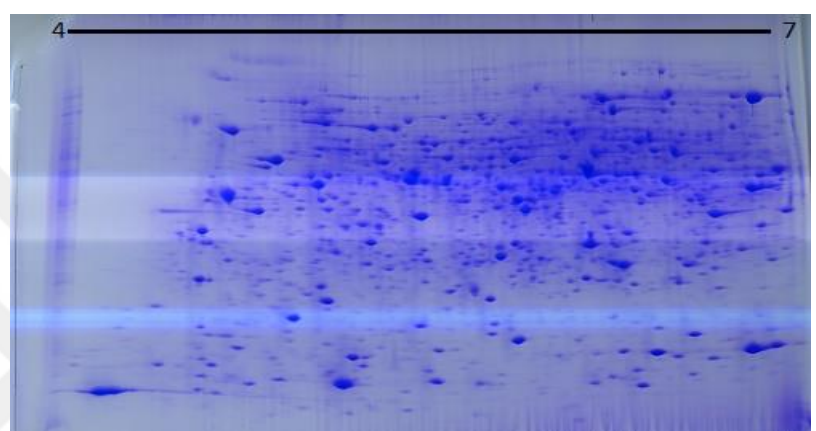


(c)

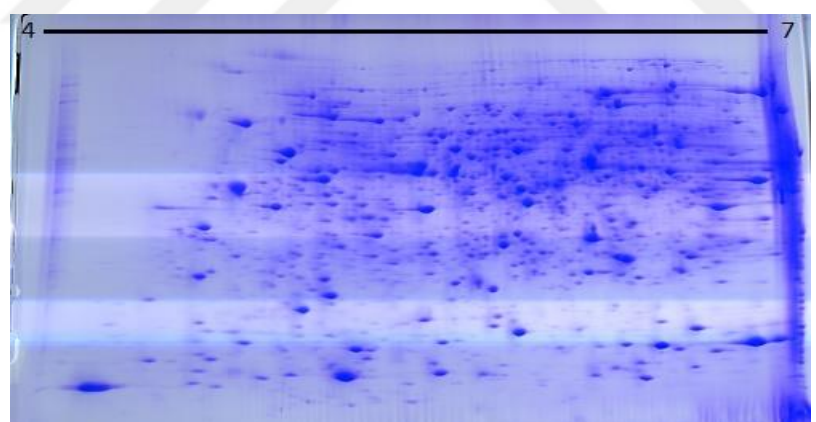
Şekil Ek 2.4. (a) 4. Biyolojik Tekrar 1. Teknik Tekrar, (b) 4. Biyolojik Tekrar 2. Teknik Tekrar, (c) 4. Biyolojik Tekrar 3. Teknik Tekrar



(a)



(b)



(c)

Şekil Ek 2.5. (a) 5. Biyolojik Tekrar 1. Teknik Tekrar, (b) 5. Biyolojik Tekrar 2. Teknik Tekrar, (c) 5. Biyolojik Tekrar 3. Teknik Tekrar

ÖZGEÇMİŞ

Kişisel Bilgiler

Soyadı, Adı : Mahmut EMİR

Uyruğu : T.C.

Doğum Tarihi ve Yeri: 17.05.1987 / GAZİANTEP

e-mail : mhmtmr6@gmail.com

Eğitim

Lise : 19 Mayıs Lisesi

Lisans : Ahi Evran Üniversitesi Kimya

Yüksek Lisans : Ahi Evran Üniversitesi Biyokimya

Lisans Tezi :

Yüksek Lisans Tezi : Arpada Ağ Benek Leke Hastalığına Neden Olan
Drechslera teres f. maculata Fungusunun Misel Proteom Haritalaması

Yabancı Dil : İngilizce